

การควบคุมความเร็วของมอเตอร์ไฟฟ้ากระแสตรง

SPEED CONTROLLING OF DC MOTOR



2/4
42362
0004

เลขหมู่.....
เลขทะเบียน 42362
วัน, เดือน, ปี 17 พ.ค. 2545

b.....
i.....

ปริญญานิพนธ์นี้เป็นส่วนหนึ่งของการศึกษาตามหลักสูตรปริญญาวิศวกรรมศาสตรบัณฑิต

สาขาวิชาวิศวกรรมการวัดคุม

ภาควิชาเทคโนโลยีการวัดคุมทางอุตสาหกรรม คณะวิศวกรรมศาสตร์

สถาบันเทคโนโลยีพระจอมเกล้าเจ้าคุณทหารลาดกระบัง

ปีการศึกษา 2544

เอกสารนี้เป็นเอกสารที่สงวนไว้สำหรับการใช้งานเพื่อการศึกษาเท่านั้น ไม่อนุญาตให้นำไปใช้ประโยชน์ด้านการค้า
ไม่ว่ากรณีใดๆ ทั้งสิ้น อีกทั้งห้ามมิให้ดัดแปลงเนื้อหา และต้องอ้างอิงถึงเจ้าของเอกสารทุกครั้งที่มีการนำไปใช้

b11202208

SPEED CONTROLLING OF DC MOTOR



**A THESIS SUBMITTED IN PARTIAL FULFILLMENT
OF THE REQUIREMENT FOR THE DEGREE OF
BACHELOR OF ENGINEERING IN INSTRUMENTATION ENGINEERING
DEPARTMENT OF INDUSTRIAL INSTRUMENTATION TECHNOLOGY
FACULTY OF ENGINEERING
KING MONGKUT'S INSTITUTE OF TECHNOLOGY LADKRABANG**

2001

เอกสารนี้เป็นเอกสารที่สงวนไว้สำหรับการใช้งานเพื่อการศึกษาเท่านั้น ไม่อนุญาตให้นำไปใช้ประโยชน์ด้านการค้า
ไม่ว่ากรณีใดๆ ทั้งสิ้น อีกทั้งห้ามมิให้ดัดแปลงเนื้อหา และต้องอ้างอิงถึงเจ้าของเอกสารทุกครั้งที่มีการนำไปใช้

ภาควิชาเทคโนโลยีการวัดคุมทางอุตสาหกรรม
คณะวิศวกรรมศาสตร์
สถาบันเทคโนโลยีพระจอมเกล้าเจ้าคุณทหารลาดกระบัง
ใบรับรองปริญญาโท

หัวข้อปริญญาโท

การควบคุมความเร็วของมอเตอร์ไฟฟ้ากระแสตรง

SPEED CONTROLLING OF DC MOTOR

นักศึกษาผู้จัดทำ

นายณัฐ วรินทร์เวช รหัสประจำตัว 41013406

นายสุรเดช กชเสนา รหัสประจำตัว 41013432

ปริญญา

วิศวกรรมศาสตรบัณฑิต

สาขาวิชา

วิศวกรรมการวัดคุม

ปีการศึกษา

2544

อาจารย์ผู้ควบคุมปริญญาโท	ลายมือชื่อ
รศ.วิทยา ทิพย์สุวรรณพร	

วัน/เดือน/ปีที่สอบ

วันพุธ ที่ 24 ตุลาคม พ.ศ. 2544

สถานที่สอบ

ณ. ห้องสอบปริญญาโท ภาควิชาวิศวกรรมการวัดคุม



ภาควิชารับรองแล้ว

(ผศ.ประสิทธิ์ จุลเสวีวงศ์)

หัวหน้าภาควิชาฯ

เอกสารนี้เป็นเอกสารที่สงวนไว้สำหรับการใช้งานเพื่อการศึกษาเท่านั้น ไม่อนุญาตให้นำไปใช้ประโยชน์ด้านการค้า
ไม่ว่ากรณีใดๆ ทั้งสิ้น อีกทั้งห้ามมิให้ตัดแปลงเนื้อหา และต้องอ้างอิงถึงเจ้าของเอกสารทุกครั้งที่มีการนำไปใช้

หัวข้อปริญญานิพนธ์

การควบคุมความเร็วของมอเตอร์ไฟฟ้ากระแสตรง
SPEED CONTROLLING OF DC MOTOR

นักศึกษาผู้จัดทำ

นายณัฐ วรินทรเวช

นายสุรเดช กชเสนา

อาจารย์ที่ปรึกษา

รศ.วิทยา ทิพย์สุวรรณพร

พุทธศักราช

2544

บทคัดย่อ

โครงการนี้เป็นการนำเสนอแนวทางอีกทางเลือกหนึ่งในการควบคุมและรักษาระดับความเร็วของมอเตอร์ไฟฟ้ากระแสตรงให้คงที่ เมื่อต้องรับภาระโหลดที่ค่าต่าง ๆ กัน โดยการประยุกต์ใช้คอมพิวเตอรืร่วมกับ ไมโครคอนโทรลเลอร์ 8051 ในการควบคุมในรูปแบบ Digital Control System ไมโครคอนโทรลเลอร์ทำหน้าที่เป็นตัวผลิตสัญญาณควบคุมความเร็วรอบ โดยรับการสั่งงานจากคอมพิวเตอรืและในขณะที่เดียวกันคอมพิวเตอรืก็ทำหน้าที่เป็นตัวคำนวณทางคณิตศาสตร์ การควบคุมจะอยู่ในรูปอัตโนมัติ เมื่อมอเตอร์ต้องรับภาระโหลดความเร็วรอบของตัวมอเตอร์จะลดลง ไมโครคอนโทรลเลอร์จะรับค่าความเร็วรอบจริงเพื่อไปเปรียบเทียบกับค่าที่ต้องการหรือค่า Set Point เกิดค่าความผิดพลาดขึ้นตัวไมโครคอนโทรลเลอร์จะคำนวณและสั่งการให้ตัวไมโครคอนโทรลเลอร์ผลิตสัญญาณควบคุมให้สอดคล้องกับค่าผิดพลาดที่เกิดขึ้น เพื่อควบคุมและรักษาระดับความเร็วรอบให้ขึ้นไปตามค่าที่ต้องการหรือค่า Set Point

Thesis Title Speed Controlling Of DC Motor
Authers Mr.Nat Warintarawech
 Mr.Suradech Kotchasena
Thesis Advisor Assoc.Prof.Vittaya Tipsuwanporn
Year 2001

ABSTRACT

This project is present alternative for control and maintain speed of DC Motor, when was vaiitied on load. In accordance with apply computer with microcontroller MCS-8051 were control on Digital Control System, however microcontroller produce the signal for speed control with reception from calculate and a while computer was calculate mathematics pattern. The control will be automatic path when motor decrease on load. Microcontroller receipt the real speed compare with set point for calculating error. The computer will calculate and command the microcontroller produce signal control that is agree error value for control and maintain speed of require value or set point.

กิตติกรรมประกาศ

ปริญญาบัตรฉบับนี้ สำเร็จลุล่วงได้ด้วยดี โดยได้รับคำแนะนำและคำปรึกษาตลอดจนถึง
แนวทางการแก้ไขปัญหามาจาก อาจารย์ รศ.วิทยา ทิพย์สุวรรณพร ตลอดจนเพื่อนๆ ในภาควิชา
เทคโนโลยีการวัดคุมทางอุตสาหกรรมทุกคน ที่คอยให้กำลังใจและความห่วงใย

ขอกราบขอบพระคุณบิดา มารดาและวงศาคณาญาติ อันเป็นที่รักยิ่งที่ให้การสนับสนุน
อย่างดีเยี่ยมและเป็นแรงบันดาลใจในการทำปริญญาบัตรฉบับนี้

ผู้วิจัยใคร่ที่จะขอบขอบคุณค่าตลอดถึงประ โยชน์อันพึงมีจากปริญญาบัตรฉบับนี้ แต่ผู้มี
พระคุณทุกท่านไว้ ณ โอกาสนี้



สารบัญ

	หน้า
บทคัดย่อภาษาไทย.....	I
บทคัดย่อภาษาอังกฤษ.....	II
กิตติกรรมประกาศ.....	III
สารบัญ.....	IV
สารบัญรูป.....	V
บทที่ 1 บทนำ.....	1
1.1 ความเป็นมาและเหตุจูงใจของการวิจัย.....	1
1.2 วัตถุประสงค์ของปริญญานิพนธ์.....	1
1.3 ขอบเขตของปริญญานิพนธ์.....	1
1.4 ขั้นตอนการศึกษา.....	2
บทที่ 2 ความรู้เบื้องต้นเกี่ยวกับการควบคุมความเร็วของมอเตอร์ไฟฟ้ากระแสตรง.....	3
2.1 มอเตอร์ไฟฟ้ากระแสตรง.....	3
2.2 อินทรีย์เม็นเอนโคคเคอร์.....	11
2.3 ไมโครคอนโทรลเลอร์ MCS-51.....	15
บทที่ 3 หลักการและทฤษฎีที่ใช้ในการออกแบบ.....	20
3.1 ทฤษฎีที่เกี่ยวข้อง.....	20
3.2 การออกแบบและการสร้างชุดควบคุมความเร็วของมอเตอร์ไฟฟ้ากระแสตรง.....	27
3.3 การออกแบบทางฮาร์ดแวร์.....	30
3.4 สรุปแผนผังการทำงานของระบบควบคุม.....	34
บทที่ 4 ผลการทดลองและสรุปผลการทดลอง.....	36
4.1 ผลการทดลองเมื่อ Open Loop.....	37
4.2 ผลการทดลองเมื่อ Close Loop.....	41
4.3 สรุปผลการทดลอง.....	56
บทที่ 5 สรุปผลการวิจัยและข้อเสนอแนะ.....	57
5.1 บทสรุป.....	57
5.2 ข้อเสนอแนะและแนวทางการพัฒนา.....	58
ภาคผนวก	

สารบัญรูป

รูปที่	หน้า
2.1 แสดงส่วนประกอบของมอเตอร์ไฟฟ้ากระแสตรง.....	3
2.2 แสดงส่วนประกอบที่เป็น Stator and Rotor.....	6
2.3 แสดงชนิดของมอเตอร์ไฟฟ้ากระแสตรง.....	7
2.4 แสดงวงจรสมมูลของมอเตอร์ไฟฟ้ากระแสตรง.....	8
2.5 กราฟแสดงความสัมพันธ์ระหว่างความเร็วกับกระแสของอาร์มาเจอร์.....	11
2.6 แสดงตัวอย่างกลไกของออฟไดโอดอินครีเมนส์.....	12
2.7 แสดงถึงตัวเซ็นเซอร์แบบมีช่องเปิดเปิดให้แสงผ่านได้ช่องเดียวและแบบมีหลายช่อง.....	12
2.8 แสดงถึงผลของแสงที่เดินในแนวเดียวกันและแสงที่ตกกระจาย.....	13
2.9 (a) แสดงตัวอย่างลูกคลื่นเอาท์พุทที่เหลี่ยมของอุปกรณ์เอนโคเดอร์ช่องเดียว.....	14
2.9 (b) แสดงตัวอย่างสัญญาณเอนโคเดอร์สองช่องมีมุมเฟสต่างกัน 90°	14
2.10 แสดงตัวอย่างของเอนโคเดอร์.....	15
2.11 แสดงการรับส่งข้อมูลแบบขนาน.....	16
2.12 แสดงการส่งข้อมูลแบบอนุกรม.....	17
2.13 แสดงบิตต่างๆ ของข้อมูลที่ส่งแบบอนุกรม.....	18
2.14 แสดงการรับส่งข้อมูลระหว่างรีจิสเตอร์กับบัสภายใน.....	19
3.1 แสดงลักษณะของ Duty Cycle.....	20
3.2 แสดงการควบคุม Duty Cycle โดยลักษณะของสัญญาณดิจิทัล.....	21
3.3 แสดงสัญญาณควบคุมดิจิทัล 00000000.....	22
3.4 แสดงสัญญาณควบคุมดิจิทัล 00000001.....	22
3.5 แสดงสัญญาณควบคุมดิจิทัล 00000010.....	23
3.6 แสดงสัญญาณควบคุมดิจิทัล 00000011.....	23
3.7 แสดงสัญญาณควบคุมดิจิทัล 00000100.....	24
3.8 แสดงสัญญาณควบคุมดิจิทัล 00000101.....	24
3.9 แสดงสัญญาณควบคุมดิจิทัล 01000000.....	25
3.10 แสดงสัญญาณควบคุมดิจิทัล 10000000.....	25
3.11 แสดงสัญญาณควบคุมดิจิทัล 11111110.....	26
3.12 แสดงสัญญาณควบคุมดิจิทัล 11111111.....	26
3.13 แสดงการควบคุมเชิงสัดส่วน.....	27

เอกสารนี้เป็นเอกสารที่สงวนไว้สำหรับการใช้งานเพื่อการศึกษาเท่านั้น ไม่อนุญาตให้นำไปใช้ประโยชน์ด้านการค้า
ไม่ว่ากรณีใดๆ ทั้งสิ้น อีกทั้งห้ามมิให้ดัดแปลงเนื้อหา และต้องอ้างอิงถึงเจ้าของเอกสารทุกครั้งที่มีการนำไปใช้

สารบัญรูป (ต่อ)

รูปที่	หน้า
3.14 แสดง Flow Chart การเขียนโปรแกรมการควบคุมเชิงสัดส่วน.....	27
3.15 แสดงการควบคุมแบบอินทิกรัล.....	28
3.16 แสดง Flow Chart การเขียนโปรแกรมการควบคุมแบบอินทิกรัล.....	28
3.17 แสดงการควบคุมแบบอนุพันธ์.....	29
3.18 แสดง Flow Chart การเขียนโปรแกรมการควบคุมแบบอนุพันธ์.....	29
3.19 แสดงวงจรควบคุม.....	30
3.20 แสดงวงจรชุดขับมอเตอร์.....	32
3.21 แสดงวงจรชุดขับโหลด.....	33
3.22 แสดงแผนผังการทำงานของระบบควบคุมมอเตอร์.....	35
4.1 แสดงความเร็วรอบที่ 600 รอบ ขณะไม่มีภาระ โหลด.....	48
4.2 แสดงความเร็วรอบที่ 600 รอบ ขณะรับภาระที่ 12 ชุด.....	48
4.3 แสดงความเร็วรอบที่ 600 รอบ ขณะรับภาระที่ 24 ชุด.....	49
4.4 แสดงความเร็วรอบที่ 900 รอบ ขณะไม่มีภาระ โหลด.....	49
4.5 แสดงความเร็วรอบที่ 900 รอบ ขณะรับภาระที่ 12 ชุด.....	50
4.6 แสดงความเร็วรอบที่ 900 รอบ ขณะรับภาระที่ 24 ชุด.....	50
4.7 แสดงความเร็วรอบที่ 1200 รอบ ขณะไม่มีภาระ โหลด.....	51
4.8 แสดงความเร็วรอบที่ 1200 รอบ ขณะรับภาระที่ 12 ชุด.....	51
4.9 แสดงความเร็วรอบที่ 1200 รอบ ขณะรับภาระที่ 24 ชุด.....	52
4.10 แสดงความเร็วรอบที่ 1500 รอบ ขณะไม่มีภาระ โหลด.....	52
4.11 แสดงความเร็วรอบที่ 1500 รอบ ขณะรับภาระที่ 12 ชุด.....	53
4.12 แสดงความเร็วรอบที่ 1800 รอบ ขณะไม่มีภาระ โหลด.....	53
4.13 แสดงความเร็วรอบที่ 1800 รอบ ขณะรับภาระที่ 12 ชุด.....	54
4.14 แสดงความเร็วรอบที่ 2100 รอบ ขณะไม่มีภาระ โหลด.....	54
4.15 แสดงความเร็วรอบที่ 2100 รอบ ขณะรับภาระที่ 3 ชุด.....	55

VI

เอกสารนี้เป็นเอกสารที่สงวนไว้สำหรับการใช้งานเพื่อการศึกษาเท่านั้น ไม่อนุญาตให้นำไปใช้ประโยชน์ด้านการค้า
ไม่ว่ากรณีใดๆ ทั้งสิ้น อีกทั้งห้ามมิให้ตัดแปลงเนื้อหา และต้องอ้างอิงถึงเจ้าของเอกสารทุกครั้งที่มีการนำไปใช้

บทที่ 1

บทนำ

1.1 ความเป็นมาและเหตุจูงใจของการวิจัย

ในปัจจุบัน ได้มีการนำมอเตอร์ไฟฟ้ากระแสตรง (D.C MOTOR) มาใช้ในงานอุตสาหกรรมอย่างมากมายซึ่งในการใช้งานมอเตอร์ไฟฟ้ากระแสตรงในงานอุตสาหกรรมบางประเภทนั้นต้องมีการควบคุมความเร็วรอบของมอเตอร์ไฟฟ้ากระแสตรงเพื่อให้เป็นไปตามความต้องการของการผลิตและเพื่อให้ผลผลิตมีประสิทธิภาพมากที่สุดดังนั้นการควบคุมความเร็วให้เป็นไปตามความต้องการจึงเป็นสิ่งจำเป็นอย่างยิ่งและ โครงการนี้ก็เป็น โครงการที่ศึกษาถึงวิธีการที่จะควบคุมความเร็วรอบของมอเตอร์ไฟฟ้ากระแสตรง โดยการประยุกต์ใช้คอมพิวเตอร์ในการควบคุมร่วมกับไมโครคอนโทรลเลอร์ 8051 ในรูปแบบของการควบคุมโดย Digital Control System

เราจะเห็นได้ว่า ตัวแปรที่จะมีอิทธิพลต่อความเร็วของมอเตอร์ไฟฟ้ากระแสตรงนั้นก็คือ

1. ค่าแรงเคลื่อนไฟฟ้าที่มอเตอร์ได้รับ (V_t)

$$\omega_m \propto V_t$$

2. จำนวนเส้นแรงแม่เหล็กต่อขั้วของมอเตอร์ (ϕ)

$$\omega_m \propto 1/\phi$$

1.2 วัตถุประสงค์ของปริิญญานิพนธ์

ปริิญญานิพนธ์นี้จะ ศึกษาและออกแบบสร้างชุดจำลองการควบคุมมอเตอร์ไฟฟ้ากระแสตรง เพื่อนำเสนอวิธีการควบคุมความเร็วมอเตอร์ไฟฟ้ากระแสตรงด้วยการควบคุม Duty Cycle โดยที่จะรักษาระดับความเร็วของมอเตอร์ไฟฟ้ากระแสตรงให้คงที่ เมื่อต้องรับภาระโหลด

1.3 ขอบเขตของปริิญญานิพนธ์

ปริิญญานิพนธ์เล่มนี้จะกล่าวถึงการควบคุมความเร็วของมอเตอร์ไฟฟ้ากระแสตรงและศึกษาความสัมพันธ์ระหว่างค่าแรงดันไฟฟ้ากับค่ากระแสไฟฟ้าของมอเตอร์ เมื่อเกิดการเปลี่ยนแปลงของความเร็วรอบ ทั้งในขณะ NO LOAD และ ON LOAD

เอกสารนี้เป็นเอกสารที่สงวนไว้สำหรับการใช้งานเพื่อการศึกษาเท่านั้น ไม่อนุญาตให้นำไปใช้ประโยชน์ด้านการค้าไม่ว่ากรณีใดๆ ทั้งสิ้น อีกทั้งห้ามมิให้ดัดแปลงเนื้อหา และต้องอ้างอิงถึงเจ้าของเอกสารทุกครั้งที่มีการนำไปใช้

1.4 ขั้นตอนการศึกษา

การทำวิทยานิพนธ์ฉบับนี้เริ่มจากขั้นตอนการศึกษาถึงคุณสมบัติต่างๆของมอเตอร์ไฟฟ้า กระแสตรง การควบคุมแบบ PID การใช้งานไมโครคอนโทรลเลอร์ MCS-51 ตลอดจนวิธีการ Interface ระหว่างคอมพิวเตอร์กับไมโครคอนโทรลเลอร์ MCS-51 โดยใช้ Visual Basic เขียน หน้าต่างการควบคุมต่างๆ เพื่อสั่งการควบคุมและแสดงค่าของผลตอบสนอง



เอกสารนี้เป็นเอกสารที่สงวนไว้สำหรับการใช้งานเพื่อการศึกษาเท่านั้น ไม่อนุญาตให้นำไปใช้ประโยชน์ด้านการค้า ไม่ว่ากรณีใดๆ ทั้งสิ้น อีกทั้งห้ามมิให้ดัดแปลงเนื้อหา และต้องอ้างอิงถึงเจ้าของเอกสารทุกครั้งที่มีการนำไปใช้

บทที่ 2

ความรู้เบื้องต้นเกี่ยวกับการควบคุมความเร็ว DC MOTOR

2.1 มอเตอร์ไฟฟ้ากระแสตรง (DC MOTOR)

มอเตอร์ไฟฟ้ากับเครื่องกำเนิดไฟฟ้าต่างกันตรงที่พลังงานที่ป้อนเข้า (Input Power) โดยพลังงานที่ป้อนเข้ามอเตอร์เป็นพลังงานไฟฟ้าและพลังงานที่จ่ายออก (Output Power) เป็นพลังงานกล แต่พลังงานที่ป้อนเข้าเครื่องกำเนิดไฟฟ้าเป็นพลังงานกลและพลังงานที่จ่ายออกเป็นพลังงานไฟฟ้า นอกจากนี้ทิศทางการไหลของกระแสไฟฟ้างก็ต่างกันด้วยคือ มอเตอร์ไฟฟ้าจะรับกระแสไฟฟ้าจากภายนอก ส่วนเครื่องกำเนิดไฟฟ้าจะจ่ายกระแสไฟฟ้าออกไปภายนอก

2.1.1 โครงสร้างของมอเตอร์ไฟฟ้ากระแสตรง

ส่วนประกอบที่สำคัญของมอเตอร์ไฟฟ้ากระแสตรงและเครื่องกำเนิดไฟฟ้ากระแสตรงนั้นเหมือนกัน



รูปที่ 2.1 แสดงส่วนประกอบของมอเตอร์ไฟฟ้ากระแสตรง

เอกสารนี้เป็นเอกสารที่สงวนไว้สำหรับการใช้งานเพื่อการศึกษาเท่านั้น ไม่อนุญาตให้นำไปใช้ประโยชน์ด้านการค้าไม่ว่ากรณีใดๆ ทั้งสิ้น อีกทั้งห้ามมิให้ดัดแปลงเนื้อหา และต้องอ้างอิงถึงเจ้าของเอกสารทุกครั้งที่มีการนำไปใช้

- A – ขดลวดสร้างสนามแม่เหล็ก (Field Winding)
- B – ขั้วแม่เหล็ก (Pole Core)
- C – ขดลวด Interpole หรือ Commutator Pole
- D – Stator Yoke
- E – Commutator Sectors
- F – ชุดแปรงถ่าน (Brushes)
- G – ลวดลัดอาร์มาเจอร์ (Armature Banding Wires)
- I – เพลาของตัวหมุน (Rotor Shaft)
- J – ช่อง (Slots) ลงขดลวดอาร์มาเจอร์

ส่วนที่หยุดนิ่งอยู่กับที่ (Stator) ประกอบด้วย

ก. เปลือกนอก (Frame หรือ Yoke) เป็นตัวยึดขั้วแม่เหล็กของส่วนที่อยู่กับที่ พร้อมทั้งทำให้เส้นแรงแม่เหล็กที่เกิดจากขั้วแม่เหล็กวิ่งได้ครบวงจร นอกจากนี้เปลือกนอกยังทำหน้าที่เป็นตัวยึดสำหรับติดตั้งเครื่องจักรรวมถึงเป็นเบ้ายึดลูกปืน (bearing) สำหรับเพลาของตัวหมุน การทำเปลือกนอกทำได้โดยการขึ้นรูป การใช้เหล็กหล่อ หรือ ใช้วิธีม้วนแผ่นเหล็กแล้วเชื่อมเป็นวง

ข. แกนเหล็กของขั้วแม่เหล็กและขั้วแม่เหล็ก (Pole-core and Pole-shoe) ทั้งสองส่วนนี้ประกบกันขึ้นมาเพื่อทำหน้าที่เป็นแกนและขั้วของแม่เหล็ก เพื่อทำให้เกิดสนามแม่เหล็กขึ้นหลังจากที่มีกระแสไฟฟ้าไหลผ่านขดลวดตัวนำที่พันรอบแกนเหล็ก

ค. ขดลวดที่พันรอบแกนเหล็ก (Pole Coils) ก็คือ Field Coil ที่ประกอบด้วยขดลวดกลมหรือขดลวดแบนที่ทำด้วยทองแดงหลายๆ เส้นนำมาทำให้เป็นรูปร่างของขดลวดตัวนำที่ต้องการ แล้วนำขดลวดตัวนำนี้สวมทับลง ไปบนแกนเหล็กของขั้วแม่เหล็ก ดังนั้นเมื่อมีกระแสผ่านขดลวดนี้ ก็ทำให้ขั้วแม่เหล็กมีอำนาจเป็นแม่เหล็กขึ้นมาโดยการผลิตเส้นแรงแม่เหล็กให้เกิดขึ้น เส้นแรงแม่เหล็กนี้จะถูกตัดผ่านตัวนำภายในอาร์มาเจอร์อีกทีหนึ่ง

ส่วนที่เคลื่อนที่หมุนไปได้รอบตัว (Rotor) ประกอบด้วย

ก. แกนเหล็กของอาร์มาเจอร์ (Armature Core) ทำจากแผ่นเหล็กซิลิกอนหนาประมาณ 0.5 มิลลิเมตร ผิวทั้ง 2 ข้างจะฉาบด้วยฉนวนแล้วนำมาอัดซ้อนเป็นรูปทรงกระบอกจะทำเป็นร่อง (Slot) เรียงตามแนวเส้นรอบวงรอบนอกของแกนเหล็กเพื่อที่ใช้พันขดลวดอาร์มาเจอร์ ส่วนตรงกลางก็เจาะรูเป็นวงกลมเพื่อเอาไว้ใส่แกนเหล็ก (Shaft) แล้วก็บากเป็นช่องสี่เหลี่ยมของรู

หนึ่งเพื่อใส่ตัวยึด (Lock) หรือ กุญแจ (Key) ทั้งนี้เพื่อไม่ให้เกิดการเคลื่อนที่ขึ้นระหว่างตัวเอกสารนี้เป็นเอกสารที่สงวนไว้สำหรับการใช้งานเพื่อการศึกษาเท่านั้น ไม่อนุญาตให้นำไปใช้ประโยชน์ด้านการค้าไม่ว่ากรณีใดๆ ทั้งสิ้น อีกทั้งห้ามมิให้ดัดแปลงเนื้อหา และต้องอ้างอิงถึงเจ้าของเอกสารทุกครั้งที่มีการนำไปใช้

อาร์มาเจอร์กับแกนเหล็ก (Shaft) นอกจากนี้ยังเจาะรูอากาศ (Air hole) เล็ก ๆ ทะลุผ่าน อาร์มาเจอร์เพื่อระบายความร้อนด้วย

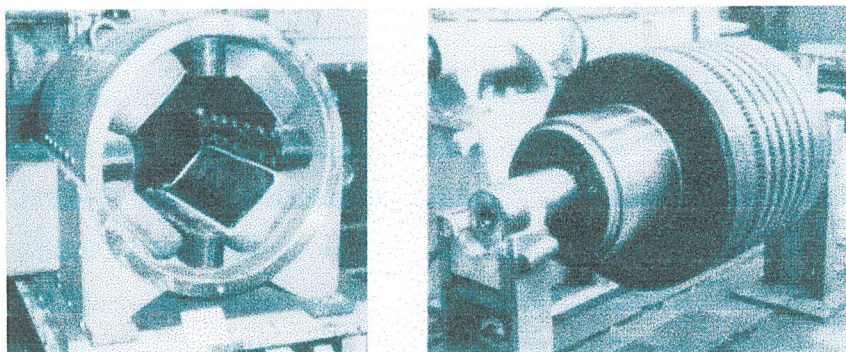
ข. *ขดลวดอาร์มาเจอร์* (Armature winding) ก็คือขดลวดที่พันอยู่ในร่องของ อาร์มาเจอร์

ค. *คอมมิวเตเตอร์* (Commutator) มีหน้าที่ คือ เป็นตัวที่เพิ่มความสะดวกในการ นำกระแสออกมาจากตัวนำที่พันอยู่ในอาร์มาเจอร์และเป็นตัวกลับกระแสไฟสลับที่เกิดขึ้นภายใน อาร์มาเจอร์ให้เป็นกระแสไฟตรง หรือ กระแสที่ไหล ไปยังวงจรภายนอกในทิศทางเดียวกัน รูปร่าง ของมันเป็นรูปทรงกระบอก ซึ่งต่อซี่ที่ต่อชิดกันนั้นคั่นไว้ด้วยฉนวนหนาที่แข็งแรง แต่ละซี่ต่อไปยัง ขั้วต่อของคอมมิวเตเตอร์ เพื่อให้ตัวนำที่ฝังอยู่ในอาร์มาเจอร์ยึดเกาะได้มั่นคงอีกทีหนึ่ง การป้องกัน ไม่ให้ซี่คอมมิวเตเตอร์ต่าง ๆ เหล่านี้ต้องกระเด็นหลุดไปอันเนื่องมาจากแรงหนีศูนย์กลาง จึงใช้ ห่วงวงแหวนที่ทำด้วยไมก้ายึดซี่คอมมิวเตเตอร์ทั้งหมดไว้

ง. *แกนหมุน* (Shaft) เป็นตัวรับน้ำหนักในส่วนต่าง ๆ ของโรเตอร์ทั้งหมด โดย ถ่ายทอดน้ำหนักนี้ไปยังลูกปืน (Bearing) ที่รองรับแกนนี้อีกทีหนึ่ง และมีหน้าที่เป็นตัวรับหรือ ถ่ายทอดการหมุนหรือการเคลื่อนที่ต่าง ๆ ที่เกิดขึ้นกับ โรเตอร์ แกนหมุนนี้เป็นที่ยึดเกาะของ คอมมิวเตเตอร์ด้วย โดยมีฉนวนที่ทำด้วยไมก้ากั้นไว้ระหว่างคอมมิวเตเตอร์กับแกนหมุน

จ. *แปรงถ่านและลูกปืน* (Brushes and Bearings) แปรงถ่านมีหน้าที่เป็นตัวรวบรวมกระแสที่ได้จากคอมมิวเตเตอร์เพื่อส่งต่อไปยังวงจรภายนอก รูปร่างของแปรงถ่านเป็นแท่ง สี่เหลี่ยมผืนผ้า ซึ่งทำด้วยผงถ่านอัดแน่นเป็นก้อน แปรงถ่านเหล่านี้ถูกยึดติดอยู่กับที่จับแปรงถ่าน (Brush Holder) ซึ่งเป็นกล่องสำหรับใส่แปรงถ่านลงไปที่ยึดติดนี้ยึดติดกับเปลือกนอกอีกทีหนึ่ง ฉะนั้นหน้าสัมผัสกับซี่คอมมิวเตเตอร์ ส่วนตรงข้ามก็ถูกกดจากสปริงอีกทีหนึ่ง ตรงด้านที่ถูกกด ของแปรงถ่านต่อเข้ากับเส้นลวดทองแดงเล็ก ๆ ที่ถักเป็นเปีย เพื่อส่งต่อกระแสที่ได้จาก คอมมิวเตเตอร์นั้นว่ามีมากน้อยเพียงใดส่วนลูกปืนนั้นเป็นตัวที่ใช้สำหรับรับน้ำหนักทั้งหมดที่ได้รับ จากตัวหมุน และยังช่วยลดแรงเสียดทานที่แกนหมุนของตัวหมุนกระทำกับลูกปืนนั้น ปกติแล้วลูก ปืนนี้จะยึดติดอยู่ที่ฝาครอบทั้งสองด้านที่จะต้องยึดติดกับเปลือกนอกของเครื่องกำเนิดไฟอีกทีหนึ่ง

เอกสารนี้เป็นเอกสารที่สงวนไว้สำหรับการใช้งานเพื่อการศึกษาเท่านั้น ไม่อนุญาตให้นำไปใช้ประโยชน์ด้านการค้า ไม่ว่ากรณีใดๆ ทั้งสิ้น อีกทั้งห้ามมิให้ดัดแปลงเนื้อหา และต้องอ้างอิงถึงเจ้าของเอกสารทุกครั้งที่มีการนำไปใช้



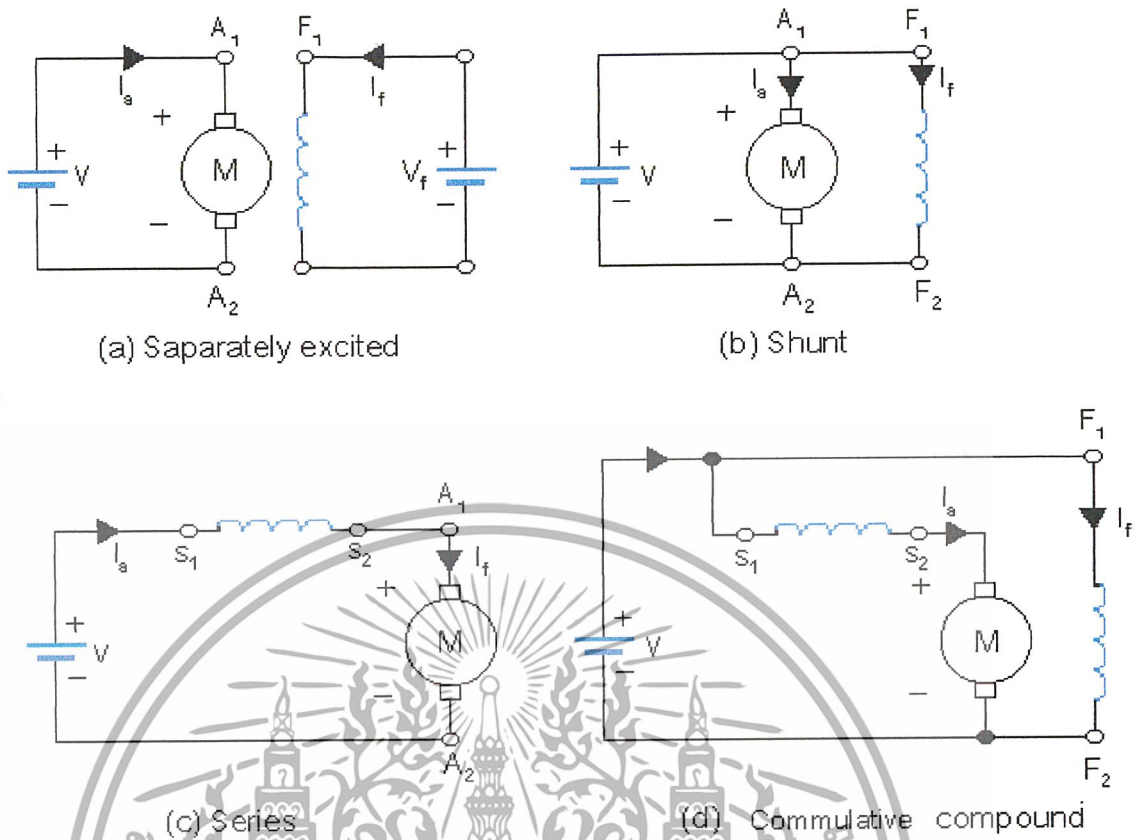
รูปที่ 2.2 แสดงส่วนประกอบที่เป็น Stator and Rotor

2.1.2 ชนิดของมอเตอร์ไฟฟ้ากระแสตรง

มอเตอร์ไฟฟ้ากระแสตรง แบ่งเป็น 4 ชนิด ดังนี้

1. มอเตอร์ไฟฟ้ากระแสตรงแบบแยกขดกระตุ้น
(Separately Excited DC Motor)
2. มอเตอร์ไฟฟ้ากระแสตรงแบบขนาน (Shunt DC Motor)
3. มอเตอร์ไฟฟ้ากระแสตรงแบบอนุกรม (Series DC Motor)
4. มอเตอร์ไฟฟ้ากระแสตรงแบบผสม
(Commulative Compound DC Motor)

เอกสารนี้เป็นเอกสารที่สงวนไว้สำหรับการใช้งานเพื่อการศึกษาเท่านั้น ไม่อนุญาตให้นำไปใช้ประโยชน์ด้านการค้า ไม่ว่ากรณีใดๆ ทั้งสิ้น อีกทั้งห้ามมิให้ดัดแปลงเนื้อหา และต้องอ้างอิงถึงเจ้าของเอกสารทุกครั้งที่มีการนำไปใช้



รูปที่ 2.3 แสดงชนิดของมอเตอร์ไฟฟ้ากระแสตรง

ในกรณีของของมอเตอร์ไฟฟ้ากระแสตรงแบบแยกขดกระตุ้นการควบคุมสัปดาห์ที่ติดคร่อมอาร์มาเจอร์และขดสนาม (Field) นั้นแยกอิสระต่อกัน ส่วนมอเตอร์ไฟฟ้ากระแสตรงแบบขนาน ขดสนามและอาร์มาเจอร์ต่อกับแหล่งจ่ายไฟเดียวกัน การที่จะควบคุมแยกกันทำได้โดยวิธีเดียว คือ การเพิ่มความต้านทาน (R) ภายในวงจร แต่เป็นวิธีการควบคุมที่ไม่มีประสิทธิภาพ

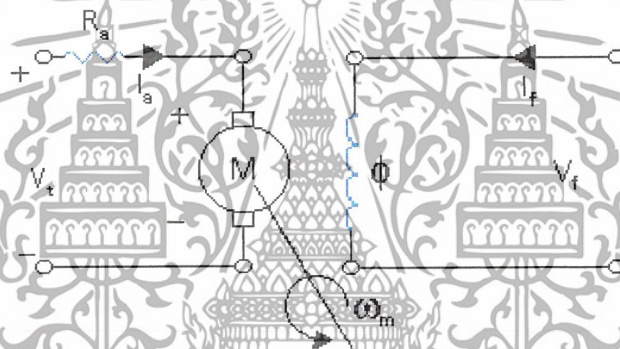
ในกรณีของมอเตอร์ไฟฟ้ากระแสตรงแบบอนุกรมกระแสที่ไหลผ่านขดสนาม (Field flux) จึงขึ้นอยู่กับกระแสอาร์มาเจอร์ด้วย ส่วนมอเตอร์ไฟฟ้ากระแสตรงแบบผสม แรงเคลื่อนแม่เหล็กไฟฟ้า (magnetomotive force ; mmf) ของสัปดาห์สนามที่ต่ออนุกรมกับมอเตอร์อยู่ มีผลต่อกระแสอาร์มาเจอร์ด้วยและมีทิศทางเดียวกับแรงเคลื่อนแม่เหล็กของขดสนามที่ต่อขนานกับมอเตอร์

เอกสารนี้เป็นเอกสารที่สงวนไว้สำหรับการใช้งานเพื่อการศึกษาเท่านั้น ไม่อนุญาตให้นำไปใช้ประโยชน์ด้านการค้าไม่ว่ากรณีใดๆ ทั้งสิ้น อีกทั้งห้ามมิให้ดัดแปลงเนื้อหา และต้องอ้างอิงถึงเจ้าของเอกสารทุกครั้งที่มีการนำไปใช้

2.1.3 การควบคุมความเร็วของมอเตอร์ไฟฟ้ากระแสตรง (Speed control of DC Motor)

ในการที่จะศึกษาถึงวิธีในการควบคุมความเร็วของมอเตอร์ไฟฟ้ากระแสตรง (DC Motor) นั้น ก่อนอื่นเราจะต้องทราบเสียก่อนว่าตัวแปรต่างๆ ที่จะมีผลต่อความเร็วของมอเตอร์ไฟฟ้ากระแสตรงนั้นมีอะไรบ้าง และตัวแปรแต่ละตัวที่มีอิทธิพลต่อความเร็วของมอเตอร์ไฟฟ้ากระแสตรงที่เราทราบนั้นจะมีข้อดีและข้อเสียอย่างไร ในการที่จะนำไปใช้เพื่อที่จะควบคุมความเร็วของมอเตอร์ไฟฟ้ากระแสตรง

เพื่อที่เราจะสามารถหาตัวแปรที่จะมีผลต่อความเร็วของมอเตอร์ไฟฟ้ากระแสตรงได้นั้น เราจะเริ่มพิจารณาจากวงจรสมมูลของมอเตอร์ไฟฟ้ากระแสตรง



รูปที่ 2.4 แสดงวงจรสมมูลของ DC MOTOR

จากรูปเราจะได้สมการดังนี้

$$V_t = I_a * R_a + E_a$$

และจากสมการแรงเคลื่อนไฟฟ้าเหนี่ยวนำของมอเตอร์ไฟฟ้ากระแสตรงจะได้ว่า

$$E_a = K_a * \phi * \omega_m$$

ดังนั้นจะได้ว่า

$$V_t = I_a * R_a + K_a * \phi * \omega_m$$

โดยที่

$$V_t = \text{แรงเคลื่อนไฟฟ้าที่มอเตอร์ได้รับ}$$

เอกสารนี้เป็นเอกสารที่สงวนไว้สำหรับการใช้งานเพื่อการศึกษาเท่านั้น ไม่อนุญาตให้นำไปใช้ประโยชน์ด้านการค้า ไม่ว่ากรณีใดๆ ทั้งสิ้น อีกทั้งห้ามมิให้ตัดแปลงเนื้อหา และต้องอ้างอิงถึงเจ้าของเอกสารทุกครั้งที่มีการนำไปใช้

E_a = แรงเคลื่อนไฟฟ้าที่เหนี่ยวนำขึ้นในอาร์มาเจอร์

I_a = กระแสไฟฟ้าที่ไหลในอาร์มาเจอร์

R_a = ความต้านทานของอาร์มาเจอร์

K_a = ค่าคงที่ = $(Z * P) / (60 * a)$

Z = จำนวนตัวนำทั้งหมดในอาร์มาเจอร์ที่ต่ออนุกรมกัน

P = จำนวนขั้วแม่เหล็กของมอเตอร์

a = จำนวนแฉก (Path) ที่ขนานกัน

= จำนวนเส้นแรงแม่เหล็กขั้วมอเตอร์

N = ความเร็วรอบของมอเตอร์

เราสามารถหาความเร็วของมอเตอร์ไฟฟ้ากระแสตรงได้ดังนี้

$$K_a * \phi * \omega_m = V_t - (I_a * R_a)$$

เพราะฉะนั้นเราจะได้ว่า

$$\omega_m = (V_t - (I_a * R_a)) / (K_a * \phi)$$

เนื่องจากว่าเทอม $I_a * R_a$ นั้นมีค่าน้อยมากเมื่อเทียบกับ V_t ทั้งนี้ก็เพราะว่าค่าของความต้านทานของอาร์มาเจอร์ (R_a) นั้นมีค่าน้อยมาก โดยที่ขนาดของความต้านทานจะยังมีค่าน้อย เมื่อขนาดของมอเตอร์ไฟฟ้ากระแสตรงนั้นมีขนาดใหญ่มากขึ้น ดังนั้นเราจะได้ว่า

$$\omega_m = V_t / (K_a * \phi)$$

นั่นก็คือ

$$\omega_m \propto V_t$$

และ

$$\omega_m \propto 1 / \phi$$

เราจะเห็นได้ว่า ตัวแปรที่จะมีอิทธิพลต่อความเร็วของมอเตอร์ไฟฟ้ากระแสตรงนั้นก็คือ

1. ค่าแรงเคลื่อนไฟฟ้าที่มอเตอร์ได้รับ (V_t)
2. จำนวนเส้นแรงแม่เหล็กต่อขั้วของมอเตอร์ (ϕ)

ดังนั้นการควบคุมความเร็วของมอเตอร์ไฟฟ้ากระแสตรงนั้น จึงสามารถทำได้ 2 แบบด้วยกันคือ

1. การควบคุมแรงเคลื่อนไฟฟ้าที่จ่ายให้กับมอเตอร์ (V_t) โดยการควบคุมความเร็วแบบนี้ จะเรียกว่า การควบคุมแรงเคลื่อนไฟฟ้าที่จ่ายให้กับมอเตอร์ (Armature voltage control)

เอกสารนี้เป็นเอกสารที่สงวนไว้สำหรับการใช้งานเพื่อการศึกษาเท่านั้น ไม่อนุญาตให้นำไปใช้ประโยชน์ด้านการค้าไม่ว่ากรณีใดๆ ทั้งสิ้น อีกทั้งห้ามมิให้ดัดแปลงเนื้อหา และต้องอ้างอิงถึงเจ้าของเอกสารทุกครั้งที่มีการนำไปใช้

2. การควบคุมจำนวนเส้นแรงแม่เหล็กต่อขั้ว (ϕ) โดยการควบคุมแบบนี้ จะเรียกว่า “ การควบคุมโดยใช้เส้นแรงแม่เหล็ก (Field control) ”

ถ้าเราพิจารณาถึงการเปลี่ยนแปลงค่าของความต้านทานที่อาร์มาเจอร์ เราก็สามารถเปลี่ยนแปลงความเร็วของมอเตอร์ได้เช่นกัน โดยที่เราจะเรียกการควบคุมในลักษณะนี้ว่า “ การควบคุมโดยใช้ความต้านทาน (Rheostatic control) ”

ในการควบคุมความเร็วของมอเตอร์ในลักษณะนี้ เราจะใช้เมื่อต้องการควบคุมความเร็วของมอเตอร์ให้ต่ำหรือช้ากว่าความเร็วที่พิกัด (Rated speed) ของมอเตอร์ที่ต้องการควบคุมนั้น โดยที่แรงเคลื่อนไฟฟ้าที่จ่ายให้กับมอเตอร์มีค่าคงที่อยู่ที่ โดยที่ความต้านทานที่ต่ออนุกรมเข้าไปนี้จะไปมีผลทำให้แรงเคลื่อนไฟฟ้าที่ตกคร่อมอาร์มาเจอร์เปลี่ยนแปลงไป ซึ่งก็คือการควบคุมแรงเคลื่อนไฟฟ้าที่ตกคร่อมอาร์มาเจอร์ในทางอ้อมนั่นเอง (Indirect voltage control of armature) ดังนั้นในที่นี้จึงมิได้แบ่งการควบคุมในลักษณะนี้เป็นหัวข้อหนึ่งในการควบคุมความเร็วของมอเตอร์ เนื่องจากการควบคุมความเร็วแบบนี้ เราจะต้องต่อความต้านทานอนุกรมเข้าไปในวงจร ดังนั้นเมื่อเราเปลี่ยนแปลงค่าความต้านทาน ในขณะที่แรงดันที่จ่ายให้กับมอเตอร์มีค่าคงที่อยู่นั้นก็เท่ากับว่าเราเปลี่ยนแปลงค่าของกระแสตัวเอง

เนื่องจากว่า

$$T = K_f \cdot \phi \cdot I_a$$

โดยที่

T = แรงบิดที่เกิดขึ้นที่เพลลาของมอเตอร์

K_f = ค่าคงที่ในสมการของแรง

$$= K_a / (2 \cdot \pi)$$

$$= [(Z \cdot P) / (60 \cdot a)] / (2 \cdot \pi)$$

ϕ = จำนวนเส้นแรงแม่เหล็กต่อขั้ว

I_a = กระแสที่ไหลในอาร์มาเจอร์

เราจะได้ว่า

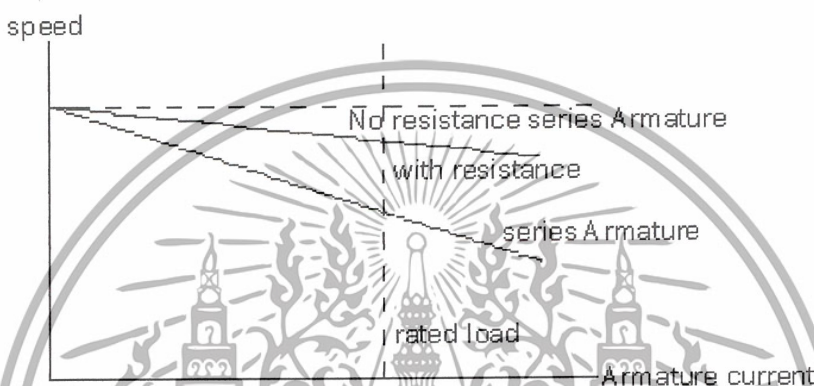
$$T \propto \phi$$

$$T \propto I_a$$

เอกสารนี้เป็นเอกสารที่สงวนไว้สำหรับการใช้งานเพื่อการศึกษาเท่านั้น ไม่อนุญาตให้นำไปใช้ประโยชน์ด้านการค้าไม่ว่ากรณีใดๆ ทั้งสิ้น อีกทั้งห้ามมิให้ตัดแปลงเนื้อหา และต้องอ้างอิงถึงเจ้าของเอกสารทุกครั้งที่มีการนำไปใช้

ดังนั้นเมื่อเราเปลี่ยนแปลงค่าความต้านทานที่ต่ออนุกรมเข้าไปในวงจรอาร์มาเจอร์ ก็จะทำให้แรงบิดที่มอเตอร์เปลี่ยนแปลงไปด้วย ทั้งนี้ก็เพราะว่ากระแสไฟฟ้าที่ไหลในอาร์มาเจอร์เปลี่ยนแปลงไปในขณะที่จำนวนเส้นแรงแม่เหล็กต่อขั้วคงที่อยู่ที่

เนื่องจากความเร็วของมอเตอร์แปรผันโดยตรงกับค่าความต้านทานที่อาร์มาเจอร์ ดังนั้นเมื่อเราเขียนกราฟแสดงความสัมพันธ์ระหว่างความเร็วกระแสไฟฟ้าในวงจรอาร์มาเจอร์ เราจะได้กราฟที่มีลักษณะที่เป็นเส้นตรง



รูปที่ 2.5 กราฟแสดงความสัมพันธ์ระหว่างความเร็วกับกระแสของอาร์มาเจอร์

ในการควบคุมความเร็วของมอเตอร์ในลักษณะนี้จะไม่ดี ทั้งนี้ก็เพราะว่า

1. เป็นวิธีการที่สิ้นเปลือง เพราะจะมีกำลังไฟฟ้าที่สูญเสียไปอย่างมากในตัวต้านทาน โดยที่จะสูญเสียไปในรูปของความร้อน และขณะเดียวกันเราจะต้องหาความต้านทานที่มีขนาดใหญ่มาด้วย เพราะเหตุที่ว่ากระแสที่ไหลผ่านอาร์มาเจอร์มีค่ามาก

2. เป็นวิธีที่ค่อนข้างจะแพง

3. เสถียรภาพของวงจรไม่ดี (Unstable) ด้วยเหตุผลดังกล่าว จึงทำให้การควบคุมในลักษณะนี้ไม่เป็นที่นิยมกันในปัจจุบัน

2.2 อินคริเมนต์เอนโคดเดอร์

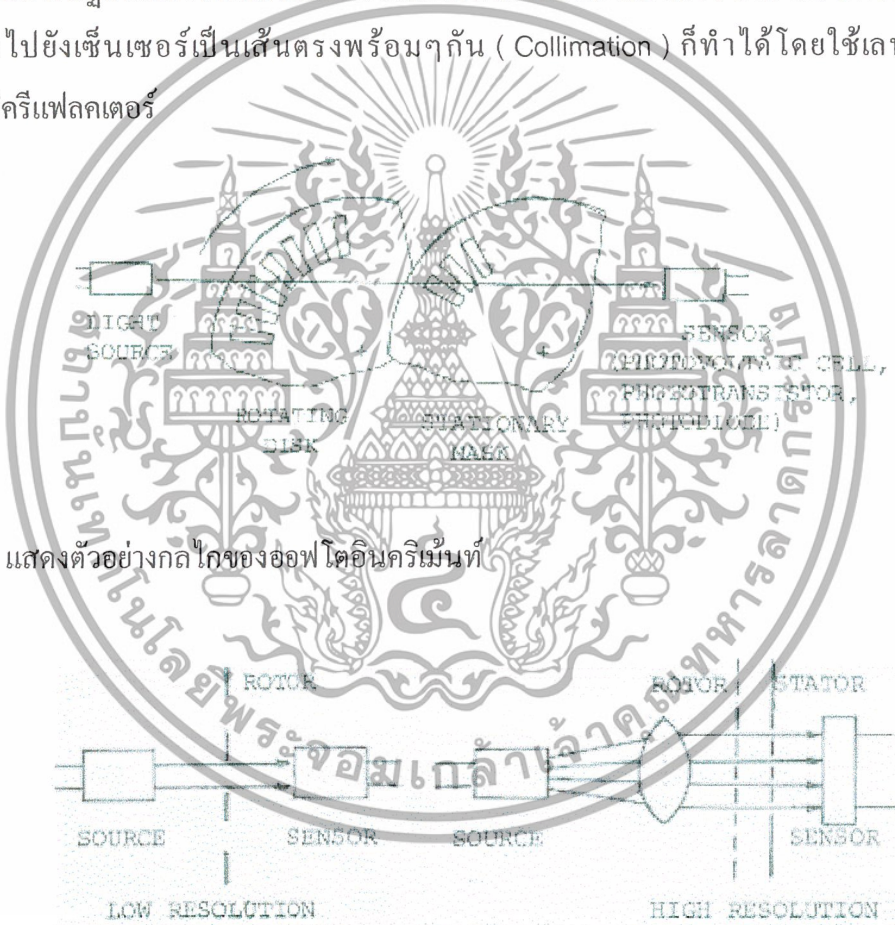
ในระบบการบังคับตำแหน่งหรือความเร็วของมอเตอร์ต้องใช้อินคริเมนต์เอนโคดเดอร์หรือเอนโคดเดอร์สำหรับรักษาตำแหน่งและสำหรับสร้างสัญญาณป้อนกลับ โดยที่ตัวเอนโคดเดอร์จะสร้างสัญญาณพัลส์ที่แปรผันตรงกับการหมุนของเพลตซึ่งสามารถนำไปใช้ในการรับรู้ความเร็วของเพลตมอเตอร์ในรูปของอัตราจำนวนพัลส์ได้

เอกสารนี้เป็นเอกสารที่สงวนไว้สำหรับการใช้งานเพื่อการศึกษาเท่านั้น ไม่อนุญาตให้นำไปใช้ประโยชน์ด้านการค้าไม่ว่ากรณีใดๆ ทั้งสิ้น อีกทั้งห้ามมิให้ดัดแปลงเนื้อหา และต้องอ้างอิงถึงเจ้าของเอกสารทุกครั้งที่มีการนำไปใช้

อินคริเม้นท์เอน โคเดเคอร์ประกอบด้วยส่วนที่สำคัญคือตัวกำเนิดแสง จานหมุน (Rotary disk) และตัวเซ็นเซอร์ บนแผ่นจานหมุนทำเป็นช่อง โดยรอบและบนแผ่นอยู่กับที่จะมีช่องสำหรับให้แสงผ่านตรงข้ามไปยังตัวเซ็นเซอร์ ถ้าเป็นเอน โคเดเคอร์ที่ใช้วัดความเร็วต่ำ ไม่ต้องมีแผ่นอยู่กับที่ก็ได้ ส่วนตัวกำเนิดแสงอาจจะเป็นหลอดไฟหรือ LED ก็ได้

ความละเอียดของเอน โคเดเคอร์คือจำนวนคาบเวลาของสัญญาณเอาท์พุทต่อการหมุนของเพลต 1 รอบ ซึ่งบวกเป็นจำนวนพัลส์ต่อรอบหรือจำนวนไซเคิลต่อ 360 องศา มุมทางเชิงกลหรือไซเคิลต่อองศา เอนโคเดเคอร์ที่ใช้กันทั่วไปมีค่าความละเอียดตั้งแต่ 15 ถึง 10,000 พัลส์ต่อรอบ

ในทางปฏิบัติเนื่องจากแสงที่ออกจากแหล่งกำเนิดเป็นลำแสงเดี่ยว ถ้าเราต้องการให้แสงที่ผ่านช่อง ไปยังเซ็นเซอร์เป็นเส้นตรงพร้อมๆกัน (Collimation) ก็ทำได้โดยใช้เลนส์หรือพาราโบลิกรีเฟลคเตอร์



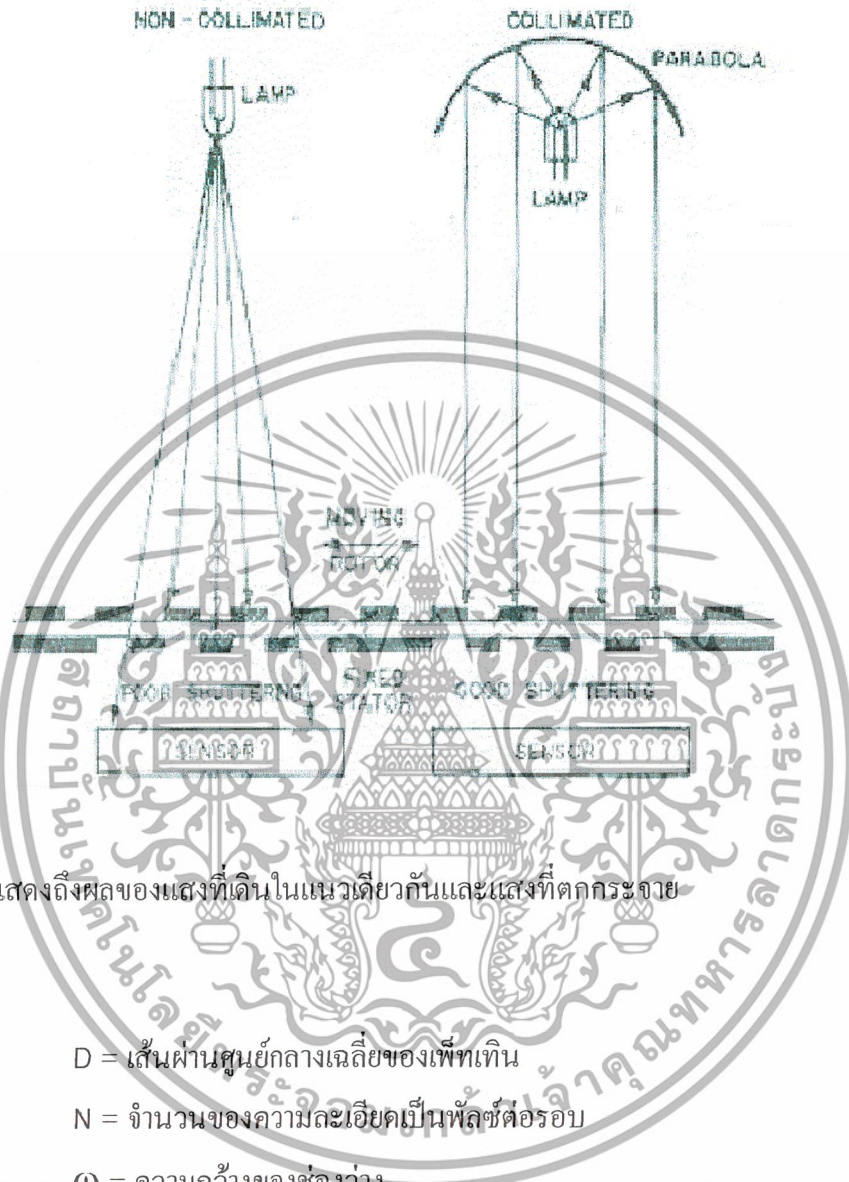
รูปที่ 2.6 แสดงตัวอย่างกลไกของออปโตอินคริเม้นท์

รูปที่ 2.7 แสดงถึงตัวเซ็นเซอร์แบบมีช่องปิดเปิดให้แสงผ่านได้ช่องเดียวและแบบมีหลายช่อง

จำนวนพัลส์ต่อ 1 รอบของสัญญาณที่เอน โคเดเคอร์สร้างออกมาจะเท่ากับจำนวนช่องว่างบนแผ่นจานหมุน และความกว้างของช่องว่างกับความกว้างของแถบที่บระหว่างช่องว่างจะเท่ากัน เพราะฉะนั้นเราสามารถคำนวณหาความกว้างของช่องว่าง (ω) ได้จาก

เอกสารนี้เป็นเอกสารที่สงวนไว้สำหรับการใช้งานเพื่อการศึกษาเท่านั้น ไม่อนุญาตให้นำไปใช้ประโยชน์ด้านการค้าไม่ว่ากรณีใดๆ ทั้งสิ้น อีกทั้งห้ามมิให้ดัดแปลงเนื้อหา และต้องอ้างอิงถึงเจ้าของเอกสารทุกครั้งที่มีการนำไปใช้

$$\omega = \frac{\pi D}{2N}$$



รูปที่ 2.8 แสดงถึงผลของแสงที่เดินในแนวเดียวกันและแสงที่ตกกระจาย

โดยที่

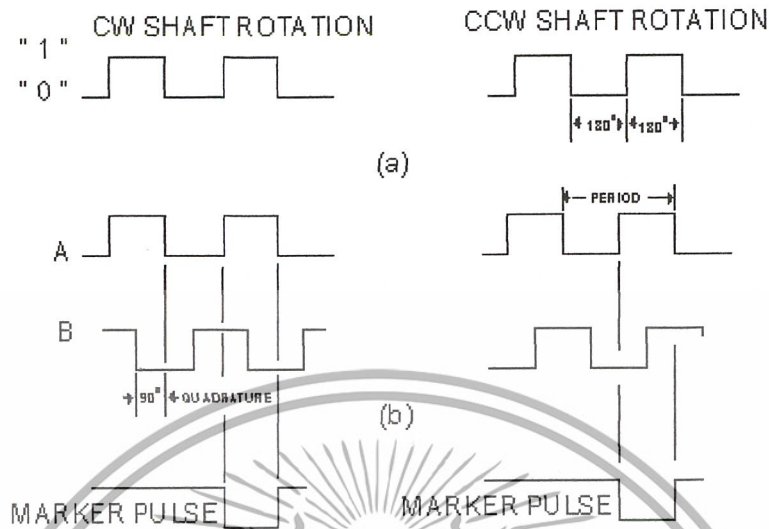
D = เส้นผ่านศูนย์กลางเฉลี่ยของเพ็ทเทิน

N = จำนวนของความละเอียดเป็นพัลซ์ต่อรอบ

ω = ความกว้างของช่องว่าง

เอาที่พุทของเอน โคคเตอร์ โดยทั่วๆ ไป แล้วสัญญาณเอาที่พุทที่ออกจากเอน โคคเตอร์โดยตรงจะมีระดับ ไม่เพียงพอในการควบคุมหรือสำหรับการประมวลสัญญาณ ดังนั้นจึงต้องมีวงจรขยายและแปลงรูปร่างลูกคลื่นสัญญาณต่อไว้ในตัวเอน โคคเตอร์ด้วยเสมอ สัญญาณลูกคลื่นที่ได้จากตัวเซ็นเซอร์ปกติแล้วจะเป็นรูปสัญญาณสามเหลี่ยมหรือรูปสัญญาณซายน์ขึ้นอยู่กับความละเอียดที่ต้องการ รูปสัญญาณเหล่านี้สามารถทำให้เป็นสัญญาณรูปสี่เหลี่ยมได้โดยการต่อตัวคอมพาราเตอร์เข้ากับลิเนียร์แอมพลิไฟของเอน โคคเตอร์ก็จะ ได้เอาที่พุทเป็นลูกคลื่นสี่เหลี่ยมตาม

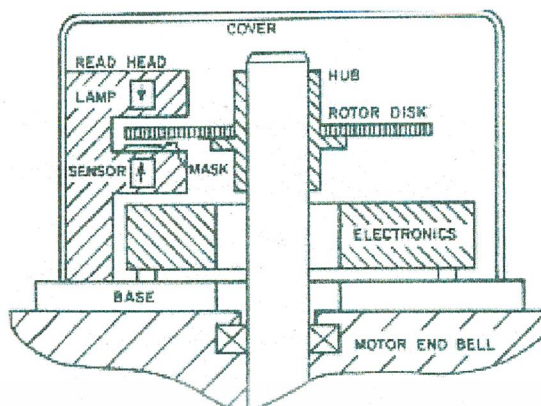
เอกสารนี้เป็นเอกสารที่สงวนไว้สำหรับการใช้งานเพื่อการศึกษาเท่านั้น ไม่อนุญาตให้นำไปใช้ประโยชน์ด้านการค้าไม่ว่ากรณีใดๆ ทั้งสิ้น อีกทั้งห้ามมิให้ตัดแปลงเนื้อหา และต้องอ้างอิงถึงเจ้าของเอกสารทุกครั้งที่มีการนำไปใช้



รูปที่ 2.9 (a) แสดงตัวอย่างถูกคลื่นเอาต์พุตที่เหลื่อมของอุปกรณ์เอนโคเดอร์ช่องเดียว
(b) แสดงตัวอย่างสัญญาณเอนโคเดอร์ 2 ช่องที่มีมุมเฟสต่างกัน 90° (สองทาง)

จากรูป (a) แสดงถึงถูกคลื่นเอาต์พุตที่เหลื่อมของเอนโคเดอร์ชนิด 1 ช่องไม่ว่าเพลลาจะหมุนในทิศทางใดก็ได้สัญญาณออกมาเหมือนกันจึงเหมาะที่จะใช้กับงานที่ไม่กำหนดทิศทางเท่านั้น ส่วนในรูป (b) แสดงสัญญาณ 2 ชุดที่ได้จากเอนโคเดอร์ชนิด 2 ช่องเฟสของสัญญาณ 2 ช่องนี้จะต่างกัน 90° องศาทางไฟฟ้าเราเรียกสัญญาณ 2 ช่องนี้ว่าเป็นควอดราเจอร์ (Quadrature) กันซึ่งเหมาะที่จะใช้ในการรับรู้ทิศทางการหมุนของเพลลาหรือใช้ควบคุมระบบที่ซับซ้อนอื่นๆ จากสัญญาณในรูป (b) จะเห็นได้ว่าสัญญาณทั้ง 2 ช่องจะเริ่มจาก 0 ถึง 1 และ 1 ถึง 0 ขึ้นอยู่กับทิศทางการหมุนของแผ่นหมุนของเอนโคเดอร์ ในอินครีเมนที่เอนโคเดอร์บางชนิดจะมีพัลส์ที่แสดงถึงจำนวนรอบของการหมุนสำหรับใช้เป็นศูนย์ในการอ้างอิงพัลส์ที่ใช้แสดงจำนวนรอบนี้จะเกิดขึ้น 1 พัลส์ต่อ 1 รอบ โดยทั่วไปแล้วใช้บอกถึงตำแหน่งเชิงกลหรือใช้เป็นสัญญาณเคิลยจำนวนที่นับได้ในหน่วยเก็บข้อมูล

เอกสารนี้เป็นเอกสารที่สงวนไว้สำหรับการใช้งานเพื่อการศึกษาเท่านั้น ไม่อนุญาตให้นำไปใช้ประโยชน์ด้านการค้าไม่ว่ากรณีใดๆ ทั้งสิ้น อีกทั้งห้ามมิให้ดัดแปลงเนื้อหา และต้องอ้างอิงถึงเจ้าของเอกสารทุกครั้งที่มีการนำไปใช้



รูปที่ 2.10 แสดงตัวอย่างของเอนโคเคอร์

2.3 ไมโครคอนโทรลเลอร์ MCS-51

2.3.1 โครงสร้างของ MCS-51

ไมโครคอนโทรลเลอร์ตระกูล MCS-51 มีตัวกันหลายเบอร์ขึ้นอยู่กับโครงสร้างภายในของมัน บางเบอร์จะมีหน่วยความจำภายในเป็นแบบ ROM บางเบอร์เป็นแบบ EPROM บางเบอร์มี RAM ภายใน 128 ไบต์บางเบอร์ 256 ไบต์ เป็นต้น ซึ่งรายละเอียดจะศึกษาได้จากคู่มือของมัน โดยตรงและลักษณะของขาต่างๆจะเหมือนกัน คุณสมบัติที่สำคัญของ MCS-51 มีดังนี้

- มีหน่วยความจำ ROM 4K bytes
- มีหน่วยความจำ RAM 128 bytes
- มีพอร์ต I/O ขนาด 8 บิต 4 พอร์ต
- มี Timer 16 บิต 2 ตัว
- สามารถอินเทอร์รัพท์ได้ 5 แหล่ง
- มีวงจรออสซิลเลเตอร์และวงจรมหาพีคาบนชิพ
- มีพอร์ตอนุกรมที่สามารถรับส่งข้อมูลแบบ Full Duplex ความเร็ว
- อ้างหน่วยความจำโปรแกรมภายนอกได้ 64 K
- อ้างหน่วยความจำข้อมูลภายนอกได้ 64 K
- สามารถประมวลผลที่ละบิตได้
- สามารถอ้างหน่วยความจำแบบบิตได้ 210 ตำแหน่ง
- หนึ่งวัฏจักรคำสั่งกินเวลาประมาณ 1 ไมโครวินาที ขณะทำงานด้วย สัญญาณ

Clock 12 MHz

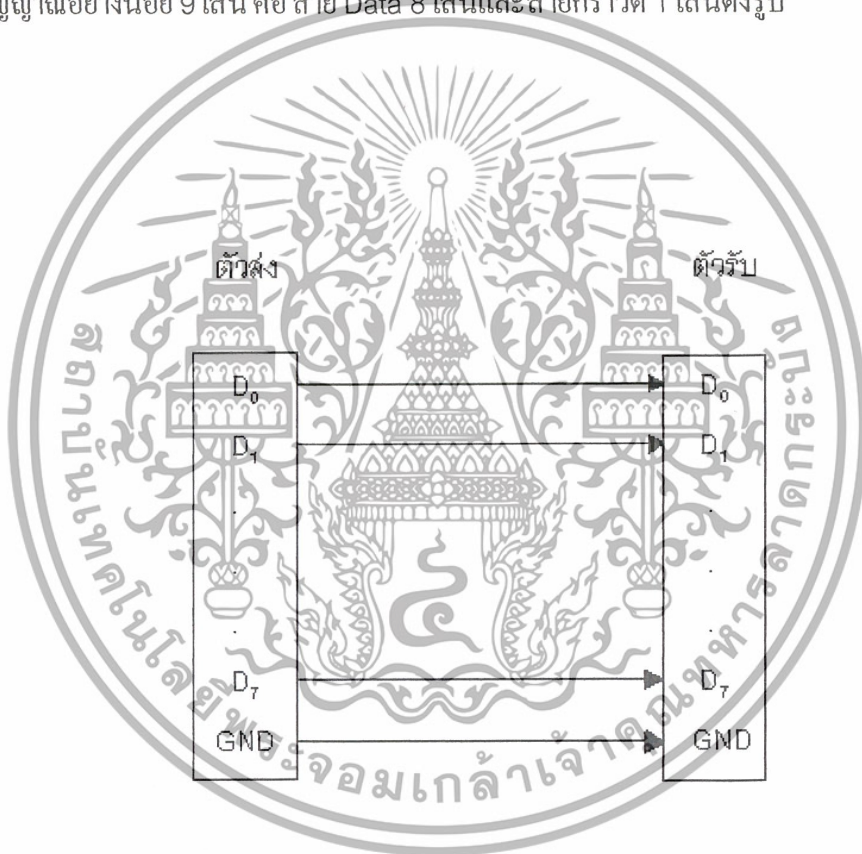
เอกสารนี้เป็นเอกสารที่สงวนไว้สำหรับการใช้งานเพื่อการศึกษาเท่านั้น ไม่อนุญาตให้นำไปใช้ประโยชน์ด้านการค้าไม่ว่ากรณีใดๆ ทั้งสิ้น อีกทั้งห้ามมิให้ดัดแปลงเนื้อหา และต้องอ้างอิงถึงเจ้าของเอกสารทุกครั้งที่มีการนำไปใช้

2.3.2 การรับส่งข้อมูลแบบอนุกรม

พื้นฐานการรับส่งข้อมูล การรับส่งข้อมูลในระบบคอมพิวเตอร์โดยทั่วไปจะหมายถึง การรับส่งข้อมูลเป็นจำนวนไบนารีๆ ให้กับอุปกรณ์ที่เกี่ยวข้องกับคอมพิวเตอร์ ซึ่งอาจแบ่งประเภทการรับส่งข้อมูลได้ 2 แบบ

- 1. การรับส่งข้อมูลแบบขนาน (Parallel)
- 2. การรับส่งข้อมูลแบบอนุกรม (Serial)

การรับส่งข้อมูลแบบขนานเป็นการรับส่งข้อมูล จำนวน 1 ไบนารี ออกไปทางพอร์ท ในเวลาเดียวกันในระบบคอมพิวเตอร์ 1 ไบนารีจะมีจำนวน 8 บิต คือ $D_0 - D_7$ ถ้ามีการส่งข้อมูลแบบขนานจะใช้สายสัญญาณอย่างน้อย 9 เส้น คือ สาย Data 8 เส้นและสายกราวด์ 1 เส้นดังรูป



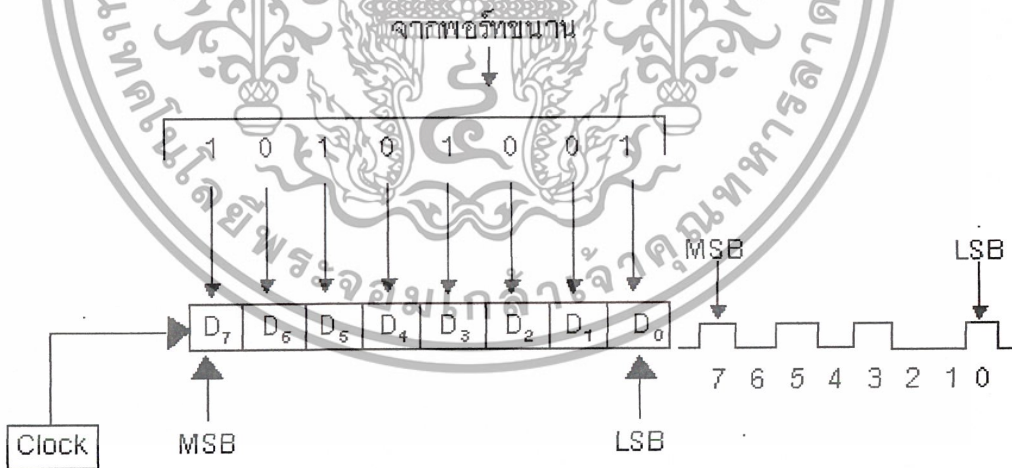
รูปที่ 2.11 แสดงการรับส่งข้อมูลแบบขนาน

เอกสารนี้เป็นเอกสารที่สงวนไว้สำหรับการใช้งานเพื่อการศึกษาเท่านั้น ไม่อนุญาตให้นำไปใช้ประโยชน์ด้านการค้า ไม่ว่ากรณีใดๆ ทั้งสิ้น อีกทั้งห้ามมิให้ดัดแปลงเนื้อหา และต้องอ้างอิงถึงเจ้าของเอกสารทุกครั้งที่มีการนำไปใช้

การรับส่งข้อมูลแบบอนุกรม คือ การรับส่งข้อมูลที่ละบิต จนครบ 1 ไบต์ ถ้าต้องการส่งข้อมูล 1 ไบต์ คือ $D_0 - D_7$ อาจส่งทีละบิต D_0 ออกไปก่อนแล้วตามด้วย D_1 เรื่อย ๆ จนถึง D_7 การส่งข้อมูลทั้ง 2 แบบ มีข้อดีข้อเสียแตกต่างกัน คือ การส่งข้อมูลแบบขนานสามารถส่งข้อมูลได้รวดเร็ว คือ ส่งข้อมูลที่เดียวจะได้ข้อมูลครบ 1 ไบต์ แต่ถ้าต้องการส่งเป็นระยะทางไกล ๆ จะสิ้นเปลืองสายสัญญาณมาก ถ้าเป็นการส่งข้อมูลแบบอนุกรม เมื่อต้องการส่งข้อมูลเป็นระยะทางไกล ๆ จะช่วยประหยัดสายสัญญาณเนื่องจากจะใช้สายสัญญาณ เพียง 2 เส้น คือ สายสัญญาณกับสายกราวด์ แต่การรับส่งจะใช้เวลานานเนื่องจากการเป็นการส่งทีละบิต

2.3.3 รูปแบบของการรับส่งข้อมูลแบบอนุกรม

เมื่อไมโครคอมพิวเตอร์ต้องการจะส่งข้อมูลอนุกรม ตัวไมโครคอมพิวเตอร์จะส่งสัญญาณออกไปทางพอร์ทซึ่งเป็นพอร์ทแบบขนานก่อน จากนั้นจะมีอุปกรณ์มาต่อพอร์ท เพื่อแปลงข้อมูลแบบขนานให้เป็นแบบอนุกรมอีกทีหนึ่ง (Parallel - to - serial - conversion) ตัวแปลงข้อมูลนี้อาจพิจารณาได้ง่าย ๆ ว่าเป็น Shift Register ดังรูป เมื่อข้อมูลที่ส่งอยู่ใน Shift Register แล้วตัวต่อสัญญาณนาฬิกาจะเป็นตัวกระตุ้นให้ส่งข้อมูลบิตต่ำออกไปเวลาแรก จากนั้นจะส่งบิตต่อไปออกมาจากรูป จะเป็นการส่งข้อมูล A9H ออกไป



รูปที่ 2.12 แสดงการส่งข้อมูลแบบอนุกรม

เอกสารนี้เป็นเอกสารที่สงวนไว้สำหรับการใช้งานเพื่อการศึกษาเท่านั้น ไม่อนุญาตให้นำไปใช้ประโยชน์ด้านการค้าไม่ว่ากรณีใดๆ ทั้งสิ้น อีกทั้งห้ามมิให้ดัดแปลงเนื้อหา และต้องอ้างอิงถึงเจ้าของเอกสารทุกครั้งที่มีการนำไปใช้

ถ้าสำหรับตัวรับข้อมูลแบบอนุกรมเมื่อตัวรับข้อมูลจะเป็นการรับเข้ามาใน Shift Register แล้วส่งข้อมูลให้ไมโครคอนโทรลเลอร์แบบขนานอีกทีหนึ่ง (Serial – to – parallel)ระบบคอนโทรลเลอร์ในปัจจุบันจะมีตัวแปลง Parallel – to – serial และ serial – to – parallel อยู่ในชิพไอซี เรียกว่า Universal Asynchronous Receiver Transmitter (UART) การรับส่งข้อมูลแบบอนุกรมนั้นจะต้องมีการเพิ่มเติมข้อมูลบางอย่างเข้าไปเพื่อให้การรับข้อมูลสามารถทำได้ถูกต้องมากขึ้น โดยการเติมค่าต่าง ๆ ลงไปตามรูปด้านล่าง



รูปที่ 2.13 แสดงบิตต่าง ๆ ของข้อมูลที่ส่งแบบอนุกรม

ถ้ามีการส่งข้อมูลแบบ 8 บิต จะต้องส่งบิตแรกออกไปก่อน เรียกว่า บิตเริ่มต้น (Start Bit) ถ้ามีการส่งข้อมูลหลาย ๆ ไบต์ออกมา บิตนี้จะเป็นตัวบอกว่ามีข้อมูลใหม่มาแล้ว โดยทั่วไปบิตเริ่มต้นมักมีระดับลอจิกเป็น “ 0 “ ต่อจากค่าบิตเริ่มต้นจะเป็นข้อมูลบิต D₀ – D₇ จากนั้นจะตามด้วยบิตตรวจสอบความถูกต้อง (Parity Bit) ถ้าข้อมูล 8 บิตที่ส่งออกมา จำนวนของบิตมีค่าเป็น “ 1 “ เป็นจำนวนคู่บิตนี้จะมีค่าเป็น “ 0 “ แต่ถ้าจำนวนของบิตมีค่าเป็น “ 1 “ เป็นคี่ บิตนี้จะมีค่าเป็น “ 1 “ จากนั้น ข้อมูลที่ส่งออกไปจะตามด้วยบิตสิ้นสุดข้อมูล (Stop Bit) เพื่อเป็นการบอกว่าข้อมูลที่ส่งมา 8 บิตนั้นหมดแล้วตัวบิต Stop อาจมีจำนวนมากกว่า 1 บิต ก็ได้ เช่น $1\frac{1}{2}$ บิต , 2 บิต

การส่งข้อมูลแบบอนุกรมนั้นมีความเร็วของการส่งจะมีค่าเป็น บิตต่อวินาที เรียกว่า “ Baud Rate “

2.3.4 MCS-51 กับการรับส่งข้อมูลแบบอนุกรม

การรับส่งข้อมูลแบบอนุกรมกับไมโครคอนโทรลเลอร์ MCS-51 นั้น ภายในชิพ MCS-51 จะมี UART อยู่ในตัวแล้ว ซึ่งเป็นข้อดีของไมโครคอนโทรลเลอร์ ถ้าเป็นไมโครคอนโทรลเลอร์ เช่น เบอร์ Z-80 ถ้าต้องการรับส่งข้อมูลแบบอนุกรมจะต้องนำชิพ UART มาประกอบด้วย

เอกสารนี้เป็นเอกสารที่สงวนไว้สำหรับการใช้งานเพื่อการศึกษาเท่านั้น ไม่อนุญาตให้นำไปใช้ประโยชน์ด้านการค้าไม่ว่ากรณีใดๆ ทั้งสิ้น อีกทั้งห้ามมิให้ดัดแปลงเนื้อหา และต้องอ้างอิงถึงเจ้าของเอกสารทุกครั้งที่มีการนำไปใช้

พอร์ตอนุกรมของ MCS-51 จะใช้ขา TXD และ RXD ในการรับส่งข้อมูลโดยขาทั้ง 2 จะอยู่ในพอร์ต 3 คือ P3.1 หรือขา 11 เป็น TXD และ P3.0 หรือ ขา 10 เป็น RXD พอร์ตอนุกรมของ MCS-51 สามารถทำงานแบบ Full Duplex ได้ คือ สามารถส่งและรับข้อมูลในเวลาเดียวกันได้ โดยในการรับและส่งข้อมูลจะมีบัฟเฟอร์สำหรับเก็บข้อมูลให้ใช้ รีจิสเตอร์ที่สำคัญในการรับส่งข้อมูลคือ SBUF และ SCON ซึ่งเป็นรีจิสเตอร์ที่อยู่ใน Special Function Register โดยรีจิสเตอร์ Serial Port Buffer (SBUF) จะอยู่ในตำแหน่ง 99H ถ้าเขียนข้อมูลไปที่ตำแหน่งนี้ จะเป็นการส่งข้อมูลออกทางพอร์ตทางพอร์ตอนุกรม และถ้าอ่านข้อมูลจากตำแหน่งนี้จะเป็นการรับข้อมูลจากพอร์ต โดยใน SBUF จะประกอบด้วยบัฟเฟอร์ 2 ตัว สำหรับส่งและรับข้อมูล ดังรูปด้านล่างนี้



รูปที่ 2.14 การรับส่งข้อมูลระหว่างรีจิสเตอร์กับบัฟเฟอร์ภายใน

สำหรับ Serial Port Register (SCON) ซึ่งอยู่ที่ตำแหน่ง 98H จะเป็นรีจิสเตอร์ที่สามารถเข้าถึงข้อมูลระดับบิตได้ รีจิสเตอร์นี้จะทำหน้าที่ควบคุมและบอกสถานะต่าง ๆ ของการรับส่งข้อมูลแบบอนุกรม

สำหรับความเร็วของการส่งข้อมูล (Baud Rate) สามารถหาได้จากตารางหาอัตรานาฬิกาที่ใช้กับ MCS-51

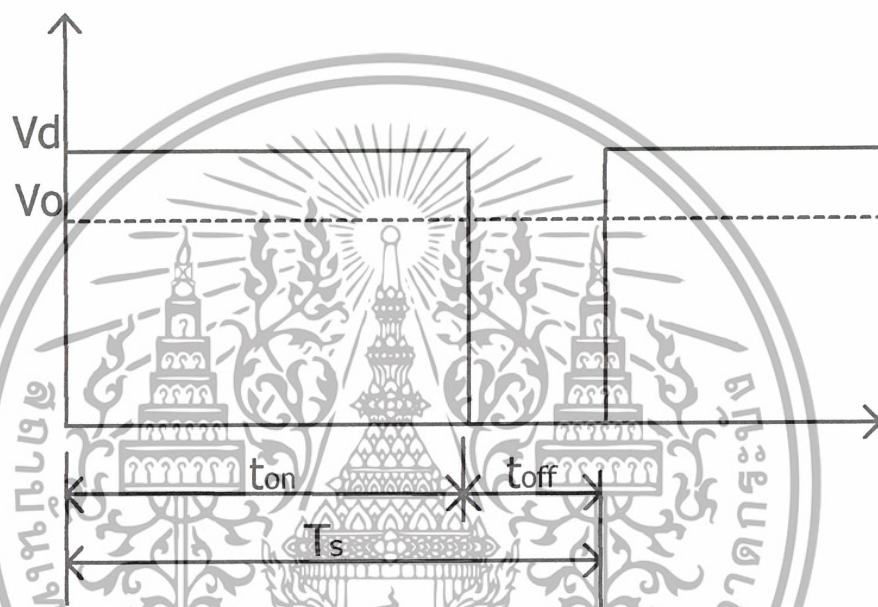
เอกสารนี้เป็นเอกสารที่สงวนไว้สำหรับการใช้งานเพื่อการศึกษาเท่านั้น ไม่อนุญาตให้นำไปใช้ประโยชน์ด้านการค้าไม่ว่ากรณีใดๆ ทั้งสิ้น อีกทั้งห้ามมิให้ดัดแปลงเนื้อหา และต้องอ้างอิงถึงเจ้าของเอกสารทุกครั้งที่มีการนำไปใช้

บทที่ 3

หลักการและทฤษฎีที่ใช้ในการออกแบบ

3.1 ทฤษฎีที่เกี่ยวข้อง

หลักการของ Duty Cycle เบื้องต้น



รูปที่ 3.1 แสดงลักษณะของ Duty Cycle

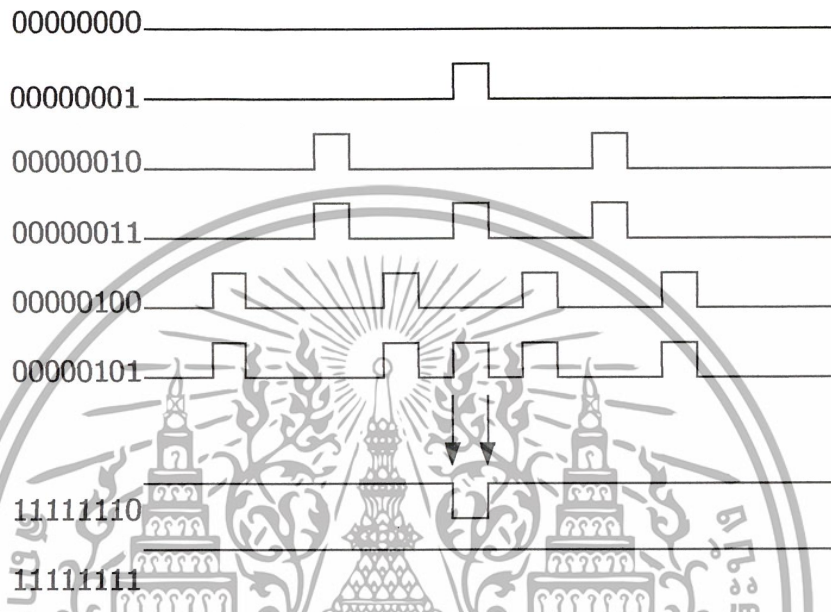
จากรูปจะได้สมการดังนี้

$$\begin{aligned}
 V_o &= \frac{1}{T_s} \int_0^{t_{on}} V_d \cdot dt \\
 &= \frac{V_d \cdot t_{on}}{T_s} \\
 &= V_d \cdot D
 \end{aligned}$$

จากสมการเราสามารถควบคุมแรงดันเอาต์พุต (V_o) ได้โดยการควบคุมช่วงเวลา ON และ OFF ของสัญญาณ

เอกสารนี้เป็นเอกสารที่สงวนไว้สำหรับการใช้งานเพื่อการศึกษาเท่านั้น ไม่อนุญาตให้นำไปใช้ประโยชน์ด้านการค้า ไม่ว่ากรณีใดๆ ทั้งสิ้น อีกทั้งห้ามมิให้ดัดแปลงเนื้อหา และต้องอ้างอิงถึงเจ้าของเอกสารทุกครั้งที่มีการนำไปใช้

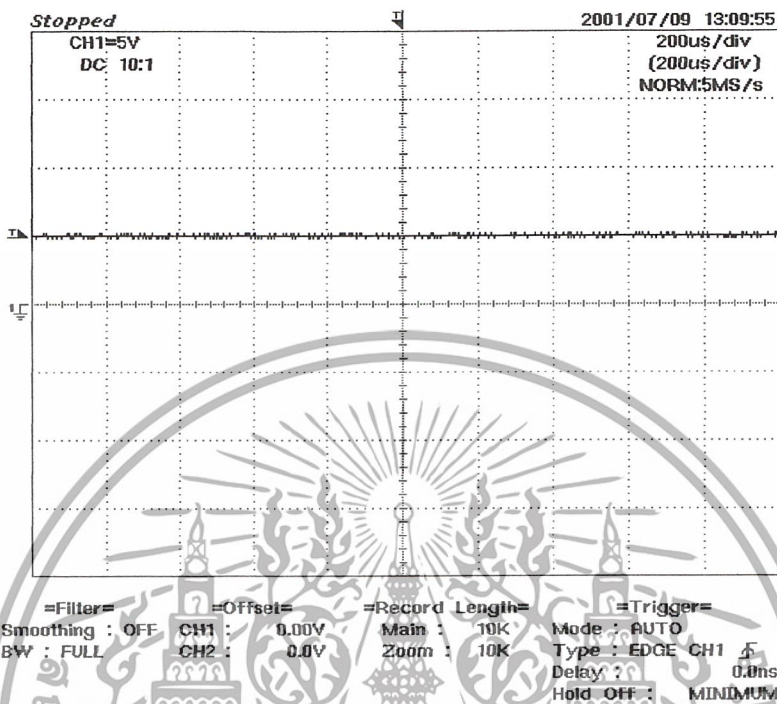
ลักษณะของสัญญาณควบคุมแบบดิจิทัลซึ่งได้จากไมโครคอนโทรลเลอร์ MCS-51 ที่จะใช้ขับมอเตอร์มีลักษณะดังรูปด้านล่าง



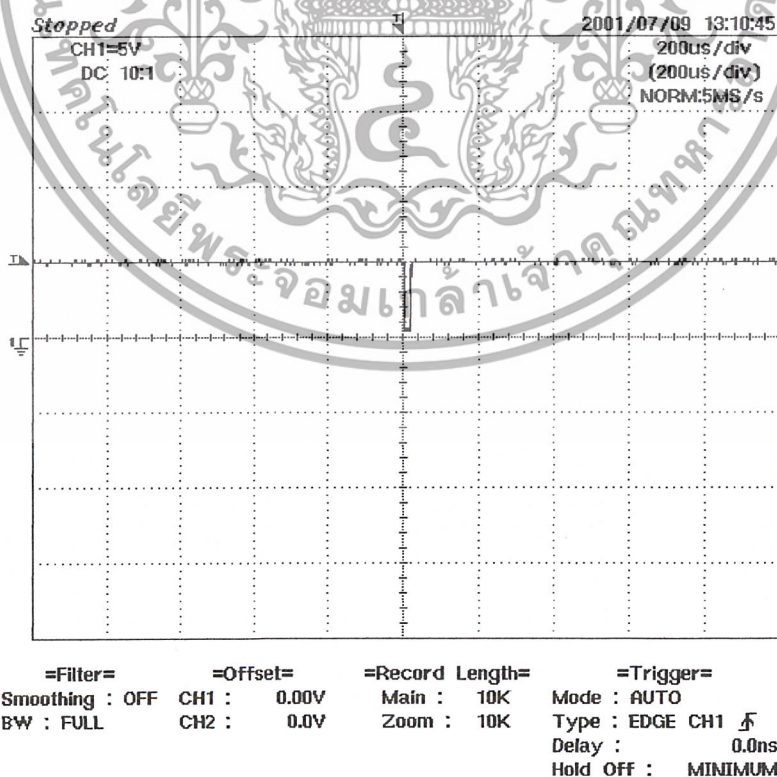
รูปที่ 3.2 แสดงการควบคุม Duty Cycle โดยลักษณะของสัญญาณดิจิทัล

เอกสารนี้เป็นเอกสารที่สงวนไว้สำหรับการใช้งานเพื่อการศึกษาเท่านั้น ไม่อนุญาตให้นำไปใช้ประโยชน์ด้านการค้าไม่ว่ากรณีใดๆ ทั้งสิ้น อีกทั้งห้ามมิให้ดัดแปลงเนื้อหา และต้องอ้างอิงถึงเจ้าของเอกสารทุกครั้งที่มีการนำไปใช้

รูปของสัญญาณที่วัดจาก oscilloscope จะมีลักษณะ invert กับสัญญาณมาตรฐานซึ่งมีลักษณะดังรูปด้านล่าง

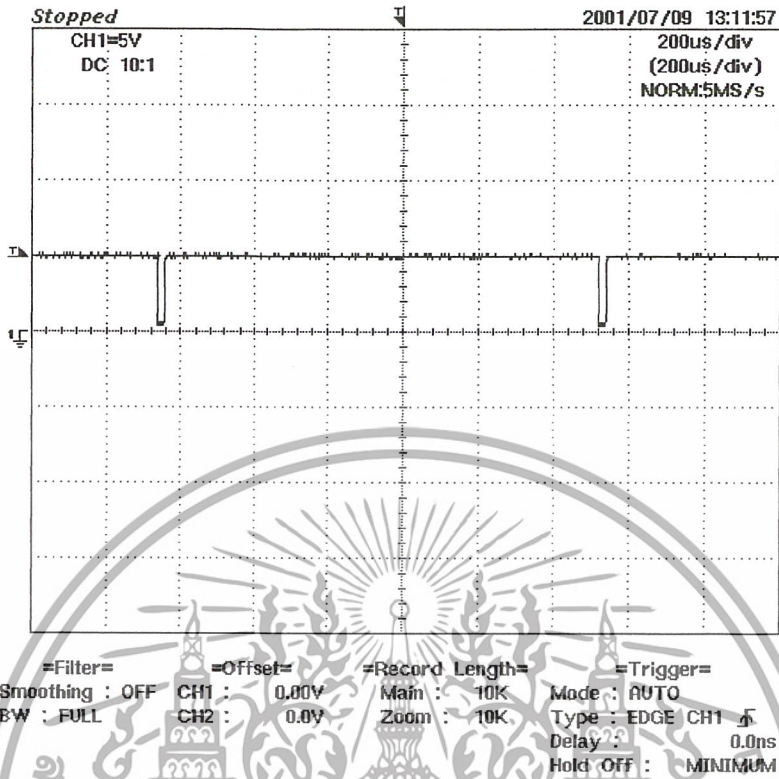


รูปที่ 3.3 แสดงสัญญาณควบคุมดิจิทัล 00000000

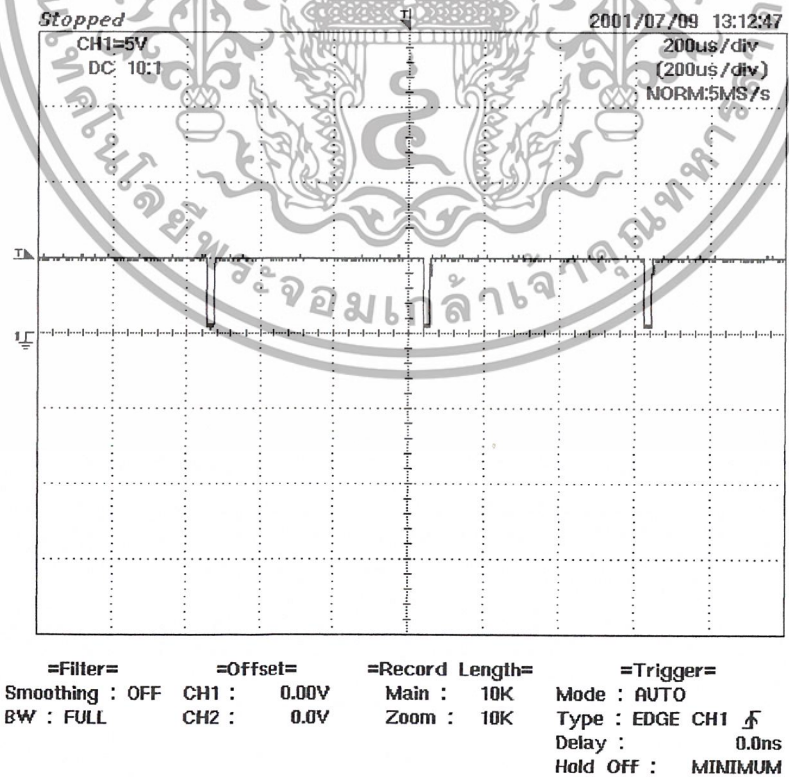


รูปที่ 3.4 แสดงสัญญาณควบคุมดิจิทัล 00000001

เอกสารนี้เป็นเอกสารที่สงวนไว้สำหรับการใช้งานเพื่อการศึกษาเท่านั้น ไม่อนุญาตให้นำไปใช้ประโยชน์ด้านการค้า ไม่ว่าจะกรณีใดๆ ทั้งสิ้น อีกทั้งห้ามมิให้ดัดแปลงเนื้อหา และต้องอ้างอิงถึงเจ้าของเอกสารทุกครั้งที่มีการนำไปใช้

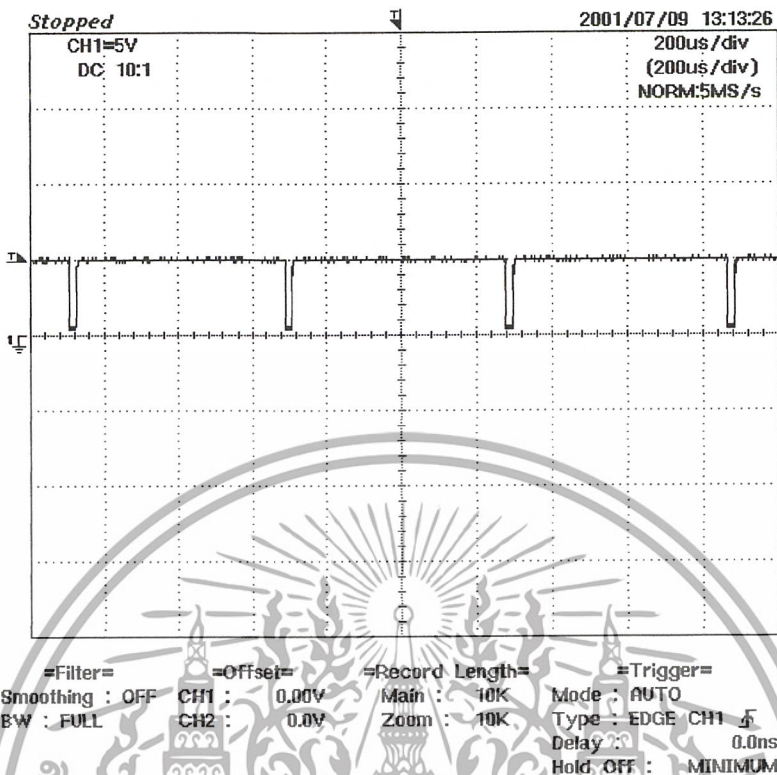


รูปที่ 3.5 แสดงสัญญาณควบคุมดิจิทัล 00000010

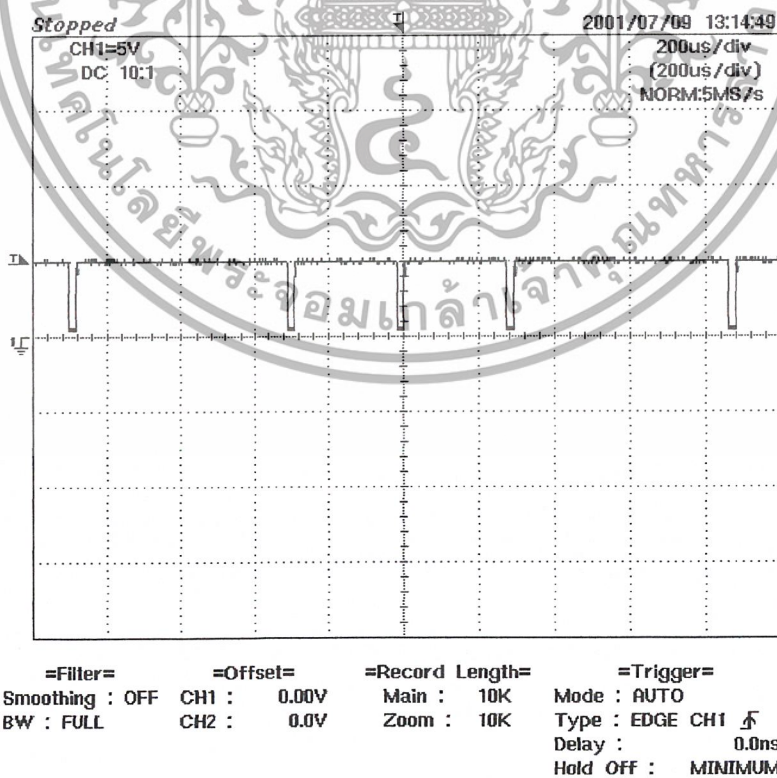


รูปที่ 3.6 แสดงสัญญาณควบคุมดิจิทัล 00000011

เอกสารนี้เป็นเอกสารที่สงวนไว้สำหรับการใช้งานเพื่อการศึกษาเท่านั้น ไม่อนุญาตให้นำไปใช้ประโยชน์ด้านการค้า ไม่ว่าจะกรณีใดๆ ทั้งสิ้น อีกทั้งห้ามมิให้ดัดแปลงเนื้อหา และต้องอ้างอิงถึงเจ้าของเอกสารทุกครั้งที่มีการนำไปใช้

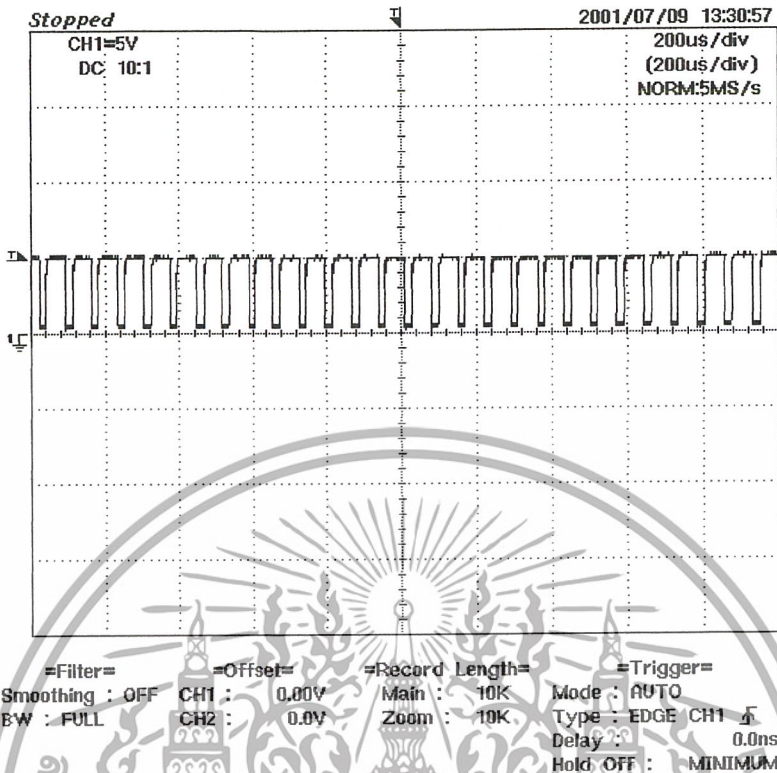


รูปที่ 3.7 แสดงสัญญาณควบคุมดิจิทัล 00000100

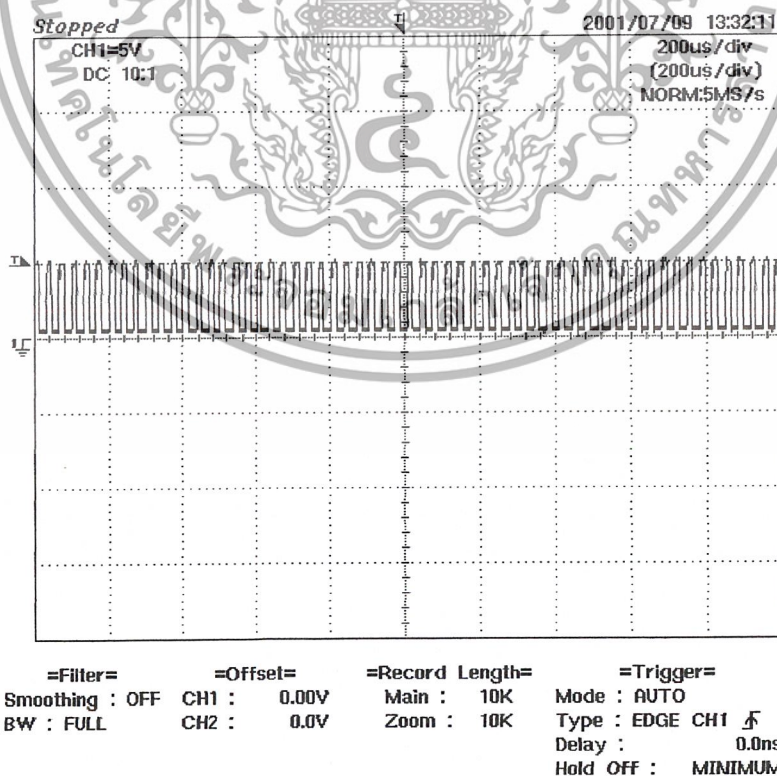


รูปที่ 3.8 แสดงสัญญาณควบคุมดิจิทัล 000000101

เอกสารนี้เป็นเอกสารที่สงวนไว้สำหรับการใช้งานเพื่อการศึกษาเท่านั้น ไม่อนุญาตให้นำไปใช้ประโยชน์ด้านการค้า ไม่ว่ากรณีใดๆ ทั้งสิ้น อีกทั้งห้ามมิให้ดัดแปลงเนื้อหา และต้องอ้างอิงถึงเจ้าของเอกสารทุกครั้งที่มีการนำไปใช้



รูปที่ 3.9 แสดงสัญญาณความถี่จุดต่อ 01000000



รูปที่ 3.10 แสดงสัญญาณความถี่จุดต่อ 10000000

เอกสารนี้เป็นเอกสารที่สงวนไว้สำหรับการใช้งานเพื่อการศึกษาเท่านั้น ไม่อนุญาตให้นำไปใช้ประโยชน์ด้านการค้า ไม่ว่ากรณีใดๆ ทั้งสิ้น อีกทั้งห้ามมิให้ดัดแปลงเนื้อหา และต้องอ้างอิงถึงเจ้าของเอกสารทุกครั้งที่มีการนำไปใช้

3.2 การออกแบบและการสร้างชุดควบคุมความเร็วของมอเตอร์ไฟฟ้ากระแสตรง

เนื่องจากเราใช้คอมพิวเตอร์เป็นตัวควบคุม ดังนั้นค่าต่างๆ ที่ใช้ในสมการควบคุมต้องทำการแปลงให้อยู่ในรูปที่คอมพิวเตอร์สามารถคำนวณได้โดยใช้พื้นฐานของการควบคุมแต่ละแบบดังนี้

3.2.1 การควบคุมเชิงสัดส่วน (Proportional control, P-control)



รูปที่ 3.13 แสดงการควบคุมเชิงสัดส่วน

จากรูปจะได้
กำหนดให้

$$u(t) = K_p \cdot e(t)$$

$$P_{out} = u(t)$$

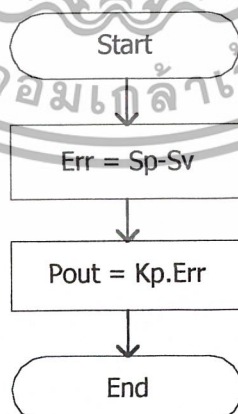
$$K_p = K_p \text{ (อัตราขยายของตัวควบคุมเชิงสัดส่วน)}$$

$$Err = e(t)$$

$$Sp = \text{Set point}$$

$$Sv = \text{Sensor Value}$$

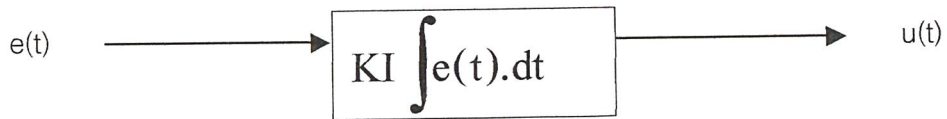
ดังนั้น การคำนวณค่าโดยใช้คอมพิวเตอร์ก็สามารถแสดงได้ดัง Flow chart



รูปที่ 3.14 แสดง Flow Chart การเขียนโปรแกรมการควบคุมเชิงสัดส่วน

เอกสารนี้เป็นเอกสารที่สงวนไว้สำหรับการใช้งานเพื่อการศึกษาเท่านั้น ไม่อนุญาตให้นำไปใช้ประโยชน์ด้านการค้า ไม่ว่ากรณีใดๆ ทั้งสิ้น อีกทั้งห้ามมิให้ดัดแปลงเนื้อหา และต้องอ้างอิงถึงเจ้าของเอกสารทุกครั้งที่มีการนำไปใช้

3.2.2 การควบคุมแบบอินทิกรัล (Integral Control)



รูปที่ 3.15 แสดงการควบคุมแบบอินทิกรัล

จากรูปจะได้ $u(t) = \int e(t).dt$

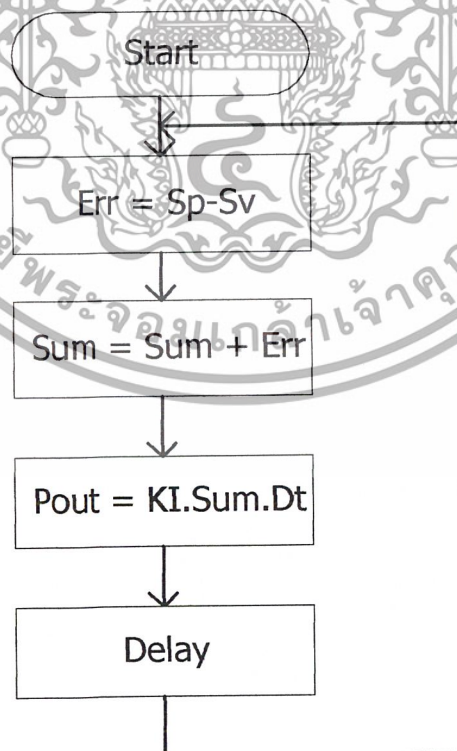
กำหนดให้

$Sum = \int e(t)$ (ค่าอินทิกรัลที่ได้จากค่า Err)

$Dt = dt$ (ค่าผลต่างของเวลาในการสุ่มสัญญาณ)

$KI = KI$ (อัตราขยายของการควบคุมแบบอินทิกรัล)

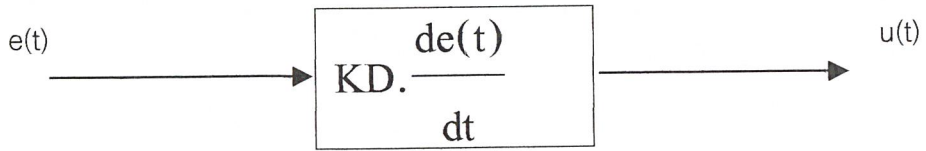
การคำนวณโดยใช้คอมพิวเตอร์สามารถแสดงได้ดัง Flow Chart ด้านล่าง



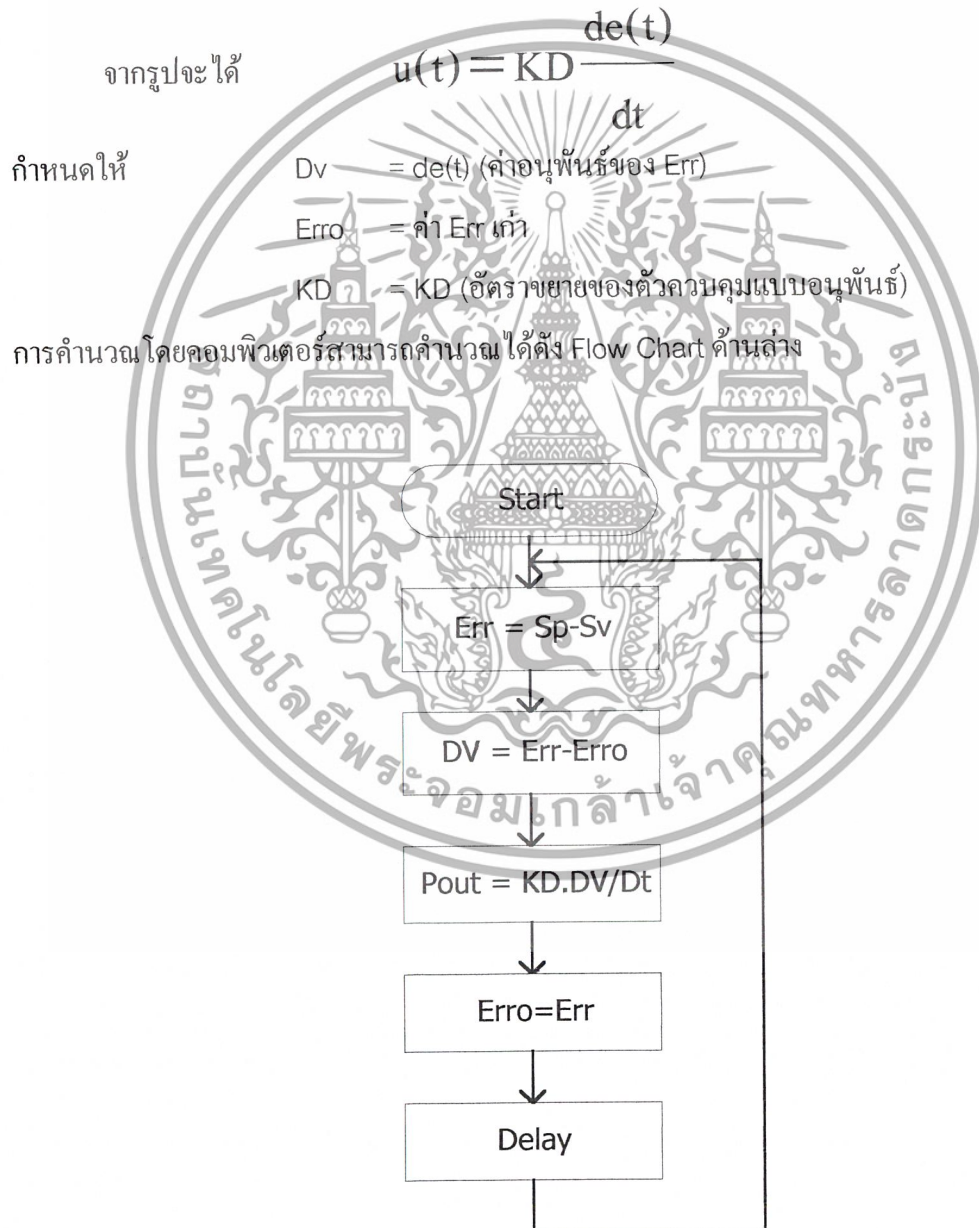
รูปที่ 3.16 แสดง Flow Chart การเขียนโปรแกรมการควบคุมแบบอินทิกรัล

เอกสารนี้เป็นเอกสารที่สงวนไว้สำหรับการใช้งานเพื่อการศึกษาเท่านั้น ไม่อนุญาตให้นำไปใช้ประโยชน์ด้านการค้า ไม่ว่ากรณีใดๆ ทั้งสิ้น อีกทั้งห้ามมิให้ดัดแปลงเนื้อหา และต้องอ้างอิงถึงเจ้าของเอกสารทุกครั้งที่มีการนำไปใช้

3.2.3 การควบคุมแบบอนุพันธ์ (Derivative control)



รูปที่ 3.17 แสดงการควบคุมแบบอนุพันธ์

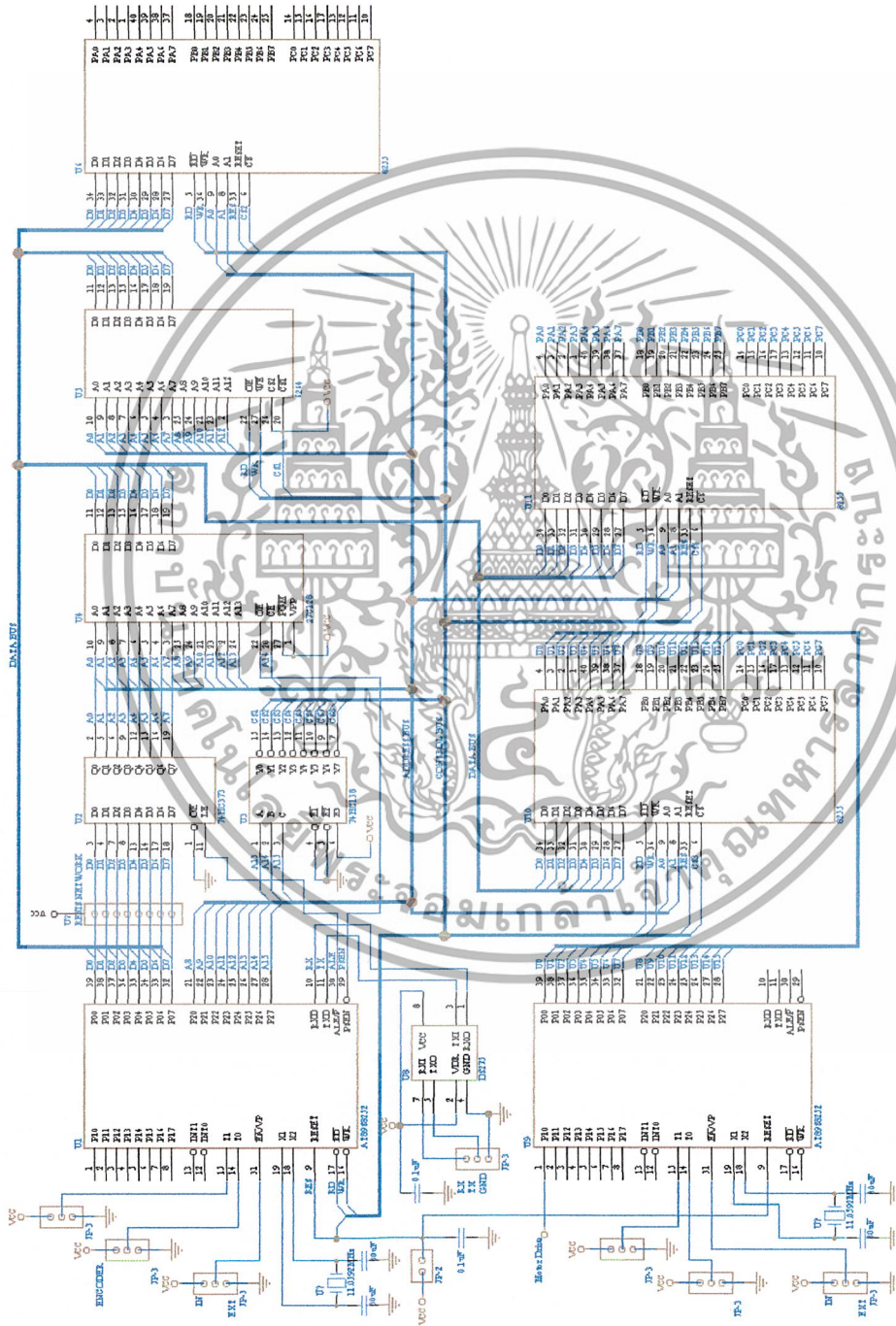


รูปที่ 3.18 แสดง Flow Chart การเขียนโปรแกรมการควบคุมแบบอนุพันธ์

เอกสารนี้เป็นเอกสารที่สงวนไว้สำหรับการใช้งานเพื่อการศึกษาเท่านั้น ไม่อนุญาตให้นำไปใช้ประโยชน์ด้านการค้า ไม่ว่ากรณีใดๆ ทั้งสิ้น อีกทั้งห้ามมิให้ดัดแปลงเนื้อหา และต้องอ้างอิงถึงเจ้าของเอกสารทุกครั้งที่มีการนำไปใช้

3.3 การออกแบบทางฮาร์ดแวร์

3.3.1 วงจรชุดควบคุม



รูปที่ 3.19 แสดงวงจรชุดควบคุม

เอกสารนี้เป็นเอกสารที่สงวนไว้สำหรับการใช้งานเพื่อการศึกษาเท่านั้น ไม่อนุญาตให้นำไปใช้ประโยชน์ด้านการค้า ไม่ว่าจะกรณีใดๆ ทั้งสิ้น อีกทั้งห้ามมิให้ดัดแปลงเนื้อหา และต้องอ้างอิงถึงเจ้าของเอกสารทุกครั้งที่มีการนำไปใช้

ในการออกแบบวงจรชุดควบคุมจะใช้ไมโครคอนโทรลเลอร์ 2 ชุด(MCS-51)

ไมโครคอนโทรลเลอร์ชุดที่ 1

-ใช้รับส่งข้อมูลระหว่างชุดควบคุมกับคอมพิวเตอร์โดยใช้ IC เบอร์ DS 275

-ใช้นับจำนวนพัลส์ของ Encoder ผ่านทาง Counter ขา TO(14) ของ

MCS -51(Sensor speed)

-ใช้ ON-OFF โหลดโดยใช้ IC เบอร์ 8255 เป็น Interface ระหว่างชุดควบคุมกับ

ชุดโหลด

-ใช้ส่งผ่านค่าการควบคุมความเร็วของมอเตอร์จากคอมพิวเตอร์ไปยัง

ไมโครคอนโทรลเลอร์ชุดที่ 2 โดยใช้ IC เบอร์ 8255 เป็น Interface

ไมโครคอนโทรลเลอร์ชุดที่ 2

-ใช้รับค่าควบคุมความเร็วรอบที่ส่งผ่านมาจากไมโครคอนโทรลเลอร์ชุดที่ 1 เพื่อ

ขับมอเตอร์ตามค่าที่ต้องการ

หน้าที่ IC

-MCS-51 ใช้เป็นตัวประมวลผลของชุดควบคุม

-74HC373 ใช้เป็นตัว Latch Address

-74HC138 ใช้เป็น Decode ตำแหน่งหน่วยความจำของอุปกรณ์แต่ละตัว

-27128 เป็น IC EPROM ใช้เก็บโปรแกรมที่ใช้ในชุดควบคุม

-6264 เป็น RAM ใช้เก็บข้อมูลชั่วคราว

-8255 เป็น I/O ใช้ Interface

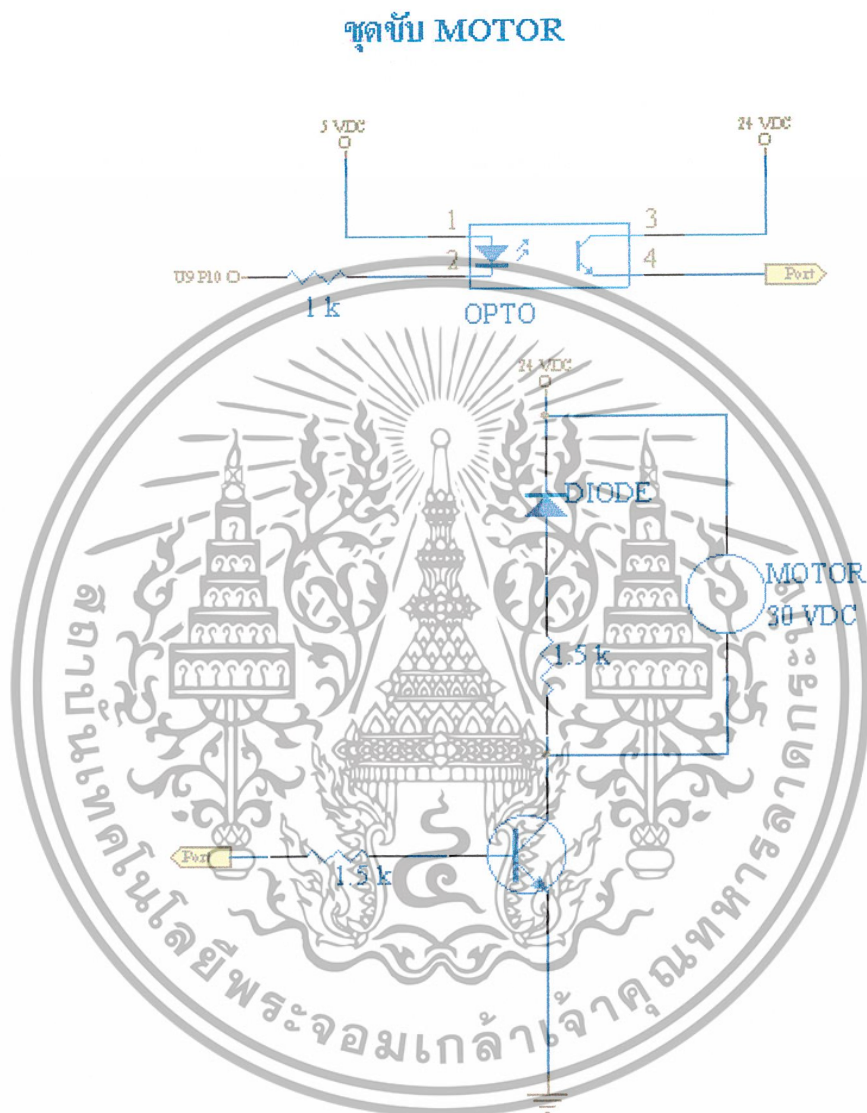
-DS 275 เป็น RS 232 drive ใช้เป็นตัวปรับระดับแรงดันสัญญาณให้ได้ตาม

มาตรฐาน RS 232

เอกสารนี้เป็นเอกสารที่สงวนไว้สำหรับการใช้งานเพื่อการศึกษาเท่านั้น ไม่อนุญาตให้นำไปใช้ประโยชน์ด้านการค้า
ไม่ว่ากรณีใดๆ ทั้งสิ้น อีกทั้งห้ามมิให้ดัดแปลงเนื้อหา และต้องอ้างอิงถึงเจ้าของเอกสารทุกครั้งที่มีการนำไปใช้

3.3.2 วงจรชุดขับมอเตอร์

ใช้ทรานซิสเตอร์ เบอร์ 2N3055 เป็นตัวขับมอเตอร์ให้หมุน โดยใช้ IC OPTO เป็น Interface ระหว่างวงจรควบคุมกับวงจรกำลัง



รูปที่ 3.20 แสดงวงจรชุดขับมอเตอร์

เอกสารนี้เป็นเอกสารที่สงวนไว้สำหรับการใช้งานเพื่อการศึกษาเท่านั้น ไม่อนุญาตให้นำไปใช้ประโยชน์ด้านการค้า ไม่ว่าจะกรณีใดๆ ทั้งสิ้น อีกทั้งห้ามมิให้ดัดแปลงเนื้อหา และต้องอ้างอิงถึงเจ้าของเอกสารทุกครั้งที่มีการนำไปใช้

3.3.3 วงจรชุดขับโหลด

ใช้ทรานซิสเตอร์เบอร์ 2N6038 เป็นสวิทช์ซึ่ง ON-OFF โดย OPTO เป็น Interface ระหว่างวงจรควบคุมกับวงจรกำลัง



รูปที่ 3.21 แสดงวงจรชุดขับโหลด

เอกสารนี้เป็นเอกสารที่สงวนไว้สำหรับการใช้งานเพื่อการศึกษาเท่านั้น ไม่อนุญาตให้นำไปใช้ประโยชน์ด้านการค้า ไม่ว่ากรณีใดๆ ทั้งสิ้น อีกทั้งห้ามมิให้ดัดแปลงเนื้อหา และต้องอ้างอิงถึงเจ้าของเอกสารทุกครั้งที่มีการนำไปใช้

3.4 รูปแผนผังการทำงานของระบบควบคุม

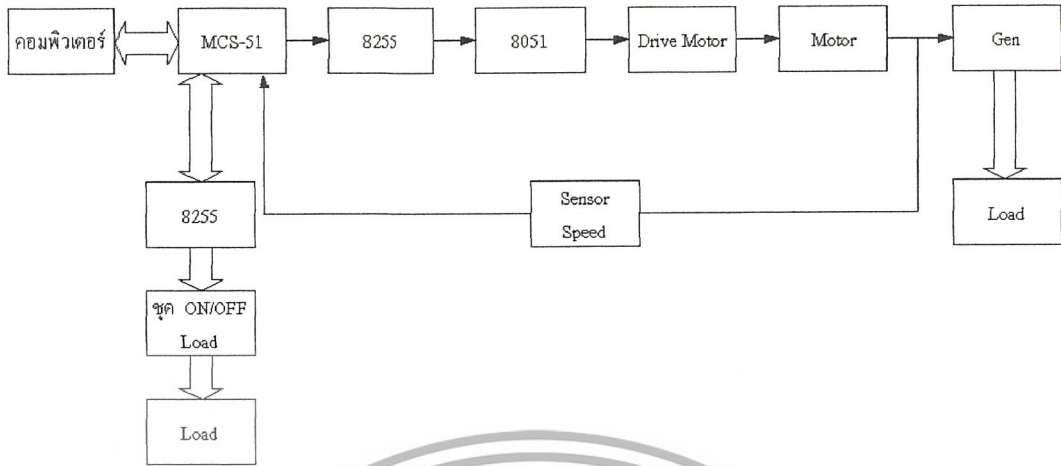
ในวงจรของการควบคุมความเร็วมอเตอร์มีส่วนประกอบหลักที่สำคัญดังนี้

- คอมพิวเตอร์
- ชุดไมโครคอนโทรลเลอร์ควบคุมและสื่อสารกับคอมพิวเตอร์
- ชุดไมโครคอนโทรลเลอร์ที่ผลิตสัญญาณควบคุม
- มอเตอร์และเครื่องกำเนิดไฟฟ้ากระแสตรง
- ชุดขับโพลมอเตอร์
- ชุด ON/OFF โหลดและชุดจำลองโหลด

ซึ่งสามารถสรุปเนื้อหาทั้งหมดไว้ดังนี้

1. คอมพิวเตอร์ ทำงาน โดยการรับค่าจากตัว SENSOR ต่างๆ มาจากชุดไมโครคอนโทรลเลอร์ควบคุม และนำเข้าสู่การควบคุมแบบต่างๆ แล้วส่งค่าสัญญาณที่ต้องการออกไปให้ชุดไมโครคอนโทรลเลอร์โดยโปรแกรมที่ใช้ จะเขียนด้วย Visual Basic ซึ่งจะมีการแสดงค่าความเร็วรอบของมอเตอร์ การ ON/OFF ของโหลดแต่ละตัว และสามารถสั่งการ ON/OFF ของโหลดผ่าน Soft wear บนคอมพิวเตอร์ได้
2. ชุดไมโครคอนโทรลเลอร์ควบคุม จะเป็นตัวตรวจจับตรวจจับสัญญาณ ค่าความเร็วรอบ แล้วจะส่งให้กับคอมพิวเตอร์โดยผ่านพอร์ทอนุกรม RS-232 และรับค่า Output จากคอมพิวเตอร์ส่งให้กับชุด ไมโครคอนโทรลเลอร์ผลิตสัญญาณควบคุมผ่าน IC 8255 ซึ่งใช้เป็นตัว ON/OFF โหลดด้วย
3. ชุดไมโครคอนโทรลเลอร์ผลิตสัญญาณควบคุม รับค่าจาก 8255 ที่ต่อกับไมโครคอนโทรลเลอร์ควบคุมมาแปลงเป็นสัญญาณดิจิทัล
4. ชุดขับมอเตอร์จะใช้ทรานซิสเตอร์ ในการขับมอเตอร์ โดยรับสัญญาณดิจิทัลจากชุด ไมโครคอนโทรลเลอร์ผลิตสัญญาณควบคุม
5. มอเตอร์และเครื่องกำเนิดไฟฟ้า โดยใช้ เครื่องกำเนิดไฟฟ้า เป็นโหลดจำลองให้มอเตอร์ซึ่งการต่อเพลลาของมอเตอร์เข้ากับเพลลาของเครื่องกำเนิดไฟฟ้า
6. ชุด ON/OFF โหลดและชุดจำลองโหลด ใช้ความต้านทาน (R) เซรามิก 24 ตัว

เอกสารนี้เป็นเอกสารที่สงวนไว้สำหรับการใช้งานเพื่อการศึกษาเท่านั้น ไม่อนุญาตให้นำไปใช้ประโยชน์ด้านการค้าไม่ว่ากรณีใดๆ ทั้งสิ้น อีกทั้งห้ามมิให้ดัดแปลงเนื้อหา และต้องอ้างอิงถึงเจ้าของเอกสารทุกครั้งที่มีการนำไปใช้



รูปที่ 3.22 แสดงแผนผังการทำงานของระบบควบคุมมอเตอร์



เอกสารนี้เป็นเอกสารที่สงวนไว้สำหรับการใช้งานเพื่อการศึกษาเท่านั้น ไม่อนุญาตให้นำไปใช้ประโยชน์ด้านการค้า ไม่ว่ากรณีใดๆ ทั้งสิ้น อีกทั้งห้ามมิให้ดัดแปลงเนื้อหา และต้องอ้างอิงถึงเจ้าของเอกสารทุกครั้งที่มีการนำไปใช้

บทที่ 4

ผลการทดลองและสรุปผลการทดลอง

ในการทดลองได้ทำการแบ่งการทดลองออกเป็นสองขั้นตอนคือ ขณะไม่มีภาระ โหลด (NO LOAD) และขณะมีภาระโหลด(ON LOAD) โดยในช่วงการทดลองขณะไม่มีภาระ โหลด ได้ทำการป้อนสัญญาณที่ผลิตโดยตัวไมโครคอนโทรลเลอร์ซึ่งส่งมาจากคอมพิวเตอร์ เพื่อทำการทดลองขับเคลื่อนมอเตอร์ให้เกิดการหมุน แล้วทำการวัดความเร็วรอบที่เกิดขึ้นว่าแต่ละระดับสัญญาณสามารถจะขับเคลื่อนมอเตอร์ให้มีความเร็วรอบออกมาได้เท่าไร โดยใช้ตัวเอนโคเดอร์ที่ติดอยู่กับตัวมอเตอร์เป็นตัวตรวจจับและได้วัดด้วยเทคโคมิเตอร์ด้วยเพื่อเปรียบเทียบความแตกต่างที่เกิดขึ้นแล้วบันทึกผลการทดลอง รวมทั้งการวัดค่ากระแสและค่าแรงดันของมอเตอร์ที่ระดับของสัญญาณที่ต่างกันด้วย โดยการทดลองดังกล่าวไม่ได้ทำการให้มอเตอร์ต้องรับภาระ โหลด

ส่วนการทดลองในช่วงที่สองจะเป็นการทดลองควบคุมความเร็วของมอเตอร์เมื่อต้องรับภาระ โหลดที่ค่าต่างๆกัน โดยการตั้งการกำหนด โหลดจากคอมพิวเตอร์เช่นเดียวกัน การทดลองกระทำโดยการป้อนค่าความเร็วรอบที่ต้องการผ่านทางหน้าต่างควบคุมบนจอคอมพิวเตอร์ เพื่อให้มอเตอร์มีความเร็วรอบเป็นไปตามที่ต้องการ หลังจากนั้นก็ตั้งการกำหนด โหลดทีละชุดเพื่อบันทึกการเปลี่ยนแปลง จากการกระทำดังกล่าวเมื่อมอเตอร์ต้องรับภาระ โหลดจะพบว่าความเร็วรอบของมอเตอร์ลดลงไม่เป็นไปตามค่าความเร็วรอบที่เราต้องการ แต่ในขณะหนึ่งเท่านั้นเพราะว่าตัวตรวจจับหรือเอนโคเดอร์จะตรวจจับค่าที่เกิดการผิดพลาดขึ้นส่งไปยังคอมพิวเตอร์เพื่อให้มีการสั่งการผลิตสัญญาณควบคุมเพื่อป้อนให้แก่ชุดขับเคลื่อนมอเตอร์ ให้ทำการรักษาค่าความเร็วรอบที่ต้องการไม่ให้เกิดการเปลี่ยนแปลง แม้ว่าตัวมอเตอร์จะต้องรับภาระ โหลดเพิ่มเข้ามาอีกก็ตาม แล้วทำการบันทึกผลของค่ากระแสและค่าแรงดันที่มีการเปลี่ยนแปลงอันเกิดจากการที่ได้มีการชดเชยค่าของสัญญาณที่เกิดขึ้นเพื่อรักษาค่าความเร็วให้เป็นไปตามที่ต้องการ

เอกสารนี้เป็นเอกสารที่สงวนไว้สำหรับการใช้งานเพื่อการศึกษาเท่านั้น ไม่อนุญาตให้นำไปใช้ประโยชน์ด้านการค้าไม่ว่ากรณีใดๆ ทั้งสิ้น อีกทั้งห้ามมิให้ดัดแปลงเนื้อหา และต้องอ้างอิงถึงเจ้าของเอกสารทุกครั้งที่มีการนำไปใช้

4.1 ผลการทดลองเมื่อ OPEN LOOP

DIGITAL SIGNAL (DEC)	SPEED (RPM)		CURRENT (A)	VOLTAGE (V)
	Display	Tacometer		
	5	0		
10	578	545	0.54	4.8
15	892	978	0.57	7.7
20	1744	1645	0.63	12
25	2052	2055	0.67	14.8
30	2074	2222	0.68	15.8
35	2340	2300	0.69	16.3
40	2350	2370	0.70	16.8
45	2350	2370	0.70	16.8
50	2350	2370	0.70	16.8
55	2350	2382	0.70	16.9
60	2350	2382	0.70	16.9
65	2353	2403	0.70	17.0
70	2353	2410	0.70	17.0
75	2354	2412	0.70	17.0
"	"	"	"	"
"	"	"	"	"
250	2357	2415	0.70	17.0
255	2360	2420	0.70	17.0

เอกสารนี้เป็นเอกสารที่สงวนไว้สำหรับการใช้งานเพื่อการศึกษาเท่านั้น ไม่อนุญาตให้นำไปใช้ประโยชน์ด้านการค้าไม่ว่ากรณีใดๆ ทั้งสิ้น อีกทั้งห้ามมิให้ดัดแปลงเนื้อหา และต้องอ้างอิงถึงเจ้าของเอกสารทุกครั้งที่มีการนำไปใช้

กราฟแสดงความสัมพันธ์ระหว่างสัญญาณควบคุมกับความเร็วรอบ

เมื่อ Open Loop (No Load)



เอกสารนี้เป็นเอกสารที่สงวนไว้สำหรับการใช้งานเพื่อการศึกษาเท่านั้น ไม่อนุญาตให้นำไปใช้ประโยชน์ด้านการค้า
ไม่ว่ากรณีใดๆ ทั้งสิ้น อีกทั้งห้ามมิให้ดัดแปลงเนื้อหา และต้องอ้างอิงถึงเจ้าของเอกสารทุกครั้งที่มีการนำไปใช้

กราฟแสดงความสัมพันธ์ระหว่างค่าสัญญาณควบคุมกับค่ากระแส

เมื่อ Open Loop (No Load)



เอกสารนี้เป็นเอกสารที่สงวนไว้สำหรับการใช้งานเพื่อการศึกษาเท่านั้น ไม่อนุญาตให้นำไปใช้ประโยชน์ด้านการค้าไม่ว่ากรณีใดๆ ทั้งสิ้น อีกทั้งห้ามมิให้ดัดแปลงเนื้อหา และต้องอ้างอิงถึงเจ้าของเอกสารทุกครั้งที่มีการนำไปใช้

กราฟแสดงความสัมพันธ์ระหว่างค่าสัญญาณควบคุมกับค่าแรงดัน

เมื่อ Open Loop (No Load)



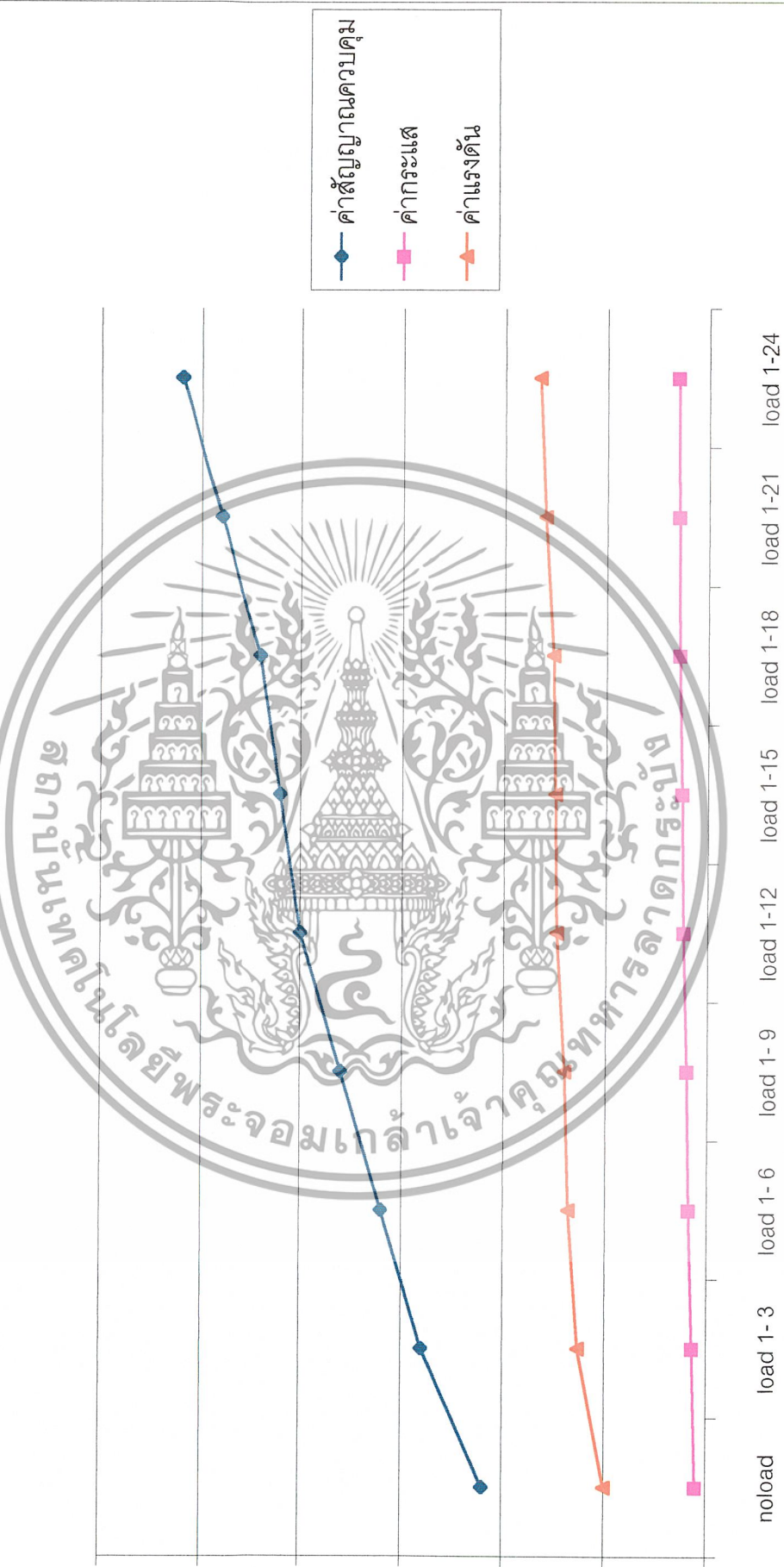
เอกสารนี้เป็นเอกสารที่สงวนไว้สำหรับการใช้งานเพื่อการศึกษาเท่านั้น ไม่อนุญาตให้นำไปใช้ประโยชน์ด้านการค้า
ไม่ว่ากรณีใดๆ ทั้งสิ้น อีกทั้งห้ามมิให้ดัดแปลงเนื้อหา และต้องอ้างอิงถึงเจ้าของเอกสารทุกครั้งที่มีการนำไปใช้

4.2 ผลการทดลองเมื่อ CLOSE LOOP

NO LOAD		ON LOAD																									
SPEED (RPM)	Digital Signal	I (A)	V (V)	LOAD 1-3			LOAD 1-6			LOAD 1-9			LOAD 1-12			LOAD 1-15			LOAD 1-18			LOAD 1-21			LOAD 1-24		
				Digital Signal	I (A)	V (V)	Digital Signal	I (A)	V (V)	Digital Signal	I (A)	V (V)	Digital Signal	I (A)	V (V)	Digital Signal	I (A)	V (V)	Digital Signal	I (A)	V (V)	Digital Signal	I (A)	V (V)	Digital Signal	I (A)	V (V)
600	11	0.70	5.0	14	6.3	16	0.89	6.8	18	1.02	7.0	20	1.20	7.4	20	1.29	7.5	22	1.42	7.6	24	1.46	8.0	26	1.51	8.3	
900	14	0.85	6.6	19	8.3	21	1.04	8.5	24	1.25	8.8	28	1.52	9.9	30	1.78	10.5	33	1.98	10.8	38	2.18	11.5	41	2.37	12.1	
1200	17	0.94	9.1	19	9.8	25	1.28	10.9	31	1.59	11.8	38	1.90	12.2	47	2.22	13.2	51	2.49	13.5	57	2.79	14.4	63	2.98	15.0	
1500	19	1.06	11	23	11.6	31	1.59	12.5	44	1.87	13.3	55	2.26	14.9	61	2.64	16.1	67	2.94	16.5	255	3.06	16.4	255	3.08	16.5	
1800	21	1.18	12	35	13.8	45	1.69	15.1	61	2.12	15.9	68	2.55	16.5	255	2.78	16.8	255	2.96	16.6	255	3.08	16.6	255	3.09	16.6	
2100	31	1.36	16.0	58	17.3	255	1.86	17.1	255	2.26	17.2	255	2.59	17.8	255	2.80	17.1	255	2.96	16.8	255	3.09	16.6	255	3.10	16.7	

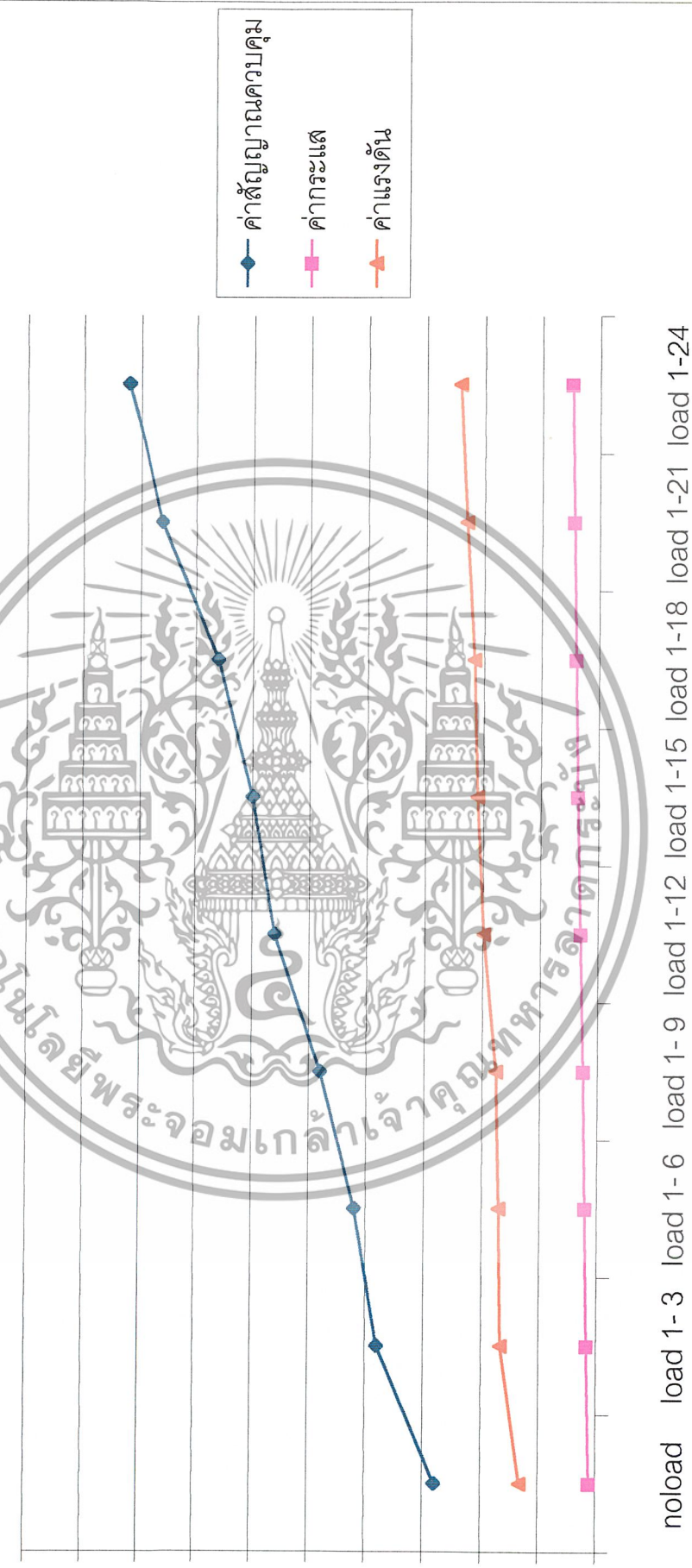
เอกสารนี้เป็นเอกสารที่สงวนไว้สำหรับการใช้งานในโครงการศึกษาเท่านั้น ไม่อนุญาตให้นำไปใช้ประโยชน์ด้านการค้า
ไม่ว่ากรณีใดๆ ทั้งสิ้น อีกทั้งยังมีข้อตกลงและต้องอ้างอิงถึงเจ้าของเอกสารทุกครั้งที่มีการนำไปใช้

กราฟแสดงความสัมพันธ์ที่ความเร็วรอบ 600 rpm



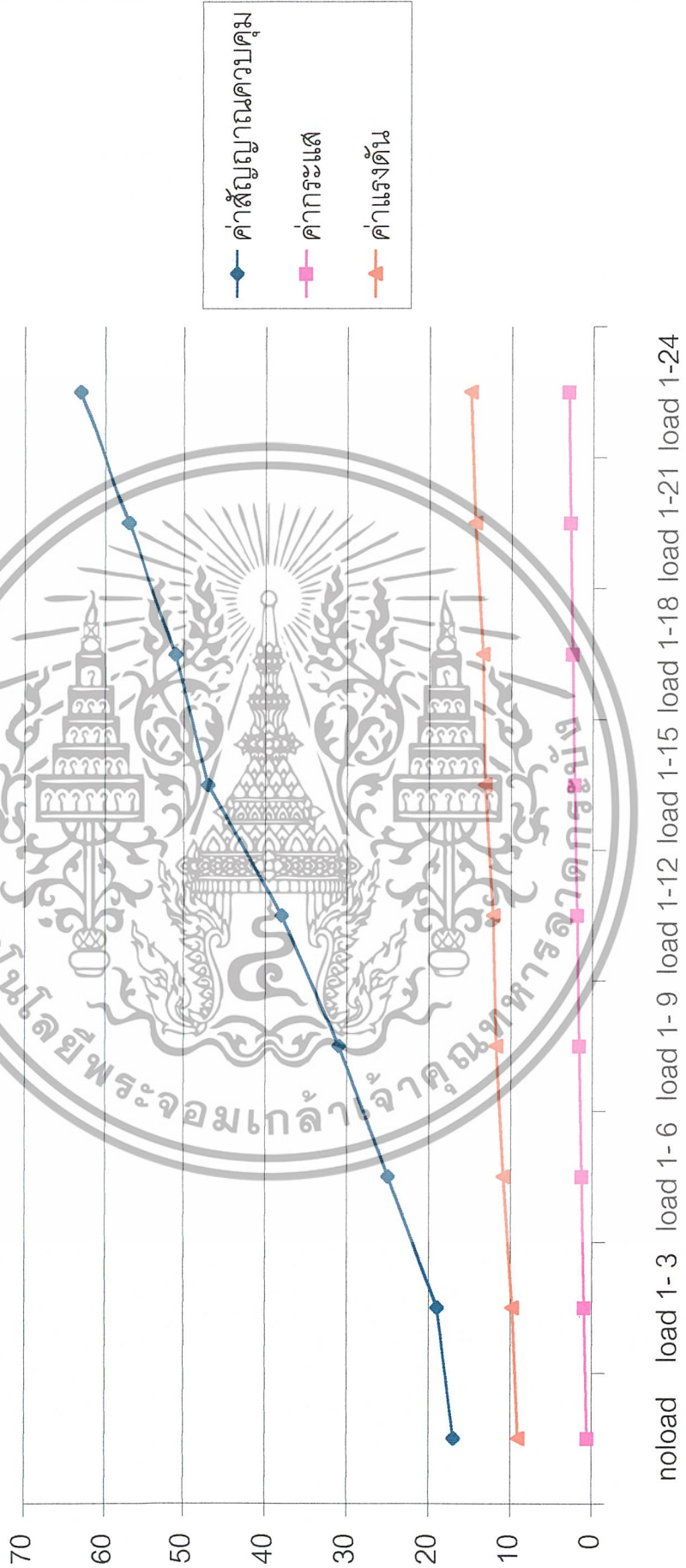
เอกสารนี้เป็นเอกสารที่สงวนไว้สำหรับการใช้งานเพื่อการศึกษาเท่านั้น ไม่อนุญาตให้นำไปใช้ประโยชน์ด้านการค้า
ไม่ว่ากรณีใดๆ ทั้งสิ้น อีกทั้งห้ามมิให้ดัดแปลงเนื้อหา และต้องอ้างอิงถึงเจ้าของเอกสารทุกครั้งที่มีการนำไปใช้

กราฟแสดงความสัมพันธ์ที่ความเร็วรอบ 900 rpm



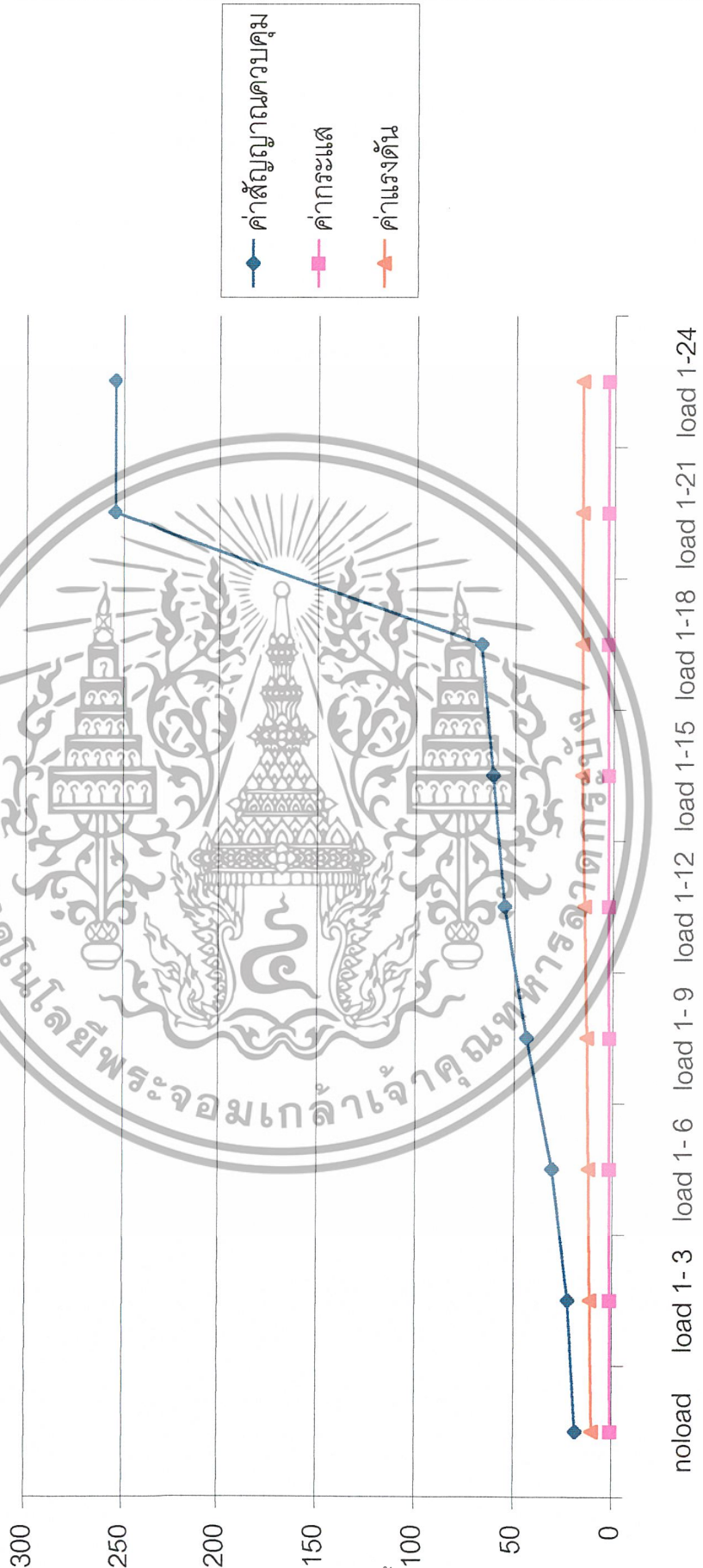
เอกสารนี้เป็นเอกสารที่สงวนไว้สำหรับการใช้งานเพื่อการศึกษาเท่านั้น ไม่อนุญาตให้นำไปใช้ประโยชน์ด้านการค้า
 ไม่ว่ากรณีใดๆ ทั้งสิ้น อีกทั้งห้ามมิให้ดัดแปลงเนื้อหา และต้องอ้างอิงถึงเจ้าของเอกสารทุกครั้งที่มีการนำไปใช้

กราฟแสดงความสัมพันธ์ที่ความเร็วรอบ 1200 rpm



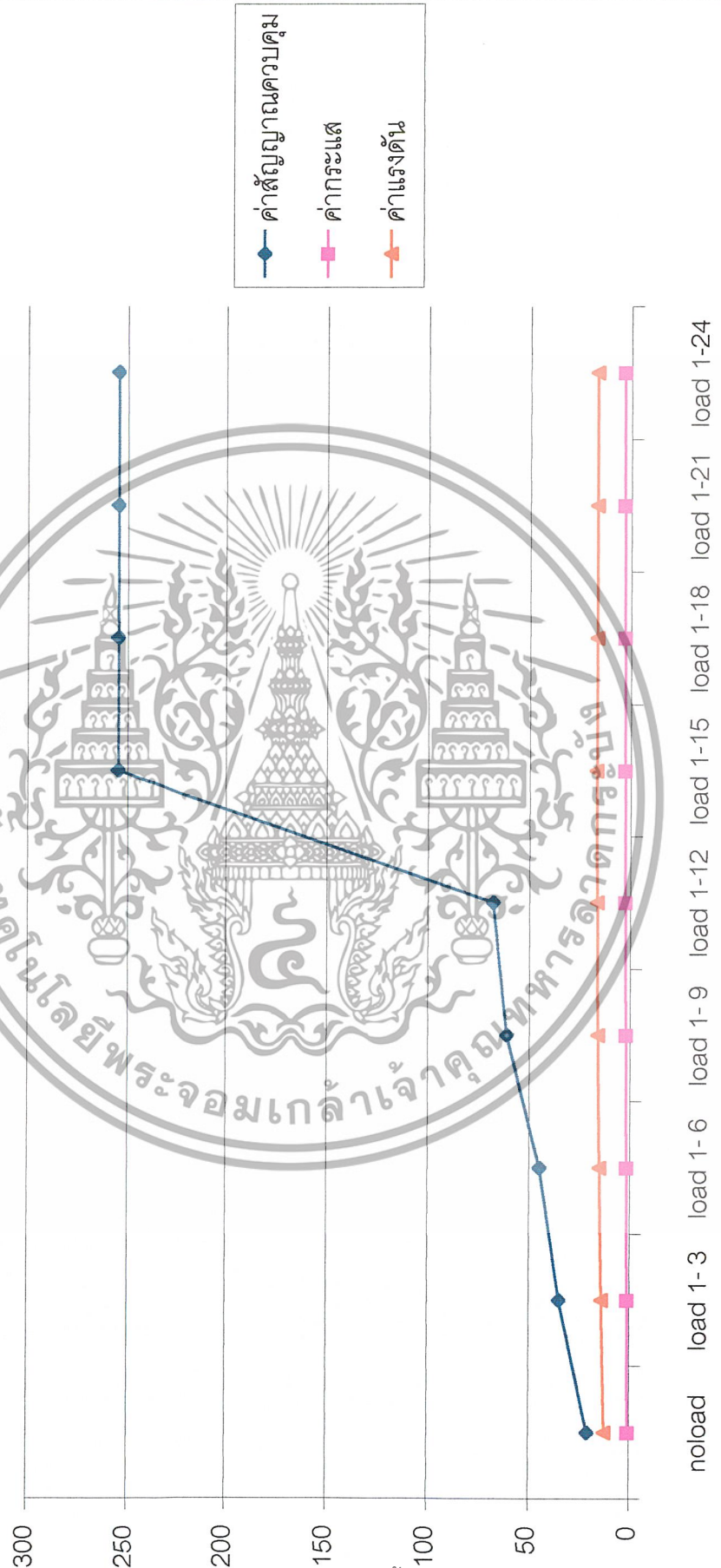
เอกสารนี้เป็นเอกสารที่สงวนไว้สำหรับการใช้งานเพื่อการศึกษาเท่านั้น ไม่อนุญาตให้นำไปใช้ประโยชน์ด้านการค้าไม่ว่ากรณีใดๆ ทั้งสิ้น อีกทั้งห้ามมิให้ดัดแปลงเนื้อหา และต้องอ้างอิงถึงเจ้าของเอกสารทุกครั้งที่มีการนำไปใช้

กราฟแสดงความสัมพันธ์ความเร็วรอบ 1500 rpm



เอกสารนี้เป็นเอกสารที่สงวนไว้สำหรับการใช้งานเพื่อการศึกษาเท่านั้น ไม่อนุญาตให้นำไปใช้ประโยชน์ด้านการค้าไม่ว่ากรณีใดๆ ทั้งสิ้น อีกทั้งห้ามมิให้ดัดแปลงเนื้อหา และต้องอ้างอิงถึงเจ้าของเอกสารทุกครั้งที่มีการนำไปใช้

กราฟแสดงความสัมพันธ์ที่ความเร็วรอบ 1800 rpm

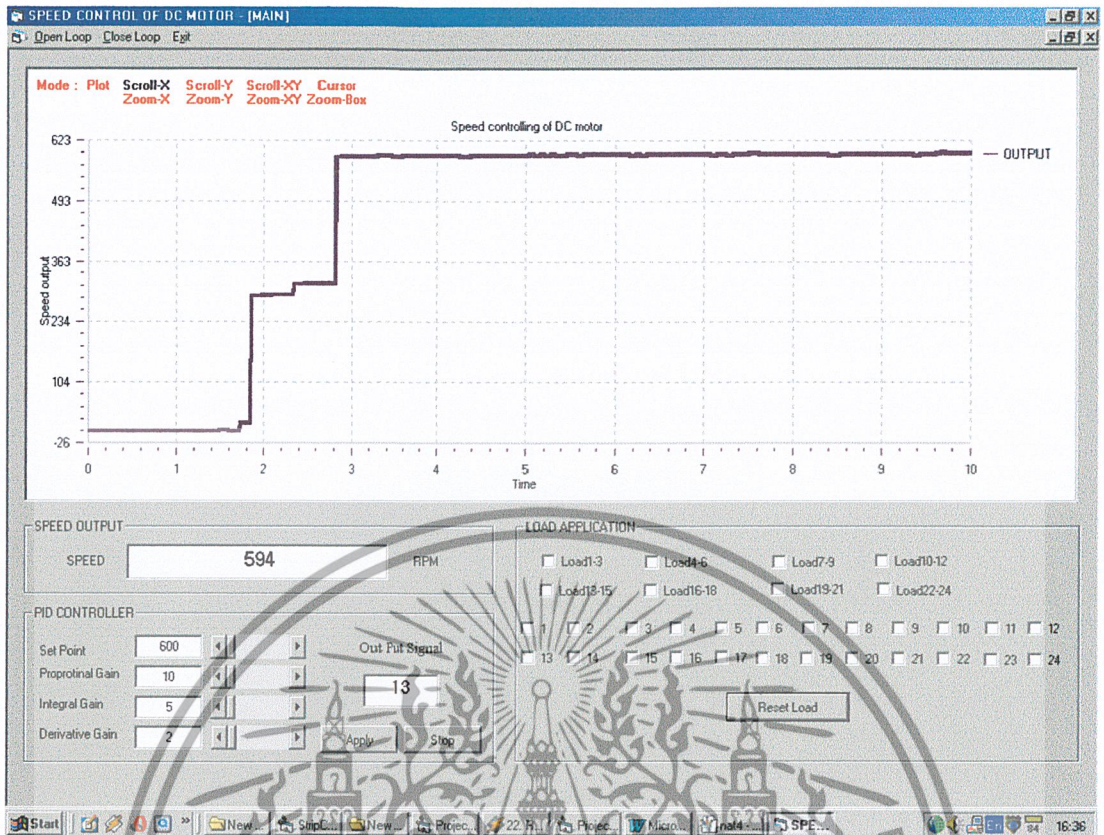


เอกสารนี้เป็นเอกสารที่สงวนไว้สำหรับการใช้งานเพื่อการศึกษาเท่านั้น ไม่อนุญาตให้นำไปใช้ประโยชน์ด้านการค้าไม่ว่ากรณีใดๆ ทั้งสิ้น อีกทั้งห้ามมิให้ดัดแปลงเนื้อหา และต้องอ้างอิงถึงเจ้าของเอกสารทุกครั้งที่มีการนำไปใช้

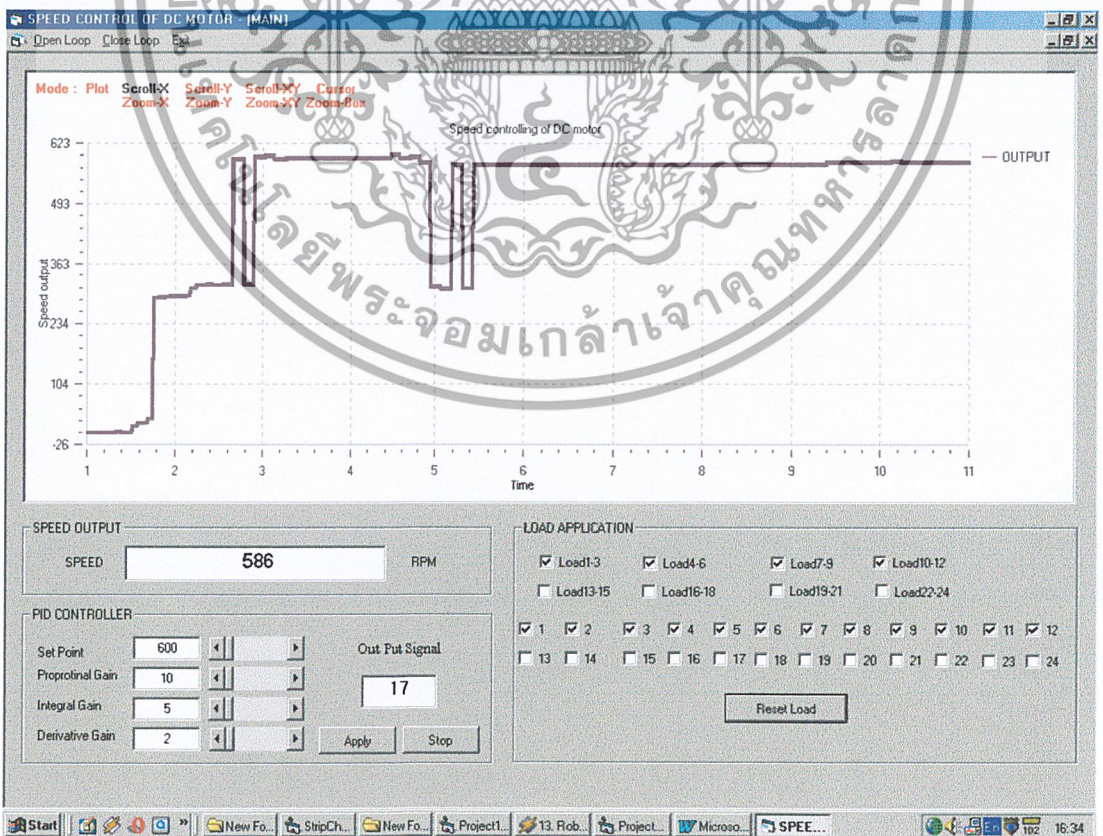
กราฟแสดงความสัมพันธ์ที่ความเร็วรอบ 2100 rpm



เอกสารนี้เป็นเอกสารที่สงวนไว้สำหรับการใช้งานเพื่อการศึกษาเท่านั้น ไม่อนุญาตให้นำไปใช้ประโยชน์ด้านการค้าไม่ว่ากรณีใดๆ ทั้งสิ้น อีกทั้งห้ามมิให้ดัดแปลงเนื้อหา และต้องอ้างอิงถึงเจ้าของเอกสารทุกครั้งที่มีการนำไปใช้

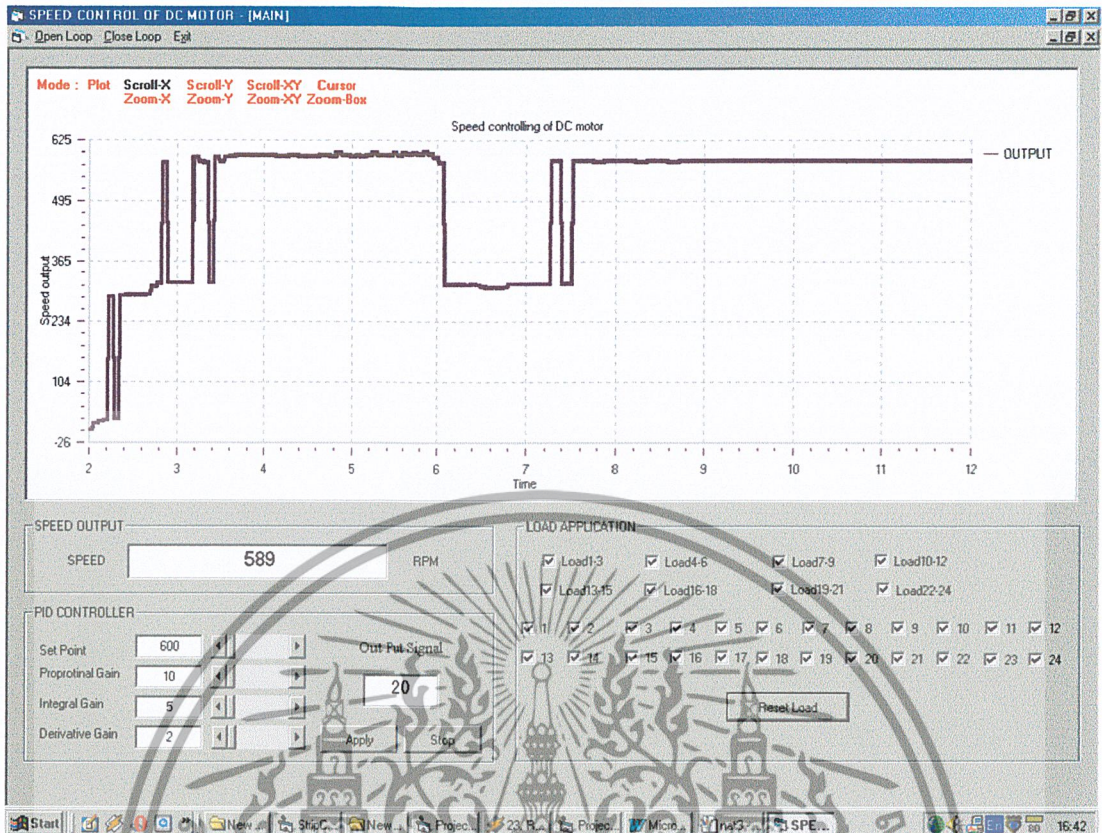


รูปที่ 4.1 กราฟแสดงความเร็วรอบที่ 600 รอบ ขณะ ไม่มีภาระโหลด

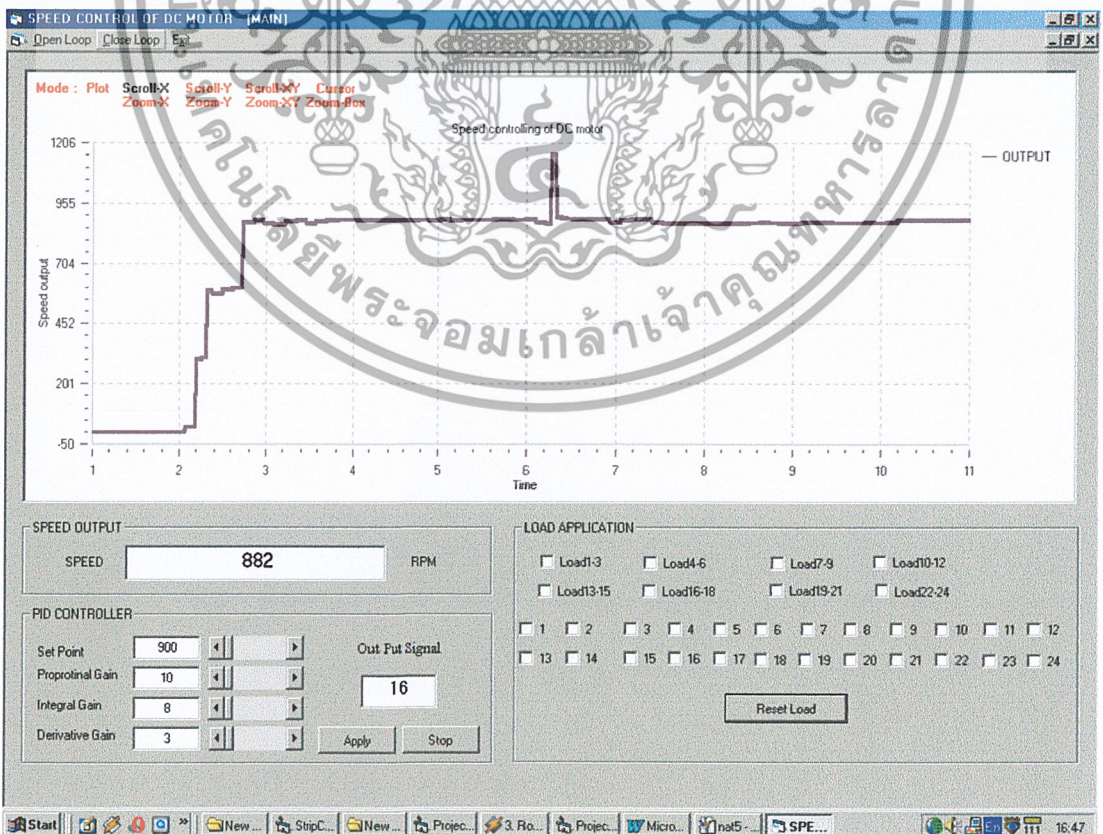


รูปที่ 4.2 กราฟแสดงความเร็วรอบที่ 600 รอบ ขณะรับภาระที่ 12 ชุด

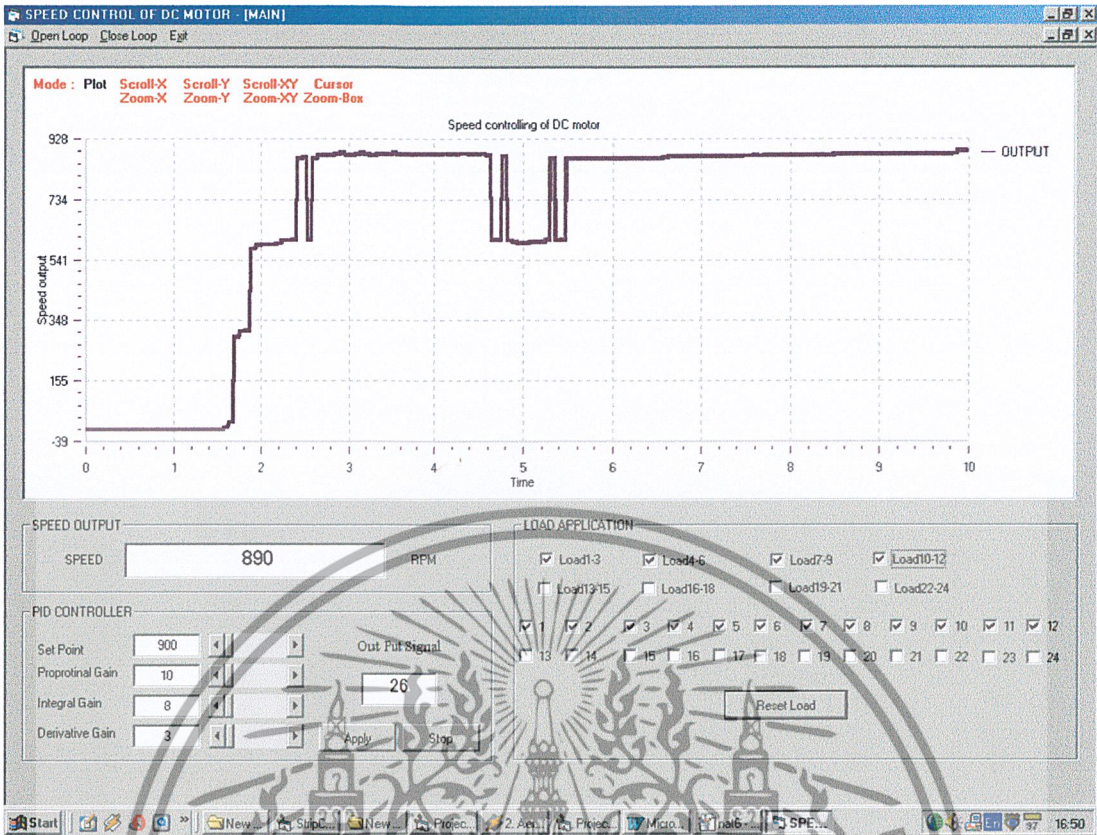
เอกสารนี้เป็นเอกสารที่สงวนไว้สำหรับบริการเชิงงานเพื่อการศึกษาเท่านั้น ไม่อนุญาตให้นำไปใช้ประโยชน์ด้านการค้า
ไม่ว่ากรณีใดๆ ทั้งสิ้น อีกทั้งห้ามมิให้ตัดแปลงเนื้อหา และต้องอ้างอิงถึงเจ้าของเอกสารทุกครั้งที่มีการนำไปใช้



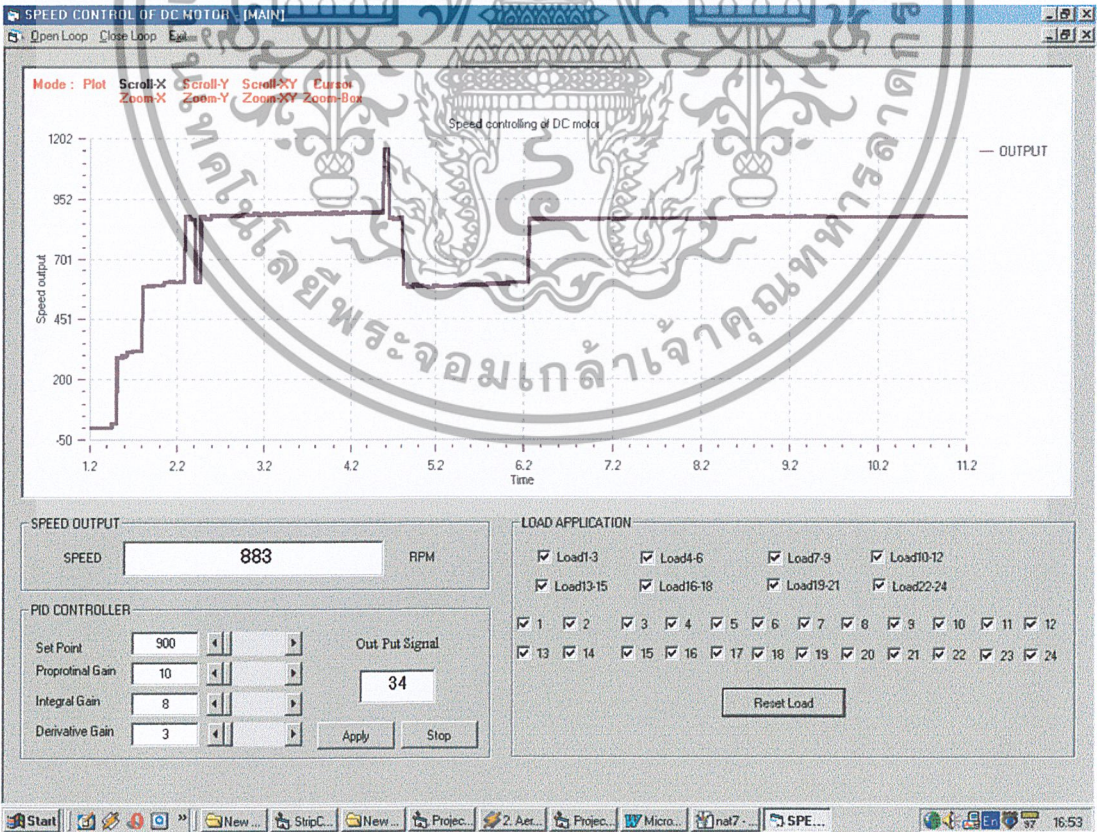
รูปที่ 4.3 กราฟแสดงความเร็วรอบที่ 600 รอบ ขณะรับภาระที่ 24 ชุด



รูปที่ 4.4 กราฟแสดงความเร็วรอบที่ 900 รอบ ขณะไม่มีภาระโหลด
เอกสารนี้เป็นเอกสารที่สงวนไว้สำหรับการใช้งานเพื่อการศึกษาเท่านั้น ไม่อนุญาตให้นำไปใช้ประโยชน์ด้านการค้า
ไม่ว่ากรณีใดๆ ทั้งสิ้น อีกทั้งห้ามมิให้ดัดแปลงเนื้อหา และต้องอ้างอิงถึงเจ้าของเอกสารทุกครั้งที่มีการนำไปใช้

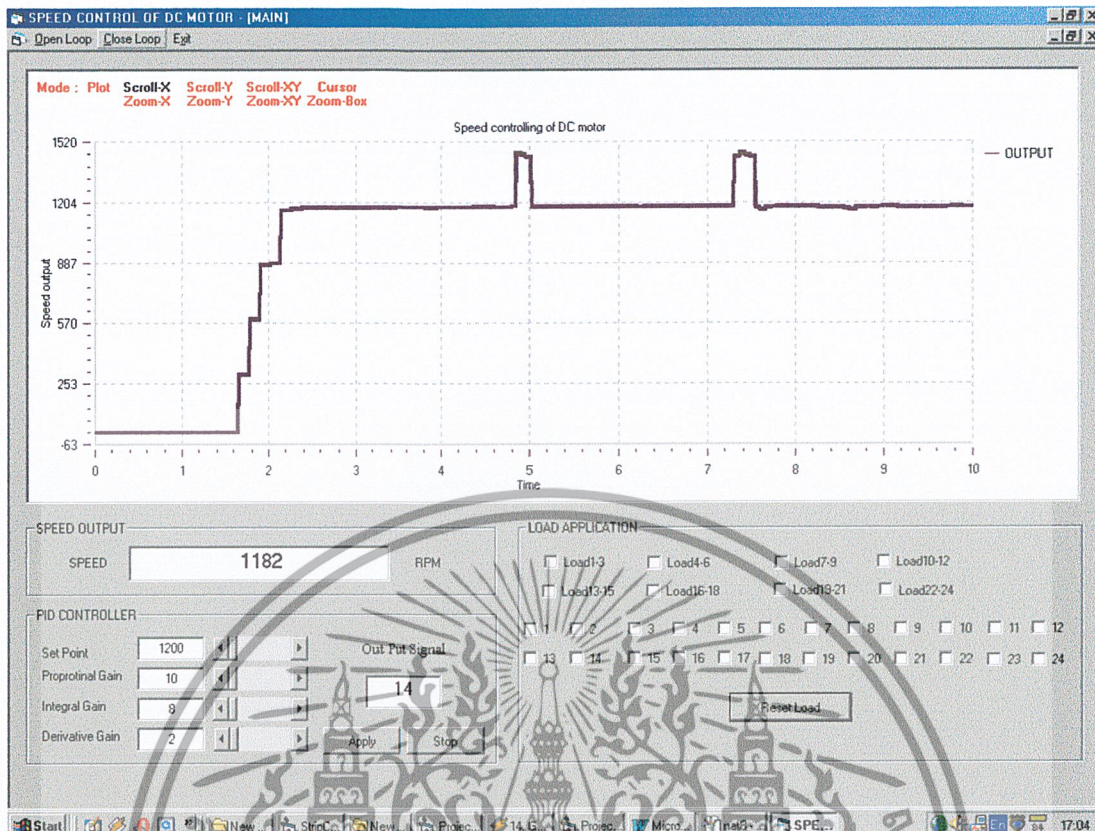


รูปที่ 4.5 กราฟแสดงความเร็วรอบที่ 900 รอบ ขณะรับภาระที่ 12 ชด

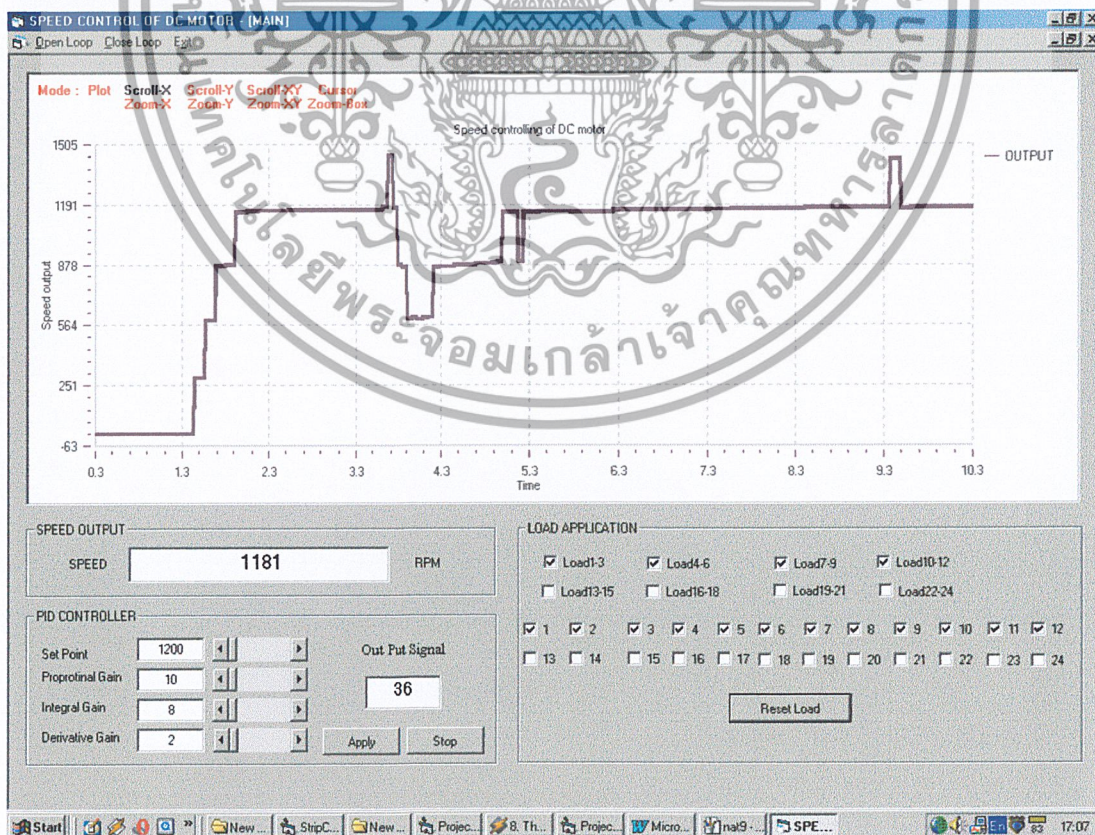


รูปที่ 4.6 กราฟแสดงความเร็วรอบที่ 900 รอบ ขณะรับภาระที่ 24 ชด

เอกสารนี้เป็นเอกสารที่สงวนไว้สำหรับการใช้งานเพื่อการศึกษาเท่านั้น ไม่อนุญาตให้นำไปใช้ประโยชน์ด้านการค้า ไม่ว่าจะกรณีใดๆ ทั้งสิ้น อีกทั้งห้ามมิให้ดัดแปลงเนื้อหา และต้องอ้างอิงถึงเจ้าของเอกสารทุกครั้งที่มีการนำไปใช้

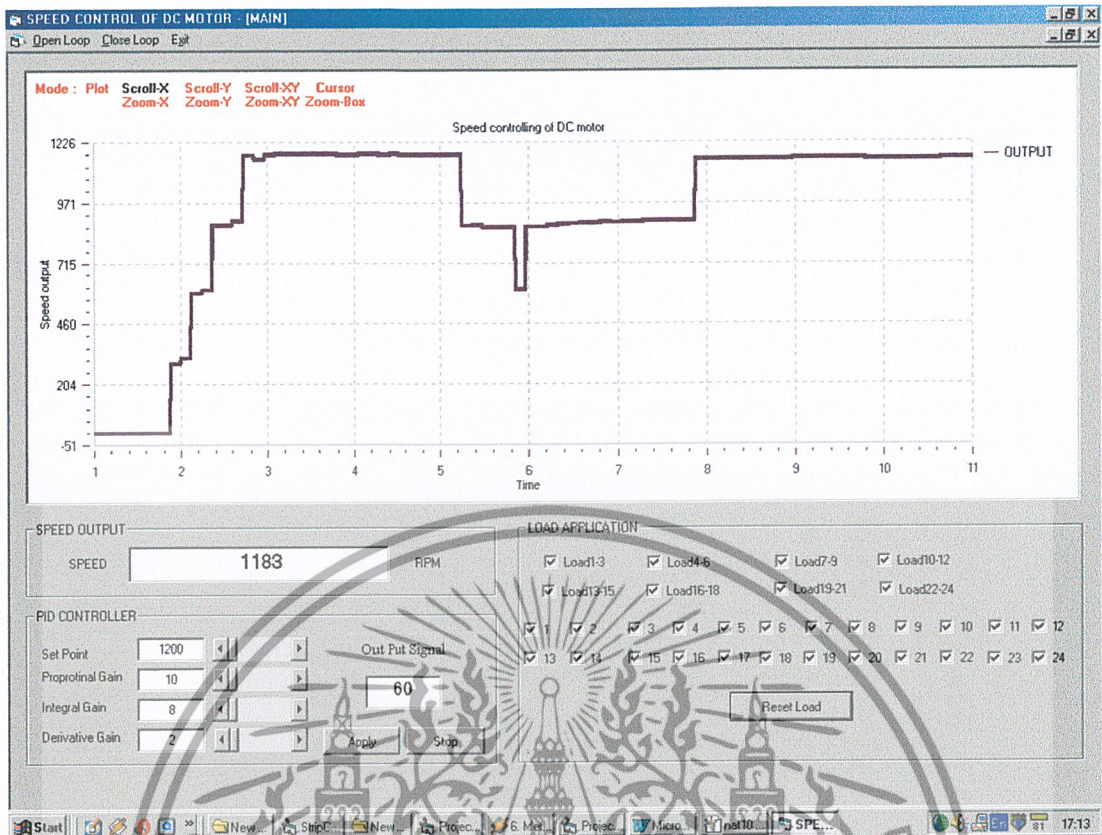


รูปที่ 4.7 กราฟแสดงความเร็วรอบที่ 1200 รอบ ขณะ ไม่มีภาระ โหลด

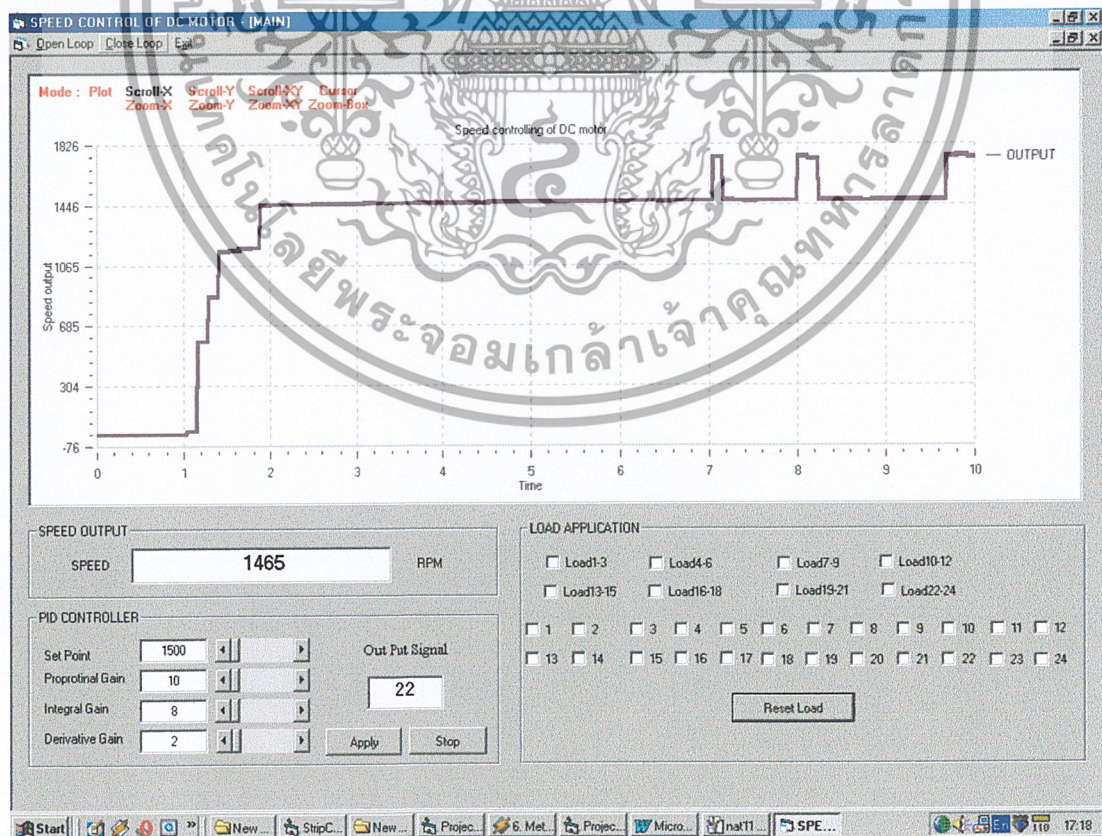


รูปที่ 4.8 กราฟแสดงความเร็วรอบที่ 1200 รอบ ขณะรับภาระที่ 12 ชุด

เอกสารนี้เป็นเอกสารที่สงวนไว้สำหรับการใช้งานเพื่อการศึกษาเท่านั้น ไม่อนุญาตให้นำไปใช้ประโยชน์ด้านการค้า ไม่ว่าจะกรณีใดๆ ทั้งสิ้น อีกทั้งห้ามมิให้ดัดแปลงเนื้อหา และต้องอ้างอิงถึงเจ้าของเอกสารทุกครั้งที่มีการนำไปใช้

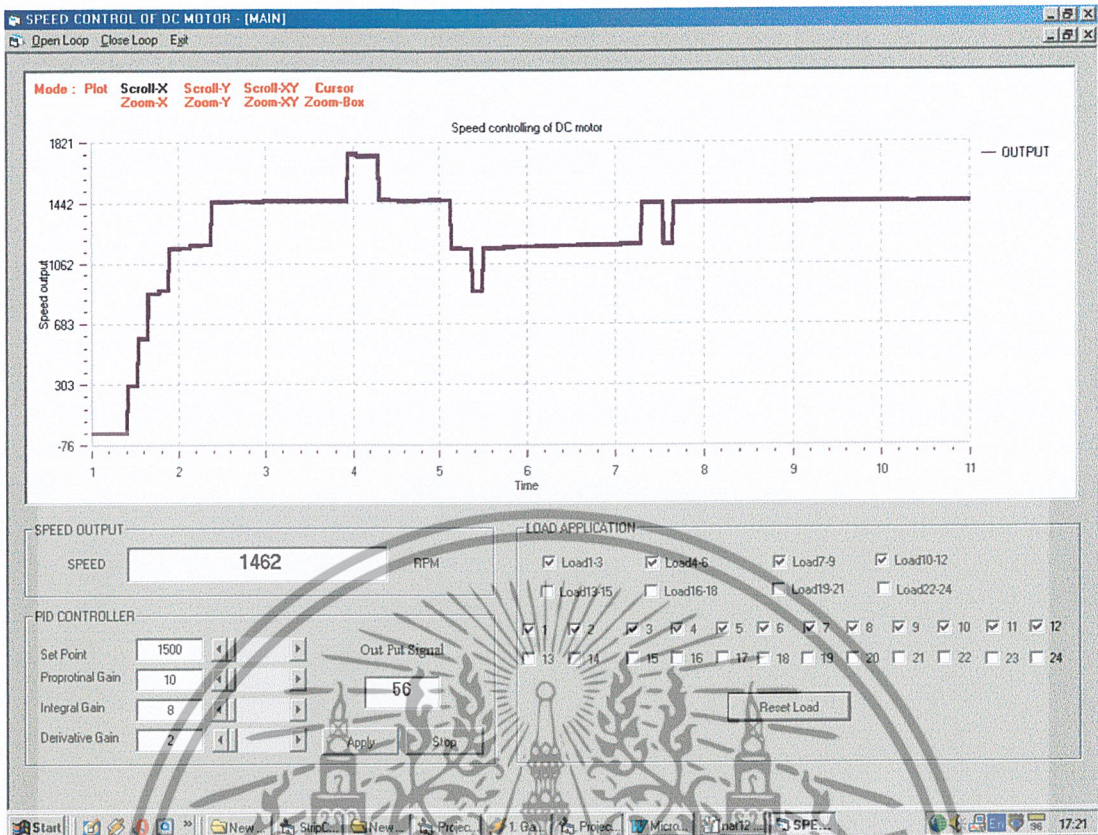


รูปที่ 4.9 กราฟแสดงความเร็วรอบที่ 1200 รอบ ขณะรับภาระที่ 24 ชุด

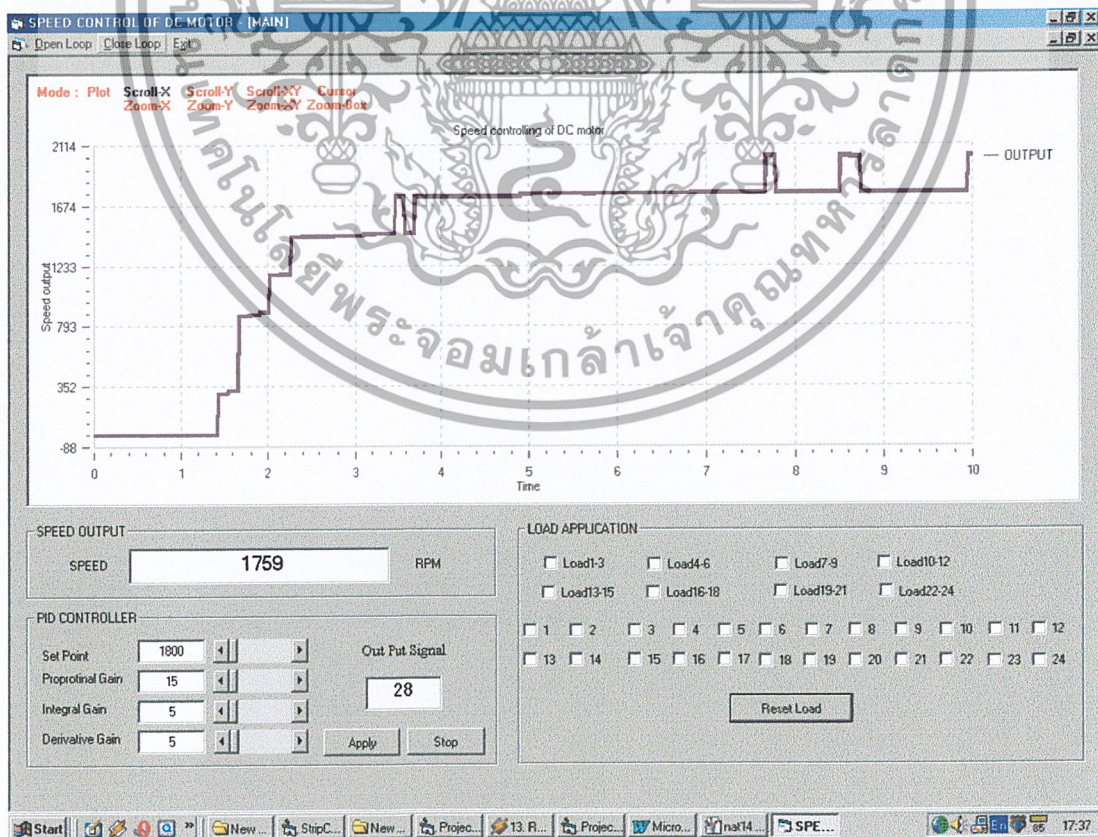


รูปที่ 4.10 กราฟแสดงความเร็วรอบที่ 1500 รอบ ขณะไม่มีภาระโหลด

เอกสารนี้เป็นเอกสารที่สงวนไว้สำหรับการใช้งานเพื่อการศึกษาเท่านั้น ไม่อนุญาตให้นำไปใช้ประโยชน์ด้านการค้า
ไม่ว่ากรณีใดๆ ทั้งสิ้น อีกทั้งห้ามมิให้ตัดแปลงเนื้อหา และต้องอ้างอิงถึงเจ้าของเอกสารทุกครั้งที่มีการนำไปใช้

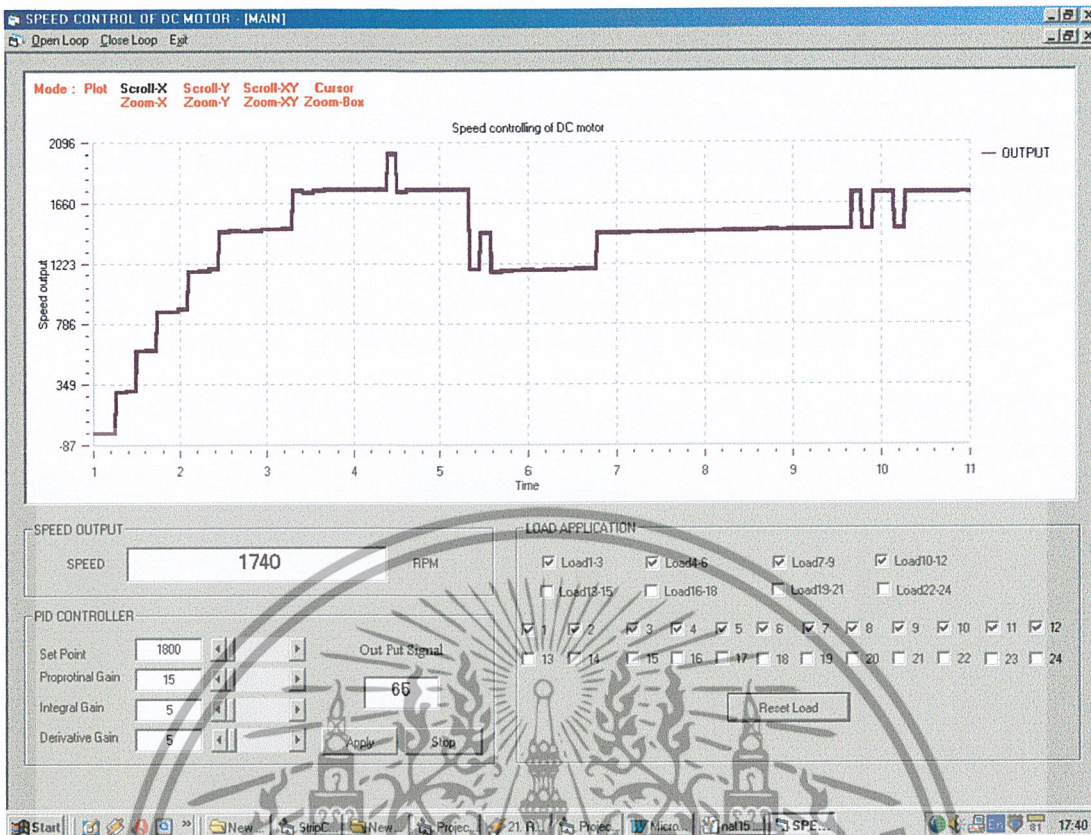


รูปที่ 4.11 กราฟแสดงความเร็วรอบที่ 1500 รอบ ขณะรับภาระที่ 12 ชุด

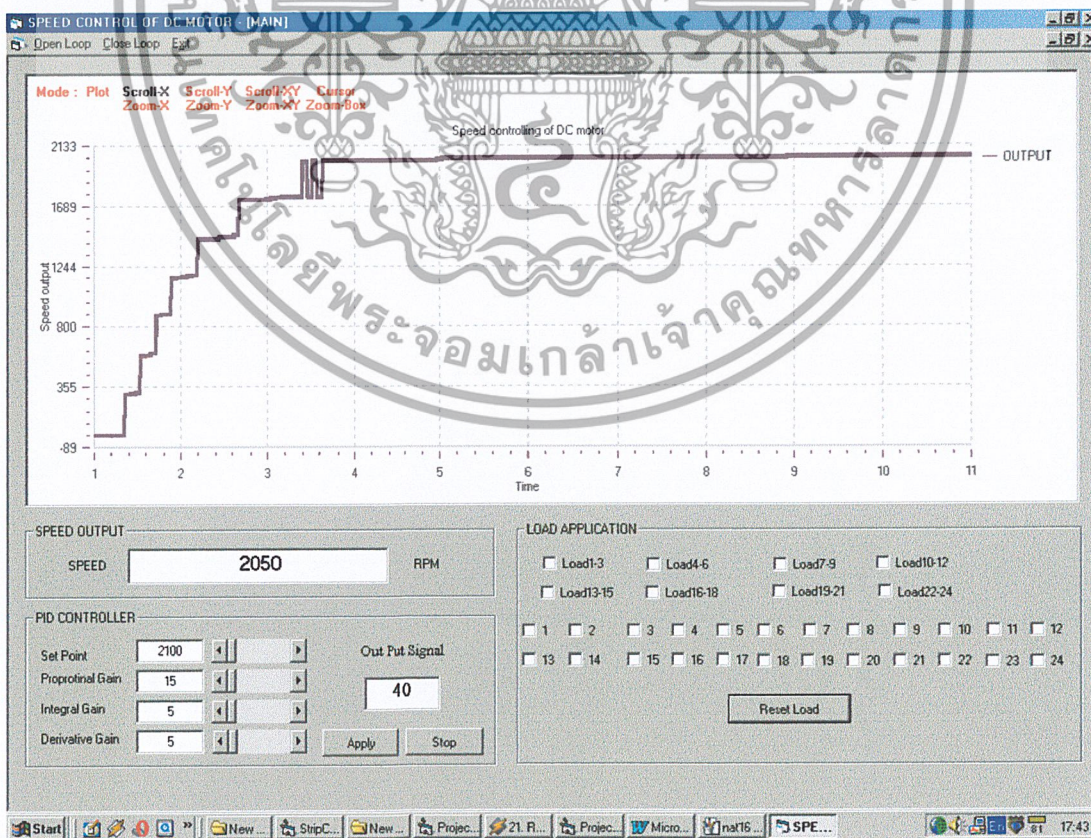


รูปที่ 4.12 กราฟแสดงความเร็วรอบที่ 1800 รอบ ขณะไม่มีภาระ โหลด

เอกสารนี้เป็นเอกสารที่สงวนไว้สำหรับการใช้งานเพื่อการศึกษาเท่านั้น ไม่อนุญาตให้นำไปใช้ประโยชน์ด้านการค้า
ไม่ว่ากรณีใดๆ ทั้งสิ้น อีกทั้งห้ามมิให้ดัดแปลงเนื้อหา และต้องอ้างอิงถึงเจ้าของเอกสารทุกครั้งที่มีการนำไปใช้

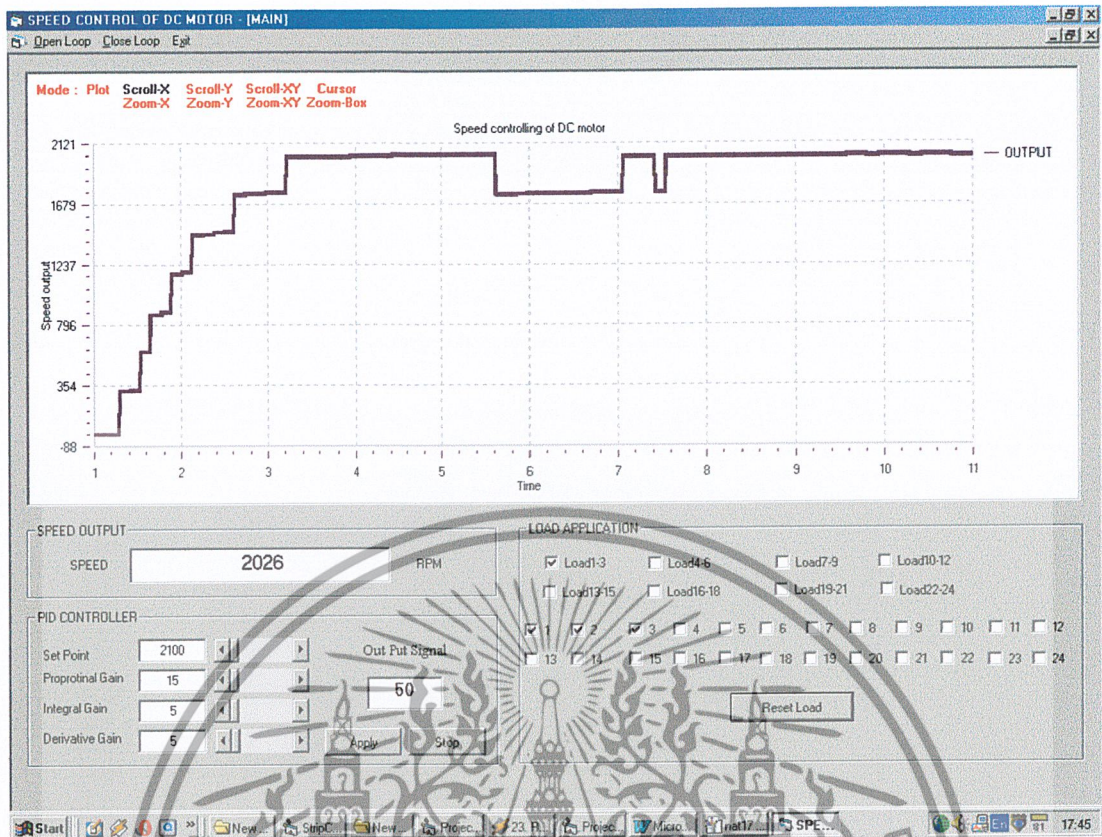


รูปที่ 4.13 กราฟแสดงความเร็วรอบที่ 1800 รอบ ขณะรับภาระที่ 12 ชุด



รูปที่ 4.14 กราฟแสดงความเร็วรอบที่ 2100 รอบ ขณะ ไม่มีภาระ โหลด

เอกสารนี้เป็นเอกสารที่สงวนไว้สำหรับการใช้งานเพื่อการศึกษาเท่านั้น ไม่อนุญาตให้นำไปใช้ประโยชน์ด้านการค้า ไม่ว่ากรณีใดๆ ทั้งสิ้น อีกทั้งห้ามมิให้ดัดแปลงเนื้อหา และต้องอ้างอิงถึงเจ้าของเอกสารทุกครั้งที่มีการนำไปใช้



รูปที่ 4.15 กราฟแสดงความเร็วรอบที่ 2100 รอบ ขณะรับภาระที่ 3 ชุด

เอกสารนี้เป็นเอกสารที่สงวนไว้สำหรับการใช้งานเพื่อการศึกษาเท่านั้น ไม่อนุญาตให้นำไปใช้ประโยชน์ด้านการค้า ไม่ว่าจะกรณีใดๆ ทั้งสิ้น อีกทั้งห้ามมิให้ดัดแปลงเนื้อหา และต้องอ้างอิงถึงเจ้าของเอกสารทุกครั้งที่มีการนำไปใช้

4.3 สรุปผลการทดลอง

การทดลองในขณะ Open Loop นั้นได้กระทำการทดลองโดยการป้อนสัญญาณควบคุมให้ มีค่าระยะความห่างเพิ่มขึ้นครั้งละ 5 ระดับ โดยจะเห็นได้ว่าค่าของสัญญาณและค่าของความเร็วรอบ ที่เกิดขึ้นจะมีความสัมพันธ์กันตลอดถึงค่าของกระแสและค่าแรงดัน คือค่าความเร็วรอบของตัว มอเตอร์จะเริ่มคงเพียงแต่ได้รับสัญญาณการควบคุมที่ค่าประมาณระดับที่ 35 รวมทั้งค่ากระแสและ แรงดันด้วยแสดงว่าสัญญาณควบคุมที่ผลิตขึ้นมาด้วยเลขดิจิตอลในระบบเลขฐานสอง 8 บิตซึ่งได้ ทั้งหมด 255 ระดับ ซึ่งสามารถที่จะใช้ควบคุมมอเตอร์ที่มีพิกัดสูงกว่ามอเตอร์ที่ทำการทดลองอยู่ได้

ส่วนการทดลองในขณะ Close Loop จะกำหนดค่า Set Point หรือค่าความเร็วรอบที่ ต้องการเพื่อให้มอเตอร์ทำงานหลังจากนั้นก็ทดลองเพิ่มโหลดให้แก่ตัวมอเตอร์ทีละ Step จะสังเกตเห็นว่าความเร็วรอบของมอเตอร์ลดลงแต่ในช่วงหนึ่งเท่านั้น เพราะว่าวงจรควบคุมจะทำการ ผลิตสัญญาณควบคุมเพื่อป้อนให้แก่วงจรขับมอเตอร์เพื่อขับมอเตอร์ให้รักษาความเร็วรอบให้เป็น ไปตามค่า Set Point ที่ต้องการ จากผลการทดลองได้กระทำการวัดทั้งค่าสัญญาณควบคุม ค่า กระแสและค่าแรงดันของมอเตอร์พบว่าจะมีค่าเพิ่มขึ้นเมื่อ โหลดเพิ่มขึ้นแต่ค่าความเร็วรอบคงที่ตาม ค่า Set Point ซึ่งเป็นไปตามที่ต้องการ และจะพบว่าทั้งค่าสัญญาณควบคุม ค่ากระแสตลอดถึงค่า แรงดันของมอเตอร์จะมีค่าคงที่เมื่อค่าความเร็วรอบมอเตอร์เกินพิกัดของมอเตอร์ที่นำมาทำการ ทดลอง ถ้าหากทำการเพิ่มโหลดให้แก่มอเตอร์อีกค่าความเร็วรอบจะลดลงไม่เป็นไปตามค่า Set Point ตามที่ต้องการเนื่องจากในขณะที่ต้องรับภาระ โหลดอยู่นั้นค่าความเร็วรอบจริงของมอเตอร์มี ค่าเกินพิกัดความเร็วที่ตัวมอเตอร์จะรับได้แม้ว่าจะกระทำการป้อนสัญญาณควบคุมเพิ่มจนถึงค่า สัญญาณควบคุมที่ระดับ 255 ก็ตาม ดังนั้นการควบคุมความเร็วรอบมอเตอร์ไฟฟ้าจะต้องพิจารณา ถึงค่าพิกัดของมอเตอร์ด้วย

เอกสารนี้เป็นเอกสารที่สงวนไว้สำหรับการใช้งานเพื่อการศึกษาเท่านั้น ไม่อนุญาตให้นำไปใช้ประโยชน์ด้านการค้า ไม่ว่ากรณีใดๆ ทั้งสิ้น อีกทั้งห้ามมิให้ดัดแปลงเนื้อหา และต้องอ้างอิงถึงเจ้าของเอกสารทุกครั้งที่มีการนำไปใช้

บทที่ 5

สรุปผลการวิจัยและข้อเสนอแนะ

5.1 บทสรุป

จากหลักการการทำงานของมอเตอร์ไฟฟ้ากระแสตรงเพียงแต่เราป้อนไฟกระแสตรงเข้าไป ความเร็วรอบที่เกิดจากการป้อนแรงดันเดี่ยวดลอคมันก็จะหมุน โดยมีค่าคงที่ตลอด แต่ถ้าหากเราต้องการที่จะควบคุมให้มันมีความเร็วต่างๆกันวิธีง่าย ๆ ก็คือการควบคุมกระแสโดยการใส่ ค่าความต้านทานปรับค่าได้ควบคุมค่ากระแสที่ไหลเข้ามอเตอร์ แต่วิธีการนี้จะทำให้มอเตอร์เกิดความร้อนขึ้น จะเห็นว่าถ้าหากเราลองจ่ายกระแสไฟฟ้าเพื่อให้มอเตอร์ทำงานแล้วความเร็วรอบของมันจะไม่ได้เริ่มขึ้นอย่างทันทีทันใดมันต้องใช้เวลาเล็กน้อยในการที่จะหมุนไปยังความเร็วสูงสุดของมัน และถ้าหากเราหยุดจ่ายกระแสไฟฟ้าแล้วมันก็จะหยุดอย่างทันทีทันใดมันจะค่อยๆลดความเร็วลงมา ถ้าหากว่าเราสามารถจ่ายและหยุดจ่ายกระแสไฟฟ้าได้เร็วพอแล้วละก็เราจะพบว่าความเร็วของมันนั้นก็จะมีค่าคงที่ค่าหนึ่งอยู่ระหว่างความเร็วสูงสุดและการหยุดหมุน แน่นอนเราไม่มีความไวพอแต่อุปกรณ์อิเล็กทรอนิกส์ที่สามารถช่วยเราได้ นี่เองจึงเป็นที่มาของการควบคุมความเร็วของมอเตอร์ไฟฟ้ากระแสตรง โดยการสร้างสัญญาณที่มีลักษณะเป็น Pulse ที่จะป้อนให้แก่มอเตอร์ไฟฟ้า โดยที่มีช่วงการป้อนและหยุดป้อนสัญญาณที่ค่าต่างๆกันไป

จากผลการวิจัยได้ใช้ไมโครคอนโทรลเลอร์เป็นตัวที่ผลิตสัญญาณควบคุมออกมาเพื่อควบคุมระดับของความเร็วมอเตอร์ไฟฟ้าโดยอาศัยลักษณะของกร on และ off ของระบบดิจิทัลซึ่งมีหลักการทำงานอยู่เพียงแค่ค่าสูงสุดและต่ำสุดเท่านั้น ผลที่ได้ก็เป็นไปตามที่ต้องการ

ในส่วนของการรับภาระ โหลดก็สามารถที่จะควบคุมความเร็วของมอเตอร์ได้ในระดับหนึ่ง เมื่อต้องรับภาระ โหลดที่มอเตอร์ต้องทำการจ่ายกำลังไฟฟ้าให้ โดยที่ทำการป้อนโหลดทีละชุด เพราะที่ค่าความเร็วที่ต้องการบางระดับยังไม่สามารถที่จะควบคุมได้ เนื่องจากในการทดลองได้ใช้มอเตอร์ไฟฟ้ากระแสตรงชนิดอนุกรมมาทำการทดลอง ซึ่งคุณสมบัติของเจ้าตัวมอเตอร์ชนิดนี้มีความไวในการเปลี่ยนแปลงค่าความเร็วรอบต่อค่ากระแสที่ป้อนเข้าไปเร็วมาก แต่จากผลการทดลองที่ได้ก็เป็นที่น่าพอใจในระดับ

ส่วนในด้านปัญหาที่มีอยู่บ้างดังเช่น สัญญาณที่จะนำมาใช้ในการควบคุมซึ่งผลิตจากตัวไมโครคอนโทรลเลอร์นั้นได้เกิดสัญญาณรบกวนทำให้การควบคุมในช่วงแรกไม่ประสบผลสำเร็จเนื่องมาจากเกิดกราวด์ลูปขึ้นในวงจรชุดควบคุมแต่ก็สามารถที่แก้ไขได้ โดยการทำให้กราวด์ของอุปกรณ์อิเล็กทรอนิกส์แต่ละตัวต่อเป็นลักษณะสตาร์กราวด์ปัญหาดังกล่าวก็หมดไป

เอกสารนี้เป็นเอกสารที่สงวนไว้สำหรับการใช้งานเพื่อการศึกษาเท่านั้น ไม่อนุญาตให้นำไปใช้ประโยชน์ด้านการค้าไม่ว่ากรณีใดๆ ทั้งสิ้น อีกทั้งห้ามมิให้ดัดแปลงเนื้อหา และต้องอ้างอิงถึงเจ้าของเอกสารทุกครั้งที่มีการนำไปใช้

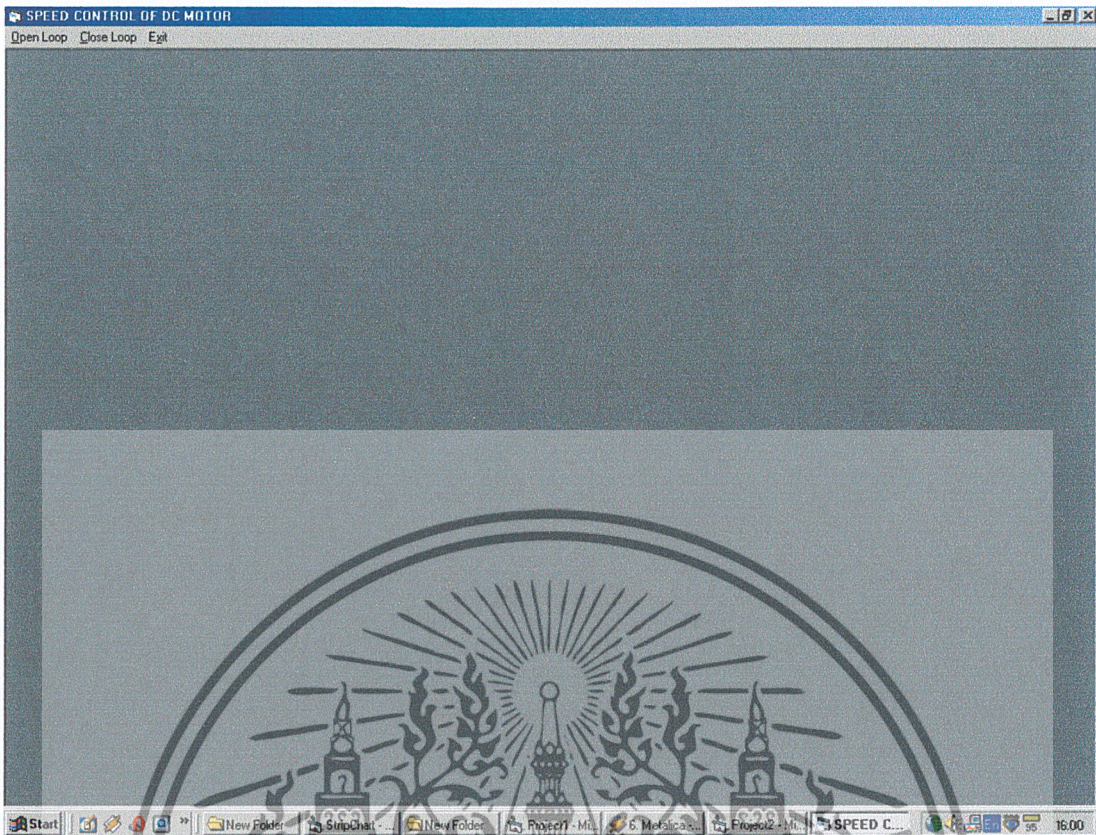
ในการทดลองได้ใช้เพียงมอเตอร์ไฟฟ้ากระแสตรงแบบอนุกรมเท่านั้น ผลที่ได้จึงอาจไม่เป็นที่น่าพอใจ ซึ่งสามารถเห็นได้จากการควบคุมความเร็วที่ได้อยู่เพียงบางค่าเท่านั้น จึงน่าที่จะได้นำมอเตอร์ไฟฟ้ากระแสตรงชนิดอื่นๆมาทดลองแทนบ้าง ผลที่ได้ อาจจะมีข้อเปรียบเทียบหรือได้ผลที่แตกต่างกันออกไปเพื่อเป็นแนวทางที่จะเลือกการใช้งานได้อย่างเหมาะสมและมีประสิทธิภาพมากที่สุดในการที่จะนำไปใช้งาน ส่วนในลักษณะของสัญญาณที่ใช้ในการควบคุมนั้นมีเพียงแค่ 8 บิตหากแปลงออกมาก็ได้ 255 ระดับ อาจจะประยุกต์ให้เพิ่มขึ้นเป็น 16 บิตซึ่งหากแปลงออกมาสัญญาณที่ได้จะมีถึง 65535 ระดับเลยทีเดียว การควบคุมก็จะสามารถทำได้กว้างขึ้นและยังใช้ควบคุมกับมอเตอร์ที่มีพิกัดสูงได้อีกด้วย



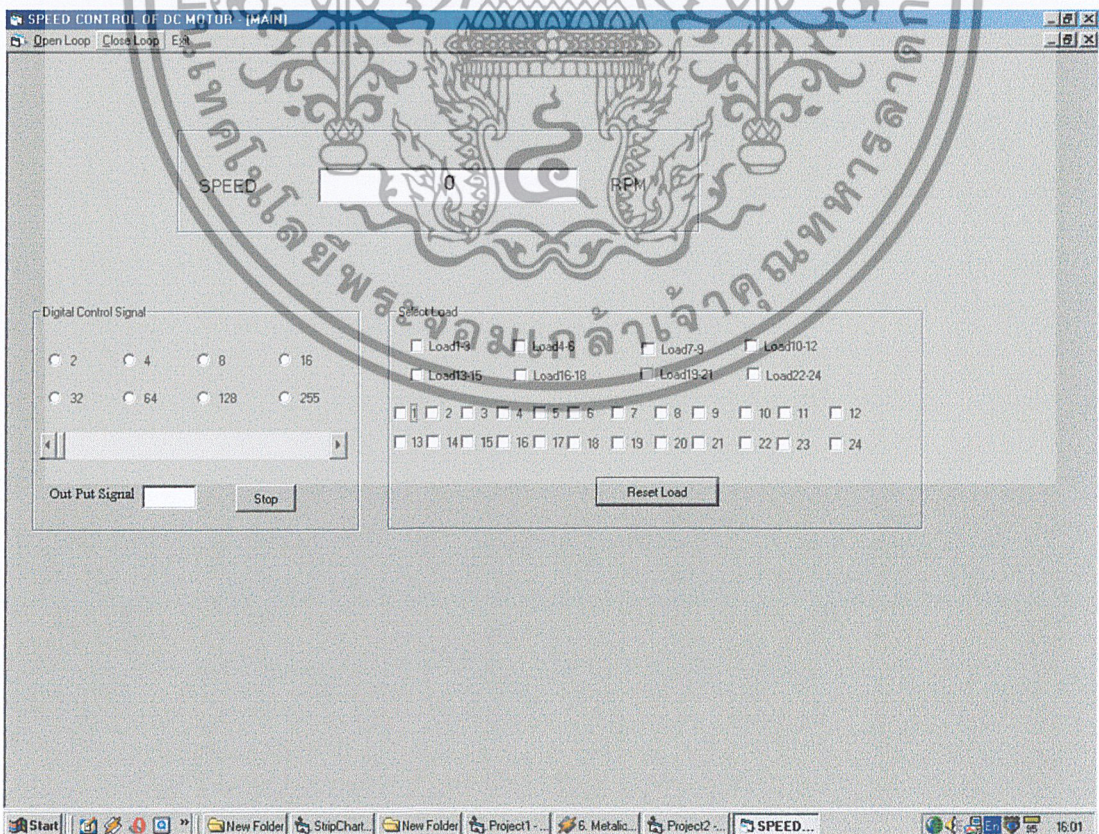
เอกสารนี้เป็นเอกสารที่สงวนไว้สำหรับการใช้งานเพื่อการศึกษาเท่านั้น ไม่อนุญาตให้นำไปใช้ประโยชน์ด้านการค้าไม่ว่ากรณีใดๆ ทั้งสิ้น อีกทั้งห้ามมิให้ดัดแปลงเนื้อหา และต้องอ้างอิงถึงเจ้าของเอกสารทุกครั้งที่มีการนำไปใช้



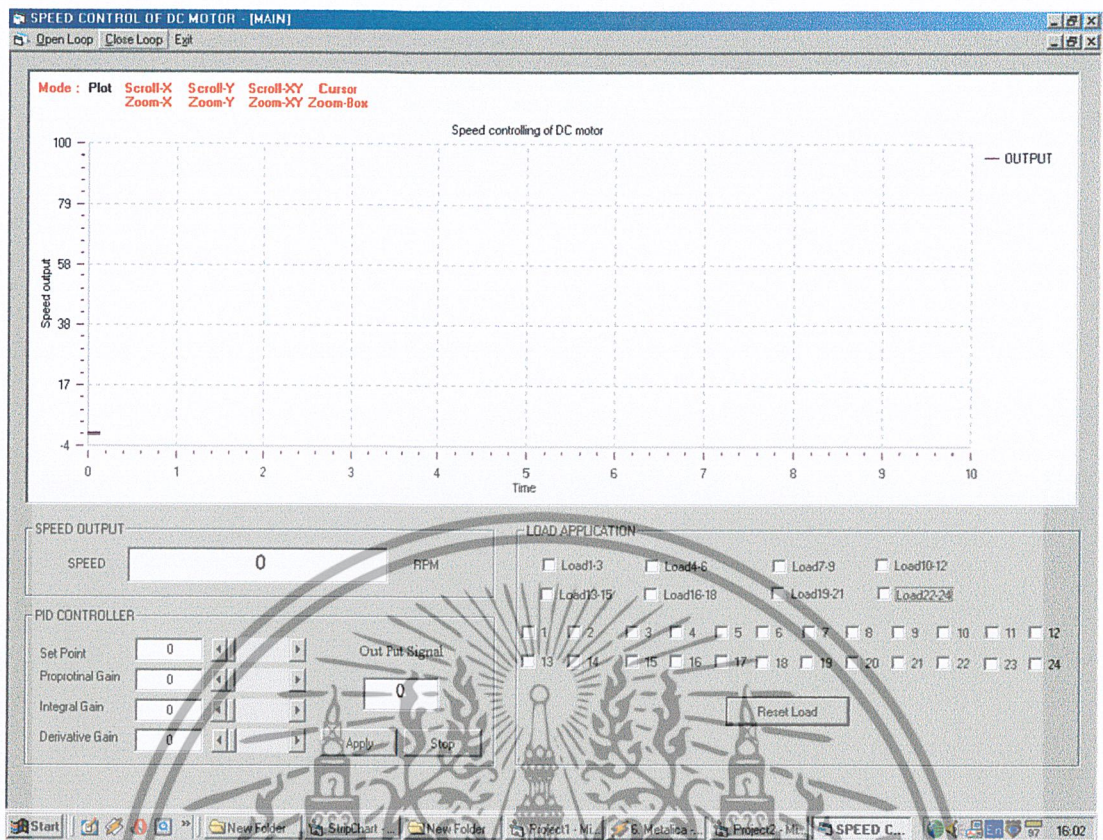
เอกสารนี้เป็นเอกสารที่สงวนไว้สำหรับการใช้งานเพื่อการศึกษาเท่านั้น ไม่อนุญาตให้นำไปใช้ประโยชน์ด้านการค้า
ไม่ว่ากรณีใดๆ ทั้งสิ้น อีกทั้งห้ามมิให้ดัดแปลงเนื้อหา และต้องอ้างอิงถึงเจ้าของเอกสารทุกครั้งที่มีการนำไปใช้



รูปแสดง หน้าต่างเมนูเริ่มต้น โปรแกรมควบคุม



รูปแสดง หน้าต่าง โปรแกรมการควบคุมในขณะ Open Loop ะ
เอกสารนี้เป็นเอกสารที่สงวนไว้สำหรับการใช้งานเพื่อการศึกษาเท่านั้น ไม่อนุญาตให้นำไปใช้ประโยชน์ด้านการค้า
ไม่ว่ากรณีใดๆ ทั้งสิ้น อีกทั้งห้ามมิให้ดัดแปลงเนื้อหา และต้องอ้างอิงถึงเจ้าของเอกสารทุกครั้งที่มีการนำไปใช้



รูปแสดง หน้าต่าง โปรแกรมการควบคุมในขณะ Close Loop

เอกสารนี้เป็นเอกสารที่สงวนไว้สำหรับการใช้งานเพื่อการศึกษาเท่านั้น ไม่อนุญาตให้นำไปใช้ประโยชน์ด้านการค้า ไม่ว่ากรณีใดๆ ทั้งสิ้น อีกทั้งห้ามมิให้ดัดแปลงเนื้อหา และต้องอ้างอิงถึงเจ้าของเอกสารทุกครั้งที่มีการนำไปใช้

โปรแกรมควบคุมการสั่งงานจากคอมพิวเตอร์โดย Visual Basic

MDIFormMain – 1

```
Private Sub mnu_Close_Click()
```

```
If Frm_Open.MSComm1.PortOpen = True Then Frm_Open.MSComm1.PortOpen = False
```

```
Frm_Open.Hide
```

```
Frm_Close.Show
```

```
If Frm_Close.MSComm1.PortOpen = False Then Frm_Close.MSComm1.PortOpen = True
```

```
End Sub
```

```
Private Sub mnu_ex_Click()
```

```
End
```

```
End Sub
```

```
Private Sub mnu_Open_Click()
```

```
If Frm_Close.MSComm1.PortOpen = True Then
```

```
Frm_Close.MSComm1.PortOpen = False
```

```
Else
```

```
End If
```

```
Frm_Close.Hide
```

```
Frm_Open.Show
```

```
If Frm_Open.MSComm1.PortOpen = False Then
```

```
Frm_Open.MSComm1.PortOpen = True
```

```
Else
```

```
End If
```

```
End Sub
```

เอกสารนี้เป็นเอกสารที่สงวนไว้สำหรับการใช้งานเพื่อการศึกษาเท่านั้น ไม่อนุญาตให้นำไปใช้ประโยชน์ด้านการค้า ไม่ว่าจะกรณีใดๆ ทั้งสิ้น อีกทั้งห้ามมิให้ดัดแปลงเนื้อหา และต้องอ้างอิงถึงเจ้าของเอกสารทุกครั้งที่มีการนำไปใช้

Frm_Open (MAIN.form)

```
Private Sub Command1_Click()
```

```
For i = 0 To 7
```

```
PA(i).Value = 0
```

```
PB(i).Value = 0
```

```
PC(i).Value = 0
```

```
PD(i).Value = 0
```

```
Next i
```

```
End Sub
```

```
Private Sub Command2_Click()
```

```
HScroll1.Value = 0
```

```
Option1.Value = False
```

```
Option2.Value = False
```

```
Option3.Value = False
```

```
Option4.Value = False
```

```
Option5.Value = False
```

```
Option6.Value = False
```

```
Option7.Value = False
```

```
Option8.Value = False
```

```
End Sub
```

```
Private Sub HScroll1_Change()
```

```
Label_BRM.Caption = HScroll1.Value
```

```
End Sub
```

```
Private Sub HScroll1_Scroll()
```

```
Label_BRM.Caption = HScroll1.Value
```

```
End Sub
```

เอกสารนี้เป็นเอกสารที่สงวนไว้สำหรับการใช้งานเพื่อการศึกษาเท่านั้น ไม่อนุญาตให้นำไปใช้ประโยชน์ด้านการค้า
ไม่ว่ากรณีใดๆ ทั้งสิ้น อีกทั้งห้ามมิให้ดัดแปลงเนื้อหา และต้องอ้างอิงถึงเจ้าของเอกสารทุกครั้งที่มีการนำไปใช้

```
Private Sub MSComm1_OnComm()
```

```
Dim c As String
```

```
Dim b As Single
```

```
    c = MSComm1.Input
```

```
    If c = "" Then Exit Sub
```

```
    b = Hex_To_Dec(c)
```

```
    Label_SPEED.Caption = Str$(b)
```

```
End Sub
```

```
Private Sub Option1_Click()
```

```
    HScroll1.Value = 2
```

```
End Sub
```

```
Private Sub Option2_Click()
```

```
    HScroll1.Value = 4
```

```
End Sub
```

```
Private Sub Option3_Click()
```

```
    HScroll1.Value = 8
```

```
End Sub
```

```
Private Sub Option4_Click()
```

```
    HScroll1.Value = 16
```

```
End Sub
```

```
Private Sub Option5_Click()
```

```
    HScroll1.Value = 32
```

```
End Sub
```



เอกสารนี้เป็นเอกสารที่สงวนไว้สำหรับการใช้งานเพื่อการศึกษาเท่านั้น ไม่อนุญาตให้นำไปใช้ประโยชน์ด้านการค้า
ไม่ว่ากรณีใดๆ ทั้งสิ้น อีกทั้งห้ามมิให้ดัดแปลงเนื้อหา และต้องอ้างอิงถึงเจ้าของเอกสารทุกครั้งที่มีการนำไปใช้

Private Sub Option6_Click()

HScroll1.Value = 64

End Sub

Private Sub Option7_Click()

HScroll1.Value = 128

End Sub

Private Sub Option8_Click()

HScroll1.Value = 255

End Sub

Private Sub PD_Click(Index As Integer)

Select Case Index

Case Is = 0

PA(0).Value = PD(0).Value

PA(1).Value = PD(0).Value

PA(2).Value = PD(0).Value

Case Is = 1

PA(3).Value = PD(1).Value

PA(4).Value = PD(1).Value

PA(5).Value = PD(1).Value

Case Is = 2

PA(6).Value = PD(2).Value

PA(7).Value = PD(2).Value

PB(0).Value = PD(2).Value

Case Is = 3

PB(1).Value = PD(3).Value

PB(2).Value = PD(3).Value

PB(3).Value = PD(3).Value

เอกสารนี้เป็นเอกสารที่สงวนไว้สำหรับการใช้งานเพื่อการศึกษาเท่านั้น ไม่อนุญาตให้นำไปใช้ประโยชน์ด้านการค้า
ไม่ว่ากรณีใดๆ ทั้งสิ้น อีกทั้งห้ามมิให้ดัดแปลงเนื้อหา และต้องอ้างอิงถึงเจ้าของเอกสารทุกครั้งที่มีการนำไปใช้

Case Is = 4

PB(4).Value = PD(4).Value

PB(5).Value = PD(4).Value

PB(6).Value = PD(4).Value

Case Is = 5

PB(7).Value = PD(5).Value

PC(0).Value = PD(5).Value

PC(1).Value = PD(5).Value

Case Is = 6

PC(2).Value = PD(6).Value

PC(3).Value = PD(6).Value

PC(4).Value = PD(6).Value

Case Is = 7

PC(5).Value = PD(7).Value

PC(6).Value = PD(7).Value

PC(7).Value = PD(7).Value

End Select

End Sub

Private Sub Timer1_Timer()

If MSComm1.PortOpen = False Then Exit Sub

MSComm1.Output = "@1"

MSComm1.Output = Dec_To_Hex(HScroll1.Value)

Dim A(0 To 7) As Integer, b(0 To 7) As Integer, c(0 To 7) As Integer

For i = 0 To 7

If PA(i).Value = 1 Then

A(i) = 0

Else

A(i) = 2 ^ i

End If

เอกสารนี้เป็นเอกสารที่สงวนไว้สำหรับการใช้งานเพื่อการศึกษาเท่านั้น ไม่อนุญาตให้นำไปใช้ประโยชน์ด้านการค้า
ไม่ว่ากรณีใดๆ ทั้งสิ้น อีกทั้งห้ามมิให้ดัดแปลงเนื้อหา และต้องอ้างอิงถึงเจ้าของเอกสารทุกครั้งที่มีการนำไปใช้

```
If PB(i).Value = 1 Then
```

```
    b(i) = 0
```

```
Else
```

```
    b(i) = 2 ^ i
```

```
End If
```

```
If PC(i).Value = 1 Then
```

```
    c(i) = 0
```

```
Else
```

```
    c(i) = 2 ^ i
```

```
End If
```

```
Next i
```

```
Dim cc1 As Integer, cc2 As Integer, cc3 As Integer
```

```
cc1 = A(0) + A(1) + A(2) + A(3) + A(4) + A(5) + A(6) + A(7)
```

```
cc2 = b(0) + b(1) + b(2) + b(3) + b(4) + b(5) + b(6) + b(7)
```

```
cc3 = c(0) + c(1) + c(2) + c(3) + c(4) + c(5) + c(6) + c(7)
```

```
MSComm1.Output = "@3"
```

```
MSComm1.Output = Dec_To_Hex(cc1)
```

```
MSComm1.Output = "@4"
```

```
MSComm1.Output = Dec_To_Hex(cc2)
```

```
MSComm1.Output = "@5"
```

```
MSComm1.Output = Dec_To_Hex(cc3)
```

```
End Sub
```

```
Private Sub Timer2_Timer()
```

```
If MSComm1.PortOpen = False Then Exit Sub
```

```
MSComm1.Output = "@6"
```

```
End Sub
```

```
Private Sub Timer3_Timer()
```

```
    Text1.Text = Text1.Text + MSComm1.Input
```

```
End Sub
```

เอกสารนี้เป็นเอกสารที่สงวนไว้สำหรับการใช้งานเพื่อการศึกษาเท่านั้น ไม่อนุญาตให้นำไปใช้ประโยชน์ด้านการค้า
ไม่ว่ากรณีใดๆ ทั้งสิ้น อีกทั้งห้ามมิให้ดัดแปลงเนื้อหา และต้องอ้างอิงถึงเจ้าของเอกสารทุกครั้งที่มีการนำไปใช้

Frm_Close (frm_Close.frm)

```
Private Sub Command1_Click()
```

```
For i = 0 To 7
```

```
    PA(i).Value = 0
```

```
    PB(i).Value = 0
```

```
    PC(i).Value = 0
```

```
    PD(i).Value = 0
```

```
Next i
```

```
End Sub
```

```
Private Sub Command2_Click()
```

```
    SP = Val(Text_SP.Text)
```

```
    KP = Val(Text_KP.Text) * 0.05
```

```
    KI = Val(Text_KI.Text) * 0.05
```

```
    KD = Val(Text_KD.Text) * 0.05
```

```
    SUMI = 0
```

```
    ERRO = 0
```

```
End Sub
```

```
Private Sub Command3_Click()
```

```
    Text_SP.Text = 0
```

```
    Text_KP.Text = 0
```

```
    Text_KI.Text = 0
```

```
    Text_KD.Text = 0
```

```
    HScroll_SP.Value = 0
```

```
    HScroll_KP.Value = 0
```

```
    HScroll_KI.Value = 0
```

```
    HScroll_KD.Value = 0
```

```
    Command2.Value = True
```

```
End Sub
```

เอกสารนี้เป็นเอกสารที่สงวนไว้สำหรับการใช้งานเพื่อการศึกษาเท่านั้น ไม่อนุญาตให้นำไปใช้ประโยชน์ด้านการค้า
ไม่ว่ากรณีใดๆ ทั้งสิ้น อีกทั้งห้ามมิให้ดัดแปลงเนื้อหา และต้องอ้างอิงถึงเจ้าของเอกสารทุกครั้งที่มีการนำไปใช้

```
Private Sub HScroll_KD_Change()  
    Text_KD.Text = Str(HScroll_KD.Value)  
End Sub
```

```
Private Sub HScroll_KD_Scroll()  
    Text_KD.Text = Str(HScroll_KD.Value)  
End Sub
```

```
Private Sub HScroll_KI_Change()  
    Text_KI.Text = Str(HScroll_KI.Value)  
End Sub
```

```
Private Sub HScroll_KI_Scroll()  
    Text_KI.Text = Str(HScroll_KI.Value)  
End Sub
```

```
Private Sub HScroll_KP_Change()  
    Text_KP.Text = Str(HScroll_KP.Value)  
End Sub
```

```
Private Sub HScroll_KP_Scroll()  
    Text_KP.Text = Str(HScroll_KP.Value)  
End Sub
```

```
Private Sub HScroll_SP_Change()  
    Text_SP.Text = Str(HScroll_SP.Value)  
End Sub
```

```
Private Sub HScroll_SP_Scroll()  
    Text_SP.Text = Str(HScroll_SP.Value)  
End Sub
```

เอกสารนี้เป็นเอกสารที่สงวนไว้สำหรับการใช้งานเพื่อการศึกษาเท่านั้น ไม่อนุญาตให้นำไปใช้ประโยชน์ด้านการค้า
ไม่ว่ากรณีใดๆ ทั้งสิ้น อีกทั้งห้ามมิให้ดัดแปลงเนื้อหา และต้องอ้างอิงถึงเจ้าของเอกสารทุกครั้งที่มีการนำไปใช้

```
Private Sub HScroll1_Change()  
    Label_BRM.Caption = HScroll1.Value  
End Sub
```

```
Private Sub HScroll1_Scroll()  
    Label_BRM.Caption = HScroll1.Value  
End Sub
```

```
Private Sub MSComm1_OnComm()
```

```
    Dim c As String
```

```
    Dim b As Single
```

```
    c = MSComm1.Input
```

```
    If c = "" Then Exit Sub
```

```
    b = Hex_To_Dec(c)
```

```
    Label_SPEED.Caption = Str$(b)
```

```
End Sub
```

```
Private Sub PD_Click(Index As Integer)
```

```
    Select Case Index
```

```
        Case Is = 0
```

```
            PA(0).Value = PD(0).Value
```

```
            PA(1).Value = PD(0).Value
```

```
            PA(2).Value = PD(0).Value
```

```
        Case Is = 1
```

```
            PA(3).Value = PD(1).Value
```

```
            PA(4).Value = PD(1).Value
```

```
            PA(5).Value = PD(1).Value
```

```
        Case Is = 2
```

```
            PA(6).Value = PD(2).Value
```

```
            PA(7).Value = PD(2).Value
```

```
            PB(0).Value = PD(2).Value
```

เอกสารนี้เป็นเอกสารที่สงวนไว้สำหรับการใช้งานเพื่อการศึกษาเท่านั้น ไม่อนุญาตให้นำไปใช้ประโยชน์ด้านการค้า
ไม่ว่ากรณีใดๆ ทั้งสิ้น อีกทั้งห้ามมิให้ดัดแปลงเนื้อหา และต้องอ้างอิงถึงเจ้าของเอกสารทุกครั้งที่มีการนำไปใช้

Case Is = 3

PB(1).Value = PD(3).Value

PB(2).Value = PD(3).Value

PB(3).Value = PD(3).Value

Case Is = 4

PB(4).Value = PD(4).Value

PB(5).Value = PD(4).Value

PB(6).Value = PD(4).Value

Case Is = 5

PB(7).Value = PD(5).Value

PC(0).Value = PD(5).Value

PC(1).Value = PD(5).Value

Case Is = 6

PC(2).Value = PD(6).Value

PC(3).Value = PD(6).Value

PC(4).Value = PD(6).Value

Case Is = 7

PC(5).Value = PD(7).Value

PC(6).Value = PD(7).Value

PC(7).Value = PD(7).Value

End Select

End Sub

Private Sub Timer1_Timer()

If MSComm1.PortOpen = False Then Exit Sub

MSComm1.Output = "@1"

MSComm1.Output = Dec_To_Hex(PID(Val(Label_SPEED.Caption)))

Dim A(0 To 7) As Integer, b(0 To 7) As Integer, c(0 To 7) As Integer

For i = 0 To 7

If PA(i).Value = 1 Then

A(i) = 0

เอกสารนี้เป็นเอกสารที่สงวนไว้สำหรับการใช้งานเพื่อการศึกษาเท่านั้น ไม่อนุญาตให้นำไปใช้ประโยชน์ด้านการค้า
ไม่ว่ากรณีใดๆ ทั้งสิ้น อีกทั้งห้ามมิให้ดัดแปลงเนื้อหา และต้องอ้างอิงถึงเจ้าของเอกสารทุกครั้งที่มีการนำไปใช้

```

Else
    A(i) = 2 ^ i
End If
If PB(i).Value = 1 Then
    b(i) = 0
Else
    b(i) = 2 ^ i
End If
If PC(i).Value = 1 Then
    c(i) = 0
Else
    c(i) = 2 ^ i
End If
Next i
Dim cc1 As Integer, cc2 As Integer, cc3 As Integer
MSComm1.Output = "@3"
cc1 = A(0) + A(1) + A(2) + A(3) + A(4) + A(5) + A(6) + A(7)
cc2 = b(0) + b(1) + b(2) + b(3) + b(4) + b(5) + b(6) + b(7)
cc3 = c(0) + c(1) + c(2) + c(3) + c(4) + c(5) + c(6) + c(7)
MSComm1.Output = Dec_To_Hex(cc1)
MSComm1.Output = "@4"
MSComm1.Output = Dec_To_Hex(cc2)
MSComm1.Output = "@5"
MSComm1.Output = Dec_To_Hex(cc3)
End Sub
Private Sub Timer2_Timer()
    If MSComm1.PortOpen = False Then Exit Sub
    MSComm1.Output = "@6"
End Sub

```

เอกสารนี้เป็นเอกสารที่สงวนไว้สำหรับการใช้งานเพื่อการศึกษาเท่านั้น ไม่อนุญาตให้นำไปใช้ประโยชน์ด้านการค้า
ไม่ว่ากรณีใดๆ ทั้งสิ้น อีกทั้งห้ามมิให้ดัดแปลงเนื้อหา และต้องอ้างอิงถึงเจ้าของเอกสารทุกครั้งที่มีการนำไปใช้

BRM (BRM.bas)

Public SP As Single

Public KP As Single

Public KI As Single

Public KD As Single

Public SUMI As Single

Public ERRO As Single

Public Function Hex_To_Dec(A As String)

Dim b1 As String

Dim b2 As String

Dim b3 As String

Dim b4 As String

Dim c1 As Integer

Dim c2 As Integer

Dim c3 As Integer

Dim c4 As Integer

b1\$ = Mid\$(A\$, 3, 1)

b2\$ = Mid\$(A\$, 4, 1)

b3\$ = Mid\$(A\$, 5, 1)

b4\$ = Mid\$(A\$, 6, 1)

c1 = Asc(b1\$)

c1 = c1 - 48

c2 = Asc(b2\$)

c2 = c2 - 48

c3 = Asc(b3\$)

c3 = c3 - 48

c4 = Asc(b4\$)

c4 = c4 - 48

Hex_To_Dec = (c1 * (16 ^ 3)) + (c2 * (16 ^ 2)) + (c3 * 16) + c4

End Function

เอกสารนี้เป็นเอกสารที่สงวนไว้สำหรับการใช้งานเพื่อการศึกษาเท่านั้น ไม่อนุญาตให้นำไปใช้ประโยชน์ด้านการค้า ไม่ว่ากรณีใดๆ ทั้งสิ้น อีกทั้งห้ามมิให้ดัดแปลงเนื้อหา และต้องอ้างอิงถึงเจ้าของเอกสารทุกครั้งที่มีการนำไปใช้

Public Function Dec_To_Hex(A As Integer)

Dim b1 As Integer

Dim b2 As Integer

b1 = A \ 16

b2 = A Mod 16

Dec_To_Hex = Chr\$(b1 + 48) & Chr\$(b2 + 48)

End Function

Public Function PID(SV As Single)

Dim ERR As Single

ERR = (SP - SV) / 255

SUMI = SUMI + ERR

DV = ERR - ERRO

ERRO = ERR

op = (KP * (ERR)) + (KI * SUMI) + (KD * (DV))

op = Fix(op)

If op > 255 Then

op = 255

Elseif op < 0 Then

op = 0

Else

End If

PID = op

Frm_Close.Label_BRM = op

End Function



เอกสารนี้เป็นเอกสารที่สงวนไว้สำหรับการใช้งานเพื่อการศึกษาเท่านั้น ไม่อนุญาตให้นำไปใช้ประโยชน์ด้านการค้า
ไม่ว่ากรณีใดๆ ทั้งสิ้น อีกทั้งห้ามมิให้ดัดแปลงเนื้อหา และต้องอ้างอิงถึงเจ้าของเอกสารทุกครั้งที่มีการนำไปใช้

โปรแกรม Interface ระหว่างคอมพิวเตอร์กับไมโครคอนโทรลเลอร์

ORG 0000H

BOOT:

DELAYONSTART: DJNZ R1,\$

DJNZ R0,DELAYONSTART

LJMP MAIN

ORG 0200H

MAIN: MOV A,#0FDH ; Set baud rate 9600

MOV TH1,A

MOV TL1,A

MOV TMOD,#00100100B ; Timer1 Mode 1

CLR ES ; Disable serial interrupt

CLR ET1 ; Disable timer1 interrupt

SETB TR1 ; Set timer1 control

SETB TR0

CLR ET0

MOV SCON,#01010000B ; Serial mode 1

PA1 EQU 2000H

PB1 EQU 2001H

PC1 EQU 2002H

PCO1 EQU 2003H

PA2 EQU 4000H

PB2 EQU 4001H

PC2 EQU 4002H

PCO2 EQU 4003H

PA3 EQU 6000H

PB3 EQU 6001H

PC3 EQU 6002H

เอกสารนี้เป็นเอกสารที่สงวนไว้สำหรับการใช้งานเพื่อการศึกษาเท่านั้น ไม่อนุญาตให้นำไปใช้ประโยชน์ด้านการค้า
ไม่ว่ากรณีใดๆ ทั้งสิ้น อีกทั้งห้ามมิให้ดัดแปลงเนื้อหา และต้องอ้างอิงถึงเจ้าของเอกสารทุกครั้งที่มีการนำไปใช้

PC03 EQU 6003H

SET8255:

```
MOV DPTR,#PC01
MOV A,#90H
MOVX @DPTR,A
MOV DPTR,#PC02
MOV A,#80H
MOVX @DPTR,A
MOV DPTR,#PC03
MOVX @DPTR,A
```

START:

```
LCALL RX_BYTE
CJNE A,#@,START
LCALL RX_BYTE
CJNE A,#0',MENU1
LJMP MENU_RUN0
```

MENU1: CJNE A,#1',MENU2

```
LCALL RX_BYTE
MOV R6,A
LCALL RX_BYTE
MOV R7,A
LJMP MENU_RUN1
```

MENU2: CJNE A,#2',MENU3

```
LCALL RX_BYTE
MOV R6,A
LCALL RX_BYTE
MOV R7,A
LJMP MENU_RUN2
```

เอกสารนี้เป็นเอกสารที่สงวนไว้สำหรับการใช้งานเพื่อการศึกษาเท่านั้น ไม่อนุญาตให้นำไปใช้ประโยชน์ด้านการค้า
ไม่ว่ากรณีใดๆ ทั้งสิ้น อีกทั้งห้ามมิให้ดัดแปลงเนื้อหา และต้องอ้างอิงถึงเจ้าของเอกสารทุกครั้งที่มีการนำไปใช้

```
MENU3:    CJNE A,#3',MENU4
```

```
    LCALL RX_BYTE
```

```
    MOV R6,A
```

```
    LCALL RX_BYTE
```

```
    MOV R7,A
```

```
    LJMP MENU_RUN3
```

```
MENU4:    CJNE A,#4',MENU5
```

```
    LCALL RX_BYTE
```

```
    MOV R6,A
```

```
    LCALL RX_BYTE
```

```
    MOV R7,A
```

```
    LJMP MENU_RUN4
```

```
MENU5:    CJNE A,#5',MENU6
```

```
    LCALL RX_BYTE
```

```
    MOV R6,A
```

```
    LCALL RX_BYTE
```

```
    MOV R7,A
```

```
    LJMP MENU_RUN5
```

```
MENU6:    CJNE A,#6',EN_MENU
```

```
    LJMP MENU_RUN6
```

```
EN_MENU:  LJMP START
```

```
    LJMP START
```

```
;*****
```

```
MENU_RUN0:
```

```
    LJMP START
```

```
;*****
```

```
MENU_RUN1:  MOV DPTR,#PA2
```

```
    LCALL ASCII_TO_HEX
```

```
    MOVX @DPTR,A
```

```
    LJMP START
```

```
;*****
```

เอกสารนี้เป็นเอกสารที่สงวนไว้สำหรับการใช้งานเพื่อการศึกษาเท่านั้น ไม่อนุญาตให้นำไปใช้ประโยชน์ด้านการค้า
ไม่ว่ากรณีใดๆ ทั้งสิ้น อีกทั้งห้ามมิให้ดัดแปลงเนื้อหา และต้องอ้างอิงถึงเจ้าของเอกสารทุกครั้งที่มีการนำไปใช้

```

MENU_RUN2:
    MOV DPTR,#PB2
    LCALL ASCII_TO_HEX
    MOVX @DPTR,A
    LJMP START

```

```

MENU_RUN3:
    MOV DPTR,#PA3
    LCALL ASCII_TO_HEX
    MOVX @DPTR,A
    LJMP START

```

```

MENU_RUN4:
    MOV DPTR,#PB3
    LCALL ASCII_TO_HEX
    MOVX @DPTR,A
    LJMP START

```

```

MENU_RUN5:
    MOV DPTR,#PC3
    LCALL ASCII_TO_HEX
    MOVX @DPTR,A
    LJMP START

```

```

MENU_RUN6:
    MOV R5,#0E8H
    MOV TH0,#00H
    MOV TL0,#00H
LOOP_SEN: MOV R4,#03BH
    DJNZ R4,$
    DJNZ R5,LOOP_SEN

```

```
MOV 20H,TL0
```

เอกสารนี้เป็นเอกสารที่สงวนไว้สำหรับการใช้งานเพื่อการศึกษาเท่านั้น ไม่อนุญาตให้นำไปใช้ประโยชน์ด้านการค้า
ไม่ว่ากรณีใดๆ ทั้งสิ้น อีกทั้งห้ามมิให้ดัดแปลงเนื้อหา และต้องอ้างอิงถึงเจ้าของเอกสารทุกครั้งที่มีการนำไปใช้

```

MOV 21H,TH0
LCALL SEND_SPEED
LJMP START

```

```

;*****;

```

```

; SEND SPEED TO PC

```

```

; INPUT = 20H

```

```

; OUTPUT = SERIAL PORT

```

```

;*****;

```

```

SEND_SPEED:

```

```

MOV A,#'@'

```

```

LCALL TX_BYTE

```

```

MOV A,#'0'

```

```

LCALL TX_BYTE

```

```

MOV A,21H

```

```

LCALL HEX_TO_ASCII

```

```

MOV A,R6

```

```

LCALL TX_BYTE

```

```

MOV A,R7

```

```

LCALL TX_BYTE

```

```

MOV A,20H

```

```

LCALL HEX_TO_ASCII

```

```

MOV A,R6

```

```

LCALL TX_BYTE

```

```

MOV A,R7

```

```

LCALL TX_BYTE

```

```

MOV A,#'*'

```

```

LCALL TX_BYTE

```

```

RET

```



เอกสารนี้เป็นเอกสารที่สงวนไว้สำหรับการใช้งานเพื่อการศึกษาเท่านั้น ไม่อนุญาตให้นำไปใช้ประโยชน์ด้านการค้า ไม่ว่ากรณีใดๆ ทั้งสิ้น อีกทั้งห้ามมิให้ดัดแปลงเนื้อหา และต้องอ้างอิงถึงเจ้าของเอกสารทุกครั้งที่มีการนำไปใช้

```

;*****
;
; HEX TO ASCII
; INPUT = ACC
; OUTPUT = R6,R7
;*****

```

HEX_TO_ASCII:

```

MOV R7,A
SWAP A
ANL A,#0FH
ORL A,#30H
MOV R6,A
MOV A,R7
ANL A,#0FH
ORL A,#30H
MOV R7,A
RET

```

```

;*****
; ASCII TO HEX
; INPUT = R6,R7
; OUTPUT = A
;*****

```

ASCII_TO_HEX:

```

MOV A,R7
ANL A,#0FH
MOV R7,A
MOV A,R6
ANL A,#0FH
SWAP A
ORL A,R7
RET

```

เอกสารนี้เป็นเอกสารที่สงวนไว้สำหรับการใช้งานเพื่อการศึกษาเท่านั้น ไม่อนุญาตให้นำไปใช้ประโยชน์ด้านการค้า
ไม่ว่ากรณีใดๆ ทั้งสิ้น อีกทั้งห้ามมิให้ดัดแปลงเนื้อหา และต้องอ้างอิงถึงเจ้าของเอกสารทุกครั้งที่มีการนำไปใช้

```

;*****;
;   DELAY           ;
;*****;

DELAY:   PUSH 00

         PUSH 01

         MOV  R1,#0FH

LOOPDE:  MOV  R0,#08H

         DJNZ R0,$

         DJNZ R1,LOOPDE

         POP  01

         POP  00

         RET

;*****;
;* Send 1-Byte to RS-232 *
;* Input  : ACC     *
;* Output : Serial port *
;*****;
;
TX_BYTE: PUSH IE

         CLR  TI

         MOV  SBUF,A

         JNB TI,$

         CLR  TI

         POP  IE

         RET

```



เอกสารนี้เป็นเอกสารที่สงวนไว้สำหรับการใช้งานเพื่อการศึกษาเท่านั้น ไม่อนุญาตให้นำไปใช้ประโยชน์ด้านการค้า
ไม่ว่ากรณีใดๆ ทั้งสิ้น อีกทั้งห้ามมิให้ดัดแปลงเนื้อหา และต้องอ้างอิงถึงเจ้าของเอกสารทุกครั้งที่มีการนำไปใช้

```

;*****
;* Receive Data From RS-232 *
;* Input : Serial Port *
;* Output : ACC *
;*****
;
RX_BYTE: PUSH IE
        JNB RI,$      ; Wait data
        CLR RI
        MOV A,SBUF
        POP IE
        RET
        END

```



เอกสารนี้เป็นเอกสารที่สงวนไว้สำหรับการใช้งานเพื่อการศึกษาเท่านั้น ไม่อนุญาตให้นำไปใช้ประโยชน์ด้านการค้า
ไม่ว่ากรณีใดๆ ทั้งสิ้น อีกทั้งห้ามมิให้ดัดแปลงเนื้อหา และต้องอ้างอิงถึงเจ้าของเอกสารทุกครั้งที่มีการนำไปใช้

โปรแกรมผลิตสัญญาณควบคุมใน MCS 51

```
ORG 0000H

BOOT:
DELAYONSTART: DJNZ R1,$
               DJNZ R0,DELAYONSTART
               LJMP START
               ORG 0200H

START:        MOV R0,P0
               MOV DPTR,#BRMTABLE
               MOV R1,#00H

LOOPBRM:     MOV A,R1
               MOVC A,@A+DPTR
               ANL A,R0
               JZ NP
               MOV P1,#00H
               LJMP EP

NP:          MOV P1,#01H
EP:          LCALL DELAY
               DJNZ R1,LOOPBRM
               LJMP START

DELAY:       MOV R5,#0E8H

LOOPDELAY:   MOV R4,#03BH
               DJNZ R4,$
               DJNZ R5,LOOPDELAY

RET
```

เอกสารนี้เป็นเอกสารที่สงวนไว้สำหรับการใช้งานเพื่อการศึกษาเท่านั้น ไม่อนุญาตให้นำไปใช้ประโยชน์ด้านการค้า
ไม่ว่ากรณีใดๆ ทั้งสิ้น อีกทั้งห้ามมิให้ดัดแปลงเนื้อหา และต้องอ้างอิงถึงเจ้าของเอกสารทุกครั้งที่มีการนำไปใช้

BRMTABLE:

DB 80H,40H,80H,20H,80H,40H,80H,10H
DB 80H,40H,80H,20H,80H,40H,80H,08H
DB 80H,40H,80H,20H,80H,40H,80H,10H
DB 80H,40H,80H,20H,80H,40H,80H,04H
DB 80H,40H,80H,20H,80H,40H,80H,10H
DB 80H,40H,80H,20H,80H,40H,80H,08H
DB 80H,40H,80H,20H,80H,40H,80H,10H
DB 80H,40H,80H,20H,80H,40H,80H,02H
DB 80H,40H,80H,20H,80H,40H,80H,10H
DB 80H,40H,80H,20H,80H,40H,80H,08H
DB 80H,40H,80H,20H,80H,40H,80H,10H
DB 80H,40H,80H,20H,80H,40H,80H,04H
DB 80H,40H,80H,20H,80H,40H,80H,10H
DB 80H,40H,80H,20H,80H,40H,80H,08H
DB 80H,40H,80H,20H,80H,40H,80H,10H
DB 80H,40H,80H,20H,80H,40H,80H,01H
DB 80H,40H,80H,20H,80H,40H,80H,10H
DB 80H,40H,80H,20H,80H,40H,80H,08H
DB 80H,40H,80H,20H,80H,40H,80H,10H
DB 80H,40H,80H,20H,80H,40H,80H,04H
DB 80H,40H,80H,20H,80H,40H,80H,10H
DB 80H,40H,80H,20H,80H,40H,80H,08H
DB 80H,40H,80H,20H,80H,40H,80H,10H
DB 80H,40H,80H,20H,80H,40H,80H,04H
DB 80H,40H,80H,20H,80H,40H,80H,10H

DB 80H,40H,80H,20H,80H,40H,80H,08H

เอกสารนี้เป็นเอกสารที่สงวนไว้สำหรับการใช้งานเพื่อการศึกษาเท่านั้น ไม่อนุญาตให้นำไปใช้ประโยชน์ด้านการค้า
ไม่ว่ากรณีใดๆ ทั้งสิ้น อีกทั้งห้ามมิให้ตัดแปลงเนื้อหา และต้องอ้างอิงถึงเจ้าของเอกสารทุกครั้งที่มีการนำไปใช้

DB 80H,40H,80H,20H,80H,40H,80H,10H

DB 80H,40H,80H,20H,80H,40H,80H,00H

END



เอกสารนี้เป็นเอกสารที่สงวนไว้สำหรับการใช้งานเพื่อการศึกษาเท่านั้น ไม่อนุญาตให้นำไปใช้ประโยชน์ด้านการค้า
ไม่ว่ากรณีใดๆ ทั้งสิ้น อีกทั้งห้ามมิให้ดัดแปลงเนื้อหา และต้องอ้างอิงถึงเจ้าของเอกสารทุกครั้งที่มีการนำไปใช้

Features

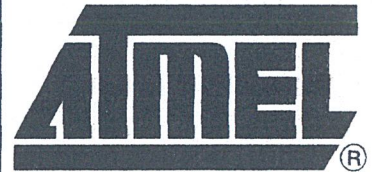
- Compatible with MCS-51™ Products
- 8K Bytes of In-System Reprogrammable Downloadable Flash Memory
 - SPI Serial Interface for Program Downloading
 - Endurance: 1,000 Write/Erase Cycles
- 2K Bytes EEPROM
 - Endurance: 100,000 Write/Erase Cycles
- 4V to 6V Operating Range
- Fully Static Operation: 0 Hz to 24 MHz
- Three-level Program Memory Lock
- 256 x 8-bit Internal RAM
- 32 Programmable I/O Lines
- Three 16-bit Timer/Counters
- Nine Interrupt Sources
- Programmable UART Serial Channel
- SPI Serial Interface
- Low-power Idle and Power-down Modes
- Interrupt Recovery From Power-down
- Programmable Watchdog Timer
- Dual Data Pointer
- Power-off Flag

Description

The AT89S8252 is a low-power, high-performance CMOS 8-bit microcomputer with 8K bytes of downloadable Flash programmable and erasable read only memory and 2K bytes of EEPROM. The device is manufactured using Atmel's high-density nonvolatile memory technology and is compatible with the industry-standard 80C51 instruction set and pinout. The on-chip downloadable Flash allows the program memory to be reprogrammed in-system through an SPI serial interface or by a conventional nonvolatile memory programmer. By combining a versatile 8-bit CPU with downloadable Flash on a monolithic chip, the Atmel AT89S8252 is a powerful microcomputer which provides a highly-flexible and cost-effective solution to many embedded control applications.

The AT89S8252 provides the following standard features: 8K bytes of downloadable Flash, 2K bytes of EEPROM, 256 bytes of RAM, 32 I/O lines, programmable watchdog timer, two data pointers, three 16-bit timer/counters, a six-vector two-level interrupt architecture, a full duplex serial port, on-chip oscillator, and clock circuitry. In addition, the AT89S8252 is designed with static logic for operation down to zero frequency and supports two software selectable power saving modes. The Idle Mode stops the CPU while allowing the RAM, timer/counters, serial port, and interrupt system to continue functioning. The Power-down mode saves the RAM contents but freezes the oscillator, disabling all other chip functions until the next interrupt or hardware reset.

The downloadable Flash can be changed a single byte at a time and is accessible through the SPI serial interface. Holding RESET active forces the SPI bus into a serial programming interface and allows the program memory to be written to or read from unless Lock Bit 2 has been activated.



8-bit Microcontroller with 8K Bytes Flash

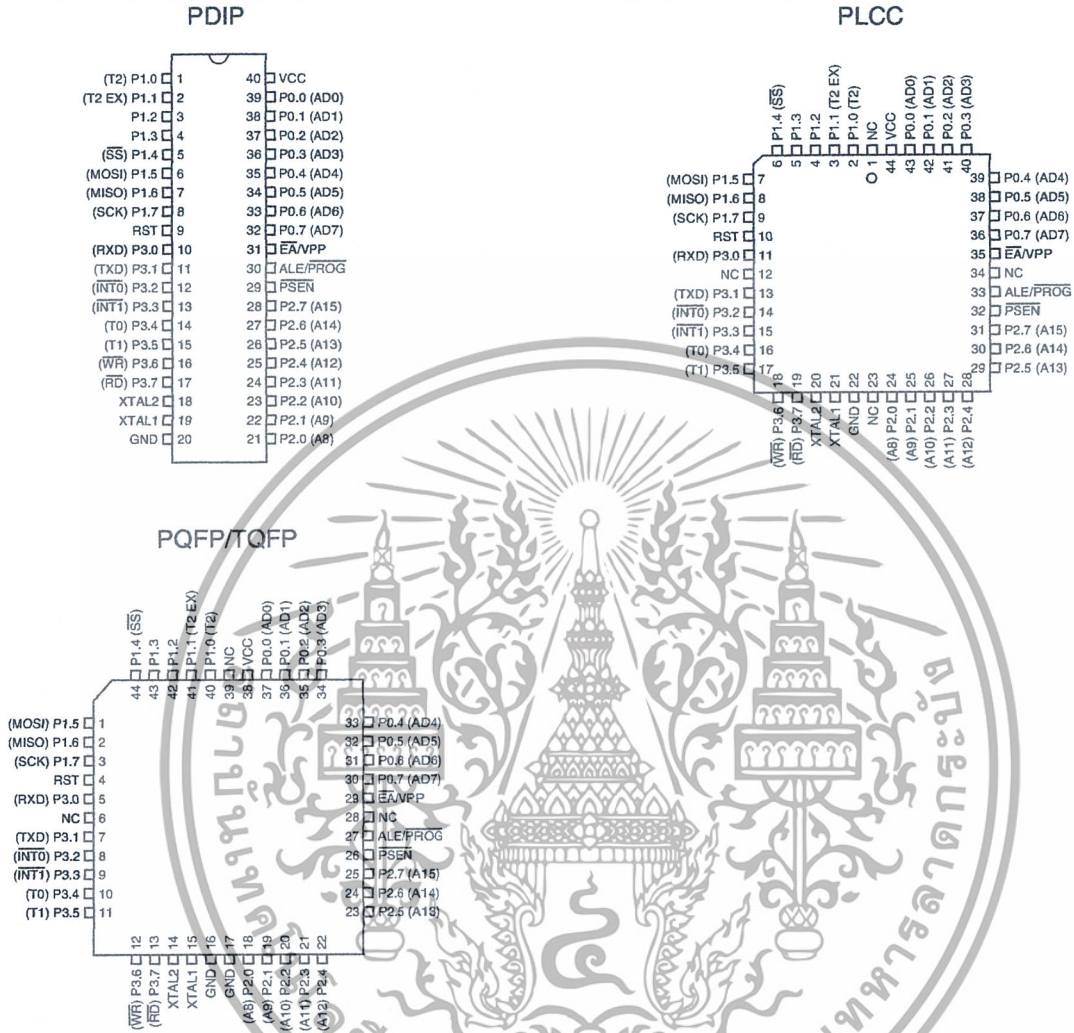
AT89S8252

Rev. 0401E-02/00



เอกสารนี้เป็นเอกสารที่สงวนไว้สำหรับการใช้งานเพื่อการศึกษาเท่านั้น ไม่อนุญาตให้นำไปใช้ประโยชน์ด้านการค้า
ไม่ว่ากรณีใดๆ ทั้งสิ้น อีกทั้งห้ามมิให้ดัดแปลงเนื้อหา และต้องอ้างอิงถึงเจ้าของเอกสารทุกครั้งที่มีการนำไปใช้

Pin Configurations



Pin Description

VCC

Supply voltage.

GND

Ground.

Port 0

Port 0 is an 8-bit open drain bi-directional I/O port. As an output port, each pin can sink eight TTL inputs. When 1s are written to port 0 pins, the pins can be used as high-impedance inputs.

Port 0 can also be configured to be the multiplexed low-order address/data bus during accesses to external

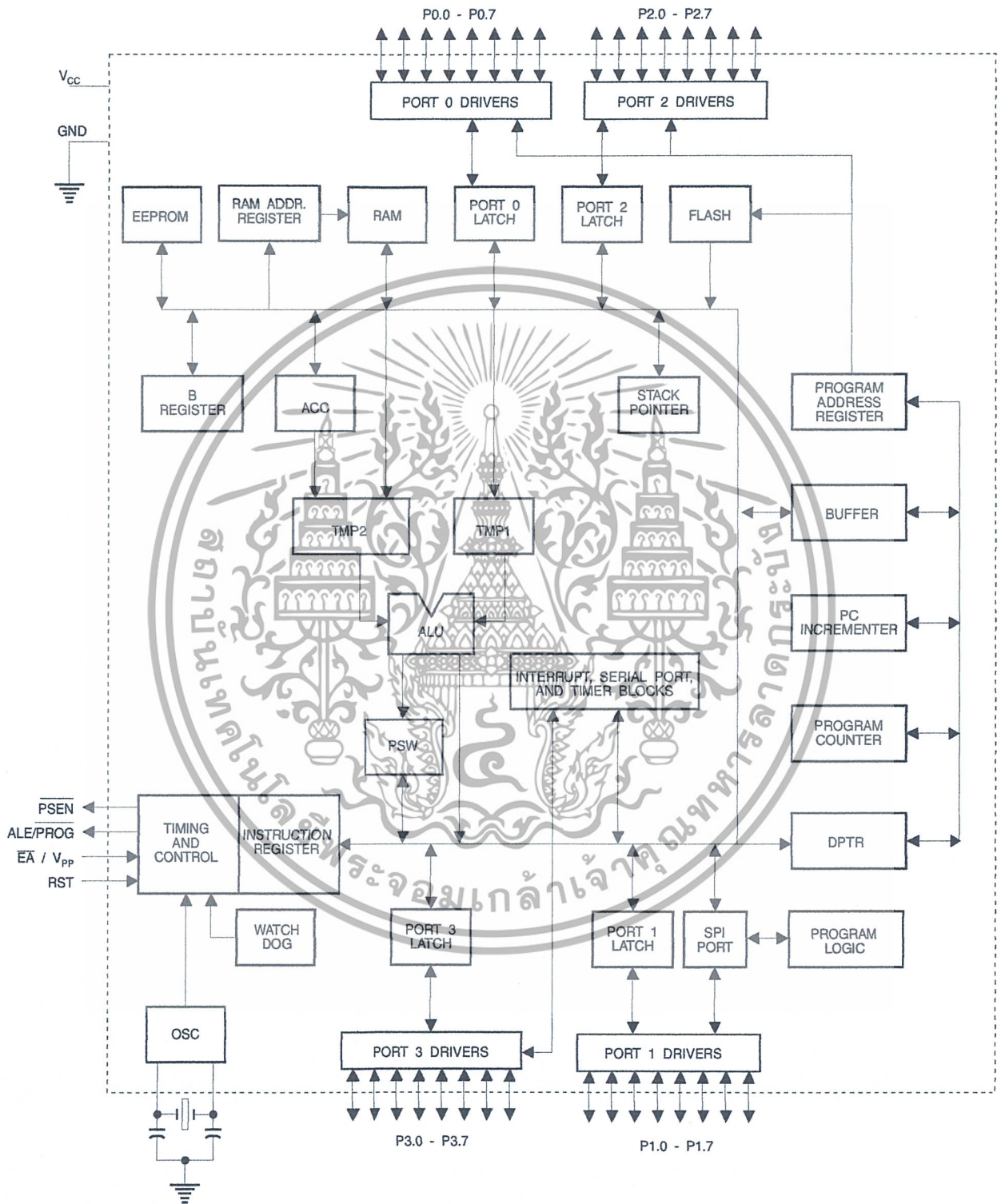
program and data memory. In this mode, P0 has internal pullups.

Port 0 also receives the code bytes during Flash programming and outputs the code bytes during program verification. External pullups are required during program verification.

Port 1

Port 1 is an 8-bit bi-directional I/O port with internal pullups. The Port 1 output buffers can sink/source four TTL inputs. When 1s are written to Port 1 pins, they are pulled high by the internal pullups and can be used as inputs. As inputs, Port 1 pins that are externally being pulled low will source current (I_{IL}) because of the internal pullups.

Block Diagram



เอกสารนี้เป็นเอกสารที่สงวนไว้สำหรับการใช้งานเพื่อการศึกษาเท่านั้น ไม่อนุญาตให้นำไปใช้ประโยชน์ด้านการค้า
ไม่ว่ากรณีใดๆ ทั้งสิ้น อีกทั้งห้ามมิให้ดัดแปลงเนื้อหา และต้องอ้างอิงถึงเจ้าของเอกสารทุกครั้งที่มีการนำไปใช้

Some Port 1 pins provide additional functions. P1.0 and P1.1 can be configured to be the timer/counter 2 external count input (P1.0/T2) and the timer/counter 2 trigger input (P1.1/T2EX), respectively.

Pin Description

Furthermore, P1.4, P1.5, P1.6, and P1.7 can be configured as the SPI slave port select, data input/output and shift clock input/output pins as shown in the following table.

Port Pin	Alternate Functions
P1.0	T2 (external count input to Timer/Counter 2), clock-out
P1.1	T2EX (Timer/Counter 2 capture/reload trigger and direction control)
P1.4	\overline{SS} (Slave port select input)
P1.5	MOSI (Master data output, slave data input pin for SPI channel)
P1.6	MISO (Master data input, slave data output pin for SPI channel)
P1.7	SCK (Master clock output, slave clock input pin for SPI channel)

Port 1 also receives the low-order address bytes during Flash programming and verification.

Port 2

Port 2 is an 8-bit bi-directional I/O port with internal pullups. The Port 2 output buffers can sink/source four TTL inputs. When 1s are written to Port 2 pins, they are pulled high by the internal pullups and can be used as inputs. As inputs, Port 2 pins that are externally being pulled low will source current (I_{IL}) because of the internal pullups.

Port 2 emits the high-order address byte during fetches from external program memory and during accesses to external data memory that use 16-bit addresses (MOVX @ DPTR). In this application, Port 2 uses strong internal pullups when emitting 1s. During accesses to external data memory that use 8-bit addresses (MOVX @ RI), Port 2 emits the contents of the P2 Special Function Register.

Port 2 also receives the high-order address bits and some control signals during Flash programming and verification.

Port 3

Port 3 is an 8 bit bi-directional I/O port with internal pullups. The Port 3 output buffers can sink/source four TTL inputs. When 1s are written to Port 3 pins, they are pulled high by the internal pullups and can be used as inputs. As inputs,

Port 3 pins that are externally being pulled low will source current (I_{IL}) because of the pullups.

Port 3 also serves the functions of various special features of the AT89S8252, as shown in the following table.

Port 3 also receives some control signals for Flash programming and verification.

Port Pin	Alternate Functions
P3.0	RXD (serial input port)
P3.1	TXD (serial output port)
P3.2	$\overline{INT0}$ (external interrupt 0)
P3.3	$\overline{INT1}$ (external interrupt 1)
P3.4	T0 (timer 0 external input)
P3.5	T1 (timer 1 external input)
P3.6	\overline{WR} (external data memory write strobe)
P3.7	\overline{RD} (external data memory read strobe)

RST

Reset input. A high on this pin for two machine cycles while the oscillator is running resets the device.

ALE/PROG

Address Latch Enable is an output pulse for latching the low byte of the address during accesses to external memory. This pin is also the program pulse input (\overline{PROG}) during Flash programming.

In normal operation, ALE is emitted at a constant rate of 1/6 the oscillator frequency and may be used for external timing or clocking purposes. Note, however, that one ALE pulse is skipped during each access to external data memory.

If desired, ALE operation can be disabled by setting bit 0 of SFR location 8EH. With the bit set, ALE is active only during a MOVX or MOVC instruction. Otherwise, the pin is weakly pulled high. Setting the ALE-disable bit has no effect if the microcontroller is in external execution mode.

PSEN

Program Store Enable is the read strobe to external program memory.

When the AT89S8252 is executing code from external program memory, \overline{PSEN} is activated twice each machine cycle, except that two \overline{PSEN} activations are skipped during each access to external data memory.

\overline{EA}/VPP

External Access Enable. \overline{EA} must be strapped to GND in order to enable the device to fetch code from external pro-

gram memory locations starting at 0000H up to FFFFH. Note, however, that if lock bit 1 is programmed, \overline{EA} will be internally latched on reset.

\overline{EA} should be strapped to V_{CC} for internal program executions. This pin also receives the 12-volt programming enable voltage (V_{PP}) during Flash programming when 12-volt programming is selected.

XTAL1

Input to the inverting oscillator amplifier and input to the internal clock operating circuit.

XTAL2

Output from the inverting oscillator amplifier.

Table 1. AT89S8252 SFR Map and Reset Values

0F8H									0FFH
0F0H	B 00000000								0F7H
0E8H									0EFH
0E0H	ACC 00000000								0E7H
0D8H									0DFH
0D0H	PSW 00000000					SPCR 000001XX			0D7H
0C8H	T2CON 00000000	T2MOD XXXXXX00	RCAP2L 00000000	RCAP2H 00000000	TL2 00000000	TH2 00000000			0CFH
0C0H									0C7H
0B8H	IP XX000000								0BFH
0B0H	P3 11111111								0B7H
0A8H	IE 0X000000		SPSR 00XXXXXX						0AFH
0A0H	P2 11111111								0A7H
98H	SCON 00000000	SBUF XXXXXXXX							9FH
90H	P1 11111111						WMCON 00000010		97H
88H	TCON 00000000	TMOD 00000000	TL0 00000000	TL1 00000000	TH0 00000000	TH1 00000000			8FH
80H	P0 11111111	SP 00000111	DP0L 00000000	DP0H 00000000	DP1L 00000000	DP1H 00000000	SPDR XXXXXXXX	PCON 0XXX0000	87H





Special Function Registers

A map of the on-chip memory area called the Special Function Register (SFR) space is shown in Table 1.

Note that not all of the addresses are occupied, and unoccupied addresses may not be implemented on the chip. Read accesses to these addresses will in general return random data, and write accesses will have an indeterminate effect.

User software should not write 1s to these unlisted

locations, since they may be used in future products to invoke new features. In that case, the reset or inactive values of the new bits will always be 0.

Timer 2 Registers Control and status bits are contained in registers T2CON (shown in Table 2) and T2MOD (shown in Table 9) for Timer 2. The register pair (RCAP2H, RCAP2L) are the Capture/Reload registers for Timer 2 in 16 bit capture mode or 16-bit auto-reload mode.

Table 2. T2CON—Timer/Counter 2 Control Register

T2CON Address = 0C8H		Reset Value = 0000 000B						
Bit Addressable								
	TF2	EXF2	RCLK	TCLK	EXEN2	TR2	C/T2	CP/RL2
Bit	7	6	5	4	3	2	1	0
Symbol	Function							
TF2	Timer 2 overflow flag set by a Timer 2 overflow and must be cleared by software. TF2 will not be set when either RCLK = 1 or TCLK = 1.							
EXF2	Timer 2 external flag set when either a capture or reload is caused by a negative transition on T2EX and EXEN2 = 1. When Timer 2 interrupt is enabled, EXF2 = 1 will cause the CPU to vector to the Timer 2 interrupt routine. EXF2 must be cleared by software. EXF2 does not cause an interrupt in up/down counter mode (DCEN = 1).							
RCLK	Receive clock enable. When set, causes the serial port to use Timer 2 overflow pulses for its receive clock in serial port Modes 1 and 3. RCLK = 0 causes Timer 1 overflows to be used for the receive clock.							
TCLK	Transmit clock enable. When set, causes the serial port to use Timer 2 overflow pulses for its transmit clock in serial port Modes 1 and 3. TCLK = 0 causes Timer 1 overflows to be used for the transmit clock.							
EXEN2	Timer 2 external enable. When set, allows a capture or reload to occur as a result of a negative transition on T2EX if Timer 2 is not being used to clock the serial port. EXEN2 = 0 causes Timer 2 to ignore events at T2EX.							
TR2	Start/Stop control for Timer 2. TR2 = 1 starts the timer.							
C/T2	Timer or counter select for Timer 2. C/T2 = 0 for timer function. C/T2 = 1 for external event counter (falling edge triggered).							
CP/RL2	Capture/Reload select. CP/RL2 = 1 causes captures to occur on negative transitions at T2EX if EXEN2 = 1. CP/RL2 = 0 causes automatic reloads to occur when Timer 2 overflows or negative transitions occur at T2EX when EXEN2 = 1. When either RCLK or TCLK = 1, this bit is ignored and the timer is forced to auto-reload on Timer 2 overflow.							

Watchdog and Memory Control Register The WMCON register contains control bits for the Watchdog Timer (shown in Table 3). The EEMEN and EEMWE bits are used

to select the 2K bytes on-chip EEPROM, and to enable byte-write. The DPS bit selects one of two DPTR registers available.

Table 3. WMCON—Watchdog and Memory Control Register

WMCON Address = 96H					Reset Value = 0000 0010B			
	PS2	PS1	PS0	EEMWE	EEMEN	DPS	WDTRST	WDTEN
Bit	7	6	5	4	3	2	1	0

Symbol	Function
PS2 PS1 PS0	Prescaler Bits for the Watchdog Timer. When all three bits are set to "0", the watchdog timer has a nominal period of 16 ms. When all three bits are set to "1", the nominal period is 2048 ms.
EEMWE	EEPROM Data Memory Write Enable Bit. Set this bit to "1" before initiating byte write to on-chip EEPROM with the MOVX instruction. User software should set this bit to "0" after EEPROM write is completed.
EEMEN	Internal EEPROM Access Enable. When EEMEN = 1, the MOVX instruction with DPTR will access on-chip EEPROM instead of external data memory. When EEMEN = 0, MOVX with DPTR accesses external data memory.
DPS	Data Pointer Register Select. DPS = 0 selects the first bank of Data Pointer Register, DP0, and DPS = 1 selects the second bank, DP1
WDTRST RDY/BSY	Watchdog Timer Reset and EEPROM Ready/Busy Flag. Each time this bit is set to "1" by user software, a pulse is generated to reset the watchdog timer. The WDTRST bit is then automatically reset to "0" in the next instruction cycle. The WDTRST bit is Write-Only. This bit also serves as the RDY/BSY flag in a Read-Only mode during EEPROM write. RDY/BSY = 1 means that the EEPROM is ready to be programmed. While programming operations are being executed, the RDY/BSY bit equals "0" and is automatically reset to "1" when programming is completed.
WDTEN	Watchdog Timer Enable Bit. WDTEN = 1 enables the watchdog timer and WDTEN = 0 disables the watchdog timer.

SPI Registers Control and status bits for the Serial Peripheral Interface are contained in registers SPCR (shown in Table 4) and SPSR (shown in Table 5). The SPI data bits are contained in the SPDR register. Writing the SPI data register during serial data transfer sets the Write Collision bit, WCOL, in the SPSR register. The SPDR is double buffered for writing and the values in SPDR are not changed by Reset.

Interrupt Registers The global interrupt enable bit and the individual interrupt enable bits are in the IE register. In addition, the individual interrupt enable bit for the SPI is in the SPCR register. Two priorities can be set for each of the six interrupt sources in the IP register.

Dual Data Pointer Registers To facilitate accessing both internal EEPROM and external data memory, two banks of 16 bit Data Pointer Registers are provided: DP0 at SFR address locations 82H-83H and DP1 at 84H-85H. Bit DPS = 0 in SFR WMCON selects DP0 and DPS = 1 selects DP1. The user should always initialize the DPS bit to the appropriate value before accessing the respective Data Pointer Register.

Power Off Flag The Power Off Flag (POF) is located at bit 4 (PCON.4) in the PCON SFR. POF is set to "1" during power up. It can be set and reset under software control and is not affected by RESET.



Table 4. SPCR—SPI Control Register

SPCR Address = D5H								Reset Value = 0000 01XXB	
	SPIE	SPE	DORD	MSTR	CPOL	CPHA	SPR1	SPR0	
Bit	7	6	5	4	3	2	1	0	

Symbol	Function								
SPIE	SPI Interrupt Enable. This bit, in conjunction with the ES bit in the IE register, enables SPI interrupts: SPIE = 1 and ES = 1 enable SPI interrupts. SPIE = 0 disables SPI interrupts.								
SPE	SPI Enable. SPI = 1 enables the SPI channel and connects \overline{SS} , MOSI, MISO and SCK to pins P1.4, P1.5, P1.6, and P1.7. SPI = 0 disables the SPI channel.								
DORD	Data Order. DORD = 1 selects LSB first data transmission. DORD = 0 selects MSB first data transmission.								
MSTR	Master/Slave Select. MSTR = 1 selects Master SPI mode. MSTR = 0 selects Slave SPI mode.								
CPOL	Clock Polarity. When CPOL = 1, SCK is high when idle. When CPOL = 0, SCK of the master device is low when not transmitting. Please refer to figure on SPI Clock Phase and Polarity Control.								
CPHA	Clock Phase. The CPHA bit together with the CPOL bit controls the clock and data relationship between master and slave. Please refer to figure on SPI Clock Phase and Polarity Control.								
SPR0 SPR1	SPI Clock Rate Select. These two bits control the SCK rate of the device configured as master. SPR1 and SPR0 have no effect on the slave. The relationship between SCK and the oscillator frequency, F_{OSC} , is as follows: $SPR1SPR0 \text{ SCK} = F_{OSC} \text{ divided by}$ <table border="1" style="margin-left: 20px;"> <tr><td>0 0</td><td>4</td></tr> <tr><td>0 1</td><td>16</td></tr> <tr><td>1 0</td><td>64</td></tr> <tr><td>1 1</td><td>128</td></tr> </table>	0 0	4	0 1	16	1 0	64	1 1	128
0 0	4								
0 1	16								
1 0	64								
1 1	128								

Table 5. SPSR – SPI Status Register

SPSR Address = AAH								Reset Value = 00XX XXXXB	
	SPIF	WCOL	—	—	—	—	—	—	
Bit	7	6	5	4	3	2	1	0	

Symbol	Function
SPIF	SPI Interrupt Flag. When a serial transfer is complete, the SPIF bit is set and an interrupt is generated if SPIE = 1 and ES = 1. The SPIF bit is cleared by reading the SPI status register with SPIF and WCOL bits set, and then accessing the SPI data register.
WCOL	Write Collision Flag. The WCOL bit is set if the SPI data register is written during a data transfer. During data transfer, the result of reading the SPDR register may be incorrect, and writing to it has no effect. The WCOL bit (and the SPIF bit) are cleared by reading the SPI status register with SPIF and WCOL set, and then accessing the SPI data register.

Table 6. SPDR – SPI Data Register

SPDR Address = 86H								Reset Value = unchanged	
	SPD7	SPD6	SPD5	SPD4	SPD3	SPD2	SPD1	SPD0	
Bit	7	6	5	4	3	2	1	0	

Data Memory – EEPROM and RAM

The AT89S8252 implements 2K bytes of on-chip EEPROM for data storage and 256 bytes of RAM. The upper 128 bytes of RAM occupy a parallel space to the Special Function Registers. That means the upper 128 bytes have the same addresses as the SFR space but are physically separate from SFR space.

When an instruction accesses an internal location above address 7FH, the address mode used in the instruction specifies whether the CPU accesses the upper 128 bytes of RAM or the SFR space. Instructions that use direct addressing access SFR space.

For example, the following direct addressing instruction accesses the SFR at location 0A0H (which is P2).

```
MOV 0A0H, #data
```

Instructions that use indirect addressing access the upper 128 bytes of RAM. For example, the following indirect addressing instruction, where R0 contains 0A0H, accesses the data byte at address 0A0H, rather than P2 (whose address is 0A0H).

```
MOV @R0, #data
```

Note that stack operations are examples of indirect addressing, so the upper 128 bytes of data RAM are available as stack space.

The on-chip EEPROM data memory is selected by setting the EEMEN bit in the WMCON register at SFR address location 96H. The EEPROM address range is from 000H to 7FFH. The MOVX instructions are used to access the EEPROM. To access off-chip data memory with the MOVX instructions, the EEMEN bit needs to be set to "0".

The EEMWE bit in the WMCON register needs to be set to "1" before any byte location in the EEPROM can be written. User software should reset EEMWE bit to "0" if no further EEPROM write is required. EEPROM write cycles in the serial programming mode are self-timed and typically take 2.5 ms. The progress of EEPROM write can be monitored by reading the RDY/BSY bit (read-only) in SFR WMCON. RDY/BSY = 0 means programming is still in progress and RDY/BSY = 1 means EEPROM write cycle is completed and another write cycle can be initiated.

In addition, during EEPROM programming, an attempted read from the EEPROM will fetch the byte being written with the MSB complemented. Once the write cycle is completed, true data are valid at all bit locations.

Programmable Watchdog Timer

The programmable Watchdog Timer (WDT) operates from an independent oscillator. The prescaler bits, PS0, PS1 and PS2 in SFR WMCON are used to set the period of the Watchdog Timer from 16 ms to 2048 ms. The available timer periods are shown in the following table and the

actual timer periods (at V_{CC} = 5V) are within ±30% of the nominal.

The WDT is disabled by Power-on Reset and during Power-down. It is enabled by setting the WDTEN bit in SFR WMCON (address = 96H). The WDT is reset by setting the WDTRST bit in WMCON. When the WDT times out without being reset or disabled, an internal RST pulse is generated to reset the CPU.

Table 7. Watchdog Timer Period Selection

WDT Prescaler Bits			Period (nominal)
PS2	PS1	PS0	
0	0	0	16 ms
0	0	1	32 ms
0	1	0	64 ms
0	1	1	128 ms
1	0	0	256 ms
1	0	1	512 ms
1	1	0	1024 ms
1	1	1	2048 ms

Timer 0 and 1

Timer 0 and Timer 1 in the AT89S8252 operate the same way as Timer 0 and Timer 1 in the AT89C51, AT89C52 and AT89C55. For further information, see the October 1995 Microcontroller Data Book, page 2-45, section titled, "Timer/Counters."

Timer 2

Timer 2 is a 16 bit Timer/Counter that can operate as either a timer or an event counter. The type of operation is selected by bit C/T2 in the SFR T2CON (shown in Table 2). Timer 2 has three operating modes: capture, auto-reload (up or down counting), and baud rate generator. The modes are selected by bits in T2CON, as shown in Table 8.

Timer 2 consists of two 8-bit registers, TH2 and TL2. In the Timer function, the TL2 register is incremented every machine cycle. Since a machine cycle consists of 12 oscillator periods, the count rate is 1/12 of the oscillator frequency.

In the Counter function, the register is incremented in response to a 1-to-0 transition at its corresponding external input pin, T2. In this function, the external input is sampled during S5P2 of every machine cycle. When the samples show a high in one cycle and a low in the next cycle, the count is incremented. The new count value appears in the register during S3P1 of the cycle following the one in which



the transition was detected. Since two machine cycles (24 oscillator periods) are required to recognize a 1-to-0 transition, the maximum count rate is 1/24 of the oscillator frequency. To ensure that a given level is sampled at least once before it changes, the level should be held for at least one full machine cycle.

Table 8. Timer 2 Operating Modes

RCLK + TCLK	CP/RL2	TR2	MODE
0	0	1	16-bit Auto-reload
0	1	1	16-bit Capture
1	X	1	Baud Rate Generator
X	X	0	(Off)

Capture Mode

In the capture mode, two options are selected by bit EXEN2 in T2CON. If EXEN2 = 0, Timer 2 is a 16 bit timer or counter which upon overflow sets bit TF2 in T2CON. This bit can then be used to generate an interrupt. If EXEN2 = 1, Timer 2 performs the same operation, but a 1-to-0 transition at external input T2EX also causes the current value in TH2 and TL2 to be captured into RCAP2H and RCAP2L, respectively. In addition, the transition at T2EX causes bit EXF2 in T2CON to be set. The EXF2 bit, like TF2, can generate an interrupt. The capture mode is illustrated in Figure 1.

Figure 1. Timer 2 in Capture Mode



Auto-reload (Up or Down Counter)

Timer 2 can be programmed to count up or down when configured in its 16 bit auto-reload mode. This feature is invoked by the DCEN (Down Counter Enable) bit located in the SFR T2MOD (see Table 9). Upon reset, the DCEN bit is set to 0 so that timer 2 will default to count up. When DCEN is set, Timer 2 can count up or down, depending on the value of the T2EX pin.

Figure 2 shows Timer 2 automatically counting up when DCEN = 0. In this mode, two options are selected by bit EXEN2 in T2CON. If EXEN2 = 0, Timer 2 counts up to 0FFFFH and then sets the TF2 bit upon overflow. The overflow also causes the timer registers to be reloaded with the 16 bit value in RCAP2H and RCAP2L. The values in RCAP2H and RCAP2L are preset by software. If EXEN2 = 1, a 16 bit reload can be triggered either by an overflow or

by a 1-to-0 transition at external input T2EX. This transition also sets the EXF2 bit. Both the TF2 and EXF2 bits can generate an interrupt if enabled.

Setting the DCEN bit enables Timer 2 to count up or down, as shown in Figure 3. In this mode, the T2EX pin controls the direction of the count. A logic 1 at T2EX makes Timer 2 count up. The timer will overflow at 0FFFFH and set the TF2 bit. This overflow also causes the 16 bit value in RCAP2H and RCAP2L to be reloaded into the timer registers, TH2 and TL2, respectively.

A logic 0 at T2EX makes Timer 2 count down. The timer underflows when TH2 and TL2 equal the values stored in RCAP2H and RCAP2L. The underflow sets the TF2 bit and causes 0FFFFH to be reloaded into the timer registers.

The EXF2 bit toggles whenever Timer 2 overflows or underflows and can be used as a 17th bit of resolution. In this operating mode, EXF2 does not flag an interrupt.

Figure 2. Timer 2 in Auto Reload Mode (DCEN = 0)

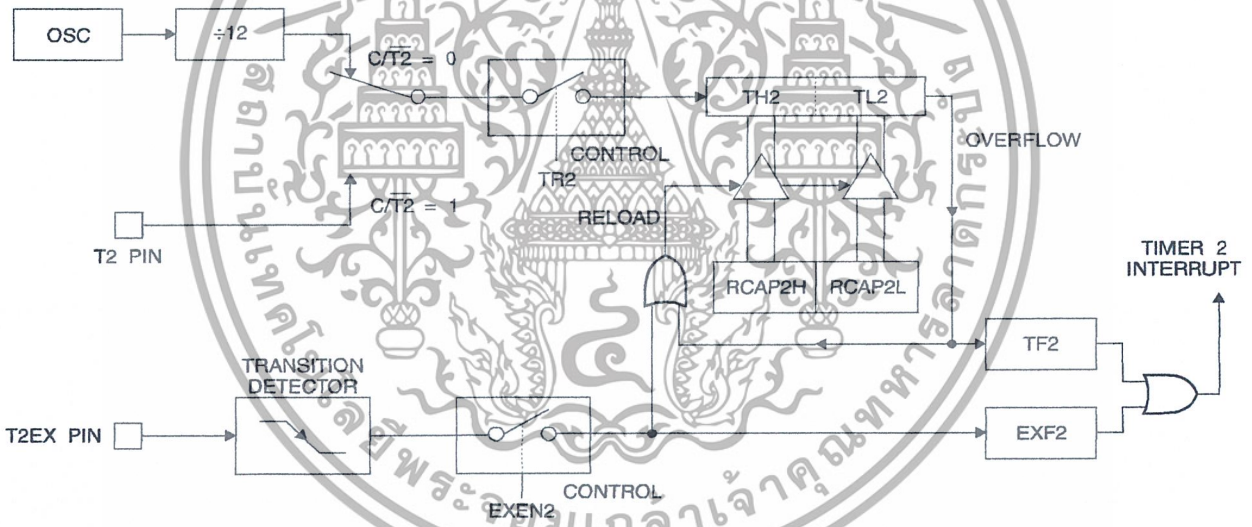


Table 9. T2MOD – Timer 2 Mode Control Register

T2MOD Address = 0C9H							Reset Value = XXXX XX00B	
Not Bit Addressable								
Bit	7	6	5	4	3	2	1	0
	-	-	-	-	-	-	T2OE	DCEN

Symbol	Function
-	Not implemented, reserved for future use.
T2OE	Timer 2 Output Enable bit.
DCEN	When set, this bit allows Timer 2 to be configured as an up/down counter.



Figure 3. Timer 2 Auto Reload Mode (DCEN = 1)

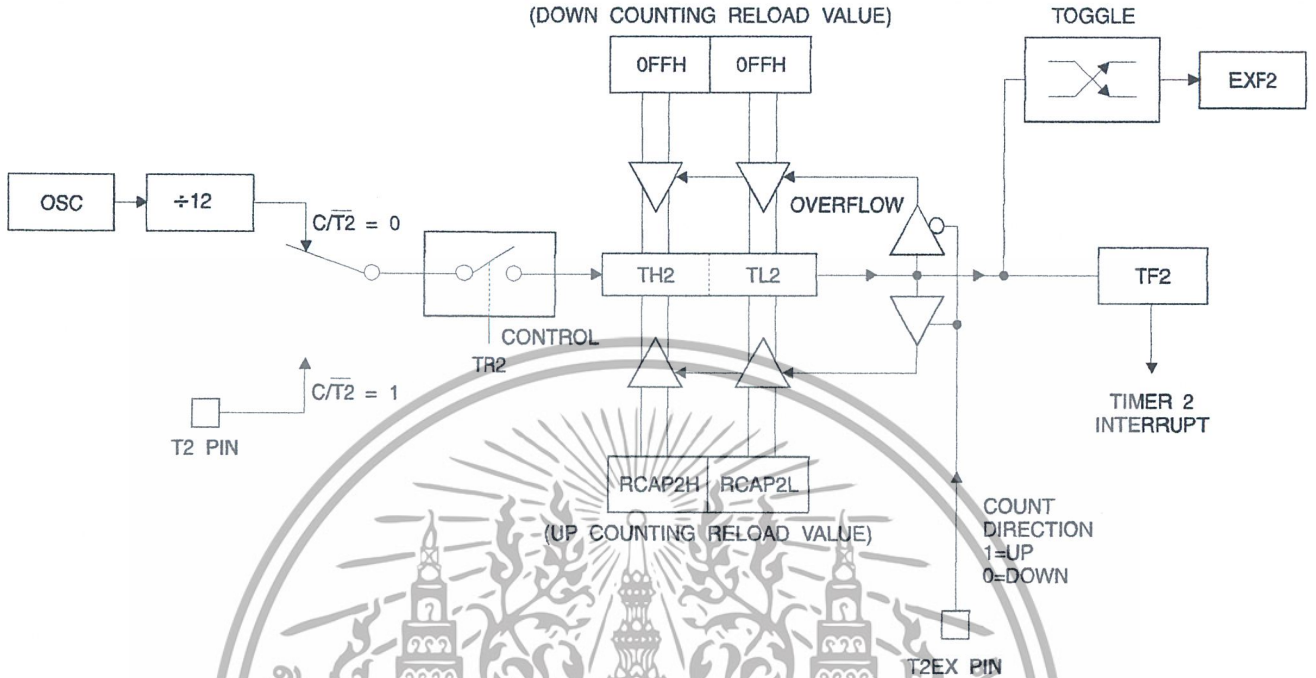
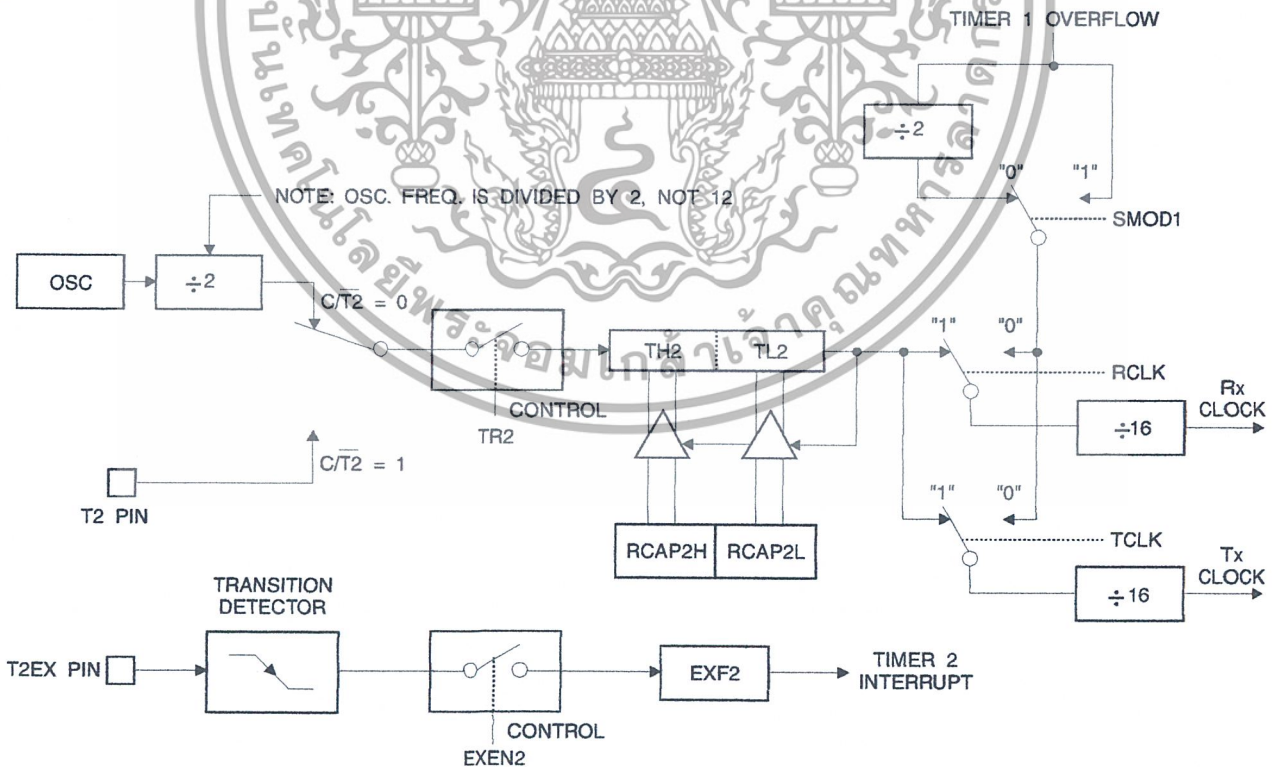


Figure 4. Timer 2 in Baud Rate Generator Mode



Baud Rate Generator

Timer 2 is selected as the baud rate generator by setting TCLK and/or RCLK in T2CON (Table 2). Note that the baud rates for transmit and receive can be different if Timer 2 is used for the receiver or transmitter and Timer 1 is used for the other function. Setting RCLK and/or TCLK puts Timer 2 into its baud rate generator mode, as shown in Figure 4.

The baud rate generator mode is similar to the auto-reload mode, in that a rollover in TH2 causes the Timer 2 registers to be reloaded with the 16 bit value in registers RCAP2H and RCAP2L, which are preset by software.

The baud rates in Modes 1 and 3 are determined by Timer 2's overflow rate according to the following equation.

$$\text{Modes 1 and 3 Baud Rates} = \frac{\text{Timer 2 Overflow Rate}}{16}$$

The Timer can be configured for either timer or counter operation. In most applications, it is configured for timer operation (CP/T2 = 0). The timer operation is different for Timer 2 when it is used as a baud rate generator. Normally, as a timer, it increments every machine cycle (at 1/12 the oscillator frequency). As a baud rate generator, however, it increments every state time (at 1/2 the oscillator frequency). The baud rate formula is given below.

$$\frac{\text{Modes 1 and 3}}{\text{Baud Rate}} = \frac{\text{Oscillator Frequency}}{32 \times [65536 - (\text{RCAP2H}, \text{RCAP2L})]}$$

where (RCAP2H, RCAP2L) is the content of RCAP2H and RCAP2L taken as a 16 bit unsigned integer.

Timer 2 as a baud rate generator is shown in Figure 4. This figure is valid only if RCLK or TCLK = 1 in T2CON. Note that a rollover in TH2 does not set TF2 and will not generate an interrupt. Note too, that if EXEN2 is set, a 1-to-0 transition in T2EX will set EXF2 but will not cause a reload from (RCAP2H, RCAP2L) to (TH2, TL2). Thus when Timer

2 is in use as a baud rate generator, T2EX can be used as an extra external interrupt.

Note that when Timer 2 is running (TR2 = 1) as a timer in the baud rate generator mode, TH2 or TL2 should not be read from or written to. Under these conditions, the Timer is incremented every state time, and the results of a read or write may not be accurate. The RCAP2 registers may be read but should not be written to, because a write might overlap a reload and cause write and/or reload errors. The timer should be turned off (clear TR2) before accessing the Timer 2 or RCAP2 registers.

Programmable Clock Out

A 50% duty cycle clock can be programmed to come out on P1.0, as shown in Figure 5. This pin, besides being a regular I/O pin, has two alternate functions. It can be programmed to input the external clock for Timer/Counter 2 or to output a 50% duty cycle clock ranging from 61 Hz to 4 MHz at a 16 MHz operating frequency.

To configure the Timer/Counter 2 as a clock generator, bit C/T2 (T2CON.1) must be cleared and bit T2OE (T2MOD.1) must be set. Bit TR2 (T2CON.2) starts and stops the timer.

The clock-out frequency depends on the oscillator frequency and the reload value of Timer 2 capture registers (RCAP2H, RCAP2L), as shown in the following equation.

$$\text{Clock Out Frequency} = \frac{\text{Oscillator Frequency}}{4 \times [65536 - (\text{RCAP2H}, \text{RCAP2L})]}$$

In the clock-out mode, Timer 2 rollovers will not generate an interrupt. This behavior is similar to when Timer 2 is used as a baud-rate generator. It is possible to use Timer 2 as a baud-rate generator and a clock generator simultaneously. Note, however, that the baud-rate and clock-out frequencies cannot be determined independently from one another since they both use RCAP2H and RCAP2L.



Figure 5. Timer 2 in Clock-out Mode

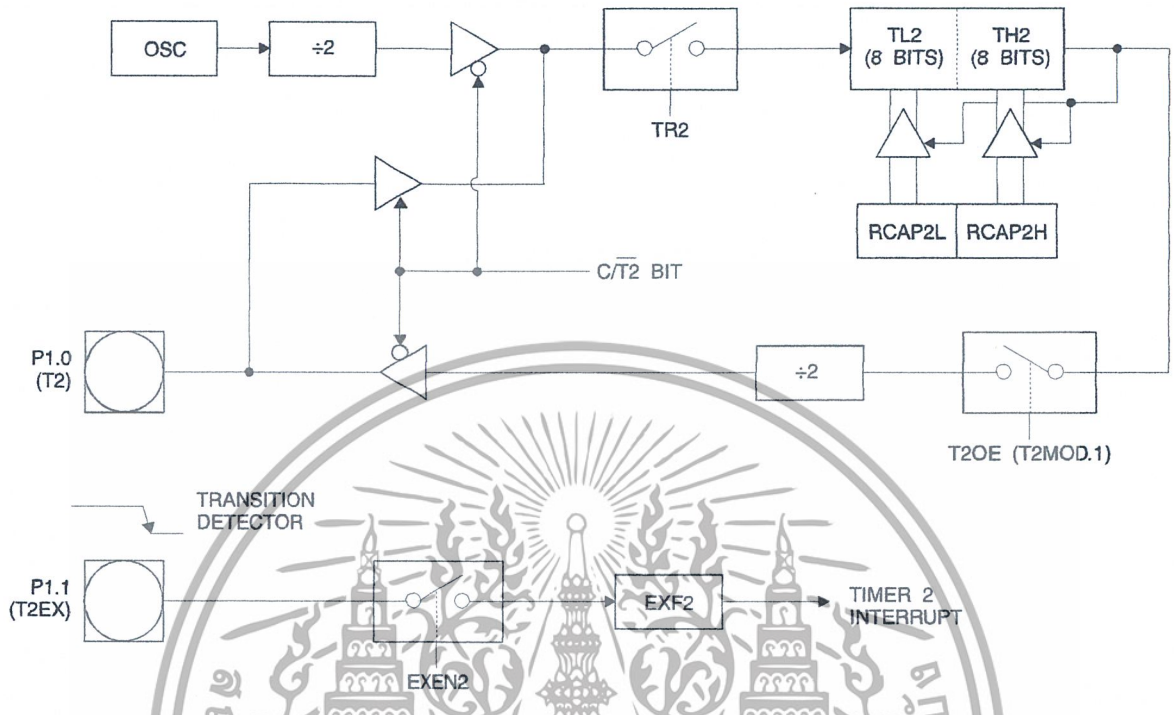
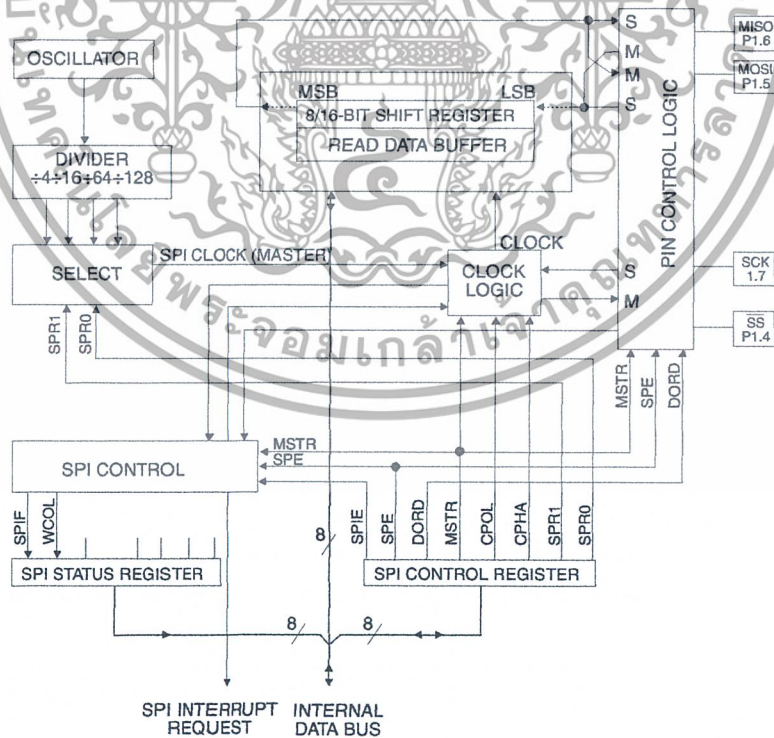


Figure 6. SPI Block Diagram



UART

The UART in the AT89S8252 operates the same way as the UART in the AT89C51, AT89C52 and AT89C55. For further information, see the October 1995 Microcontroller Data Book, page 2-49, section titled, "Serial Interface."

Serial Peripheral Interface

The serial peripheral interface (SPI) allows high-speed synchronous data transfer between the AT89S8252 and peripheral devices or between several AT89S8252 devices. The AT89S8252 SPI features include the following:

- Full-Duplex, 3-Wire Synchronous Data Transfer
- Master or Slave Operation
- 1.5 MHz Bit Frequency (max.)
- LSB First or MSB First Data Transfer
- Four Programmable Bit Rates
- End of Transmission Interrupt Flag

- Write Collision Flag Protection
- Wakeup from Idle Mode (Slave Mode Only)

The interconnection between master and slave CPUs with SPI is shown in the following figure. The SCK pin is the clock output in the master mode but is the clock input in the slave mode. Writing to the SPI data register of the master CPU starts the SPI clock generator, and the data written shifts out of the MOSI pin and into the MOSI pin of the slave CPU. After shifting one byte, the SPI clock generator stops, setting the end of transmission flag (SPIF). If both the SPI interrupt enable bit (SPIE) and the serial port interrupt enable bit (ES) are set, an interrupt is requested.

The Slave Select input, $\overline{SS}/P1.4$, is set low to select an individual SPI device as a slave. When $\overline{SS}/P1.4$ is set high, the SPI port is deactivated and the MOSI/P1.5 pin can be used as an input.

There are four combinations of SCK phase and polarity with respect to serial data, which are determined by control bits CPHA and CPOL. The SPI data transfer formats are shown in Figure 8 and Figure 9.

Figure 7. SPI Master-slave-interconnection

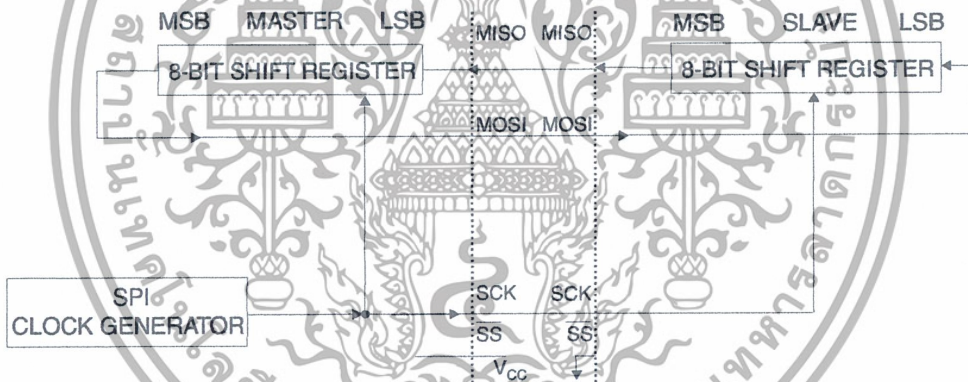
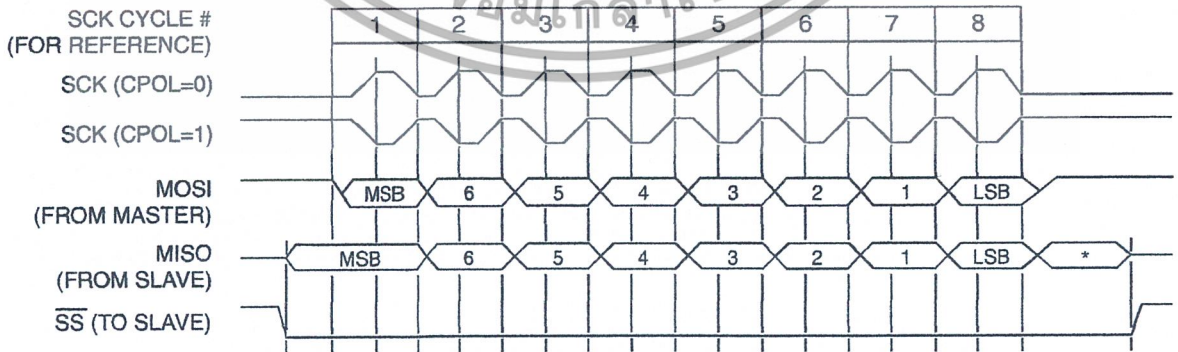


Figure 8. SPI transfer Format with CPHA = 0

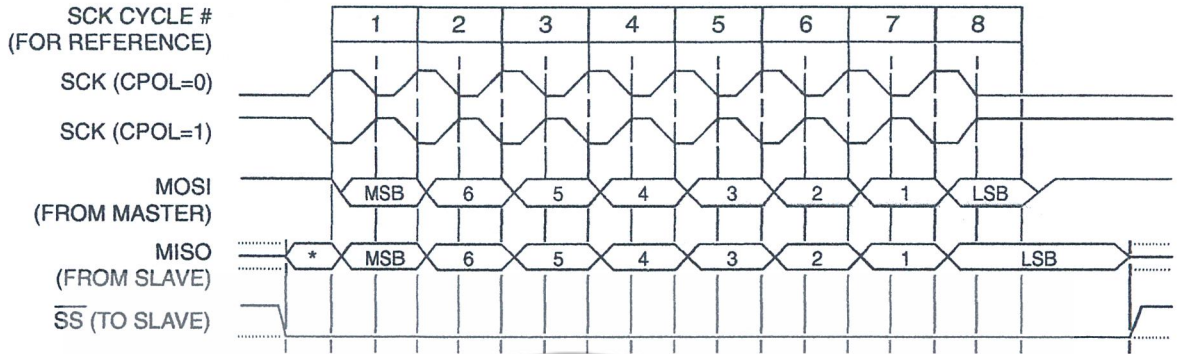


*Not defined but normally MSB of character just received



เอกสารนี้เป็นเอกสารที่สงวนไว้สำหรับการใช้งานเพื่อการศึกษาดูเท่านั้น ไม่อนุญาตให้นำไปใช้ประโยชน์ด้านการค้า ไม่ว่าจะกรณีใดๆ ทั้งสิ้น อีกทั้งห้ามมิให้ดัดแปลงเนื้อหา และต้องอ้างอิงถึงเจ้าของเอกสารทุกครั้งที่มีการนำไปใช้

Figure 9. SPI Transfer Format with CPHA = 1



*Not defined but normally LSB of previously transmitted character

Interrupts

The AT89S8252 has a total of six interrupt vectors: two external interrupts ($\overline{INT0}$ and $\overline{INT1}$), three timer interrupts (Timers 0, 1, and 2), and the serial port interrupt. These interrupts are all shown in Figure 10.

Each of these interrupt sources can be individually enabled or disabled by setting or clearing a bit in Special Function Register IE. IE also contains a global disable bit, EA, which disables all interrupts at once.

Note that Table 10 shows that bit position IE.6 is unimplemented. In the AT89C51, bit position IE.5 is also unimplemented. User software should not write 1s to these bit positions, since they may be used in future AT89 products.

Timer 2 interrupt is generated by the logical OR of bits TF2 and EXF2 in register T2CON. Neither of these flags is cleared by hardware when the service routine is vectored to. In fact, the service routine may have to determine whether it was TF2 or EXF2 that generated the interrupt, and that bit will have to be cleared in software.

The Timer 0 and Timer 1 flags, TF0 and TF1, are set at S5P2 of the cycle in which the timers overflow. The values are then polled by the circuitry in the next cycle. However, the Timer 2 flag, TF2, is set at S2P2 and is polled in the same cycle in which the timer overflows.

Table 10. Interrupt Enable (IE) Register

(MSB)(LSB)						
EA	ET2	ES	ET1	EX1	ET0	EX0
Enable Bit = 1 enables the interrupt. Enable Bit = 0 disables the interrupt.						
Symbol	Position	Function				
EA	IE.7	Disables all interrupts. If EA = 0, no interrupt is acknowledged. If EA = 1, each interrupt source is individually enabled or disabled by setting or clearing its enable bit.				
—	IE.6	Reserved.				
ET2	IE.5	Timer 2 interrupt enable bit.				
ES	IE.4	SPI and UART interrupt enable bit.				
ET1	IE.3	Timer 1 interrupt enable bit.				
EX1	IE.2	External interrupt 1 enable bit.				
ET0	IE.1	Timer 0 interrupt enable bit.				
EX0	IE.0	External interrupt 0 enable bit.				
User software should never write 1s to unimplemented bits, because they may be used in future AT89 products.						

Figure 10. Interrupt Sources

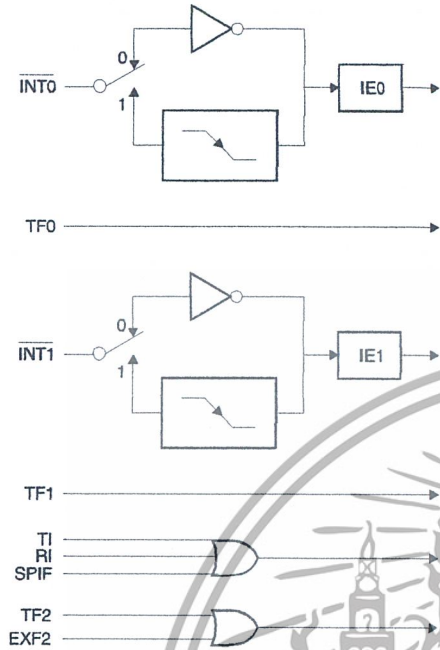
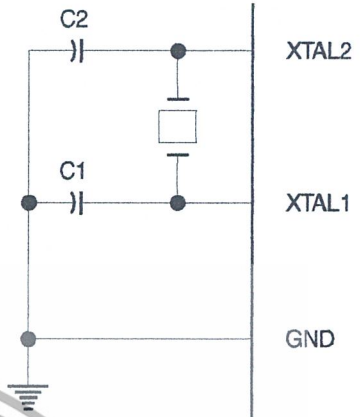
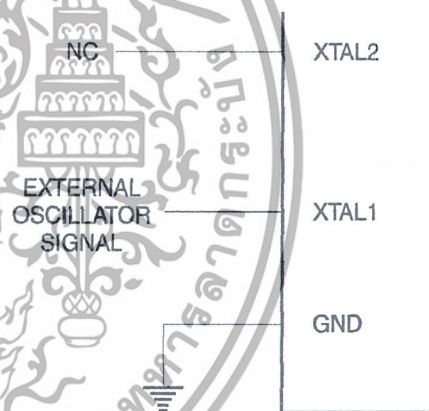


Figure 11. Oscillator Connections



Note: Note: C1, C2 = 30 pF ± 10 pF for Crystals
= 40 pF ± 10 pF for Ceramic Resonators

Figure 12. External Clock Drive Configuration



Oscillator Characteristics

XTAL1 and XTAL2 are the input and output, respectively, of an inverting amplifier that can be configured for use as an on-chip oscillator, as shown in Figure 11. Either a quartz crystal or ceramic resonator may be used. To drive the device from an external clock source, XTAL2 should be left unconnected while XTAL1 is driven, as shown in Figure 12. There are no requirements on the duty cycle of the external clock signal, since the input to the internal clocking circuitry is through a divide-by-two flip-flop, but minimum and maximum voltage high and low time specifications must be observed.



Idle Mode

In idle mode, the CPU puts itself to sleep while all the on-chip peripherals remain active. The mode is invoked by software. The content of the on-chip RAM and all the special functions registers remain unchanged during this mode. The idle mode can be terminated by any enabled interrupt or by a hardware reset.

Note that when idle mode is terminated by a hardware reset, the device normally resumes program execution

from where it left off, up to two machine cycles before the internal reset algorithm takes control. On-chip hardware inhibits access to internal RAM in this event, but access to the port pins is not inhibited. To eliminate the possibility of an unexpected write to a port pin when idle mode is terminated by a reset, the instruction following the one that invokes idle mode should not write to a port pin or to external memory.

Status of External Pins During Idle and Power-down Modes

Mode	Program Memory	ALE	PSEN	PORT0	PORT1	PORT2	PORT3
Idle	Internal	1	1	Data	Data	Data	Data
Idle	External	1	1	Float	Data	Address	Data
Power-down	Internal	0	0	Data	Data	Data	Data
Power-down	External	0	0	Float	Data	Data	Data

Power-down Mode

In the power-down mode, the oscillator is stopped and the instruction that invokes power-down is the last instruction executed. The on-chip RAM and Special Function Registers retain their values until the power-down mode is terminated. Exit from power-down can be initiated either by a hardware reset or by an enabled external interrupt. Reset redefines the SFRs but does not change the on-chip RAM. The reset should not be activated before V_{CC} is restored to its normal operating level and must be held active long enough to allow the oscillator to restart and stabilize.

To exit power-down via an interrupt, the external interrupt must be enabled as level sensitive before entering power-down. The interrupt service routine starts at 16 ms (nominal) after the enabled interrupt pin is activated.

Program Memory Lock Bits

The AT89S8252 has three lock bits that can be left unprogrammed (U) or can be programmed (P) to obtain the additional features listed in the following table.

When lock bit 1 is programmed, the logic level at the \overline{EA} pin is sampled and latched during reset. If the device is powered up without a reset, the latch initializes to a random value and holds that value until reset is activated. The latched value of \overline{EA} must agree with the current logic level at that pin in order for the device to function properly.

Once programmed, the lock bits can only be unprogrammed with the Chip Erase operations in either the parallel or serial modes.

Lock Bit Protection Modes ⁽¹⁾⁽²⁾

	Program Lock Bits			Protection Type
	LB1	LB2	LB3	
1	U	U	U	No internal memory lock feature.
2	P	U	U	MOVC instructions executed from external program memory are disabled from fetching code bytes from internal memory. \overline{EA} is sampled and latched on reset and further programming of the Flash memory (parallel or serial mode) is disabled.
3	P	P	U	Same as Mode 2, but parallel or serial verify are also disabled.
4	P	P	P	Same as Mode 3, but external execution is also disabled.

Notes: 1. U = Unprogrammed
2. P = Programmed

Programming the Flash and EEPROM

Atmel's AT89S8252 Flash Microcontroller offers 8K bytes of in-system reprogrammable Flash Code memory and 2K bytes of EEPROM Data memory.

The AT89S8252 is normally shipped with the on-chip Flash Code and EEPROM Data memory arrays in the erased state (i.e. contents = FFH) and ready to be programmed. This device supports a High-voltage (12V) Parallel programming mode and a Low-voltage (5V) Serial programming mode. The serial programming mode provides a convenient way to download the AT89S8252 inside the user's system. The parallel programming mode is compatible with conventional third party Flash or EPROM programmers.

The Code and Data memory arrays are mapped via separate address spaces in the serial programming mode. In the parallel programming mode, the two arrays occupy one contiguous address space: 0000H to 1FFFH for the Code array and 2000H to 27FFH for the Data array.

The Code and Data memory arrays on the AT89S8252 are programmed byte-by-byte in either programming mode. An auto-erase cycle is provided with the self-timed programming operation in the serial programming mode. There is no need to perform the Chip Erase operation to reprogram any memory location in the serial programming mode unless any of the lock bits have been programmed.

In the parallel programming mode, there is no auto-erase cycle. To reprogram any non-blank byte, the user needs to use the Chip Erase operation first to erase both arrays.

Parallel Programming Algorithm: To program and verify the AT89S8252 in the parallel programming mode, the following sequence is recommended:

1. Power-up sequence:
 - Apply power between V_{CC} and GND pins.
 - Set RST pin to "H".
 - Apply a 3 MHz to 24 MHz clock to XTAL1 pin and wait for at least 10 milliseconds.
2. Set PSEN pin to "L"
 - ALE pin to "H"
 - \overline{EA} pin to "H" and all other pins to "H".
3. Apply the appropriate combination of "H" or "L" logic levels to pins P2.6, P2.7, P3.6, P3.7 to select one of the programming operations shown in the Flash Programming Modes table.
4. Apply the desired byte address to pins P1.0 to P1.7 and P2.0 to P2.5.
 - Apply data to pins P0.0 to P0.7 for Write Code operation.

5. Raise \overline{EA}/V_{PP} to 12V to enable Flash programming, erase or verification.
6. Pulse ALE/PROG once to program a byte in the Code memory array, the Data memory array or the lock bits. The byte-write cycle is self-timed and typically takes 1.5 ms.
7. To verify the byte just programmed, bring pin P2.7 to "L" and read the programmed data at pins P0.0 to P0.7.
8. Repeat steps 3 through 7 changing the address and data for the entire 2K or 8K bytes array or until the end of the object file is reached.
9. Power-off sequence:
 - Set XTAL1 to "L".
 - Set RST and \overline{EA} pins to "L".
 - Turn V_{CC} power off.

In the parallel programming mode, there is no auto-erase cycle and to reprogram any non-blank byte, the user needs to use the Chip Erase operation first to erase both arrays.

Data Polling: The AT89S8252 features \overline{DATA} Polling to indicate the end of a write cycle. During a write cycle in the parallel or serial programming mode, an attempted read of the last byte written will result in the complement of the written datum on P0.7 (parallel mode), and on the MSB of the serial output byte on MISO (serial mode). Once the write cycle has been completed, true data are valid on all outputs, and the next cycle may begin. \overline{DATA} Polling may begin any time after a write cycle has been initiated.

Ready/Busy: The progress of byte programming in the parallel programming mode can also be monitored by the RDY/BSY output signal. Pin P3.4 is pulled Low after ALE goes High during programming to indicate BUSY. P3.4 is pulled High again when programming is done to indicate READY.

Program Verify: If lock bits LB1 and LB2 have not been programmed, the programmed Code or Data byte can be read back via the address and data lines for verification. The state of the lock bits can also be verified directly in the parallel programming mode. In the serial programming mode, the state of the lock bits can only be verified indirectly by observing that the lock bit features are enabled.

Chip Erase: Both Flash and EEPROM arrays are erased electrically at the same time. In the parallel programming mode, chip erase is initiated by using the proper combination of control signals and by holding ALE/PROG low for 10 ms. The Code and Data arrays are written with all "1"s in the Chip Erase operation.



In the serial programming mode, a chip erase operation is initiated by issuing the Chip Erase instruction. In this mode, chip erase is self-timed and takes about 16 ms.

During chip erase, a serial read from any address location will return 00H at the data outputs.

Serial Programming Fuse: A programmable fuse is available to disable Serial Programming if the user needs maximum system security. The Serial Programming Fuse can only be programmed or erased in the Parallel Programming Mode.

The AT89S8252 is shipped with the Serial Programming Mode enabled.

Reading the Signature Bytes: The signature bytes are read by the same procedure as a normal verification of locations 030H and 031H, except that P3.6 and P3.7 must be pulled to a logic low. The values returned are as follows:

(030H) = 1EH indicates manufactured by Atmel
(031H) = 72H indicates 89S8252

Programming Interface

Every code byte in the Flash and EEPROM arrays can be written, and the entire array can be erased, by using the appropriate combination of control signals. The write operation cycle is self-timed and once initiated, will automatically time itself to completion.

All major programming vendors offer worldwide support for the Atmel microcontroller series. Please contact your local programming vendor for the appropriate software revision.

Serial Downloading

Both the Code and Data memory arrays can be programmed using the serial SPI bus while RST is pulled to V_{CC} . The serial interface consists of pins SCK, MOSI (input) and MISO (output). After RST is set high, the Programming Enable instruction needs to be executed first before program/erase operations can be executed.

An auto-erase cycle is built into the self-timed programming operation (in the serial mode ONLY) and there is no need to first execute the Chip Erase instruction unless any of the lock bits have been programmed. The Chip Erase operation turns the content of every memory location in both the Code and Data arrays into FFH.

The Code and Data memory arrays have separate address spaces:

0000H to 1FFFFH for Code memory and 000H to 7FFFH for Data memory.

Either an external system clock is supplied at pin XTAL1 or a crystal needs to be connected across pins XTAL1 and XTAL2. The maximum serial clock (SCK) frequency should be less than 1/40 of the crystal frequency. With a 24 MHz oscillator clock, the maximum SCK frequency is 600 kHz.

Serial Programming Algorithm

To program and verify the AT89S8252 in the serial programming mode, the following sequence is recommended:

1. Power-up sequence:

Apply power between VCC and GND pins.

Set RST pin to "H".

If a crystal is not connected across pins XTAL1 and XTAL2, apply a 3 MHz to 24 MHz clock to XTAL1 pin and wait for at least 10 milliseconds.

2. Enable serial programming by sending the Programming Enable serial instruction to pin MOSI/P1.5. The frequency of the shift clock supplied at pin SCK/P1.7 needs to be less than the CPU clock at XTAL1 divided by 40.
3. The Code or Data array is programmed one byte at a time by supplying the address and data together with the appropriate Write instruction. The selected memory location is first automatically erased before new data is written. The write cycle is self-timed and typically takes less than 2.5 ms at 5V.
4. Any memory location can be verified by using the Read instruction which returns the content at the selected address at serial output MISO/P1.6.
5. At the end of a programming session, RST can be set low to commence normal operation.

Power-off sequence (if needed):

Set XTAL1 to "L" (if a crystal is not used).

Set RST to "L".

Turn V_{CC} power off.

Serial Programming Instruction

The Instruction Set for Serial Programming follows a 3-byte protocol and is shown in the following table:

Instruction Set

Instruction	Input Format			Operation
	Byte 1	Byte 2	Byte 3	
Programming Enable	1010 1100	0101 0011	xxxx xxxx	Enable serial programming interface after RST goes high.
Chip Erase	1010 1100	xxxx x100	xxxx xxxx	Chip erase both 8K & 2K memory arrays.
Read Code Memory	aaaa a001	low addr	xxxx xxxx	Read data from Code memory array at the selected address. The 5 MSBs of the first byte are the high order address bits. The low order address bits are in the second byte. Data are available at pin MISO during the third byte.
Write Code Memory	aaaa a010	low addr	data in	Write data to Code memory location at selected address. The address bits are the 5 MSBs of the first byte together with the second byte.
Read Data Memory	00aa a101	low addr	xxxx xxxx	Read data from Data memory array at selected address. Data are available at pin MISO during the third byte.
Write Data Memory	00aa a110	low addr	data in	Write data to Data memory location at selected address.
Write Lock Bits	1010 1100	x x111	xxxx xxxx	Write lock bits. Set LB1, LB2 or LB3 = "0" to program lock bits.

- Note:
1. DATA polling is used to indicate the end of a write cycle which typically takes less than 2.5 ms at 5V.
 2. "aaaaa" = high order address.
 3. "x" = don't care.



เอกสารนี้เป็นเอกสารที่สงวนไว้สำหรับการใช้งานเพื่อการศึกษาเท่านั้น ไม่อนุญาตให้นำไปใช้ประโยชน์ด้านการค้า
ไม่ว่ากรณีใดๆ ทั้งสิ้น อีกทั้งห้ามมิให้ดัดแปลงเนื้อหา และต้องอ้างอิงถึงเจ้าของเอกสารทุกครั้งที่มีการนำไปใช้



Flash and EEPROM Parallel Programming Modes

Mode	RST	PSEN	ALE/PROG	EA/V _{PP}	P2.6	P2.7	P3.6	P3.7	Data I/O P0.7:0	Address P2.5:0 P1.7:0
Serial Prog. Modes	H	h ⁽¹⁾	h ⁽¹⁾	x						
Chip Erase	H	L		12V	H	L	L	L	X	X
Write (10K bytes) Memory	H	L		12V	L	H	H	H	DIN	ADDR
Read (10K bytes) Memory	H	L	H	12V	L	L	H	H	DOUT	ADDR
Write Lock Bits:	H	L		12V	H	L	H	L	DIN	X
Bit - 1									P0.7 = 0	X
Bit - 2									P0.6 = 0	X
Bit - 3									P0.5 = 0	X
Read Lock Bits:	H	L	H	12V	H	H	L	L	DOUT	X
Bit - 1									@P0.2	X
Bit - 2									@P0.1	X
Bit - 3									@P0.0	X
Read Atmel Code	H	L	H	12V	L	L	L	L	DOUT	30H
Read Device Code	H	L	H	12V	L	L	L	L	DOUT	31H
Serial Prog. Enable	H	L		12V	L	H	L	H	P0.0 = 0	X
Serial Prog. Disable	H	L		12V	L	H	L	H	P0.0 = 1	X
Read Serial Prog. Fuse	H	L	H	12V	H	H	L	H	@P0.0	X

- Notes:
- "h" = weakly pulled "High" internally.
 - Chip Erase and Serial Programming Fuse require a 10 ms PROG pulse. Chip Erase needs to be performed first before reprogramming any byte with a content other than FFH.
 - P3.4 is pulled Low during programming to indicate RDY/BSY.
 - "X" = don't care

Figure 13. Programming the Flash/EEPROM Memory

Figure 15. Flash/EEPROM Serial Downloading

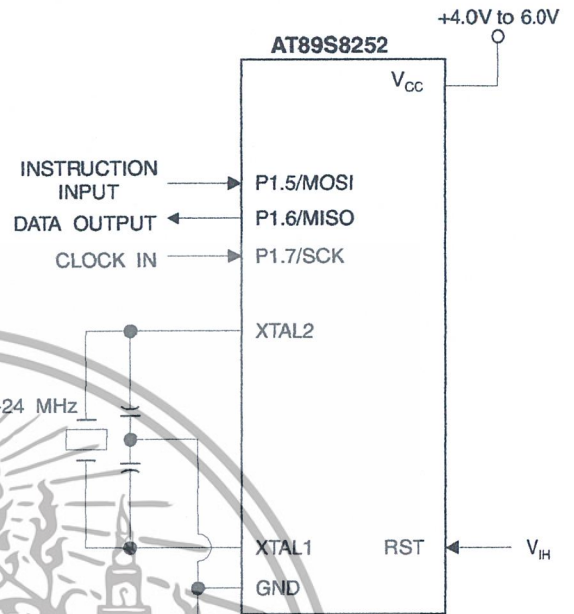
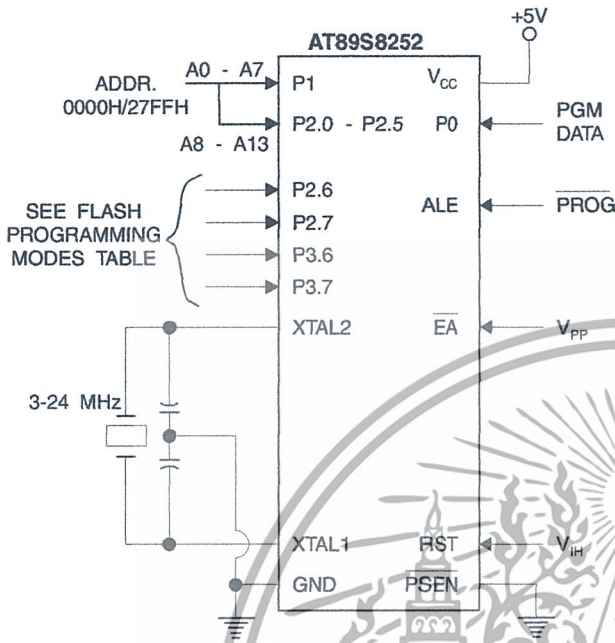
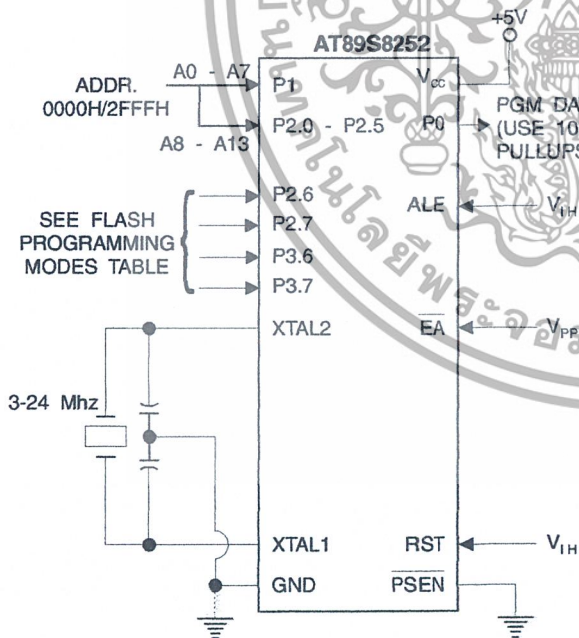


Figure 14. Verifying the Flash/EEPROM Memory



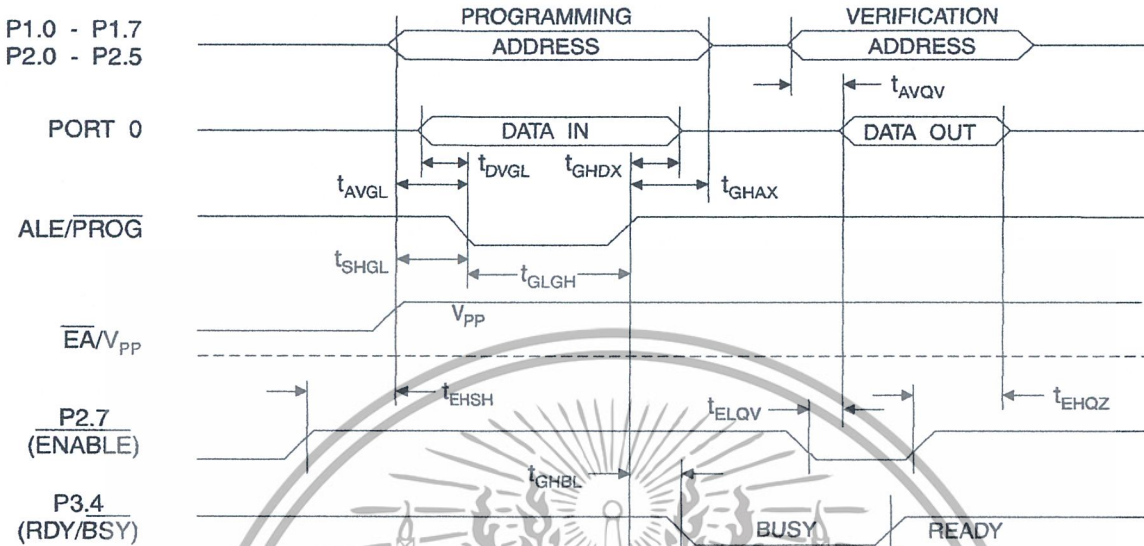
เอกสารนี้เป็นเอกสารที่สงวนไว้สำหรับการใช้งานเพื่อการศึกษาเท่านั้น ไม่อนุญาตให้นำไปใช้ประโยชน์ด้านการค้า
ไม่ว่ากรณีใดๆ ทั้งสิ้น อีกทั้งห้ามมิให้ดัดแปลงเนื้อหา และต้องอ้างอิงถึงเจ้าของเอกสารทุกครั้งที่มีการนำไปใช้

Flash Programming and Verification Characteristics – Parallel Mode

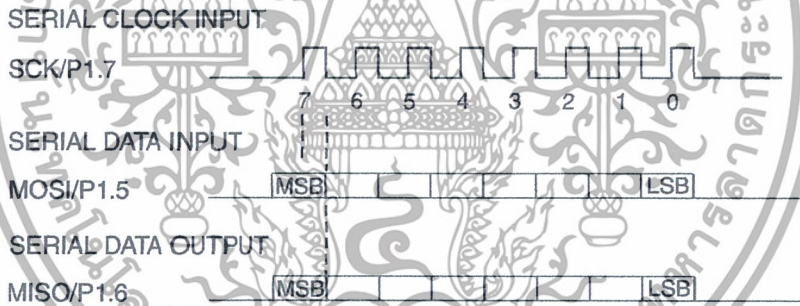
$T_A = 0^\circ\text{C}$ to 70°C , $V_{CC} = 5.0\text{V} \pm 10\%$

Symbol	Parameter	Min	Max	Units
V_{PP}	Programming Enable Voltage	11.5	12.5	V
I_{PP}	Programming Enable Current		1.0	mA
$1/t_{CLCL}$	Oscillator Frequency	3	24	MHz
t_{AVGL}	Address Setup to $\overline{\text{PROG}}$ Low	$48t_{CLCL}$		
t_{GHAX}	Address Hold after $\overline{\text{PROG}}$	$48t_{CLCL}$		
t_{DVGL}	Data Setup to $\overline{\text{PROG}}$ Low	$48t_{CLCL}$		
t_{GHDX}	Data Hold after $\overline{\text{PROG}}$	$48t_{CLCL}$		
t_{EHS}	P2.7 (ENABLE) High to V_{PP}	$48t_{CLCL}$		
t_{SHGL}	V_{PP} Setup to $\overline{\text{PROG}}$ Low	10		μs
t_{GLGH}	$\overline{\text{PROG}}$ Width	1	110	μs
t_{AVQV}	Address to Data Valid		$48t_{CLCL}$	
t_{ELQV}	$\overline{\text{ENABLE}}$ Low to Data Valid		$48t_{CLCL}$	
t_{EHQZ}	Data Float after $\overline{\text{ENABLE}}$	0	$48t_{CLCL}$	
t_{GHBL}	$\overline{\text{PROG}}$ High to $\overline{\text{BUSY}}$ Low		1.0	μs
t_{WC}	Byte Write Cycle Time		2.0	ms

Flash/EEPROM Programming and Verification Waveforms – Parallel Mode



Serial Downloading Waveforms



เอกสารนี้เป็นเอกสารที่สงวนไว้สำหรับการใช้งานเพื่อการศึกษาเท่านั้น ไม่อนุญาตให้นำไปใช้ประโยชน์ด้านการค้า ไม่ว่าจะกรณีใดๆ ทั้งสิ้น อีกทั้งห้ามมิให้ดัดแปลงเนื้อหา และต้องอ้างอิงถึงเจ้าของเอกสารทุกครั้งที่มีการนำไปใช้

Absolute Maximum Ratings*

Operating Temperature.....	-55°C to +125°C
Storage Temperature	-65°C to +150°C
Voltage on Any Pin with Respect to Ground	-1.0V to +7.0V
Maximum Operating Voltage	6.6V
DC Output Current.....	15.0 mA

***NOTICE:** Stresses beyond those listed under "Absolute Maximum Ratings" may cause permanent damage to the device. This is a stress rating only and functional operation of the device at these or any other conditions beyond those indicated in the operational sections of this specification is not implied. Exposure to absolute maximum rating conditions for extended periods may affect device reliability.

DC Characteristics

The values shown in this table are valid for $T_A = -40^\circ\text{C}$ to 85°C and $V_{CC} = 5.0\text{V} \pm 20\%$, unless otherwise noted.

Symbol	Parameter	Condition	Min	Max	Units	
V_{IL}	Input Low-voltage	(Except EA)	-0.5	$0.2 V_{CC} - 0.1$	V	
V_{IL1}	Input Low-voltage (EA)		-0.5	$0.2 V_{CC} - 0.3$	V	
V_{IH}	Input High-voltage	(Except XTAL1, RST)	$0.2 V_{CC} + 0.9$	$V_{CC} + 0.5$	V	
V_{IH1}	Input High-voltage (XTAL1, RST)		$0.7 V_{CC}$	$V_{CC} + 0.5$	V	
V_{OL}	Output Low-voltage ⁽¹⁾ (Ports 1,2,3)	$I_{OL} = 1.6 \text{ mA}$		0.5	V	
V_{OL1}	Output Low-voltage ⁽¹⁾ (Port 0, ALE, PSEN)	$I_{OL} = 3.2 \text{ mA}$		0.5	V	
V_{OH}	Output High-voltage (Ports 1,2,3, ALE, PSEN)	$I_{OH} = -60 \mu\text{A}, V_{CC} = 5\text{V} \pm 10\%$	2.4		V	
		$I_{OH} = -25 \mu\text{A}$	$0.75 V_{CC}$		V	
		$I_{OH} = -10 \mu\text{A}$	$0.9 V_{CC}$		V	
V_{OH1}	Output High-voltage (Port 0 in External Bus Mode)	$I_{OH} = -800 \mu\text{A}, V_{CC} = 5\text{V} \pm 10\%$	2.4		V	
		$I_{OH} = -300 \mu\text{A}$	$0.75 V_{CC}$		V	
		$I_{OH} = -80 \mu\text{A}$	$0.9 V_{CC}$		V	
I_{IL}	Logical 0 Input Current (Ports 1,2,3)	$V_{IN} = 0.45\text{V}$		-50	μA	
I_{TL}	Logical 1 to 0 Transition Current (Ports 1,2,3)	$V_{IN} = 2\text{V}, V_{CC} = 5\text{V} \pm 10\%$		-650	μA	
I_{LI}	Input Leakage Current (Port 0, EA)	$0.45 < V_{IN} < V_{CC}$		± 10	μA	
RRST	Reset Pull-down Resistor		50	300	$\text{K}\Omega$	
C_{IO}	Pin Capacitance	Test Freq. = 1 MHz, $T_A = 25^\circ\text{C}$		10	pF	
I_{CC}	Power Supply Current	Active Mode, 12 MHz		25	mA	
		Idle Mode, 12 MHz		6.5	mA	
	Power-down Mode ⁽²⁾	$V_{CC} = 6\text{V}$			100	μA
		$V_{CC} = 3\text{V}$			40	μA

Notes: 1. Under steady state (non-transient) conditions, I_{OL} must be externally limited as follows:
 Maximum I_{OL} per port pin: 10 mA
 Maximum I_{OL} per 8-bit port:
 Port 0: 26 mA
 Ports 1, 2, 3: 15 mA

Maximum total I_{OL} for all output pins: 71 mA
 If I_{OL} exceeds the test condition, V_{OL} may exceed the related specification. Pins are not guaranteed to sink current greater than the listed test conditions.
 2. Minimum V_{CC} for Power-down is 2V

AC Characteristics

Under operating conditions, load capacitance for Port 0, ALE/PROG, and PSEN = 100 pF; load capacitance for all other outputs = 80 pF.

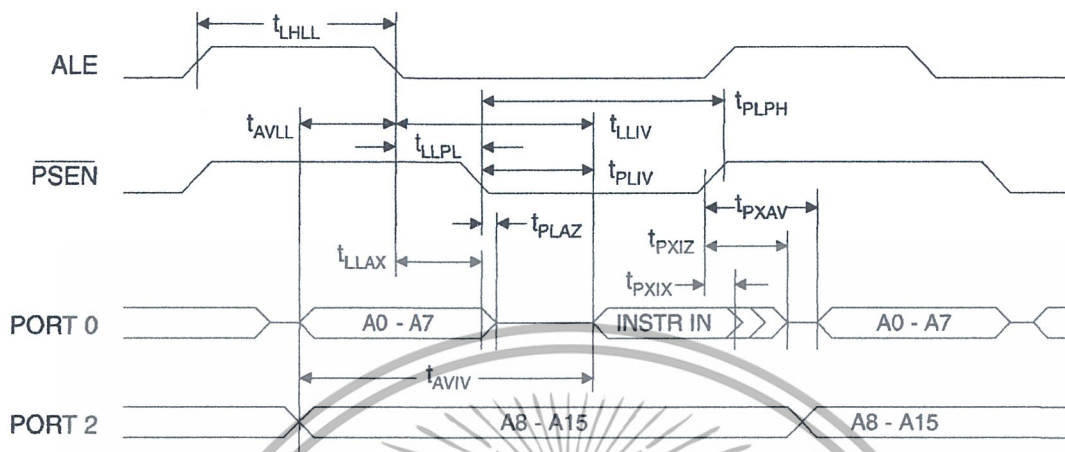
External Program and Data Memory Characteristics

Symbol	Parameter	Variable Oscillator		Units
		Min	Max	
$1/t_{CLCL}$	Oscillator Frequency	0	24	MHz
t_{LHLL}	ALE Pulse Width	$2t_{CLCL} - 40$		ns
t_{AVLL}	Address Valid to ALE Low	$t_{CLCL} - 13$		ns
t_{LLAX}	Address Hold after ALE Low	$t_{CLCL} - 20$		ns
t_{LLIV}	ALE Low to Valid Instruction In		$4t_{CLCL} - 65$	ns
t_{LLPL}	ALE Low to PSEN Low	$t_{CLCL} - 13$		ns
t_{PLPH}	PSEN Pulse Width	$3t_{CLCL} - 20$		ns
t_{PLIV}	PSEN Low to Valid Instruction In		$3t_{CLCL} - 45$	ns
t_{PXIX}	Input Instruction Hold after PSEN	0		ns
t_{PXIZ}	Input Instruction Float after PSEN		$t_{CLCL} - 10$	ns
t_{PXAV}	PSEN to Address Valid	$t_{CLCL} - 8$		ns
t_{AVIV}	Address to Valid Instruction In		$5t_{CLCL} - 55$	ns
t_{PLAZ}	PSEN Low to Address Float		10	ns
t_{RLRH}	RD Pulse Width	$6t_{CLCL} - 100$		ns
t_{WLWH}	WR Pulse Width	$6t_{CLCL} - 100$		ns
t_{RLDV}	RD Low to Valid Data In		$5t_{CLCL} - 90$	ns
t_{RHDZ}	Data Hold after RD	0		ns
t_{RHDZ}	Data Float after RD		$2t_{CLCL} - 28$	ns
t_{LLDV}	ALE Low to Valid Data In		$8t_{CLCL} - 150$	ns
t_{AVDV}	Address to Valid Data In		$9t_{CLCL} - 165$	ns
t_{LLWL}	ALE Low to RD or WR Low	$3t_{CLCL} - 50$	$3t_{CLCL} + 50$	ns
t_{AVWL}	Address to RD or WR Low	$4t_{CLCL} - 75$		ns
t_{QVWX}	Data Valid to WR Transition	$t_{CLCL} - 20$		ns
t_{QVWH}	Data Valid to WR High	$7t_{CLCL} - 120$		ns
t_{WHQX}	Data Hold after WR	$t_{CLCL} - 20$		ns
t_{RLAZ}	RD Low to Address Float		0	ns
t_{WHLH}	RD or WR High to ALE High	$t_{CLCL} - 20$	$t_{CLCL} + 25$	ns

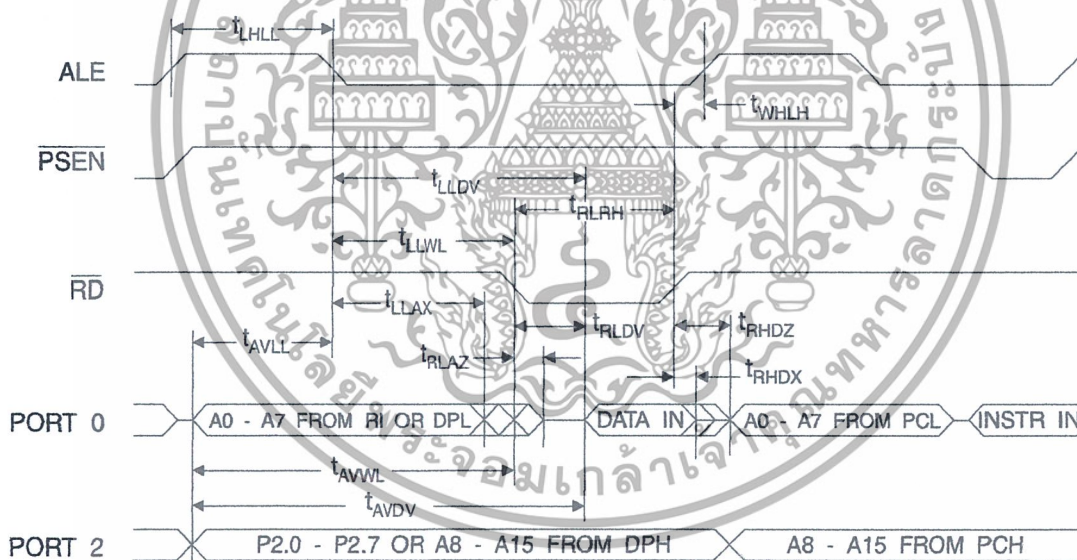


เอกสารนี้เป็นเอกสารที่สงวนไว้สำหรับการใช้งานเพื่อการศึกษาเท่านั้น ไม่อนุญาตให้นำไปใช้ประโยชน์ด้านการค้า
ไม่ว่ากรณีใดๆ ทั้งสิ้น อีกทั้งห้ามมิให้ดัดแปลงเนื้อหา และต้องอ้างอิงถึงเจ้าของเอกสารทุกครั้งที่มีการนำไปใช้

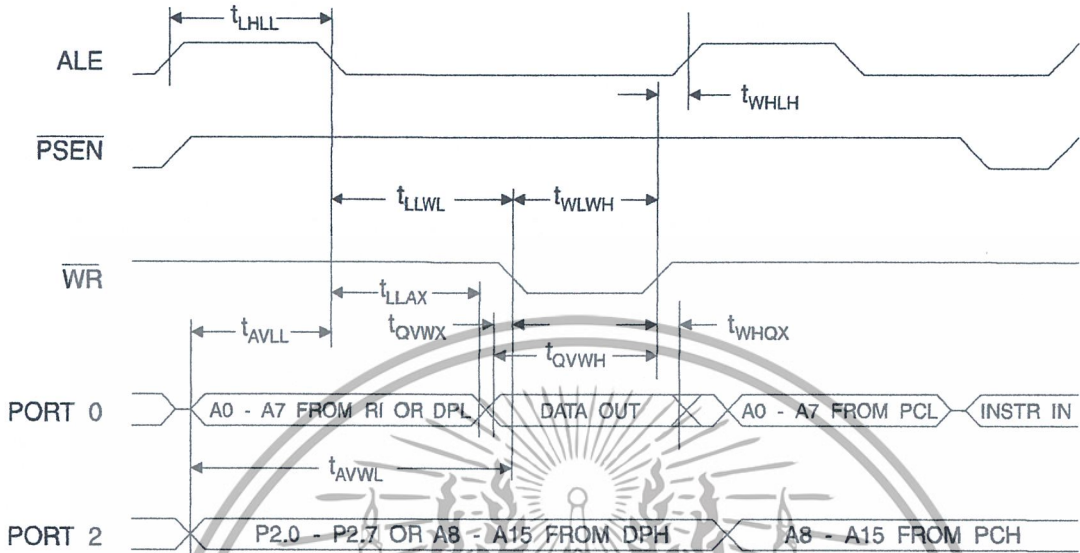
External Program Memory Read Cycle



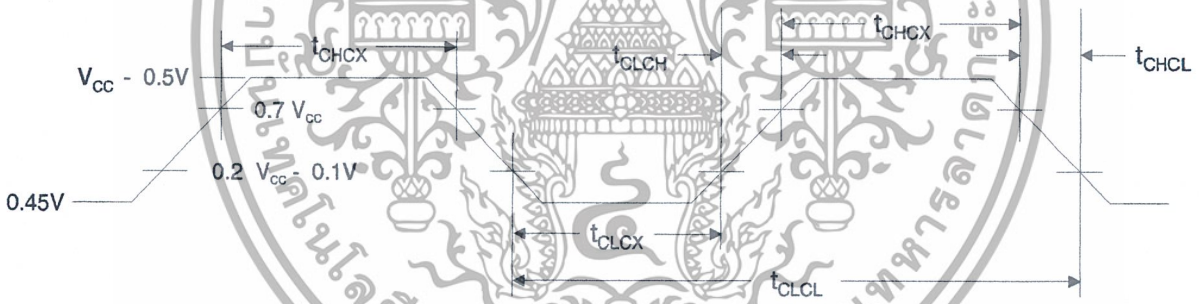
External Data Memory Read Cycle



External Data Memory Write Cycle



External Clock Drive Waveforms



External Clock Drive

Symbol	Parameter	$V_{CC} = 4.0V \text{ to } 6.0V$		Units
		Min	Max	
$1/t_{CLCL}$	Oscillator Frequency	0	24	MHz
t_{CLCL}	Clock Period	41.6		ns
t_{CHCX}	High Time	15		ns
t_{CLCX}	Low Time	15		ns
t_{CLCH}	Rise Time		20	ns
t_{CHCL}	Fall Time		20	ns



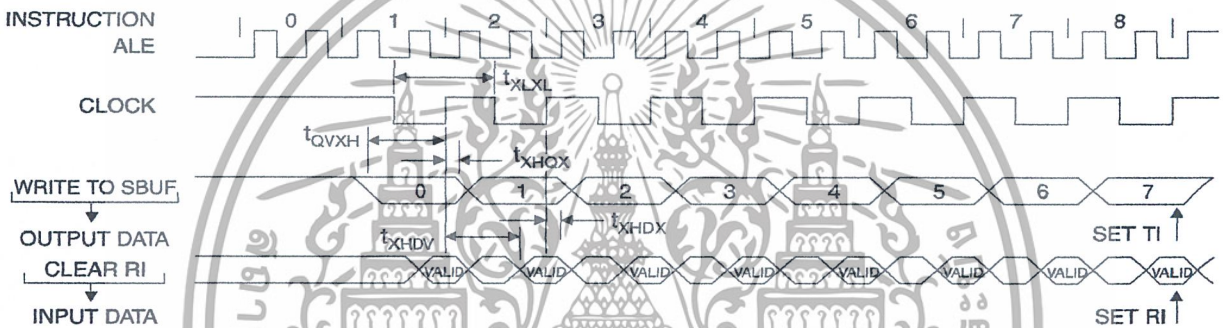
เอกสารนี้เป็นเอกสารที่สงวนไว้สำหรับการใช้งานเพื่อการศึกษาเท่านั้น ไม่อนุญาตให้นำไปใช้ประโยชน์ด้านการค้า ไม่ว่าจะกรณีใดๆ ทั้งสิ้น อีกทั้งห้ามมิให้ดัดแปลงเนื้อหา และต้องอ้างอิงถึงเจ้าของเอกสารทุกครั้งที่มีการนำไปใช้

Serial Port Timing: Shift Register Mode Test Conditions

The values in this table are valid for $V_{CC} = 4.0V$ to $6V$ and Load Capacitance = 80 pF .

Symbol	Parameter	Variable Oscillator		Units
		Min	Max	
t_{XLXL}	Serial Port Clock Cycle Time	$12t_{CLCL}$		μs
t_{QVXH}	Output Data Setup to Clock Rising Edge	$10t_{CLCL} - 133$		ns
t_{XHGX}	Output Data Hold after Clock Rising Edge	$2t_{CLCL} - 117$		ns
t_{XHDX}	Input Data Hold after Clock Rising Edge	0		ns
t_{XHDX}	Clock Rising Edge to Input Data Valid		$10t_{CLCL} - 133$	ns

Shift Register Mode Timing Waveforms

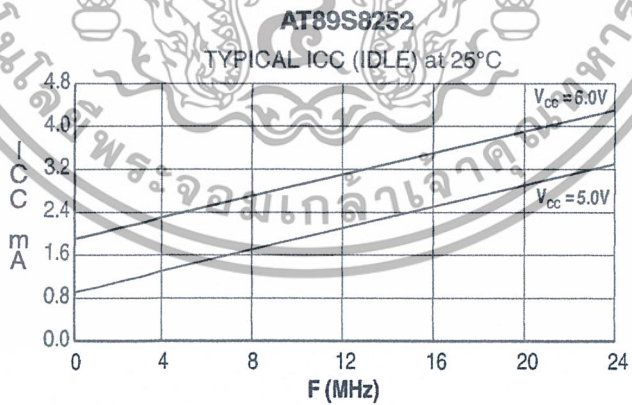
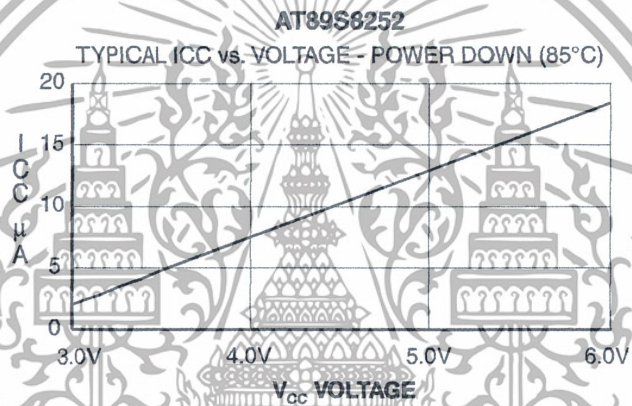
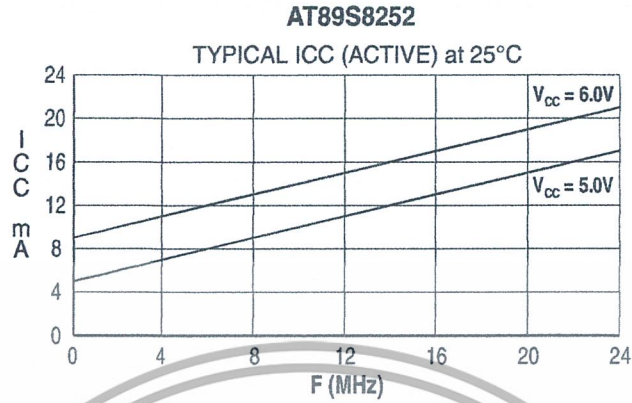


AC Testing Input/Output Waveforms (1) Float Waveforms (1)



Notes: 1. AC Inputs during testing are driven at $V_{CC} - 0.5V$ for a logic 1 and $0.45V$ for a logic 0. Timing measurements are made at V_{IH} min. for a logic 1 and V_{IL} max. for a logic 0.

Notes: 1. For timing purposes, a port pin is no longer floating when a 100 mV change from load voltage occurs. A port pin begins to float when a 100 mV change from the loaded V_{OH}/V_{OL} level occurs.



- Notes: 1. XTAL1 tied to GND for I_{cc} (power-down)
2. Lock bits programmed



เอกสารนี้เป็นเอกสารที่สงวนไว้สำหรับการใช้งานเพื่อการศึกษาด้านนั้น ไม่อนุญาตให้นำไปใช้ประโยชน์ด้านการค้า
ไม่ว่ากรณีใดๆ ทั้งสิ้น อีกทั้งห้ามมิให้ดัดแปลงเนื้อหา และต้องอ้างอิงถึงเจ้าของเอกสารทุกครั้งที่มีการนำไปใช้



Ordering Information

Speed (MHz)	Power Supply	Ordering Code	Package	Operation Range
24	4.0V to 6.0V	AT89S8252-24AC	44A	Commercial (0°C to 70°C)
		AT89S8252-24JC	44J	
		AT89S8252-24PC	40P6	
		AT89S8252-24QC	44Q	
	4.0V to 6.0V	AT89S8252-24AI	44A	Industrial (-40°C to 85°C)
		AT89S8252-24JI	44J	
		AT89S8252-24PI	40P6	
		AT89S8252-24QI	44Q	
33	4.5V to 5.5V	AT89S8252-33AC	44A	Commercial (0°C to 70°C)
		AT89S8252-33JC	44J	
		AT89S8252-33PC	40P6	
		AT89S8252-33QC	44Q	

 = Preliminary Information



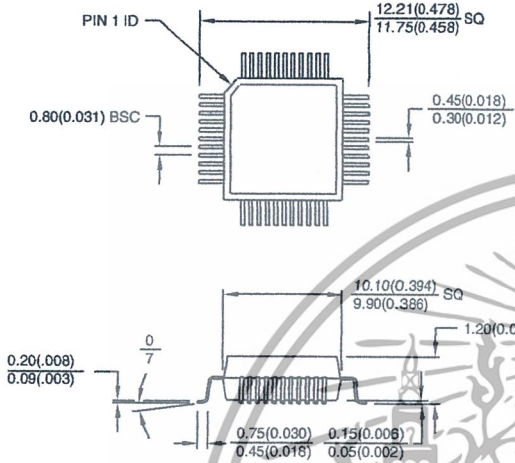
Package Type	
44A	44-lead, Thin Plastic Gull Wing Quad Flatpack (TQFP)
44J	44-lead, Plastic J-leaded Chip Carrier (PLCC)
40P6	40-lead, 0.600" Wide, Plastic Dual Inline Package (PDIP)
44Q	44-lead, Plastic Gull Wing Quad Flatpack (PQFP)

AT89S8252

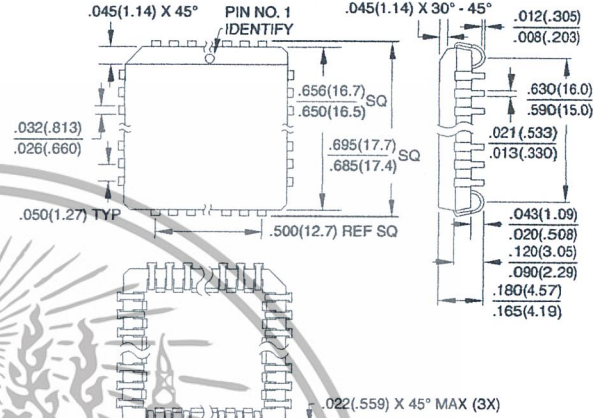
เอกสารนี้เป็นเอกสารที่สงวนไว้สำหรับการใช้งานเพื่อการศึกษาเท่านั้น ไม่อนุญาตให้นำไปใช้ประโยชน์ด้านการค้า ไม่ว่าจะกรณีใดๆ ทั้งสิ้น อีกทั้งห้ามมิให้ดัดแปลงเนื้อหา และต้องอ้างอิงถึงเจ้าของเอกสารทุกครั้งที่มีการนำไปใช้

Packaging Information

44A, 44-lead, Thin (1.0 mm) Plastic Gull Wing Quad Flatpack (TQFP)
 Dimensions in Millimeters and (Inches)*
 JEDEC STANDARD MS-026 ACB

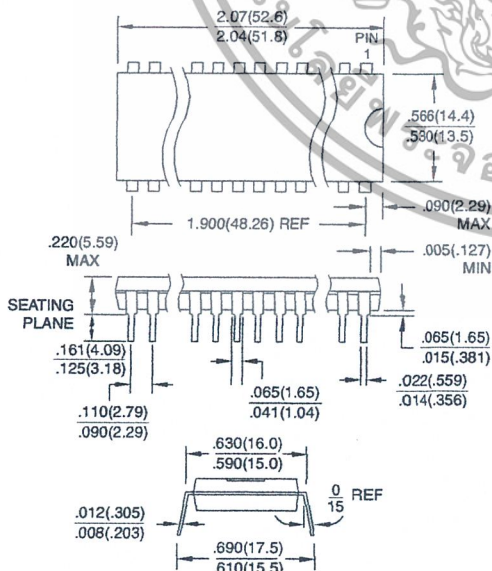


44J, 44-lead, Plastic J-leaded Chip Carrier (PLCC)
 Dimensions in Inches and (Millimeters)
 JEDEC STANDARD MS-018 AC

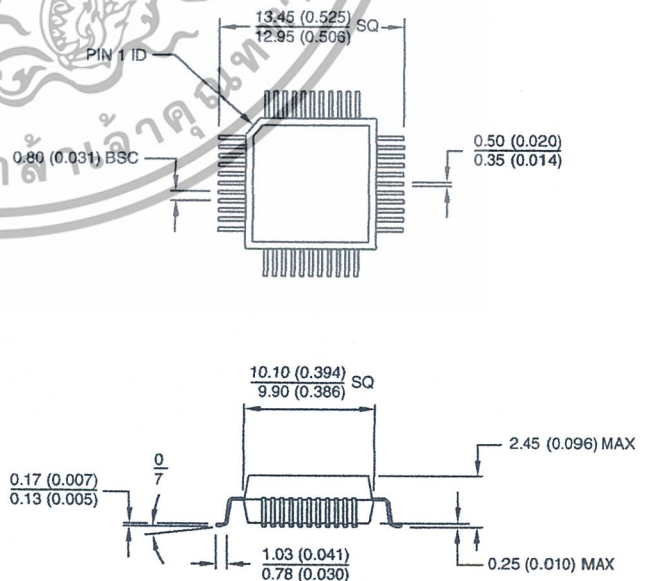


Controlling dimension: millimeters

40P6, 40-lead, 0.600" Wide, Plastic Dual In-line Package (PDIP)
 Dimensions in Inches and (Millimeters)



44Q, 44-lead, Plastic Quad Flat Package (PQFP)
 Dimensions in Millimeters and (Inches)*
 JEDEC STANDARD MS-022 AB



Controlling dimension: millimeters



เอกสารนี้เป็นเอกสารที่สงวนไว้สำหรับการใช้งานเพื่อการศึกษาเท่านั้น ไม่อนุญาตให้นำไปใช้ประโยชน์ด้านการค้า
 ไม่ว่ากรณีใดๆ ทั้งสิ้น อีกทั้งห้ามมิให้ดัดแปลงเนื้อหา และต้องอ้างอิงถึงเจ้าของเอกสารทุกครั้งที่มีการนำไปใช้



82C55A CHMOS PROGRAMMABLE PERIPHERAL INTERFACE

- Compatible with all Intel and Most Other Microprocessors
- High Speed, "Zero Wait State" Operation with 8 MHz 8086/88 and 80186/188
- 24 Programmable I/O Pins
- Low Power CHMOS
- Completely TTL Compatible
- Control Word Read-Back Capability
- Direct Bit Set/Reset Capability
- 2.5 mA DC Drive Capability on all I/O Port Outputs
- Available in 40-Pin DIP and 44-Pin PLCC
- Available in EXPRESS
 - Standard Temperature Range
 - Extended Temperature Range

The Intel 82C55A is a high-performance, CHMOS version of the industry standard 8255A general purpose programmable I/O device which is designed for use with all Intel and most other microprocessors. It provides 24 I/O pins which may be individually programmed in 2 groups of 12 and used in 3 major modes of operation. The 82C55A is pin compatible with the NMOS 8255A and 8255A-5.

In MODE 0, each group of 12 I/O pins may be programmed in sets of 4 and 8 to be inputs or outputs. In MODE 1, each group may be programmed to have 8 lines of input or output. 3 of the remaining 4 pins are used for handshaking and interrupt control signals. MODE 2 is a strobed bi-directional bus configuration.

The 82C55A is fabricated on Intel's advanced CHMOS III technology which provides low power consumption with performance equal to or greater than the equivalent NMOS product. The 82C55A is available in 40-pin DIP and 44-pin plastic leaded chip carrier (PLCC) packages.

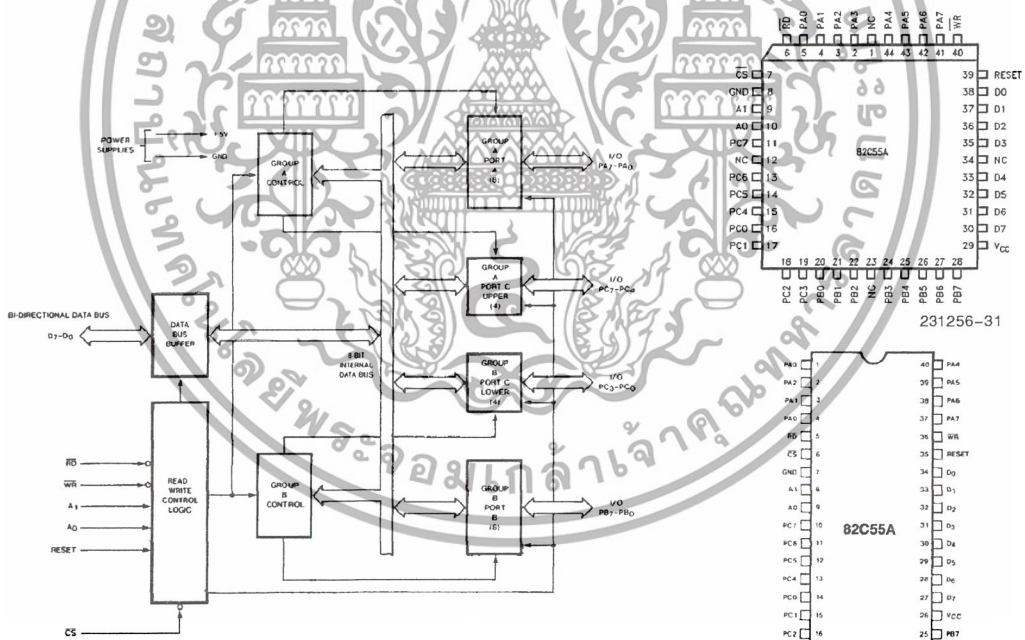


Figure 1. 82C55A Block Diagram

231256-1

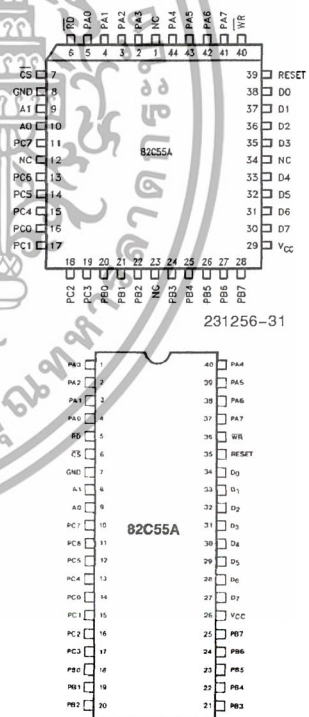


Figure 2. 82C55A Pinout
Diagrams are for pin reference only. Package sizes are not to scale.

231256-2

Table 1. Pin Description

Symbol	Pin Number Dip PLCC		Type	Name and Function		
PA ₃₋₀	1-4	2-5	I/O	PORT A, PINS 0-3: Lower nibble of an 8-bit data output latch/buffer and an 8-bit data input latch.		
\overline{RD}	5	6	I	READ CONTROL: This input is low during CPU read operations.		
\overline{CS}	6	7	I	CHIP SELECT: A low on this input enables the 82C55A to respond to \overline{RD} and \overline{WR} signals. \overline{RD} and \overline{WR} are ignored otherwise.		
GND	7	8		System Ground		
A ₁₋₀	8-9	9-10	I	ADDRESS: These input signals, in conjunction \overline{RD} and \overline{WR} , control the selection of one of the three ports or the control word registers.		
	A ₁	A ₀	\overline{RD}	\overline{WR}	\overline{CS}	Input Operation (Read)
	0	0	0	1	0	Port A - Data Bus
	0	1	0	1	0	Port B - Data Bus
	1	0	0	1	0	Port C - Data Bus
	1	1	0	1	0	Control Word - Data Bus
						Output Operation (Write)
	0	0	1	0	0	Data Bus - Port A
	0	1	1	0	0	Data Bus - Port B
	1	0	1	0	0	Data Bus - Port C
	1	1	1	0	0	Data Bus - Control
						Disable Function
	X	X	X	X	1	Data Bus - 3 - State
	X	X	1	1	0	Data Bus - 3 - State
PC ₇₋₄	10-13	11,13-15	I/O	PORT C, PINS 4-7: Upper nibble of an 8-bit data output latch/buffer and an 8-bit data input buffer (no latch for input). This port can be divided into two 4-bit ports under the mode control. Each 4-bit port contains a 4-bit latch and it can be used for the control signal outputs and status signal inputs in conjunction with ports A and B.		
PC ₀₋₃	14-17	16-19	I/O	PORT C, PINS 0-3: Lower nibble of Port C.		
PB ₀₋₇	18-25	20-22, 24-28	I/O	PORT B, PINS 0-7: An 8-bit data output latch/buffer and an 8-bit data input buffer.		
V _{CC}	26	29		SYSTEM POWER: + 5V Power Supply.		
D ₇₋₀	27-34	30-33, 35-38	I/O	DATA BUS: Bi-directional, tri-state data bus lines, connected to system data bus.		
RESET	35	39	I	RESET: A high on this input clears the control register and all ports are set to the input mode.		
\overline{WR}	36	40	I	WRITE CONTROL: This input is low during CPU write operations.		
PA ₇₋₄	37-40	41-44	I/O	PORT A, PINS 4-7: Upper nibble of an 8-bit data output latch/buffer and an 8-bit data input latch.		
NC		1, 12, 23, 34		No Connect		

82C55A FUNCTIONAL DESCRIPTION

General

The 82C55A is a programmable peripheral interface device designed for use in Intel microcomputer systems. Its function is that of a general purpose I/O component to interface peripheral equipment to the microcomputer system bus. The functional configuration of the 82C55A is programmed by the system software so that normally no external logic is necessary to interface peripheral devices or structures.

Data Bus Buffer

This 3-state bidirectional 8-bit buffer is used to interface the 82C55A to the system data bus. Data is transmitted or received by the buffer upon execution of input or output instructions by the CPU. Control words and status information are also transferred through the data bus buffer.

Read/Write and Control Logic

The function of this block is to manage all of the internal and external transfers of both Data and Control or Status words. It accepts inputs from the CPU Address and Control busses and in turn, issues commands to both of the Control Groups.

Group A and Group B Controls

The functional configuration of each port is programmed by the systems software. In essence, the CPU "outputs" a control word to the 82C55A. The control word contains information such as "mode", "bit set", "bit reset", etc., that initializes the functional configuration of the 82C55A.

Each of the Control blocks (Group A and Group B) accepts "commands" from the Read/Write Control Logic, receives "control words" from the internal data bus and issues the proper commands to its associated ports.

Control Group A - Port A and Port C upper (C7–C4)
Control Group B - Port B and Port C lower (C3–C0)

The control word register can be both written and read as shown in the address decode table in the pin descriptions. Figure 6 shows the control word format for both Read and Write operations. When the control word is read, bit D7 will always be a logic "1", as this implies control word mode information.

Ports A, B, and C

The 82C55A contains three 8-bit ports (A, B, and C). All can be configured in a wide variety of functional characteristics by the system software but each has its own special features or "personality" to further enhance the power and flexibility of the 82C55A.

Port A. One 8-bit data output latch/buffer and one 8-bit input latch/buffer. Both "pull-up" and "pull-down" bus hold devices are present on Port A.

Port B. One 8-bit data input/output latch/buffer. Only "pull-up" bus hold devices are present on Port B.

Port C. One 8-bit data output latch/buffer and one 8-bit data input buffer (no latch for input). This port can be divided into two 4-bit ports under the mode control. Each 4-bit port contains a 4-bit latch and it can be used for the control signal outputs and status signal inputs in conjunction with ports A and B. Only "pull-up" bus hold devices are present on Port C.

See Figure 4 for the bus-hold circuit configuration for Port A, B, and C.

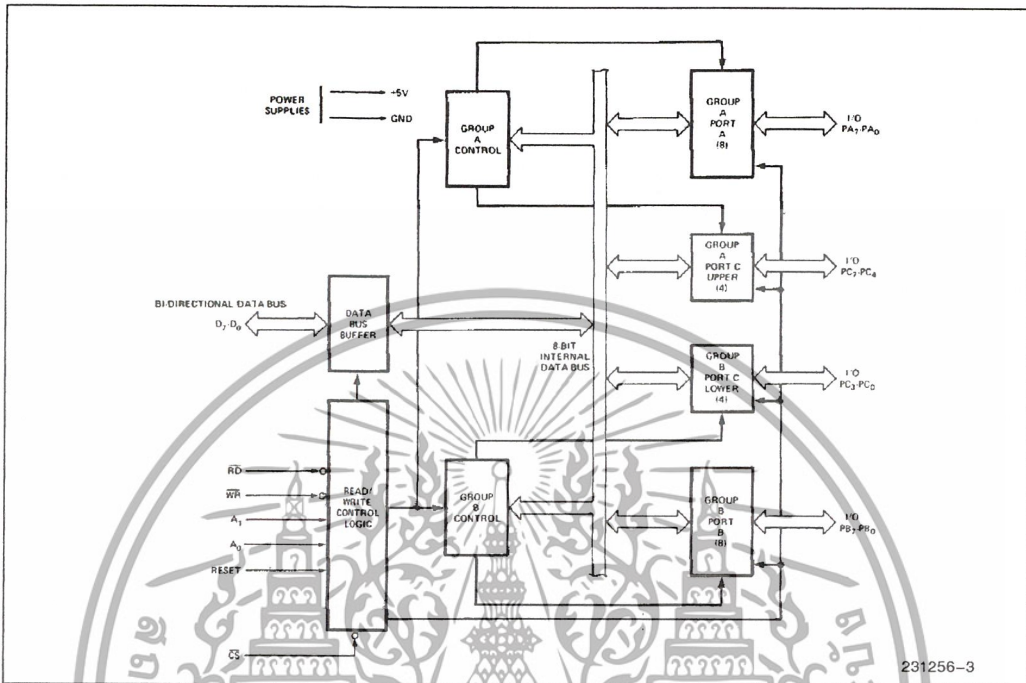


Figure 3. 82C55A Block Diagram Showing Data Bus Buffer and Read/Write Control Logic Functions

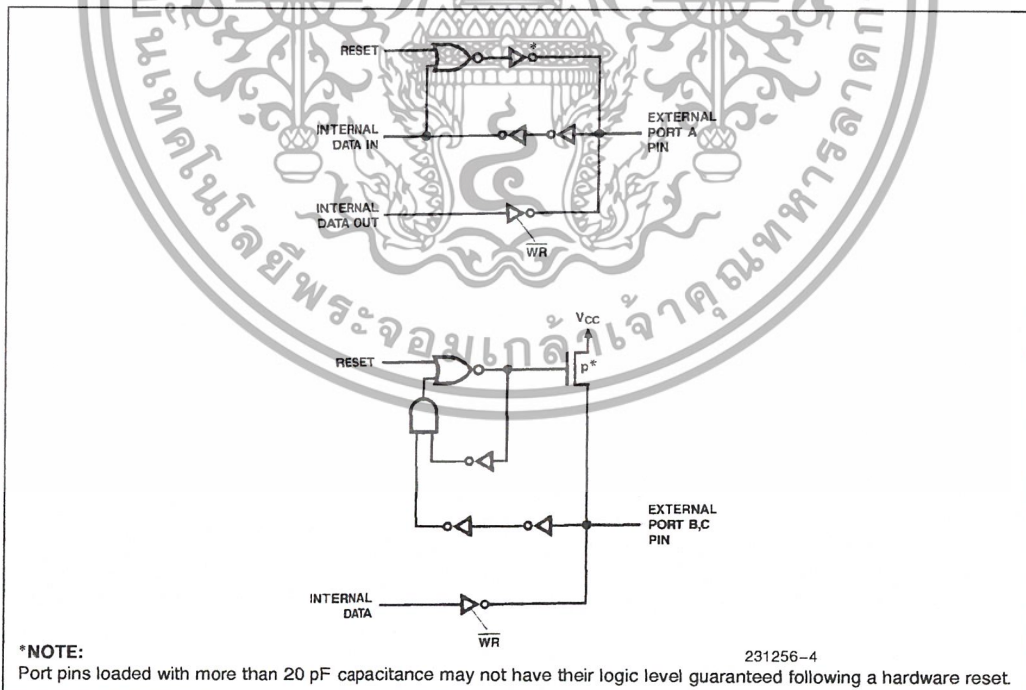


Figure 4. Port A, B, C, Bus-hold Configuration

เอกสารนี้เป็นเอกสารที่สงวนไว้สำหรับการใช้งานเพื่อการศึกษาเท่านั้น ไม่อนุญาตให้นำไปใช้ประโยชน์ด้านการค้า
ไม่ว่ากรณีใดๆ ทั้งสิ้น อีกทั้งห้ามมิให้ดัดแปลงเนื้อหา และต้องอ้างอิงถึงเจ้าของเอกสารทุกครั้งที่มีการนำไปใช้

82C55A OPERATIONAL DESCRIPTION

Mode Selection

There are three basic modes of operation that can be selected by the system software:

- Mode 0 — Basic input/output
- Mode 1 — Strobed Input/output
- Mode 2 — Bi-directional Bus

When the reset input goes "high" all ports will be set to the input mode with all 24 port lines held at a logic "one" level by the internal bus hold devices (see Figure 4 Note). After the reset is removed the 82C55A can remain in the input mode with no additional initialization required. This eliminates the need for pullup or pulldown devices in "all CMOS" designs. During the execution of the system program, any of the other modes may be selected by using a single output instruction. This allows a single 82C55A to service a variety of peripheral devices with a simple software maintenance routine.

The modes for Port A and Port B can be separately defined, while Port C is divided into two portions as required by the Port A and Port B definitions. All of the output registers, including the status flip-flops, will be reset whenever the mode is changed. Modes may be combined so that their functional definition can be "tailored" to almost any I/O structure. For instance; Group B can be programmed in Mode 0 to monitor simple switch closings or display computational results, Group A could be programmed in Mode 1 to monitor a keyboard or tape reader on an interrupt-driven basis.

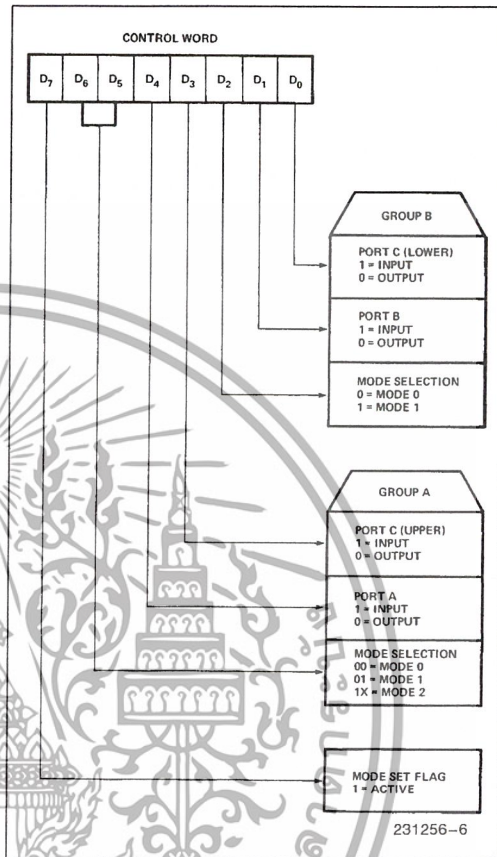


Figure 6. Mode Definition Format

The mode definitions and possible mode combinations may seem confusing at first but after a cursory review of the complete device operation a simple, logical I/O approach will surface. The design of the 82C55A has taken into account things such as efficient PC board layout, control signal definition vs PC layout and complete functional flexibility to support almost any peripheral device with no external logic. Such design represents the maximum use of the available pins.

Single Bit Set/Reset Feature

Any of the eight bits of Port C can be Set or Reset using a single OUTput instruction. This feature reduces software requirements in Control-based applications.

When Port C is being used as status/control for Port A or B, these bits can be set or reset by using the Bit Set/Reset operation just as if they were data output ports.

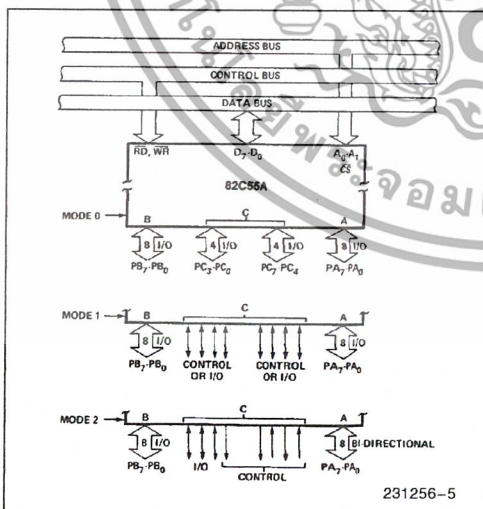


Figure 5. Basic Mode Definitions and Bus Interface

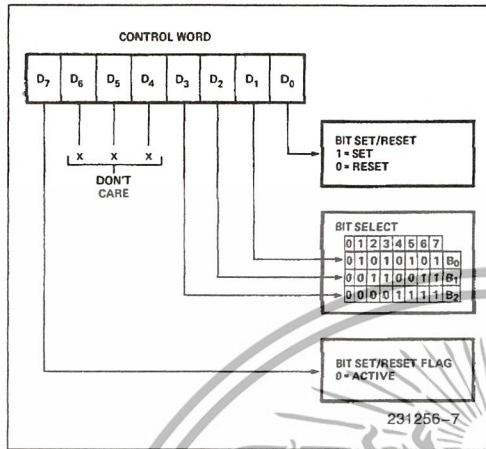


Figure 7. Bit Set/Reset Format

Interrupt Control Functions

When the 82C55A is programmed to operate in mode 1 or mode 2, control signals are provided that can be used as interrupt request inputs to the CPU. The interrupt request signals, generated from port C, can be inhibited or enabled by setting or resetting the associated INTE flip-flop, using the bit set/reset function of port C.

This function allows the Programmer to disallow or allow a specific I/O device to interrupt the CPU without affecting any other device in the interrupt structure.

INTE flip-flop definition:

- (BIT-SET)—INTE is SET—Interrupt enable
- (BIT-RESET)—INTE is RESET—Interrupt disable

Note:

All Mask flip-flops are automatically reset during mode selection and device Reset.

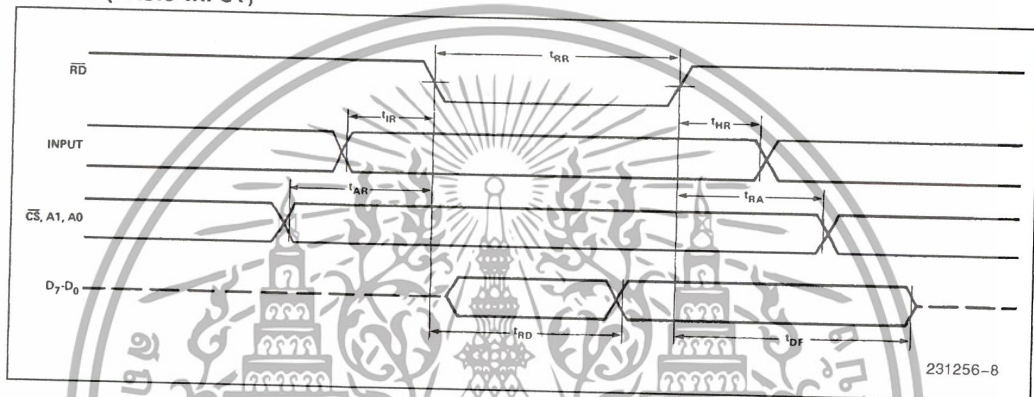
Operating Modes

Mode 0 (Basic Input/Output). This functional configuration provides simple input and output operations for each of the three ports. No "handshaking" is required, data is simply written to or read from a specified port.

Mode 0 Basic Functional Definitions:

- Two 8-bit ports and two 4-bit ports.
- Any port can be input or output.
- Outputs are latched.
- Inputs are not latched.
- 16 different Input/Output configurations are possible in this Mode.

MODE 0 (BASIC INPUT)



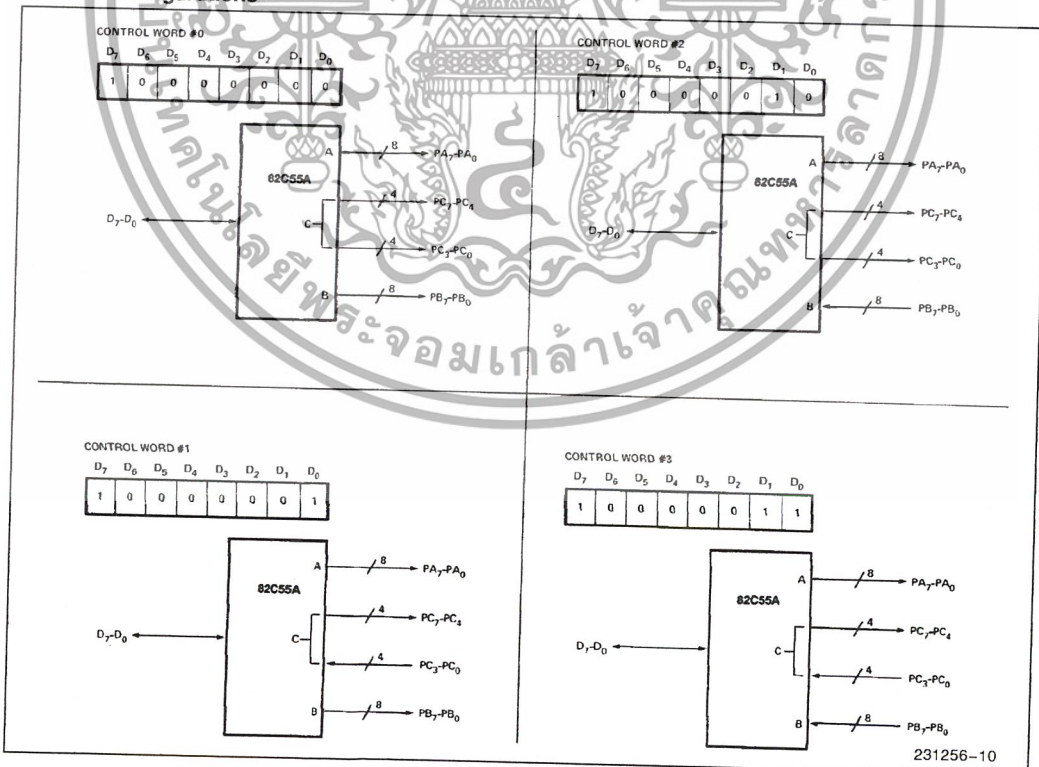
MODE 0 (BASIC OUTPUT)



MODE 0 Port Definition

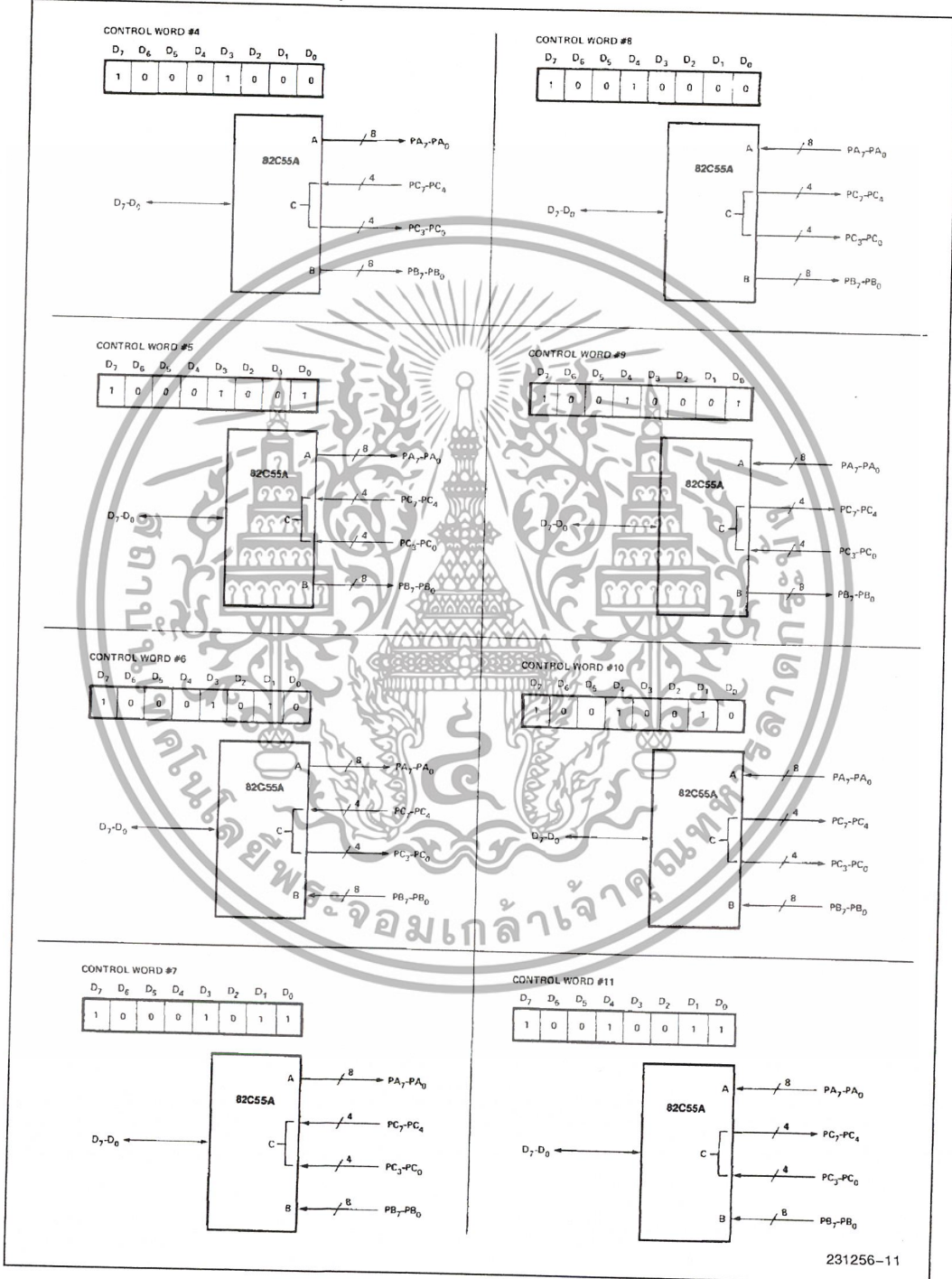
A		B		GROUP A			GROUP B	
D ₄	D ₃	D ₁	D ₀	PORT A	PORT C (UPPER)	#	PORT B	PORT C (LOWER)
0	0	0	0	OUTPUT	OUTPUT	0	OUTPUT	OUTPUT
0	0	0	1	OUTPUT	OUTPUT	1	OUTPUT	INPUT
0	0	1	0	OUTPUT	OUTPUT	2	INPUT	OUTPUT
0	0	1	1	OUTPUT	OUTPUT	3	INPUT	INPUT
0	1	0	0	OUTPUT	INPUT	4	OUTPUT	OUTPUT
0	1	0	1	OUTPUT	INPUT	5	OUTPUT	INPUT
0	1	1	0	OUTPUT	INPUT	6	INPUT	OUTPUT
0	1	1	1	OUTPUT	INPUT	7	INPUT	INPUT
1	0	0	0	INPUT	OUTPUT	8	OUTPUT	OUTPUT
1	0	0	1	INPUT	OUTPUT	9	OUTPUT	INPUT
1	0	1	0	INPUT	OUTPUT	10	INPUT	OUTPUT
1	0	1	1	INPUT	OUTPUT	11	INPUT	INPUT
1	1	0	0	INPUT	INPUT	12	OUTPUT	OUTPUT
1	1	0	1	INPUT	INPUT	13	OUTPUT	INPUT
1	1	1	0	INPUT	INPUT	14	INPUT	OUTPUT
1	1	1	1	INPUT	INPUT	15	INPUT	INPUT

MODE 0 Configurations



เอกสารนี้เป็นเอกสารที่สงวนไว้สำหรับการใช้งานเพื่อการศึกษาเท่านั้น ไม่อนุญาตให้นำไปใช้ประโยชน์ด้านการค้า
ไม่ว่ากรณีใดๆ ทั้งสิ้น อีกทั้งห้ามมิให้ดัดแปลงเนื้อหา และต้องอ้างอิงถึงเจ้าของเอกสารทุกครั้งที่มีการนำไปใช้

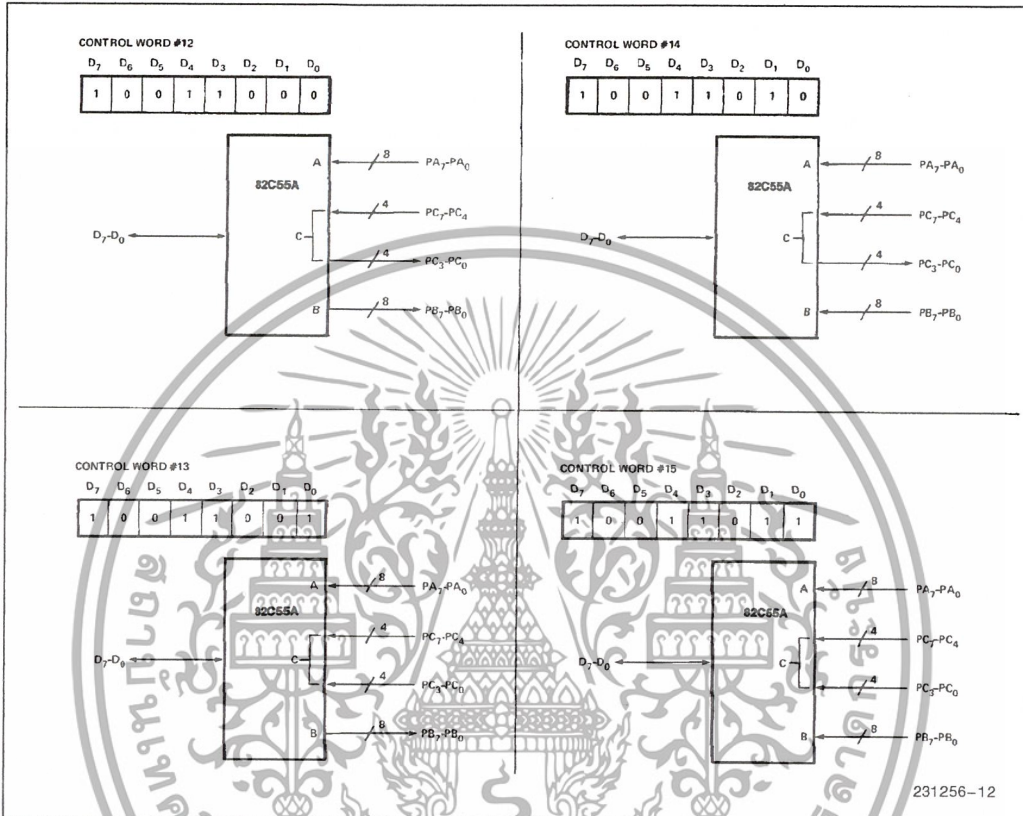
MODE 0 Configurations (Continued)



231256-11

เอกสารนี้เป็นเอกสารที่สงวนไว้สำหรับการใช้งานเพื่อการศึกษาเท่านั้น ไม่อนุญาตให้นำไปใช้ประโยชน์ด้านการค้า
ไม่ว่ากรณีใดๆ ทั้งสิ้น อีกทั้งห้ามมิให้ดัดแปลงเนื้อหา และต้องอ้างอิงถึงเจ้าของเอกสารทุกครั้งที่มีการนำไปใช้

MODE 0 Configurations (Continued)



Operating Modes

MODE 1 (Strobed Input/Output). This functional configuration provides a means for transferring I/O data to or from a specified port in conjunction with strobes or “handshaking” signals. In mode 1, Port A and Port B use the lines on Port C to generate or accept these “handshaking” signals.

Mode 1 Basic functional Definitions:

- Two Groups (Group A and Group B).
- Each group contains one 8-bit data port and one 4-bit control/data port.
- The 8-bit data port can be either input or output. Both inputs and outputs are latched.
- The 4-bit port is used for control and status of the 8-bit data port.

Input Control Signal Definition

STB (Strobe Input). A "low" on this input loads data into the input latch.

IBF (Input Buffer Full F/F)

A "high" on this output indicates that the data has been loaded into the input latch; in essence, an acknowledgement. IBF is set by STB input being low and is reset by the rising edge of the RD input.

INTR (Interrupt Request)

A "high" on this output can be used to interrupt the CPU when an input device is requesting service. INTR is set by the STB is a "one", IBF is a "one" and INTE is a "one". It is reset by the falling edge of RD. This procedure allows an input device to request service from the CPU by simply strobing its data into the port.

INTE A

Controlled by bit set/reset of PC₄.

INTE B

Controlled by bit set/reset of PC₂.

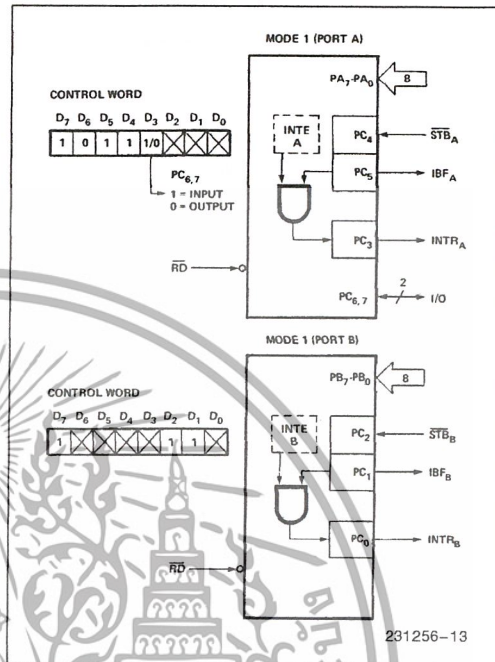


Figure 8. MODE 1 Input

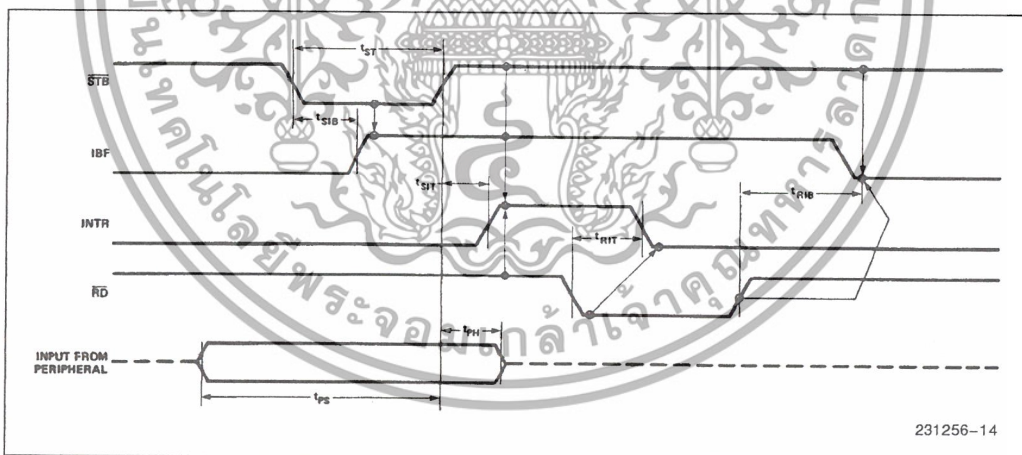


Figure 9. MODE 1 (Strobed Input)

Output Control Signal Definition

OBF (Output Buffer Full F/F). The $\overline{\text{OBF}}$ output will go “low” to indicate that the CPU has written data out to the specified port. The $\overline{\text{OBF}}$ F/F will be set by the rising edge of the WR input and reset by ACK Input being low.

ACK (Acknowledge Input). A “low” on this input informs the 82C55A that the data from Port A or Port B has been accepted. In essence, a response from the peripheral device indicating that it has received the data output by the CPU.

INTR (Interrupt Request). A “high” on this output can be used to interrupt the CPU when an output device has accepted data transmitted by the CPU. INTR is set when ACK is a “one”, OBF is a “one” and INTE is a “one”. It is reset by the falling edge of WR.

- INTE A**
Controlled by bit set/reset of PC₆.
- INTE B**
Controlled by bit set/reset of PC₂.

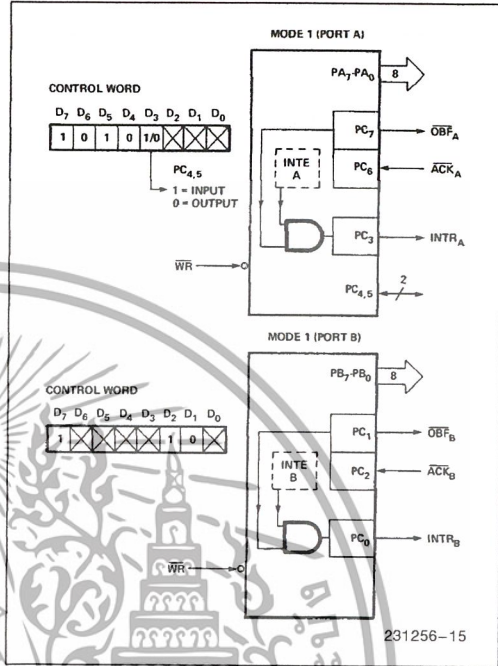


Figure 10. MODE 1 Output

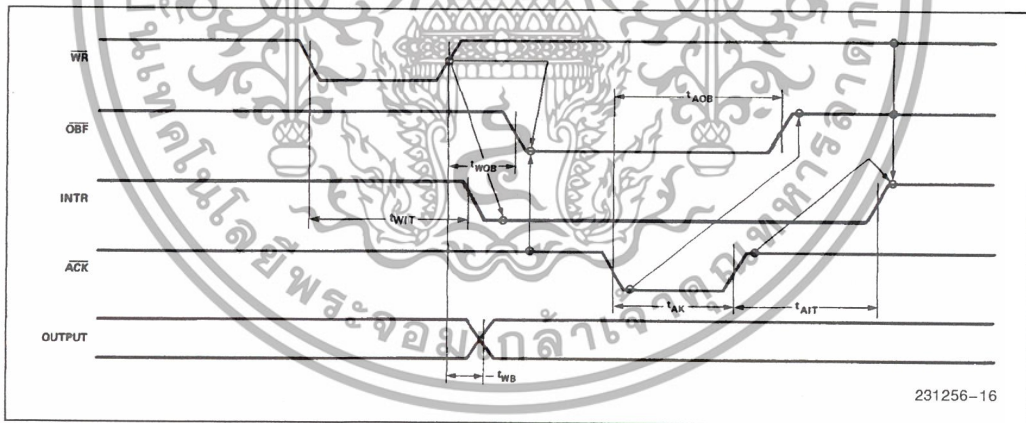


Figure 11. MODE 1 (Strobed Output)

Combinations of MODE 1

Port A and Port B can be individually defined as input or output in Mode 1 to support a wide variety of strobed I/O applications.

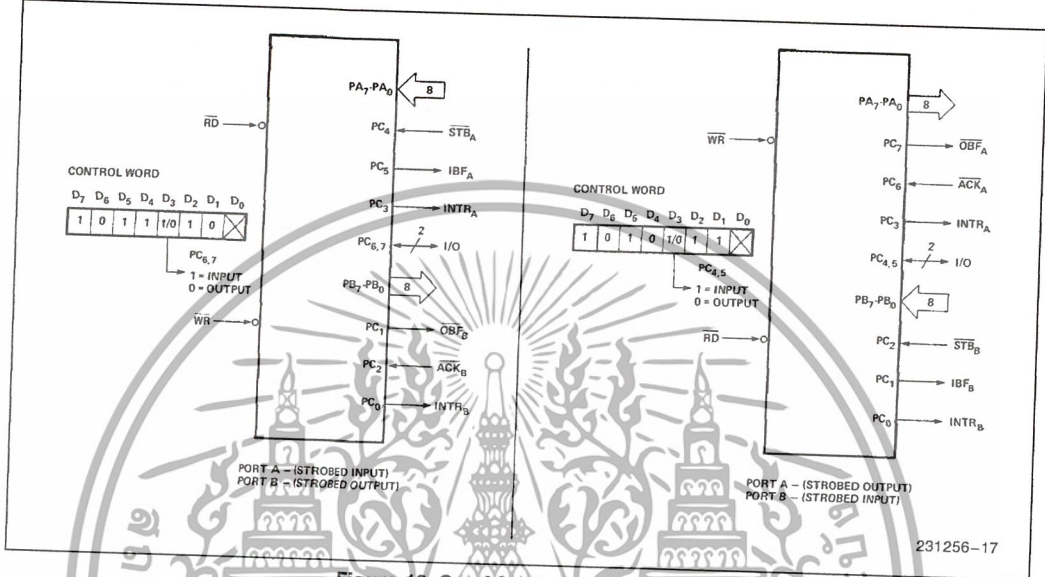


Figure 12. Combinations of MODE 1

Operating Modes

MODE 2 (Strobed Bidirectional Bus I/O). This functional configuration provides a means for communicating with a peripheral device or structure on a single 8-bit bus for both transmitting and receiving data (bidirectional bus I/O). "Handshaking" signals are provided to maintain proper bus flow discipline in a similar manner to MODE 1. Interrupt generation and enable/disable functions are also available.

MODE 2 Basic Functional Definitions:

- Used in Group A **only**.
- One 8-bit, bi-directional bus port (Port A) and a 5-bit control port (Port C).
- Both inputs and outputs are latched.
- The 5-bit control port (Port C) is used for control and status for the 8-bit, bi-directional bus port (Port A).

Bidirectional Bus I/O Control Signal Definition

INTR (Interrupt Request). A high on this output can be used to interrupt the CPU for input or output operations.

Output Operations

OBF (Output Buffer Full). The \overline{OBF} output will go "low" to indicate that the CPU has written data out to port A.

ACK (Acknowledge). A "low" on this input enables the tri-state output buffer of Port A to send out the data. Otherwise, the output buffer will be in the high impedance state.

INTE 1 (The INTE Flip-Flop Associated with OBF). Controlled by bit set/reset of PC₆.

Input Operations

STB (Strobe Input). A "low" on this input loads data into the input latch.

IBF (Input Buffer Full F/F). A "high" on this output indicates that data has been loaded into the input latch.

INTE 2 (The INTE Flip-Flop Associated with IBF). Controlled by bit set/reset of PC₄.

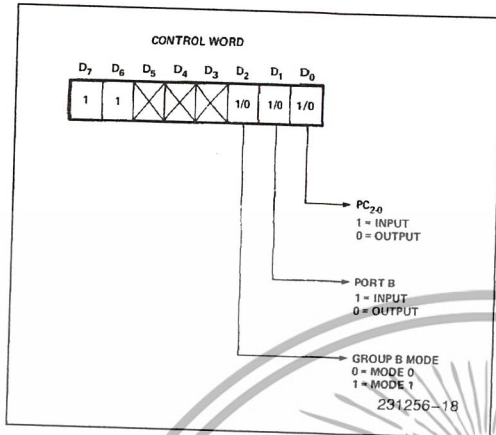


Figure 13. MODE Control Word

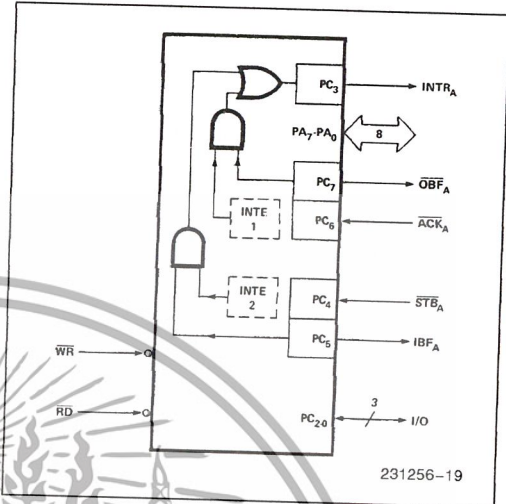


Figure 14. MODE 2

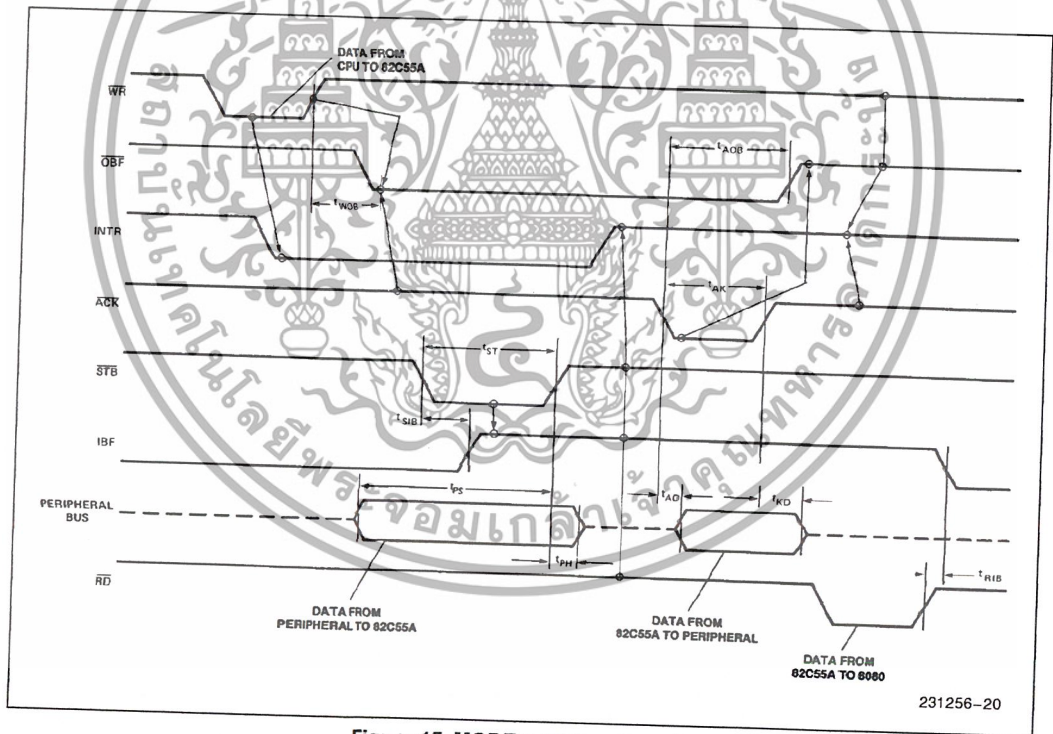


Figure 15. MODE 2 (Bidirectional)

NOTE:
Any sequence where \overline{WR} occurs before \overline{ACK} , and \overline{STB} occurs before \overline{RD} is permissible.
($INTR = IBF \cdot MASK \cdot \overline{STB} \cdot \overline{RD} + OBF \cdot MASK \cdot \overline{ACK} \cdot \overline{WR}$)

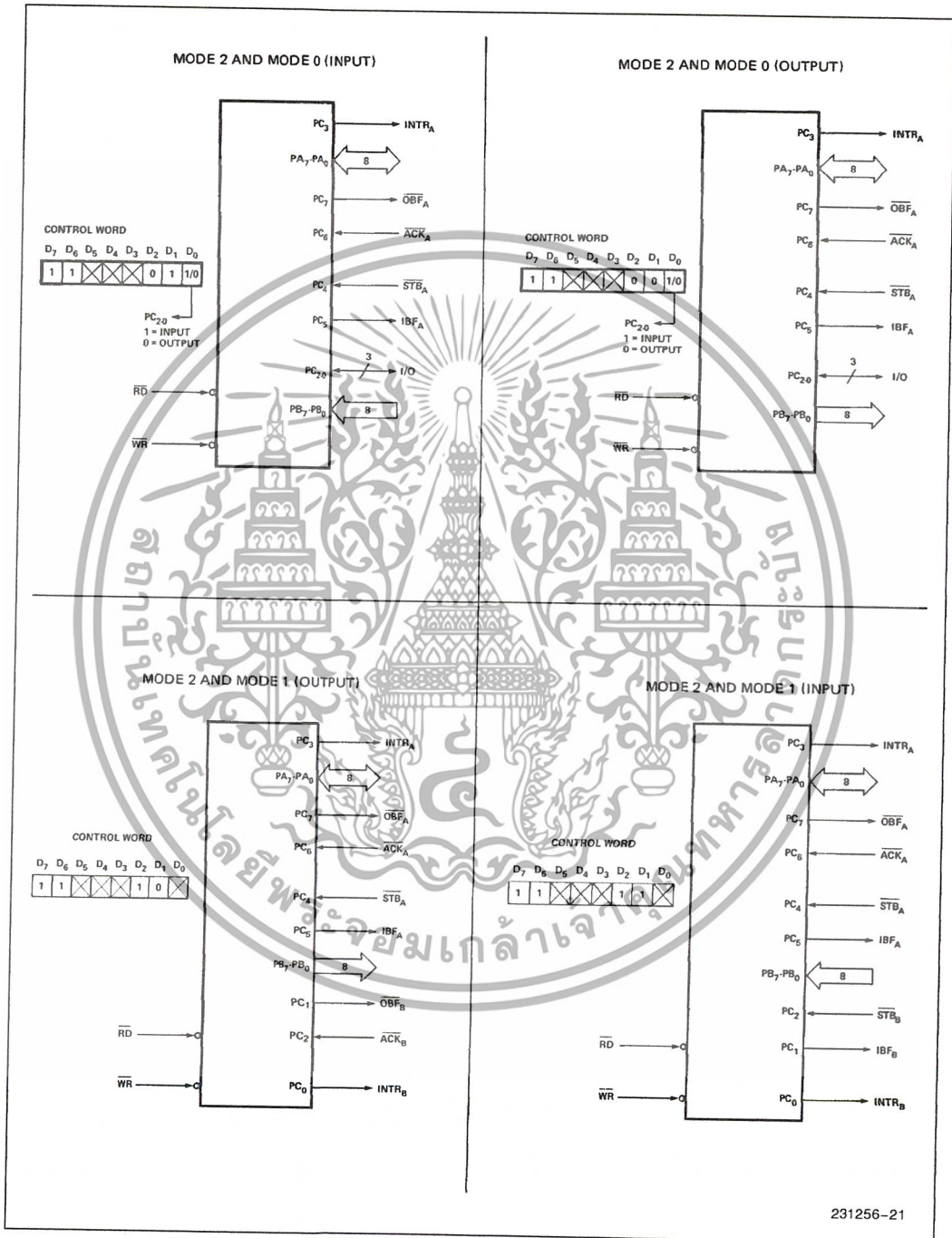


Figure 16. MODE 1/4 Combinations

231256-21

เอกสารนี้เป็นเอกสารที่สงวนไว้สำหรับการใช้งานเพื่อการศึกษาเท่านั้น ไม่อนุญาตให้นำไปใช้ประโยชน์ด้านการค้า
ไม่ว่ากรณีใดๆ ทั้งสิ้น อีกทั้งห้ามมิให้ดัดแปลงเนื้อหา และต้องอ้างอิงถึงเจ้าของเอกสารทุกครั้งที่มีการนำไปใช้

Mode Definition Summary

	MODE 0		MODE 1		MODE 2
	IN	OUT	IN	OUT	GROUP A ONLY
PA ₀	IN	OUT	IN	OUT	↔
PA ₁	IN	OUT	IN	OUT	↔
PA ₂	IN	OUT	IN	OUT	↔
PA ₃	IN	OUT	IN	OUT	↔
PA ₄	IN	OUT	IN	OUT	↔
PA ₅	IN	OUT	IN	OUT	↔
PA ₆	IN	OUT	IN	OUT	↔
PA ₇	IN	OUT	IN	OUT	↔
PB ₀	IN	OUT	IN	OUT	—
PB ₁	IN	OUT	IN	OUT	—
PB ₂	IN	OUT	IN	OUT	—
PB ₃	IN	OUT	IN	OUT	—
PB ₄	IN	OUT	IN	OUT	—
PB ₅	IN	OUT	IN	OUT	—
PB ₆	IN	OUT	IN	OUT	—
PB ₇	IN	OUT	IN	OUT	—
PC ₀	IN	OUT	INTR _B	INTR _B	I/O
PC ₁	IN	OUT	IBF _B	OBF _B	I/O
PC ₂	IN	OUT	STB _B	ACK _B	I/O
PC ₃	IN	OUT	INTR _A	INTR _A	INTR _A
PC ₄	IN	OUT	STB _A	I/O	STB _A
PC ₅	IN	OUT	IBF _A	I/O	IBF _A
PC ₆	IN	OUT	I/O	ACK _A	ACK _A
PC ₇	IN	OUT	I/O	OBF _A	OBF _A

MODE 0 OR MODE 1 ONLY

Special Mode Combination Considerations

There are several combinations of modes possible. For any combination, some or all of the Port C lines are used for control or status. The remaining bits are either inputs or outputs as defined by a "Set Mode" command.

During a read of Port C, the state of all the Port C lines, except the ACK and STB lines, will be placed on the data bus. In place of the ACK and STB line states, flag status will appear on the data bus in the PC2, PC4, and PC6 bit positions as illustrated by Figure 18.

Through a "Write Port C" command, only the Port C pins programmed as outputs in a Mode 0 group can be written. No other pins can be affected by a "Write Port C" command, nor can the interrupt enable flags be accessed. To write to any Port C output programmed as an output in a Mode 1 group or to

change an interrupt enable flag, the "Set/Reset Port C Bit" command must be used.

With a "Set/Reset Port C Bit" command, any Port C line programmed as an output (including INTR, IBF and OBF) can be written, or an interrupt enable flag can be either set or reset. Port C lines programmed as inputs, including ACK and STB lines, associated with Port C are not affected by a "Set/Reset Port C Bit" command. Writing to the corresponding Port C bit positions of the ACK and STB lines with the "Set/Reset Port C Bit" command will affect the Group A and Group B interrupt enable flags, as illustrated in Figure 18.

Current Drive Capability

Any output on Port A, B or C can sink or source 2.5 mA. This feature allows the 82C55A to directly drive Darlington type drivers and high-voltage displays that require such sink or source current.

Reading Port C Status

In Mode 0, Port C transfers data to or from the peripheral device. When the 82C55A is programmed to function in Modes 1 or 2, Port C generates or accepts “hand-shaking” signals with the peripheral device. Reading the contents of Port C allows the programmer to test or verify the “status” of each peripheral device and change the program flow accordingly.

There is no special instruction to read the status information from Port C. A normal read operation of Port C is executed to perform this function.

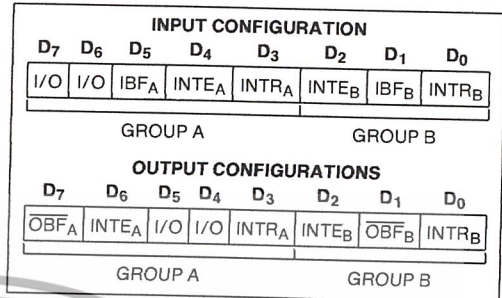


Figure 17a. MODE 1 Status Word Format

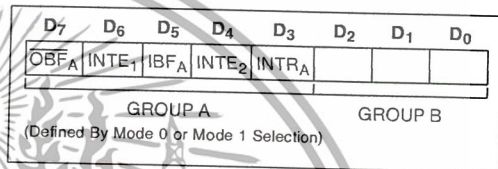


Figure 17b. MODE 2 Status Word Format

Interrupt Enable Flag	Position	Alternate Port C Pin Signal (Mode)
INTE B	PC2	ACK _B (Output Mode 1) or STB _B (Input Mode 1)
INTE A2	PC4	STB _A (Input Mode 1 or Mode 2)
INTE A1	PC6	ACK _A (Output Mode 1 or Mode 2)

Figure 18. Interrupt Enable Flags in Modes 1 and 2

ABSOLUTE MAXIMUM RATINGS*

Ambient Temperature Under Bias	... 0°C to + 70°C
Storage Temperature	... - 65°C to + 150°C
Supply Voltage	... - 0.5 to + 8.0V
Operating Voltage	... + 4V to + 7V
Voltage on any Input	... GND - 2V to + 6.5V
Voltage on any Output	... GND - 0.5V to V _{CC} + 0.5V
Power Dissipation	... 1 Watt

NOTICE: This is a production data sheet. The specifications are subject to change without notice.

*WARNING: Stressing the device beyond the "Absolute Maximum Ratings" may cause permanent damage. These are stress ratings only. Operation beyond the "Operating Conditions" is not recommended and extended exposure beyond the "Operating Conditions" may affect device reliability.

D.C. CHARACTERISTICS

T_A = 0°C to 70°C, V_{CC} = +5V ±10%, GND = 0V (T_A = -40°C to +85°C for Extended Temperature)

Symbol	Parameter	Min	Max	Units	Test Conditions
V _{IL}	Input Low Voltage	-0.5	0.8	V	
V _{IH}	Input High Voltage	2.0	V _{CC}	V	
V _{OL}	Output Low Voltage		0.4	V	I _{OL} = 2.5 mA
V _{OH}	Output High Voltage	3.0	V _{CC} - 0.4	V	I _{OH} = -2.5 mA I _{OH} = -100 μA
I _{IL}	Input Leakage Current		±1	μA	V _{IN} = V _{CC} to 0V (Note 1)
I _{OFL}	Output Float Leakage Current		±10	μA	V _{IN} = V _{CC} to 0V (Note 2)
I _{DAR}	Darlington Drive Current	±2.5	(Note 4)	mA	Ports A, B, C R _{ext} = 500Ω V _{ext} = 1.7V
I _{PHL}	Port Hold Low Leakage Current	+50	+300	μA	V _{OUT} = 1.0V Port A only
I _{PHH}	Port Hold High Leakage Current	-50	-300	μA	V _{OUT} = 3.0V Ports A, B, C
I _{PHLO}	Port Hold Low Overdrive Current	-350		μA	V _{OUT} = 0.8V
I _{PHHO}	Port Hold High Overdrive Current	+350		μA	V _{OUT} = 3.0V
I _{CC}	V _{CC} Supply Current		10	mA	(Note 3)
I _{CCSB}	V _{CC} Supply Current-Standby		10	μA	V _{CC} = 5.5V V _{IN} = V _{CC} or GND Port Conditions If I/P = Open/High O/P = Open Only With Data Bus = High/Low CS = High Reset = Low Pure Inputs = Low/High

NOTES:

1. Pins A₁, A₀, CS, WR, RD, Reset.
2. Data Bus; Ports B, C.
3. Outputs open.
4. Limit output current to 4.0 mA.

CAPACITANCE

$T_A = 25^\circ\text{C}, V_{CC} = \text{GND} = 0\text{V}$

Symbol	Parameter	Min	Max	Units	Test Conditions
C_{IN}	Input Capacitance		10	pF	Unmeasured pins returned to GND $f_c = 1\text{MHz}(5)$
$C_{I/O}$	I/O Capacitance		20	pF	

NOTE:

5. Sampled not 100% tested.

A.C. CHARACTERISTICS

$T_A = 0^\circ\text{ to }70^\circ\text{C}, V_{CC} = +5\text{V} \pm 10\%, \text{GND} = 0\text{V}$

$T_A = -40^\circ\text{C to }+85^\circ\text{C for Extended Temperature}$

BUS PARAMETERS

READ CYCLE

Symbol	Parameter	82C55A-2		Units	Test Conditions
		Min	Max		
t_{AR}	Address Stable Before $\overline{RD} \downarrow$	0		ns	
t_{RA}	Address Hold Time After $\overline{RD} \uparrow$	0		ns	
t_{RR}	\overline{RD} Pulse Width	150		ns	
t_{RD}	Data Delay from $\overline{RD} \downarrow$		120	ns	
t_{DF}	$\overline{RD} \uparrow$ to Data Floating	10	75	ns	
t_{RV}	Recovery Time between $\overline{RD}/\overline{WR}$	200		ns	

WRITE CYCLE

Symbol	Parameter	82C55A-2		Units	Test Conditions
		Min	Max		
t_{AW}	Address Stable Before $\overline{WR} \downarrow$	0		ns	
t_{WA}	Address Hold Time After $\overline{WR} \uparrow$	20		ns	Ports A & B
		20		ns	Port C
t_{WW}	\overline{WR} Pulse Width	100		ns	
t_{DW}	Data Setup Time Before $\overline{WR} \uparrow$	100		ns	
t_{WD}	Data Hold Time After $\overline{WR} \uparrow$	30		ns	Ports A & B
		30		ns	Port C

เอกสารนี้เป็นเอกสารที่สงวนไว้สำหรับการใช้งานเพื่อการศึกษาเท่านั้น ไม่อนุญาตให้นำไปใช้ประโยชน์ด้านการค้า
ไม่ว่ากรณีใดๆ ทั้งสิ้น อีกทั้งห้ามมิให้ดัดแปลงเนื้อหา และต้องอ้างอิงถึงเจ้าของเอกสารทุกครั้งที่มีการนำไปใช้

OTHER TIMINGS

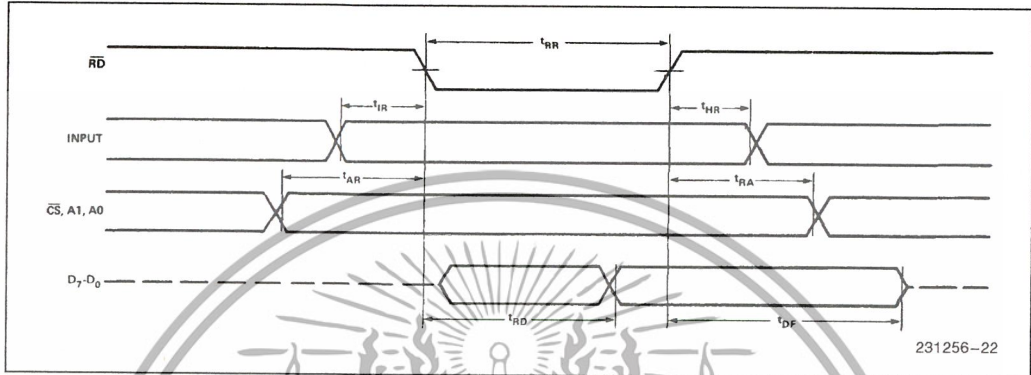
Symbol	Parameter	82C55A-2		Units Conditions	Test
		Min	Max		
t_{WB}	$\overline{WR} = 1$ to Output		350	ns	
t_{tR}	Peripheral Data Before \overline{RD}	0		ns	
t_{tHR}	Peripheral Data After \overline{RD}	0		ns	
t_{tAK}	\overline{ACK} Pulse Width	200		ns	
t_{tST}	\overline{STB} Pulse Width	100		ns	
t_{tPS}	Per. Data Before \overline{STB} High	20		ns	
t_{tPH}	Per. Data After \overline{STB} High	50		ns	
t_{tAD}	$\overline{ACK} = 0$ to Output		175	ns	
t_{tKD}	$\overline{ACK} = 1$ to Output Float	20	250	ns	
t_{tWOB}	$\overline{WR} = 1$ to $\overline{OBF} = 0$		150	ns	
t_{tAOB}	$\overline{ACK} = 0$ to $\overline{OBF} = 1$		150	ns	
t_{tSIB}	$\overline{STB} = 0$ to $\overline{IBF} = 1$		150	ns	
t_{tRIB}	$\overline{RD} = 1$ to $\overline{IBF} = 0$		150	ns	
t_{tRIT}	$\overline{RD} = 0$ to $\overline{INTR} = 0$		200	ns	
t_{tSIT}	$\overline{STB} = 1$ to $\overline{INTR} = 1$		150	ns	
t_{tAIT}	$\overline{ACK} = 1$ to $\overline{INTR} = 1$		150	ns	
t_{tWIT}	$\overline{WR} = 0$ to $\overline{INTR} = 0$		200	ns	see note 1
t_{RES}	Reset Pulse Width	500		ns	see note 2

NOTE:

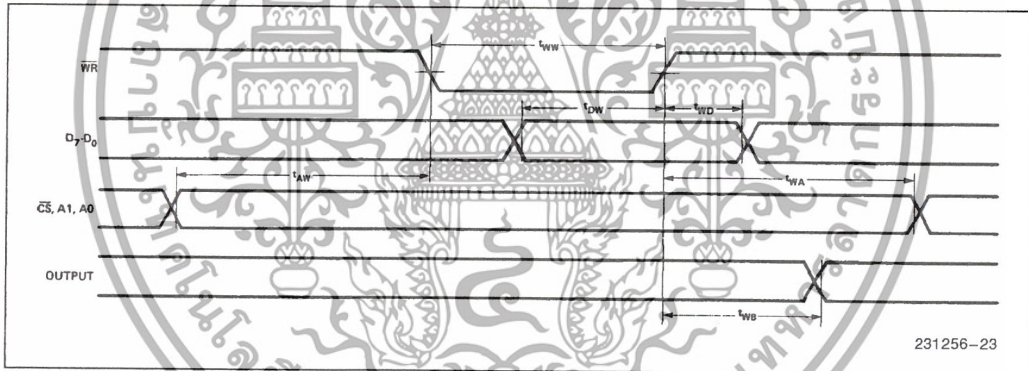
1. $\overline{INTR} \uparrow$ may occur as early as $\overline{WR} \downarrow$.
2. Pulse width of initial Reset pulse after power on must be at least 50 μ Sec. Subsequent Reset pulses may be 500 ns minimum. The output Ports A, B, or C may glitch low during the reset pulse but all port pins will be held at a logic "one" level after the reset pulse.

WAVEFORMS

MODE 0 (BASIC INPUT)

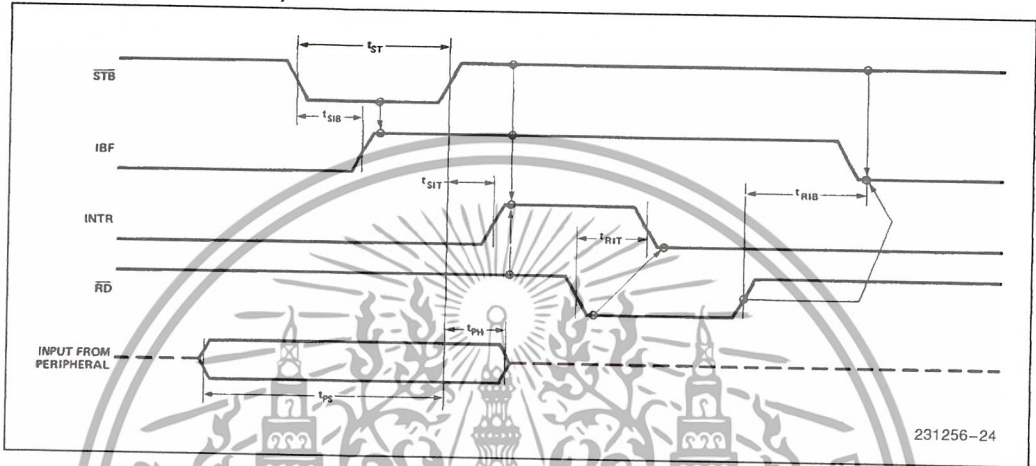


MODE 0 (BASIC OUTPUT)



WAVEFORMS (Continued)

MODE 1 (STROBED INPUT)



231256-24

MODE 1 (STROBED OUTPUT)

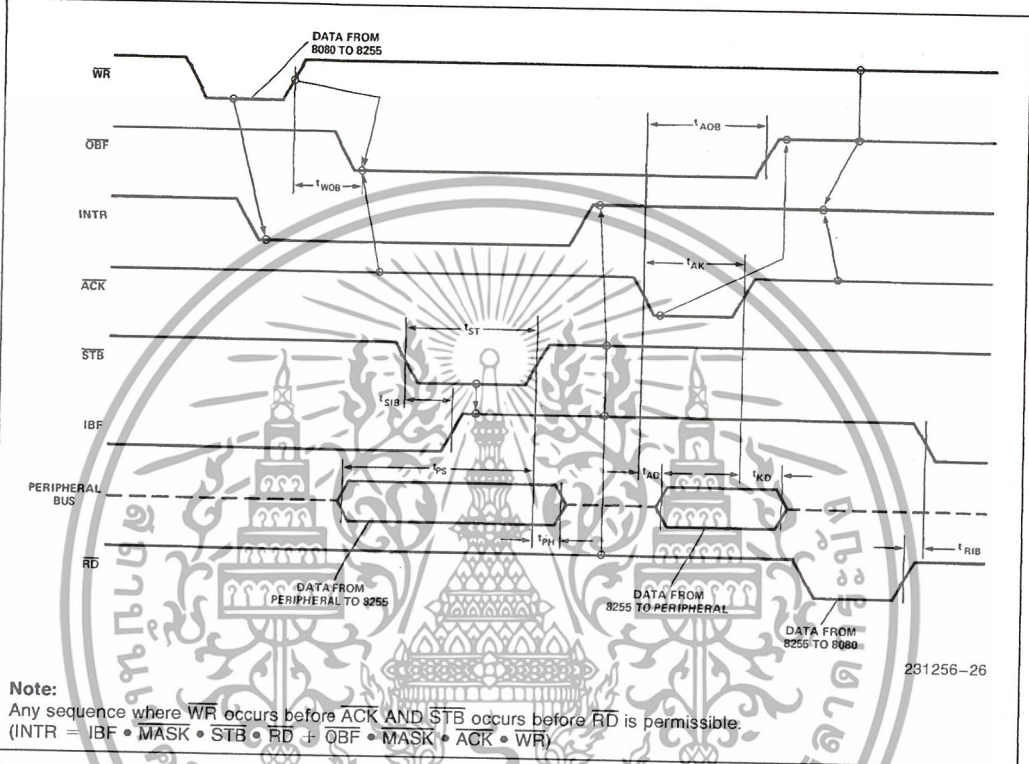


231256-25

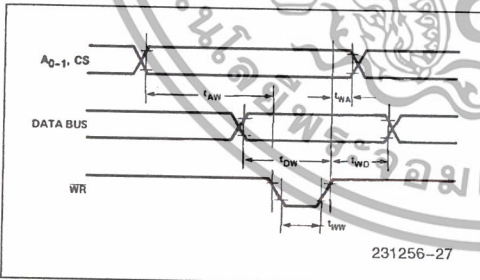
เอกสารนี้เป็นเอกสารที่สงวนไว้สำหรับการใช้งานเพื่อการศึกษาเท่านั้น ไม่อนุญาตให้นำไปใช้ประโยชน์ด้านการค้า ไม่ว่าจะกรณีใดๆ ทั้งสิ้น อีกทั้งห้ามมิให้ดัดแปลงเนื้อหา และต้องอ้างอิงถึงเจ้าของเอกสารทุกครั้งที่มีการนำไปใช้

WAVEFORMS (Continued)

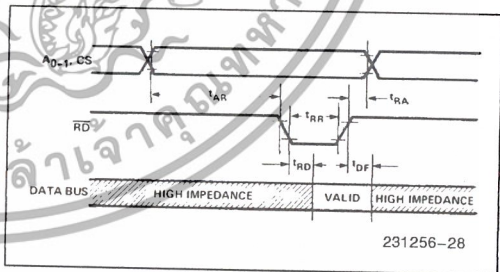
MODE 2 (BIDIRECTIONAL)



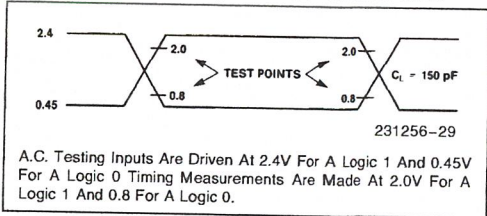
WRITE TIMING



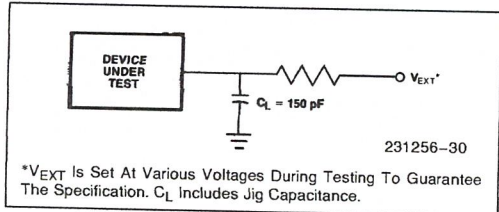
READ TIMING



A.C. TESTING INPUT, OUTPUT WAVEFORM



A.C. TESTING LOAD CIRCUIT

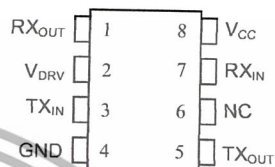


เอกสารนี้เป็นเอกสารที่สงวนไว้สำหรับการใช้งานเพื่อการศึกษาเท่านั้น ไม่อนุญาตให้นำไปใช้ประโยชน์ด้านการค้า
ไม่ว่ากรณีใดๆ ทั้งสิ้น อีกทั้งห้ามมิให้ดัดแปลงเนื้อหา และต้องอ้างอิงถึงเจ้าของเอกสารทุกครั้งที่มีการนำไปใช้

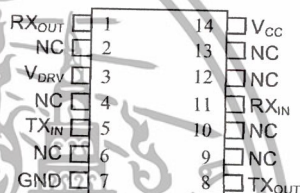
FEATURES

- Low-power serial transmitter/receiver for battery-backed systems
- Transmitter steals power from receive signal line to save power
- Ultra-low static current, even when connected to RS-232-E port
- Variable transmitter level from +5 to +12 volts
- Compatible with RS-232-E signals
- Available in 8-pin, 150 mil wide SOIC package (DS275S)
- Low-power CMOS

PIN ASSIGNMENT



DS275 8-Pin DIP (300-mil)
DS275 8-Pin SOIC (150-mil)



DS275E 14-Pin TSSOP

ORDERING INFORMATION

DS275	8-pin DIP
DS275S	8-pin SOIC
DS275E	14-pin TSSOP

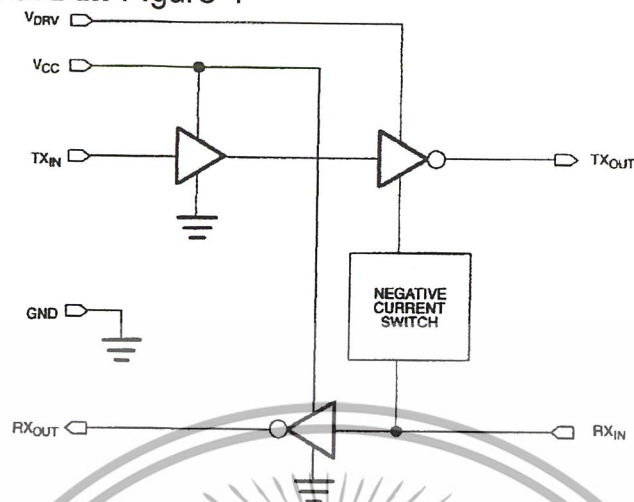
PIN DESCRIPTION

RX _{OUT}	- RS-232 Receiver Output
V _{DRV}	- Transmit driver +V
TX _{IN}	- RS-232 Driver Input
GND	- System Ground (0V)
TX _{OUT}	- RS-232 Driver Output
NC	- No Connection
RX _{IN}	- RS-232 Receive Input
V _{CC}	- System Logic Supply (+5V)

DESCRIPTION

The DS275 Line-Powered RS-232 Transceiver Chip is a CMOS device that provides a low-cost, very low-power interface to RS-232 serial ports. The receiver input translates RS-232 signal levels to common CMOS/TTL levels. The transmitter employs a unique circuit which steals current from the receive RS-232 signal when that signal is in a negative state (marking). Since most serial communication ports remain in a negative state statically, using the receive signal for negative power greatly reduces the DS275's static power consumption. This feature is especially important for battery-powered systems such as laptop computers, remote sensors, and portable medical instruments. During an actual communication session, the DS275's transmitter will use system power (5-12 volts) for positive transitions while still employing the receive signal for negative transitions.

DS275 BLOCK DIAGRAM Figure 1



OPERATION

Designed for the unique requirements of battery-backed systems, the DS275 provides a low-power half-duplex interface to an RS-232 serial port. Typically, a designer must use an RS-232 device which uses system power during both negative and positive transitions of the transmit signal to the RS-232 port. If the connector to the RS-232 port is left connected for an appreciable time after the communication session has ended, power will statically flow into that port, draining the battery capacity. The DS275 eliminates this static current drain by stealing current from the receive line (RX_{IN}) of the RS-232 port when that line is at a negative level (marking). Since most asynchronous communication over an RS-232 connection typically remains in a marking state when data is not being sent, the DS275 will not consume system power in this condition. System power would only be used when positive-going transitions are needed on the transmit RS-232 output (TX_{OUT}) when data is sent. However, since synchronous communication sessions typically exhibit a very low duty-cycle, overall system power consumption remains low.

RECEIVER SECTION

The RX_{IN} pin is the receive input for an RS-232 signal whose levels can range from ± 3 to ± 15 volts. A negative data signal is called a mark while a positive data signal is called a space. These signals are inverted and then level-shifted to normal +5-volt CMOS/TTL logic levels. The logic output associated with RX_{IN} is RX_{OUT} which swings from +V_{CC} to ground. Therefore, a mark on RX_{IN} produces a logic 1 at RX_{OUT}; a space produces a logic 0.

The input threshold of RX_{IN} is typically around 1.8 volts with 500 millivolts of hysteresis to improve noise rejection. Therefore, an input positive-going signal must exceed 1.8 volts to cause RX_{OUT} to switch states. A negative-going signal must now be lower than 1.3 volts (typically) to cause RX_{OUT} to switch again. An open on RX_{IN} is interpreted as a mark, producing a logic 1 at RX_{OUT}.

TRANSMITTER SECTION

TX_{IN} is the CMOS/TTL-compatible input for digital data from the user system. A logic 1 at TX_{IN} produces a mark (negative data signal) at TX_{OUT} while a logic 0 produces a space (positive data signal). As mentioned earlier, the transmitter section employs a unique driver design that uses the RX_{IN} line for swinging to negative levels. The RX_{IN} line must be in a marking or idle state to take advantage of this design; if RX_{IN} is in a spacing state, TX_{OUT} will only swing to ground. When TX_{OUT} needs to transition to a positive level, it uses the V_{DRV} power pin for this level. V_{DRV} can be a voltage supply between 5 to 12

volts, and in many situations it can be tied directly to the +5 volt V_{CC} supply. *It is important to note that V_{DRV} must be greater than or equal to V_{CC} at all times.*

The voltage range on V_{DRV} permits the use of a 9-volt battery in order to provide a higher voltage level when TXOUT is in a space state. When V_{CC} is shut off to the DS275 and V_{DRV} is still powered (as might happen in a battery-backed condition), only a small leakage current (about 50-100 nA) will be drawn. If TXOUT is loaded during such a condition, V_{DRV} will draw current only if RXIN is not in a negative state. During normal operation ($V_{CC}=5$ volts), V_{DRV} will draw less than 2 μ A when TXOUT is marking. Of course, when TXOUT is spacing, V_{DRV} will draw substantially more current—about 3 mA, depending upon its voltage and the impedance that TXOUT sees.

The TXOUT output is slew rate-limited to less than 30 volts/us in accordance with RS-232 specifications. In the event TXOUT should be inadvertently shorted to ground, internal current-limiting circuitry prevents damage, even if continuously shorted.

RS-232 COMPATIBILITY

The intent of the DS275 is not so much to meet all the requirements of the RS-232 specification as to offer a low-power solution that will work with most RS-232 ports with a connector length of less than 10 feet. As a prime example, the DS275 will not meet the RS-232 requirement that the signal levels be at least ± 5 volts minimum when terminated by a 3 k Ω load and $V_{DRV} = +5$ volts. Typically a voltage of 4 volts will be present at TXOUT when spacing. However, since most RS-232 receivers will correctly interpret any voltage over 2 volts as a space, there will be no problem transmitting data.

APPLICATIONS INFORMATION

The DS275 is designed as a low-cost, RS-232-E interface expressly tailored for the unique requirements of battery-operated handheld products. As shown in the electrical specifications, the DS275 draws exceptionally low operating and static current. During normal operation when data from the handheld system is sent from the TXOUT output, the DS275 only draws significant V_{DRV} current when TXOUT transitions positively (spacing). This current flows primarily into the RS-232 receiver's 3-7 k Ω load at the other end of the attaching cable. When TXOUT is marking (a negative data signal), the V_{DRV} current falls dramatically since the negative voltage is provided by the transmit signal from the other end of the cable. This represents a large reduction in overall operating current, since typical RS-232 interface chips use charge-pump circuits to establish both positive and negative levels at the transmit driver output.

To obtain the lowest power consumption from the DS275, observe the following guidelines. First, to minimize V_{DRV} current when connected to an RS-232 port, always maintain TXIN at a logic 1 when data is not being transmitted (idle state). This will force TXOUT into the marking state, minimizing V_{DRV} current. Second, V_{DRV} current will drop to less than 100 nA when V_{CC} is grounded. Therefore, if V_{DRV} is tied directly to the system battery, the logic +5 volts can be turned off to achieve the lowest possible power state.

FULL-DUPLEX OPERATION

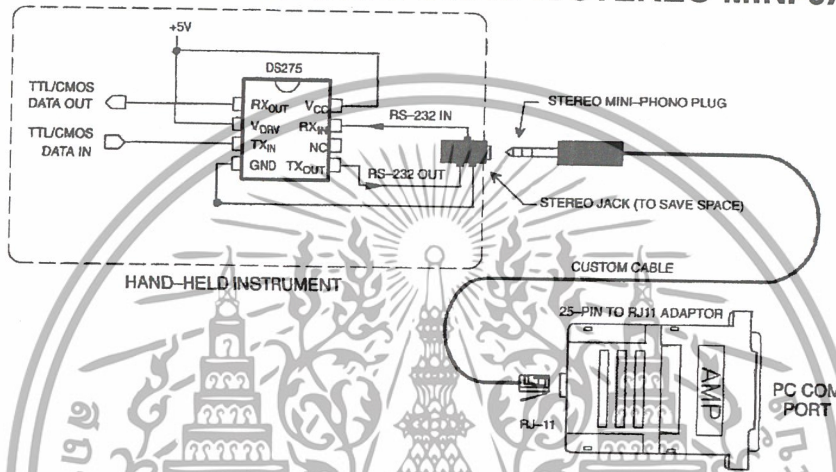
The DS275 is intended primarily for half-duplex operation; that is, RXIN should remain idle in the marking state when transmitting data out TXOUT and visa versa. However, the part can be operated full-duplex with most RS-232-E serial ports since signals swinging between 0 and +5V will usually be correctly interpreted by an RS-232-E receiver device. The 5-volt swing occurs when TXOUT attempts to swing negative while RXIN is at a positive voltage, which turns on an internal weak pulldown to ground for the TXOUT driver's negative reference. So, transmit mark signals at TXOUT may have voltage jumps from some negative value (corresponding to RXIN marking) to approximately ground. One possible

เอกสารนี้เป็นเอกสารที่สงวนไว้สำหรับการใช้งานเพื่อการศึกษาเท่านั้น ไม่อนุญาตให้นำไปใช้ประโยชน์ด้านการค้า

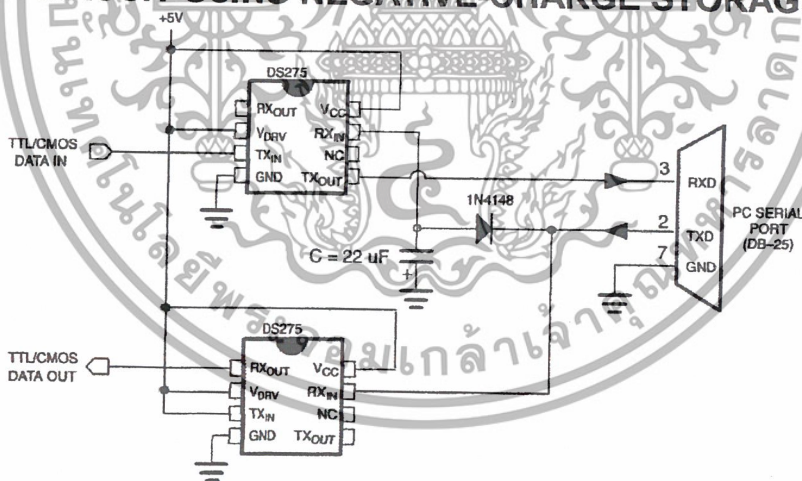
ไม่ว่ากรณีใดๆ ทั้งสิ้น อีกทั้งห้ามมิให้ดัดแปลงเนื้อหา และต้องอ้างอิงถึงเจ้าของเอกสารทุกครั้งที่มีการนำไปใช้

problem that may occur in this case is if the receiver at the other end requires a negative voltage for recognizing a mark. In this situation, the full-duplex circuit shown in Figure 3 can be used as an alternative. The 22 μF capacitor forms a negative-charge reservoir; consequently, when the TXD line is spacing (positive), TXOUT still has a negative source available for a time period determined by the capacitor and the load resistance at the other end (3-7 k Ω). This circuit was tested from 150-19,200 bps with error-free operation using a SN75154 Quad Line Receiver as the receiver for the TXOUT signal. Note that the SN75154 can have a marking input threshold below ground; hence there is the need for TXOUT to swing both positive and negative in full-duplex operation with this device.

HANDHELD RS-232-C APPLICATION USING A STEREO MINI-JACK Figure 2



FULL-DUPLEX CIRCUIT USING NEGATIVE-CHARGE STORAGE Figure 3



NOTE:

The capacitor stores negative charge whenever the TXD signal from the PC serial port is in a marking data state (a negative voltage that is typically -10 volts). The top DS275's TX_{OUT} uses this negative charge reservoir when it is in a marking state. The capacitor will discharge to 0 volts when the TXD line is spacing (and TX_{OUT} is still marking) at a time constant determined by its value and the value of the load resistance reflected back to TX_{OUT}. However, when TXD is marking the capacitor will quickly charge back to -10 volts. Note that TXD remains in a marking state when idle, which improves the performance of this circuit.

ABSOLUTE MAXIMUM RATINGS*

V _{CC}	-0.3 to +7.0 volts
V _{DRV}	-0.3 to +13.0 volts

เอกสารนี้เป็นเอกสารที่สงวนไว้สำหรับการใช้งานเพื่อการศึกษาเท่านั้น ไม่อนุญาตให้นำไปใช้ประโยชน์ด้านการค้า
 ไม่ว่ากรณีใดๆ ทั้งสิ้น อีกทั้งห้ามมิให้ดัดแปลงเนื้อหา และต้องอ้างอิงถึงเจ้าของเอกสารทุกครั้งที่มีการนำไปใช้

RX _{IN}	±15 volts
TX _{IN}	-0.3 to V _{CC} + 0.3 volts
TX _{OUT}	±15 volts
RX _{OUT}	-0.3 to V _{CC} + 0.3 volts
Storage Temperature	-55°C to +125°C
Operating Temperature	0°C to 70°C

* This is a stress rating only and functional operation of the device at these or any other conditions above those indicated in the operation sections of this specification is not implied. Exposure to absolute maximum rating conditions for extended periods of time may affect reliability.

RECOMMENDED DC OPERATING CONDITIONS

PARAMETER	SYMBOL	MIN	TYP	MAX	UNITS	NOTES
Logic Supply	V _{CC}	4.5	5.0	5.5	V	1
Transmit Driver Supply	V _{DRV}	4.5	5-12	13.0	V	1
Logic 1 Input	V _{HI}	2.0		V _{CC} +0.3	V	2
Logic 0 Input	V _{LI}	-0.3		+0.8	V	
RS-232 Input Range (RX _{IN})	V _{RS}	-15		+15	V	
Dynamic Supply Current TX _{IN} = V _{CC}	I _{DRV1}		400	800	μA	3
TX _{IN} = GND	I _{CC1}		40	100	μA	
	I _{DRV1}		3.8	5.0	μA	
	I _{CC1}		40	100	μA	
Static Supply Current TX _{IN} = V _{CC}	I _{DRV2}		1.5	10.0	μA	4
TX _{IN} = GND	I _{CC2}		10.0	15.0	μA	
	I _{DRV2}		3.8	5.0	mA	
	I _{CC2}		10.0	20.0	μA	
Driver Leakage Current (V _{CC} =0V)	I _{DRV3}		0.05	1.0	μA	5

เอกสารนี้เป็นเอกสารที่สงวนไว้สำหรับการใช้งานเพื่อการศึกษาเท่านั้น ไม่อนุญาตให้นำไปใช้ประโยชน์ด้านการค้า
ไม่ว่ากรณีใดๆ ทั้งสิ้น อีกทั้งห้ามมิให้ดัดแปลงเนื้อหา และต้องอ้างอิงถึงเจ้าของเอกสารทุกครั้งที่มีการนำไปใช้

DC ELECTRICAL CHARACTERISTICS (0°C to 70°C; $V_{CC} = V_{DRV} = 5V \pm 10\%$)

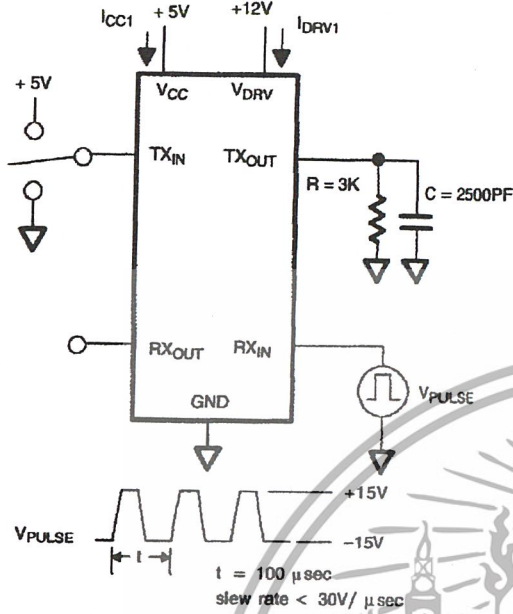
PARAMETER	SYMBOL	MIN	TYP	MAX	UNITS	NOTES
TX _{OUT} Level High	V _{OTXH}	3.5	4.0	5.0	V	6
TX _{OUT} Level Low	V _{OTXL}	-8.5	-9.0		V	7
TX _{OUT} Short Circuit Current	I _{SC}		+60	+85	mA	
TX _{OUT} Output Slew Rate	t _{SR}			30	V/μs	
Propagation Delay	t _{PD}		5		μs	8
RX _{IN} Input Threshold Low	V _{TL}	0.8	1.2	1.6	V	
RX _{IN} Input Threshold High	V _{TH}	1.6	2.0	2.4	V	
RX _{IN} Threshold Hysteresis	V _{HYS}	0.5	0.8		V	9
RX _{OUT} Output Current @ 2.4V	I _{OH}	-1.0			mA	
RX _{OUT} Output Current @ 0.4V	I _{OL}			3.2	mA	

NOTES:

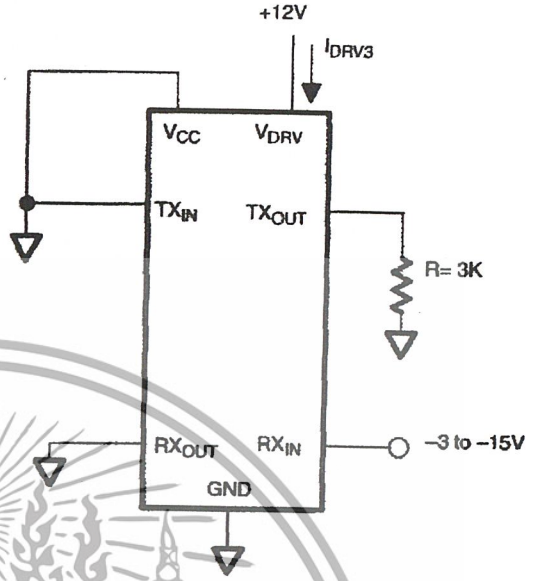
1. V_{DRV} must be greater than or equal to V_{CC}.
2. V_{CC} = V_{DRV} = 5V ± 10%.
3. See test circuit in Figure 4.
4. See test circuit in Figure 5.
5. See test circuit in Figure 6.
6. TX_{IN} = V_{IL} and TX_{OUT} loaded by 3 kΩ to ground.
7. TX_{IN} = V_{IH}, RX_{IN} = -10 volts and TX_{OUT} loaded by 3 kΩ to ground.
8. TX_{IN} to TX_{OUT} - see Figure 7.
9. V_{HYS} = V_{TH} - V_{TL}.



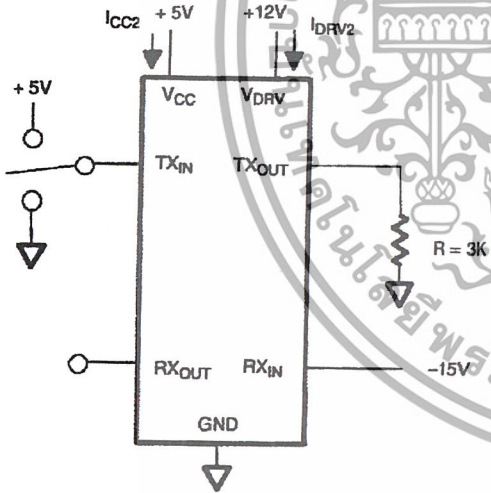
DYNAMIC OPERATING CURRENT TEST CIRCUIT Figure 4



DRIVER LEAKAGE TEST CIRCUIT Figure 6

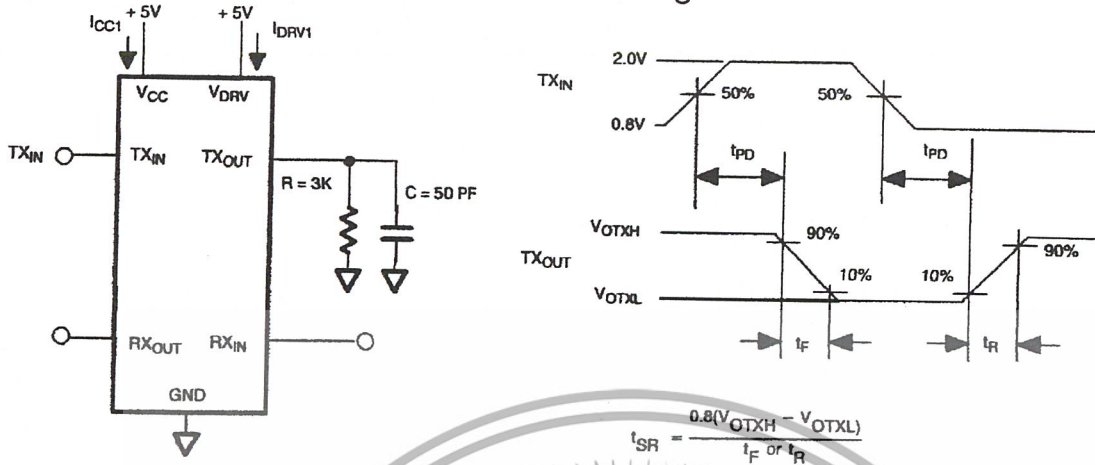


STATIC OPERATING CURRENT TEST CIRCUIT Figure 5

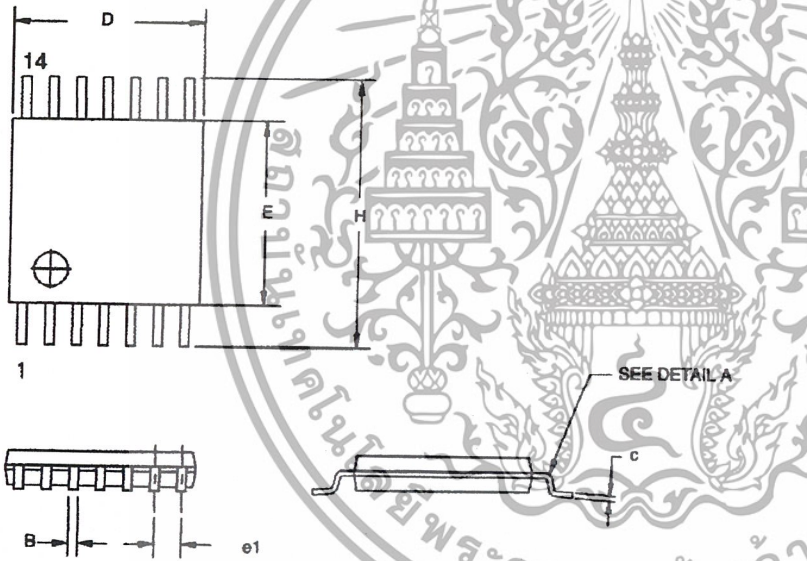


เอกสารนี้เป็นเอกสารที่สงวนไว้สำหรับการใช้งานเพื่อการศึกษาเท่านั้น ไม่อนุญาตให้นำไปใช้ประโยชน์ด้านการค้า
ไม่ว่ากรณีใดๆ ทั้งสิ้น อีกทั้งห้ามมิให้ดัดแปลงเนื้อหา และต้องอ้างอิงถึงเจ้าของเอกสารทุกครั้งที่มีการนำไปใช้

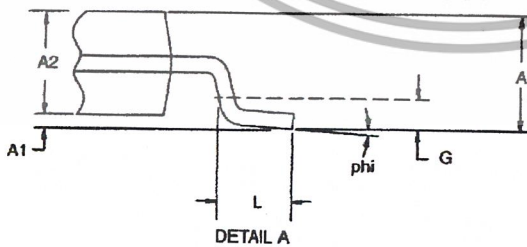
PROPAGATION DELAY TEST CIRCUIT Figure 7



DS275E 14-PIN TSSOP



DIM	14-PIN	
	MIN	MAX
A MM	-	1.10
A1 MM	0.05	-
A2 MM	0.75	1.05
B MM	0.18	0.30
C MM	0.09	0.18
D MM	4.90	5.10
E MM	4.40 NOM	
e1 MM	0.65 BSC	
G MM	0.25 REF	
H MM	6.25	6.55
L MM	0.50	0.70
phi	0°	8°



เอกสารนี้เป็นเอกสารที่สงวนไว้สำหรับการใช้งานเพื่อการศึกษาเท่านั้น ไม่อนุญาตให้นำไปใช้ประโยชน์ด้านการค้า
ไม่ว่ากรณีใดๆ ทั้งสิ้น อีกทั้งห้ามมิให้ดัดแปลงเนื้อหา และต้องอ้างอิงถึงเจ้าของเอกสารทุกครั้งที่มีการนำไปใช้